



دانشگاه صنعتی شاهرود

دانشکده مهندسی معدن نفت و ژئوفیزیک
گروه استخراج

رساله دکتری

عنوان:

بازداشت کانی ها در فلوتاسیون الکتروشیمیایی با کنترل پتانسیل پالپ همراه با اعمال پتانسیل خارجی

(مطالعه موردی بازداشت کالکو پیریت در مدار فرآوری مولیبدن)

دانشجو

خداکرم غریبی

استاد راهنما:

دکتر سید ضیا الدین شفایی تنکابنی

استاد مشاور:

دکتر حمید رضا زارع

بهار ۹۲

تعدیم به:

روح بلند پرستوی مهاجر همسرم (روح و روانش شاد باو) که با تشویق او آغاز کردم

و

فرزندان گلم که نبودنم را تجل کردند

و

همسر مهربانم که بیاری او به بیان برم.

این تحقیق را

که در پای ای است به دنیا بی انتہای ناشناخته

نیز دان پاک را پس می کویم که مراتوان دادکه ساگردی کنم اتا تیدار جندم را وزبان داد تا ساگزار به آنی باشم که نشان را بیامان آوردم و آنی که یادشان درخانه قلیم بیادگار باقی است.

از جناب آقا ی پر فور شعائی که، حسن خلقش شهر آفاق است و ذکر صفاتش نقل مجالس و کرانه دانش نماید، ساگزارم که مرآ مونخت تا در راه قدم نم که ناشناخته باش فراوان بود و من باید یک قدم فراتر از آنچه دیگران رفته بودم بروم.

از جناب آقا ی پر فور زارع ساگزارم که ذهن مرایه دنیای زیبای الکتروسیمی باز کرده مرآ مونخت آنچه را که زاد توشه را هم بود د مسیر ناشناخته باشد.

از اتا تیدم در دانشگاه صنعتی شاهزاد آقا یان دکتر جلالی، دکتر سرگلی، دکتر کاکایی و دکتر عطایی که ذهن مرایال پرواز در آسمان ندانسته که دادند ساگزارم.

از پرنس مربان دانشکده علی اخوص آقا ی شاه حسینی که محبت هایش را هرگز فراموش نخواهم کرد، ساگزارم.

از سرکار خانم مهندس زیدآبادی ریاست قلبی و آقا ی مهندس یاراحمدی ریاست فعلی بخش فرآوری، همچنین سرکار خانم مهندس اسلامی، مهندس دانش پژوه، مهندس معینی ریاست بخش های آب و محیط زیست، هیدر و متابولری و پیرومتابولری واحد تحقیق و توسعه مجتمع مس سرچشمه ساگزارم که اکران اجرایی پروژه را فراموش نموده، بارهایی های ارزنده خود را در انجام پروژه یاری دادند. از آقا یان مهندس پورکانی و مهندس فاضلی که از کارشناسان نزده فرآیند تغییط در مجتمع مس سرچشمه می باشند به خاطر بارهایی های ارزنده اشان ساگزارم.

از تمامی کسانی که در مجتمع مس سرچشمه مراد اجرایی این پروژه یاری داده اند با تمام وجود ساگزاری می کنم. از کارکنان مربان واحد پایلوت پلنت علی اخوص آقا یان مهندس بجهت جباری و جواد کرمانیان ساگزارم که قریب ۲ سال مراد انجام آزمایش هایاری دادند. از پرنس آزمایشگاه یزرا لوثری، علی اخوص آقا یان دکتر مرتضوی، مهندس شریعتیان، سرکار خانم مهندس عادلی از بابت زحمات ارزنده آنان در مطالعات کافی-

شناسی ساگزارم

چکیده

فلوتاسیون الکتروشیمیایی روش جدیدی است که از دانش الکتروشیمی در فناوری فلوتاسیون استفاده نموده، باعث ارتقاء فلوتاسیون و رفع محدودیت‌های آن می‌شود. در این روش با کنترل پارامترهای الکتروشیمیایی، فعال‌انفعالات و واکنش‌های اکسیداسیون احیاء در محیط فلوتاسیون که باعث تغییرخواص سطحی کانی‌ها می‌گردد، به سمتی هدایت می‌شوند که بتوان کانی‌های مورد نظر را شناور یا بازداشت نمود. هدف اصلی این تحقیق امکان سنجی فلوتاسیون الکتروشیمیایی با اعمال پتانسیل خارجی در شناورسازی و بازداشت کانی‌های سولفیدی می‌باشد. برای کنترل نتایج حاصل، همچنین شناسایی مکانیزم‌های آبرانی و آبگریزی کانی‌های سولفیدی از روش آنالیز مینرالوژی و روش ولتاومتری چرخه‌ای استفاده گردید. برای انجام آزمایش‌های لازم یک سلول فلوتاسیون الکتروشیمیایی طراحی و ساخته شده است، که بتوان پارامترهای لازم را در آن کنترل نمود. سلول مورد اشاره شامل دو بخش فرآیند و بخش الکتروولت می‌باشد که به توسط یک صفحه تراوای یونی با هم در ارتباط قرار می‌گیرند. نمونه‌های مورد آزمایش از مدار فرآوری مولیبدن در مجتمع مس سرچشمه گرفته شده است. با کاربرد این روش و در غیاب مواد شیمیایی، بازیابی مولیبدن در کسانتره حدود ۷۳٪ رهیافت مس در باطله حدود ۷۶٪ بوده است که بهترین نتیجه در غیاب مواد شیمیایی می‌باشد. در این شرایط مقدار پتانسیل اعمالی $1/5$ - ولت، پتانسیل پالپ 56 - میلی ولت و pH محیط $11/41$ بوده است. ناگفته پیداست که این شرایط بهینه نمی‌باشد. نتایج بیانگر این است که در حضور سولفیدس迪م بهترین نتیجه در شرایطی بدست می‌آید که پتانسیل اعمالی 3 - ولت باشد. در این شرایط پتانسیل پالپ 572 - میلی ولت، pH برابر $12/2$ ، رهیافت مس در باطله (بازداشت مس) 99% و بازیابی مولیبدن 65% می‌باشد. مقایسه نتایج همچنین بیانگر این است که مقدار کمی سولفیدس迪م (در حد 25% مصرف کارخانه) باعث بهبود چشمگیر نتایج شده است. نتایج نشان می‌دهند که با تغییر شرایط آزمایش مصرف سولفیدس迪م تا حدود بسیار زیادی کاهش داده شده است. برای مثال در یک آزمایش با مصرف 4 گرم سولفیدس迪م (برابر $6/5\%$ مصرف مدار فرآوری) بازیابی مولیبدن حدود 60% بوده و کانی‌های مس هم حدود 85% بازداشت شده‌اند. در شرایطی که پتانسیل پالپ مثبت باشد (در شرایط احیائی) بیشترین بازداشت مس در پتانسیل پالپ $+257$ تا $+286$ میلی ولت اتفاق افتاده است. در شرایطی که پتانسیل اعمالی بر روی الکترود کار $5/0$ - ولت و در نتیجه آن پتانسیل پالپ $+263$ میلی ولت و pH پالپ برابر $7/45$ می‌باشد نتیجه آزمایش بهترین است. این نتیجه با نتایج تحقیقات گذشته نیز مطابقت می‌کند.

بررسی نتایج تاثیر درصد جامد در فلوتاسیون الکتروشیمیایی، نشان دهنده این است که با کاهش درصد جامد اثر بازدارندگی پتانسیل خارجی بر بازداشت کانی های مس افزایش می یابد. دلیل اصلی آن هم این است که با کاهش درصد جامد نفوذ جریان الکتریکی در محیط پالپ افزایش می یابد. هدایت الکتریکی آب مصرفی در آزمایش ها در حدود ۱۵۰۰ میلی زیمنس بر سانتیمتر بوده است. بررسی نتایج آزمایش با الکترودهای مختلف نشان میدهد که بازیابی مولیبدن و بازداشت مس با الکترودهای گرافیتی ارقام بالاتری را نشان می دهد. نتایج نشان دهنده آن است که در حضور سولفیدسدیم بازیابی مولیبدن ۹۶٪ و بازداشت مس ۹۳٪ بوده که مربوط به الکترود گرافیتی است. این در حالی است که این اعداد برای الکترود پلاتین به ترتیب برابر ۸۰٪ و ۸۴٪ و برای الکترود استیلی به ترتیب برابر ۷۸٪ و ۹۴٪ بوده است. ایده استفاده از بدنه سلول و رتور نیز در آزمایشگاه مورد آزمایش قرار گرفت و نتایج خوبی داشته است. ارقام مربوط به بازیابی مولیبدن و بازداشت مس با این شیوه به ترتیب ۵۸/۹۲ و ۳/۸۷٪ بوده است. این ایده در صنعتی کردن فرضیه فلوتاسیون الکتروشیمیایی با اعمال پتانسیل خارجی می تواند ممکن نظر قرار گیرد. برای شناسایی مکانیزم های آبرانی و آبدوستی در فلوتاسیون الکتروشیمیایی مطالعات ولتاژی چرخه ای انجام شده است. با بررسی ولتاگرام های مربوطه مشخص شده است که در پتانسیل های $-0/9$ ، $-0/6$ ، $+0/6$ و $+1/4$ پیک هایی دیده می شود که مربود به جذب مواد اکسیدی بر روی سطح الکترود می باشد.

کلیدواژه ها: فلوتاسیون الکتروشیمیایی، بازداشت کالکوپیریت، بازیابی مولیبدن، اعمال پتانسیل خارجی، کنترل پتانسیل پالپ

فهرست مقالات مستخرج از پایان نامه:

- ۱- فلوتاسیون الکتروشیمیایی روشی نو در فرآوری مواد معدنی- ماهنامه مهندسی، پژوهشی، اقتصادی توسعه معدن- اردیبهشت ۱۳۹۰ سال سوم - شماره ۱۶
- ۲- حذف کالکوپیریت از کنسانتره مس و مولیبدن به روش فلوتاسیون الکتروشیمیایی- نشریه علمی پژوهشی مهندسی معدن- اردیبهشت ۱۳۹۱ - شماره ۱۷
- ۳- طراحی و ساخت سلول فلوتاسیون الکتروشیمیایی - اولین کنفرانس فناوری معدنکاری ایران- یزد- ایران- ۱۳۹۱ شهریور ماه ۱۵
- ۴- بررسی نقش الکترودها در فلوتاسیون الکتروشیمیایی- اولین کنفرانس فناوری معدنکاری ایران- یزد- ایران- ۱۳۹۱ شهریور ماه ۱۵

فهرست مطالب

۱	فصل اول کلیات.
۲	۱-۱ مقدمه
۲	۱-۲-۱ فلوتاسیون الکتروشیمیایی
۳	۱-۳-۱ فلوتاسیون
۳	۱-۳-۱-۱ شیمی فلوتاسیون
۵	۱-۲-۳-۱ دینامیک فلوتاسیون
۶	۱-۳-۳-۱ مکانیزم جذب مواد در سطح کانی های فلوته شونده
۸	۱-۴-۱ الکتروشیمی
۹	۱-۴-۱-۱ مبانی الکتروشیمی
۱۰	۱-۴-۱-۲ واکنش شیمیایی در یک سلول الکتروشیمیایی
۱۱	۱-۳-۴-۱ عملکرد یک سلول الکتروشیمیایی
۱۲	۱-۴-۱-۴ انرژی آزاد سلول الکتروشیمیایی
۱۴	۱-۴-۱-۵ پتانسیل سلول الکتروشیمیایی
۱۴	۱-۴-۱-۶ پتانسیل استاندارد
۱۵	۱-۷-۴-۱-۷ پتانسیل آزاد و پتانسیل مخلوط
۱۵	۱-۸-۴-۱-۸ الکترودها
۱۶	۱-۸-۴-۱-۹-۱ انواع الکترودها
۲۰	۱-۸-۴-۱-۹-۲ تقسیم بندی الکترودها بر اساس جنس آنها
۲۱	۱-۹-۴-۱ روشهای اندازه گیری پتانسیل الکترود
۲۳	فصل دوم : مروری بر فلوتاسیون الکتروشیمیایی
۲۴	۲-۱-۱ کلیاتی در باره فلوتاسیون الکتروشیمیایی
۲۴	۲-۲-۱ تاریخچه فلوتاسیون الکتروشیمیایی
۲۷	۲-۳-۲ روشهای فلوتاسیون الکتروشیمیایی
۲۷	۲-۳-۲-۱ فلوتاسیون الکتروشیمیایی با کنترل پتانسیل پالپ
۳۲	۲-۳-۲-۲ فلوتاسیون الکتروشیمیایی با کنترل pH
۳۲	۲-۳-۲-۳ فلوتاسیون الکتروشیمیایی با کنترل غلظت مواد شیمیایی
۳۴	۲-۴-۳-۲ فلوتاسیون الکتروشیمیایی بدون کلکتور
۳۶	۴-۲-۱ کاربردهای اختصاصی فلوتاسیون خود القایی
۳۸	۴-۲-۲ جمعبندی
۴۱	فصل سوم : فرضیات تحقیق
۴۲	۴-۳-۱ مقدمه

۲-۳- کلیات.....	۴۲
۳-۳- فلوتاسیون الکتروشیمیایی سولفیدها.....	۴۳
۴-۳- فلوتاسیون الکتروشیمیایی با کنترل پتانسیل بالپ.....	۴۶
۵-۳- فلوتاسیون الکتروشیمیایی با اعمال پتانسیل خارجی.....	۴۹
۶-۳- فلوتاسیون الکتروشیمیایی کالکوپیریت و کانی های مس.....	۵۰
۷-۳- جمعبندی.....	۵۳
فصل چهارم : روش تحقیق، دستورالعمل ها و آزمایش ها.....	۵۴
۱-۴- روش تحقیق تحقیق.....	۵۵
۲-۴- طراحی و ساخت سلول الکتروشیمیایی.....	۵۶
۳-۴- شناسایی مدار فرآوری مولیبدن در مجتمع مس سرچشمی برای انتخاب محل نمونه گیری.....	۵۹
۴-۴- تهیه نمونه برای انجام آزمایش ها.....	۶۱
۵-۴- روش انجام کار و فعالیت های انجام شده.....	۶۱
۶-۴- تجهیزات مورد استفاده.....	۶۴
۷-۴- جمع آوری اطلاعات از مدار فرآوری مولیبدن.....	۶۵
۸-۴- نمونه گیری از خط تولید جهت تهیه نمونه صنعتی و آماده سازی نمونه ها.....	۶۵
۹-۴- مطالعات میکروسکوپی جهت شناسایی کانی های موجود در نمونه.....	۶۵
۱۰-۴- برنامه ریزی برای انجام آزمایش ها.....	۶۶
۱۱-۴- دستورالعمل های انجام آزمایش ها.....	۶۹
۱۲-۴- روش کنترل نتایج.....	۷۱
۱۳-۴- استفاده از بسته نرم افزاری موازن.....	۷۳
۱۴-۴- شرح مختصری درباره بسته نرم افزاری موازن.....	۷۳
۱۵-۴- فعالیت های قبل از انجام آزمایش ها.....	۷۴
فصل پنجم: تشریح آزمایشها.....	۷۵
۱-۵- تشریح آزمایش ها.....	۷۶
۲-۵- تنظیم و کالیبراسیون سیستم.....	۷۷
۳-۵- تغییر در روند آزمایش ها.....	۷۹
۴-۵- انجام آزمایش با سلول اصلاح شده.....	۸۱
۵-۵- انجام آزمایش بر روی سایر نمونه ها.....	۸۲
۶-۵- آزمایش های ولتاوری چرخه ای.....	۸۲
۷-۵- نحوه ساخت الکترود کانی	۸۴
فصل ششم : بحث و نتیجه گیری.....	۸۶
۸-۶- نتایج مطالعات تئوری و تجربی	۸۷
۹-۶- مکانیزم تغییرات سطح در فلوتاسیون الکتروشیمیایی	۸۸

۳-۶- پارامترهای مورد بررسی	۹۰
۳-۶-۱- بررسی مقدار پتانسیل خارجی بر بازداشت کانی های مس	۹۰
۳-۶-۲- بررسی اثر درصد جامد بر بازداشت کانی های مس	۹۵
۳-۶-۳- اثر غشای تراوای یونی بر بازداشت کانی های مس	۹۶
۳-۶-۴- بررسی اثر افزایش نمک بر بازداشت کانی های مس	۹۶
۳-۶-۵- بررسی اثر انواع الکترود بر بازداشت کانی های مس	۹۷
۳-۶-۶- بررسی مقدار سولفید سدیم بر بازداشت کانی های مس	۱۰۱
۴-۶- تفسیر منحنی های آمپرmetri	۱۰۲
۵-۶- چرایی فرآیندها و تحلیل نتایج حاصل از مطالعات تجربی و عملی	۱۰۴
۶-۶- نتایج حاصل از ولتاوری چرخهای	۱۱۳
۶-۶-۱- نتایج ولتاوری چرخهای بر روی الکترودهای تک کانی	۱۱۳
۶-۶-۲- نتایج ولتاوری چرخهای بر روی الکترودهای چند کانی	۱۱۸
۷-۶- محدودیت های فلوتاسیون الکتروشیمیایی به روش کنترل پتانسیل پالپ	۱۲۱
۸-۶- نوآوری های تحقیق	۱۲۲
۹-۶- جمع بندی و نتیجه گیری	۱۲۳
۱۰-۶- پیشنهادات	۱۲۶
۱۲۸- منابع و مأخذ	
۱۳۵- پیوست ها	

فهرست اشکال

شکل ۱-۱- شمای فازهای سه گانه در فرآیند فلوتاسیون	۴
شکل ۱-۲- دولایه ای الکتریکی	۹
شکل ۱-۳- شمای سلول الکتروشیمیایی	۱۱
شکل ۱-۴- دو نوع الکترود هیدروژن	۱۷
شکل ۱-۵- دو نوع الکترود کالومل	۱۹
شکل ۲-۱- وابستگی پتانسیل بازیابی متناظر با ایزوترم جذب برای گالن/ اتیل اگزنتات	۲۹
شکل ۲-۲- وابستگی پتانسیل بازیابی متناظر با ایزوترم جذب برای کالکوسیت/ اتیل اگزنتات	۲۹
شکل ۲-۳- وابستگی پتانسیل بازیابی متناظر با ایزوترم جذب برای کالکوسیت /دیتیوفسفات	۳۰
شکل ۲-۴- شناوری کالکوپیریت و گالن از کوارتز به تفکیک و مخلوط	۳۰
شکل ۲-۵- شناوری کالکوسیت و گالن از کوارتز به تفکیک و مخلوط	۳۰
شکل ۲-۶- تاثیر pH و Eh بر فلوتاسیون کانی های سولفیدی سرب و روی و آهن	۳۴
شکل ۲-۷- منحنی بازیابی/ عیار برای سرب تحت تاثیر تغییرات پتانسیل پالپ	۳۵
شکل ۲-۸- جریان آندی و فرآیند فلوتاسیون کالکوپیریت در غیاب کلکتور	۳۶

شکل ۲-۹- پتانسیل شروع اکسیداسیون در مقایسه با پتانسیل استاندارد.....	۳۷
شکل ۳-۱- دیاگرام Eh/pH برای سیستم آب/مس.....	۴۷
شکل ۴-۱- نمایی از سلول فلوتاسیون الکتروشیمیایی مورد استفاده.....	۵۶
شکل ۴-۲- منحنی آمپرمتربی آزمایش T029.....	۵۸
شکل ۴-۳- سلول فلوتاسیون الکتروشیمیایی اصلاح شده.....	۵۹
شکل ۴-۴- فلوشیت کارخانه پر عیار کنی مولیبدن.....	۶۲
شکل ۴-۵- نمودار عمومی منحنی های کرنوآمپرمتربی.....	۷۲
شکل ۵-۱- دیاگرام پورباکس برای سیستم مس-آب-گوگرد.....	۷۷
شکل ۵-۲- برنامه پتانسیل زمان در ولتاگرمتری چرخه ای.....	۸۳
شکل ۵-۳- ولتاگرام چرخه ای برای سیستم های (الف) برگشت پذیر (ب) شبه برگشت پذیر	۸۳
شکل ۵-۴- بازداشت مس و بازیابی مولیبدن در پتانسیل های منفی در غیاب سولفیدسدیم.....	۹۲
شکل ۵-۵- بازداشت مس و بازیابی مولیبدن در پتانسیل های منفی در حضور سولفیدسدیم.....	۹۳
شکل ۵-۶- بازداشت مس و بازیابی مولیبدن در پتانسیل های مثبت در غیاب سولفیدسدیم.....	۹۴
شکل ۵-۷- تاثیر درصد جامد پالپ بر بازداشت مس و بازیابی مولیبدن	۹۶
شکل ۵-۸- تاثیر مقدار نمک بر بازداشت مس و بازیابی مولیبدن	۹۷
شکل ۵-۹- تاثیر نوع الکترود بر بازداشت مس و بازیابی مولیبدن در حضور سولفیدسدیم	۹۹
شکل ۵-۱۰- تاثیر نوع الکترود بر بازداشت مس و بازیابی مولیبدن در غیاب سولفیدسدیم	۱۰۰
شکل ۵-۱۱- تاثیر مقدار سولفیدسدیم بر بازداشت مس و بازیابی مولیبدن	۱۰۱
شکل ۶-۱- منحنی کرنوآمپرمتربی در آزمایش T002	۱۰۳
شکل ۶-۲- منحنی کرنوآمپرمتربی در آزمایش T029	۱۰۴
شکل ۶-۳- منحنی کرنوآمپرمتربی در آزمایش T040	۱۰۴
شکل ۶-۴- ولتاگرام مربوط به کالکوپیریت در محلول بافر در pH=12, Eh=-255	۱۱۴
شکل ۶-۵- ولتاگرام مربوط به کالکوسیت در محلول بافر در pH=12, Eh=-255	۱۱۵
شکل ۶-۶- ولتاگرام مربوط به کالکوپیریت در محلول بافر در pH=11, Eh=-225	۱۱۵
شکل ۶-۷- ولتاگرام مربوط به کالکوسیت در محلول بافر در pH=11, Eh=-225	۱۱۶
شکل ۶-۸- ولتاگرام مربوط به کالکوپیریت در محیط پالپ در pH=11, Eh=-221	۱۱۶
شکل ۶-۹- ولتاگرام مربوط به کالکوسیت در محیط پالپ در pH=11, Eh=-221	۱۱۷
شکل ۶-۱۰- ولتاگرام مربوط به کالکوپیریت در محیط پالپ در pH=12, Eh=-295	۱۱۷
شکل ۶-۱۱- ولتاگرام مربوط به کالکوسیت در محیط پالپ در pH=12, Eh=-295	۱۱۷
شکل ۶-۱۲- ولتاگرام مربوط به الکترود پلی متال باطله با اعمال پتانسیل ۱/۵- در pH=11, Eh=-221	۱۱۹
شکل ۶-۱۳- ولتاگرام مربوط به الکترود پلی متال باطله بدون اعمال پتانسیل در pH=11, Eh=-221	۱۱۹
شکل ۶-۱۴- ولتاگرام مربوط به الکترود پلی متال خوارک با اعمال پتانسیل در pH=11, Eh=-221	۱۲۰
شکل ۶-۱۵- ولتاگرام مربوط به الکترود پلی متال خوارک با اعمال پتانسیل ۳- در pH=11, Eh=-221	۱۲۰

شکل ۶-۲۴- ولتاگرام مربوط به الکترود پلی متال باطله با اعمال پتانسیل در $pH=11$, $Eh=-221$ ۱۲۱

فهرست جداول

جدول ۱-۱- الکترودهای مرجع رایج در محلول‌های آبی در دمای ۲۹۸ درجه کلوین ۱۸
جدول ۱-۲- پتانسیل الکترودهای مختلف بر پایه الکترود هیدروژن ۲۲
جدول ۱-۳- کارابی فلوتاسیون قبل و بعد از استفاده از روش OPF ۳۴
جدول ۲-۱- تاریخچه تحقیقات انجام شده در حوزه فلوتاسیون الکتروشیمیایی ۳۹
جدول ۲-۲- پتانسیل اکسیداسیون برخی از ترکیبات ۴۸
جدول ۲-۳- گزارش داده‌های آزمایش T029 ۵۷
جدول ۲-۴- گزارش مینرالوژی از مقاطع صیقلی ۶۳
جدول ۳-۱- تجهیزات مورد استفاده در آزمایش های فلوتاسیون الکتروشیمیایی ۶۴
جدول ۳-۲- داده‌های آزمایش T003 ۶۷
جدول ۳-۳- محاسبات متالوژیکی آزمایش ۶۸
جدول ۳-۴- جدول ثبت داده‌های آزمایش ۷۰
جدول ۴-۱- مصرف مواد شیمیایی در مدار فرآوری مولیبدن ۷۹
جدول ۴-۲- تاثیر مقدار پتانسیل خارجی منفی بر بازیابی مولیبدن و بازداشت کالکوپیریت ۸۲
جدول ۴-۳- تاثیر مقدار پتانسیل خارجی منفی بر بازداشت کانی‌های مس در غیاب سولفیدسدیم ۹۲
جدول ۴-۴- تاثیر مقدار پتانسیل خارجی مثبت بر بازداشت کانی‌های مس در حضور سولفیدسدیم ۹۳
جدول ۴-۵- تاثیر مقدار پتانسیل خارجی مثبت بر بازداشت کانی‌های مس در غیاب سولفیدسدیم ۹۴
جدول ۴-۶- تاثیر درصد جامد بر بازداشت کانی‌های مس در غیاب سولفیدسدیم ۹۵
جدول ۴-۷- تاثیر افزایش نمک‌طعام بر بازداشت کانی‌های مس در غیاب سولفیدسدیم ۹۷
جدول ۴-۸- تاثیر جنس الکترود بر بازداشت کانی‌های مس در حضور سولفیدسدیم ۹۹
جدول ۴-۹- تاثیر جنس الکترود بر بازداشت کانی‌های مس در غیاب سولفیدسدیم ۱۰۰
جدول ۴-۱۰- تاثیر مقدار سولفیدسدیم بر بازداشت کانی‌های مس در پتانسیل های منفی ۱۰۱
جدول ۴-۱۱- کانی شناسی خوراک آزمایش T012 ۱۰۸
جدول ۴-۱۲- کانی شناسی کنسانتره آزمایش T012 ۱۰۹
جدول ۴-۱۳- کانی شناسی باطله آزمایش T012 ۱۱۰
جدول ۴-۱۴- محاسبات متالورژیکی مربوط به آزمایش T012 ۱۱۱
جدول ۴-۱۵- بازداشت کالکوپیریت در پتانسیل -6% ولت در غیاب سولفید سدیم ۱۱۲
جدول ۴-۱۶- بازداشت کالکوپیریت در پتانسیل $-3/0$ ولت در غیاب سولفید ۱۱۲
جدول ۴-۱۷- بازداشت کالکوپیریت در پتانسیل $-3/0$ ولت در حضور سولفید ۱۱۳

فصل اول

کلیات

۱-۱- مقدمه

فلوتاسیون تکنیکی بسیار توانمند و اقتصادی در فرآوری کانسنگ‌های مختلف بویژه کانسنگ‌های پیچیده مرکب با عیار کم می‌باشد. از محدودیت‌های این روش، نیاز به استفاده از انواع مواد شیمیایی (سطح سازها^۱) به عنوان آماده‌ساز، تنظیم‌کننده، کلکتور، کفساز و بازداشت‌کننده است. این نیاز به دو دلیل کاربرد فلوتابسیون را محدود می‌کند. اول به دلیل گرانقیمت بودن بعضی از این مواد هزینه‌های این روش افزایش می‌یابد. دوم به دلیل سمی بودن برخی از این مواد، کاربرد این روش با مشکلات زیست محیطی همراه است. حل این مشکلات محققین و پژوهشگران را بر آن داشته است که با بررسی راه حل‌های ممکن، این محدودیت‌ها را برطرف نمایند. یکی از این راه حل‌ها، استفاده از فلوتابسیون الکتروشیمیایی برای دستیابی به فلوتابسیون بدون مواد شیمیایی است. در این روش با استفاده از شبیه سازی فرآیند فلوتابسیون در سلول‌های الکتروشیمیایی و سلول‌های فلوتابسیون تلاش می‌شود قوانین حاکم بر واکنش‌های انجام پذیر در سلول‌های الکتروشیمیایی به فرآیندهای در حال انجام در سلول‌های فلوتابسیون تعمیم داده شود. هدف این فعالیت‌ها کنترل پارامترهای موثر در فرآیند برای حذف یا کاهش مواد شیمیایی فرآیند فلوتابسیون است. مهمترین این پارامترها پتانسیل پالپ (Eh) و غلظت یون هیدروژن (pH) در محیط فلوتابسیون می‌باشد. پارامترهای موثر دیگری از جمله غلظت یون‌های فعال، ترکیب آب مصرفی، غلظت اکسیژن در محیط، درجه حرارت و فشار محیط فلوتابسیون نیز بر واکنش‌های الکتروشیمیایی در محیط فلوتابسیون تاثیر گذار می‌باشند.

۱-۲- فلوتابسیون الکتروشیمیایی

در این روش، فلوتابسیون با کنترل پارامترهای الکتروشیمیایی محیط انجام می‌شود، لذا آنرا فلوتابسیون الکتروشیمیایی^۲ می‌نامند. در این روش از علوم مرتبط با فلوتابسیون و الکتروشیمی بهره گرفته می‌شود. در این تحقیق ابتدا هر بخش به طور مختصر مورد بحث و بررسی قرار گرفته، سپس اصول فلوتابسیون الکتروشیمیایی به طور کامل توضیح داده می‌شود. با توجه به اینکه این فناوری قدمت زیادی ندارد و هنوز در مقیاس صنعتی بکار گرفته نشده و بیشتر در مطالعات تحقیقاتی به اثبات رسیده است، اما روند رو به رشد آن و گزارش‌ها و مقالات منتشر شده دورنمای بسیار مثبتی را برای صنعتی شدن این یافته‌ها نشان می‌دهد. چشم‌انداز نهایی فلوتابسیون الکتروشیمیایی، حذف مواد شیمیایی از فرآیند فلوتابسیون و دستیابی به فلوتابسیون بدون مواد شیمیایی^۳ است. با توجه به اینکه رویکرد اصلی در این تحقیق فلوتابسیون الکتروشیمیایی است، در ادامه این مقوله به طور مفصل مورد بحث و بررسی قرار گرفته است.

¹ Surfactant

² Electrochemical Flotation

³ Collectorless flotation

۱-۳- فلوتاسیون

فلوتاسیون فرآیندی است مرتبط با خواص فیزیکو شیمیایی سطح که بر مبنای ترشوندگی یا آبرانی سطح کانی‌ها، در محیط‌های آبی انجام می‌شود. این محیط از سه فاز جامد، مایع و گاز تشکیل می‌شود. خاصیتی که فلوتاسیون را به عنوان روشی بسیار مهم برای جدایش کانی‌ها مطرح می‌کند انتخابی بودن آن در شرایط خاص می‌باشد. پارامتری که این خصوصیت بارز را به فلوتاسیون می‌دهد، آبران بودن یا آبدوست بودن سطح ذرات جامد در محیط فلوتاسیون است. آبران بودن که عدم میل به جذب آب بر روی سطح جامد را نشان می‌دهد، خاصیتی برای شناور شدن ذرات کانی‌ها و در نهایت جدایش آنها در محیط فلوتاسیون است. در فلوتاسیون معمولی مواد معدنی تا رسیدن به درجه آزادی لازم خردشده، سپس کانی‌های مورد نظر (شناور و غوطه ور-شونده) مورد آماده‌سازی قرار می‌گیرند. پس از آن مواد شیمیایی مختلفی از جمله تنظیم کننده‌ها، سطح سازها و فعال کننده‌ها در این مرحله به محیط فلوتاسیون اضافه می‌شوند. در مرحله بعدی برای فلوتاسیون انتخابی کانی مورد نظر کلکتور مناسب اضافه گردیده، سپس برای پایدار سازی حباب‌های هوای تولید شده و ایجاد یک کف مناسب جهت حمل ذرات آبران به سطح سلول، کف ساز را به محیط فلوتاسیون اضافه می‌کنند. این مواد به صورت انتخابی با توجه به خواص فیزیکو شیمیایی سطح بر روی سطح کانی مورد نظر جذب می‌شود و سطح آن را آبران می‌کند. ذرات آبران چون میل به جذب آب ندارند، جذب حباب‌های هوای شده، شناور و از سایر کانی‌ها جدا می‌گردند. حباب‌های هوای توسط سیستم هوادهی به محیط فلوتاسیون وارد و توسط کف سازها پایدار می‌شوند. به این ترتیب کانی‌های مورد نظر به صورت انتخابی بر اساس خاصیت آبرانی از هم جدا می‌شوند.

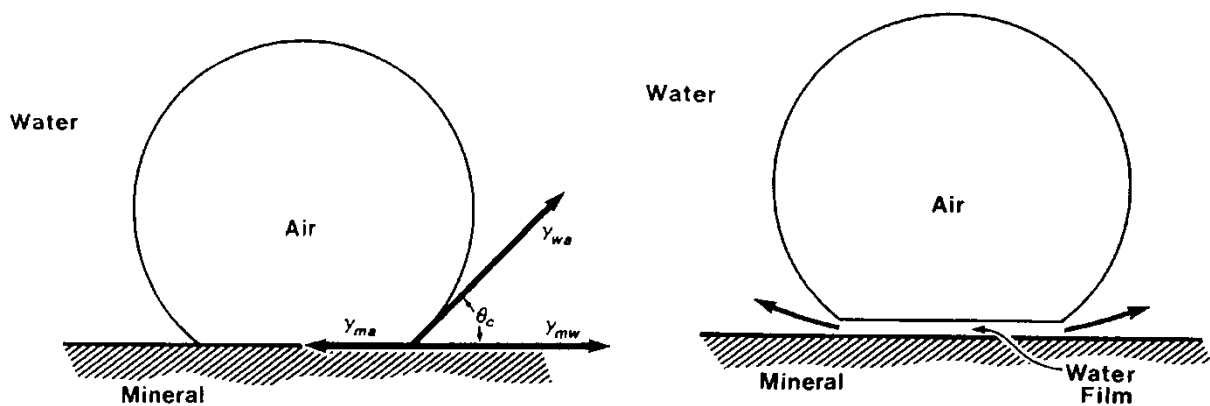
۱-۳-۱- شیمی فلوتاسیون

مهمنترین عامل در فرآیند فلوتاسیون، سطح تماس ایجاد شده بین سه فاز ذره جامد و حباب هوای در درون آب است. شکل ۱-۱ این سه فاز را به صورت شماتیک نشان می‌دهد. میزان چسبندگی هوای به سطح دانه‌های جامد با میزان آبرانی سطح جامد یا هیدروفوبیسیته سطح بیان می‌گردد. پایداری این چسبندگی به وسیله زاویه تماس ایجاد شده بین سه فاز جامد، مایع و گاز اندازه‌گیری می‌شود. از نظر ترمودینامیکی تعادل سه فاز جامد، مایع و گاز را می‌توان توسط انرژی فصل مشترک‌های آنها و با استفاده از معادله یانگ دوپیر^۴ (رابطه ۱-۱) بیان نمود:

(نعمت اللهی ۱۳۸۴)

$$\gamma_{sg} = \gamma_{sl} + \gamma_{lg} \cos\theta \quad (1-1)$$

⁴ Young Duper



شکل ۱-۱ - شمای فازهای سه گانه در فرآیند فلوتاسیون

که در آن : γ_{sg} (در شکل γ_{ma}) انرژی فصل مشترک جامد/ گاز، γ_{sl} (در شکل γ_{mw}) انرژی فصل مشترک جامد/ مایع، γ_{lg} (در شکل γ_{wa}) انرژی فصل مشترک مایع/ گاز و θ زاویه تماس می باشد. شرط تماس حباب هوا و ذره جامد این است که انرژی فصل مشترک جامد/ گاز برمجموع انرژی فصل مشترک جامد/ مایع و مولفه ای از انرژی فصل مشترک گاز/ مایع غلبه نماید.

نیروی لازم برای جدا کردن فاز جامد/ گاز (مجموع حباب هوا و ذره جامد) از فاز جامد/ مایع (لایه آب چسبیده به ذره جامد) را نیروی چسبندگی می نامند. و آنرا با W_{sg} نشان می دهند. این نیرو برابر نیرویی است که برای جدایش فاز جامد/ گاز لازم است و باعث جدایش فاز های گاز/ آب و گاز/ جامد می شود. این نیرو از رابطه زیر بدست می آید:

$$W_{sg} = \gamma_{lg} + \gamma_{sl} - \gamma_{sg} = \gamma_{lg}(1 - \cos\theta) \quad (2-1)$$

به این ترتیب زاویه تماس کمیتی است که با اندازه گیری آن می توان وضع مایع را در مقابل دو فاز جامد و گاز تعیین نمود. رابطه (۲-۱) نشان می دهد که هر چه زاویه تماس بزرگتر باشد، سطح جامد خاصیت آبرانی بیشتری دارد و مقدار W_{sg} بیشتر است. میل به جذب آب در سطح ذره جامد، ناشی از سه نیروی متفاوت می باشد که عبارتند از:

الف) انرژی یونیزاسیون که ناشی از فرایند الکتروشیمیایی حاصل از قطبی بودن ذرات جامد و ملکول های آب می باشد. (W_i)

ب) انرژی پیوند هیدروژنی که ناشی از واکنش دو قطبی القایی در سطح جامد است. (W_h)

ج) انرژی پراکنده که ناشی از واکنش ملکول های قطبی آب با دوقطبی القایی در سطح جامد است. (W_d)
(رضایی، بهرام ۱۳۷۵)

بنابراین انرژی لازم برای جدایش لایه آب از ذره جامد که همان کار ناشی از چسبندگی لایه آب به جامد است برابر است با :

$$W_a = W_i + W_h + W_d \quad (3-1)$$

این نیروها برای اکثر مواد، حتی پارافین که یک ماده کاملاً آبران است، وجود دارند. از مولفه‌های فوق، انرژی پراکنده فعال می‌باشد. تمام کانی‌ها را می‌توان در دو گروه قطبی و غیر قطبی دسته بندی نمود. این دسته بندی بر اساس فعالیت‌های الکتروشیمیایی در سطح آنها انجام می‌شود. در مورد کانی‌های قطبی مانند اکسید‌ها و سیلیکات‌ها هر سه مولفه فوق فعال هستند. لذا جدایش لایه آب از سطح آنها به راحتی انجام نمی‌شود و به صورت ذاتی آبدوست هستند. در مورد کانی‌های غیرقطبی مانند گرافیت و یا بعضی از سولفیدها، مولفه‌های W_h و W_i تقریباً برابر صفر است و آنها ماهیتی آبران دارند. به طور کلی می‌توان نوشت:

$$W_h + W_i > W_{sol} \quad (4-1)$$

اکسایش سطح در کانی‌ها، عوامل قطبی بودن و افزایش انرژی سطح، باعث آبدوست شدن سطح می‌شود. به همین دلیل کانی‌های سولفیدی در اثر اکسید شدن خاصیت آبرانی خود را از دست می‌دهند. (رضایی، بهرام ۱۳۷۵)

۱-۳-۲- دینامیک فلوتاسیون

بر اساس قوانین دینامیکی برای اینکه حباب هوا قادر به حمل ذره جامدی به سطح مایع باشد، باید شرایط زیر برقرار باشد:

$$F = F_1 - F_2 \quad (5-1)$$

$$F_1 = V_g (d_l - d_g) \quad (6-1)$$

$$F_2 = V_s (d_s - d_l) \quad (7-1)$$

$$F = (V_g d_l - V_g d_g) - (V_s d_s - V_s d_l) = d_l (V_g + V_s) - V_g d_g - V_s d_s \quad (8-1)$$

در این روابط : F نیروی حرکت حباب و ذره به سمت بالا

F_1 نیروی حرکت حباب به سمت بالا

F_2 نیروی وزن ذره به سمت پایین

V_g حجم ذره و V_s حجم حباب گاز

d_g و d_s به ترتیب جرم مخصوص مایع، جامد و گاز

جرم m_s جامد

بسیار کوچک و قابل صرفنظر کردن است. V_s هم در برابر V_g قابل صرفنظر کردن است. (رضایی، بهرام ۱۳۷۵) بنابراین خواهیم داشت:

$$F = d_l V_g - V_s d_s = V_g - V_s d_s = V_g - m_s \quad (9-1)$$

در حقیقت می‌توان گفت، توان بالابری حباب گاز به ابعاد آن بستگی دارد. هرچه ابعاد ذره جامد کوچکتر و در نتیجه جرم آن کمتر و ابعاد حباب هوا بزرگتر باشد، توان بالابری حباب بیشتر است. البته باید به این نکته اشاره نمود که باید نقش یک نیروی بسیار موثر دیگر را در فرآیند بالابری حباب‌های هوا در نظر گرفت. آن نیرو یعنی نیروی مقاومت سیال (در فرآیند فلوتاسیون پالپ) را باید در صورت مغشوش بودن جریان و بالا بودن عدد بی بعد رینولدز همچنین نیروی ویسکوز ناشی از ویسکوزیته سیال در صورت آرام بودن جریان را هم در نظر گرفت. از آنجایی که با افزایش ابعاد حباب‌های هوا، مقدار نیروهای فوق‌الاشاره نیز افزایش می‌باید، لذا ابعاد حباب‌ها دارای یک حد اپتیمم می‌باشند که در فرآیندهای مختلف با توجه به دانه‌بندی مواد شرکت‌کننده در فلوتاسیون همچنین جرم مخصوص کانی‌های شناور شونده و نیز درصد جامد پالپ باید ابعاد بهینه محاسبه گردد.

۱-۳-۳- مکانیزم جذب مواد در سطح کانی‌های شناور شونده

این بحث از آن جهت اهمیت دارد که با شناخت پدیده‌های سطح و تحلیل آنها از دیدگاه الکترو شیمیایی، می‌توان با کنترل پارامترهای الکتروشیمیایی روند این پدیده‌ها را به سمت فلوتاسیون بدون مواد شیمیایی هدایت نمود. با این رویکرد می‌توان به اهداف اصلی تحقیق که همانا انجام فلوتاسیون بدون مواد شیمیایی است، دست یافت. به طور کلی پدیده جذب مواد شیمیایی در سطح کانی‌ها، ناشی از تاثیر یک یا چند نیروی مختلف از جمله نیروی الکترواستاتیکی، پیوند کوالانسی، پیوند هیدروژنی، نیروهای واندروالسی، حلالت گروه قطبی کلکتورها، حلالت سطح کانی‌ها و تبادل یونی می‌باشد. مواد شیمیایی و ترشوندگی سطح کانی‌ها، در فصل مشترک کانی / آب کنترل می‌شود. به هنگام انتقال و تمرکز یون‌ها و ملکول‌ها در فصل مشترک آنها، فعل-انفعالات الکتروشیمیایی اتفاق می‌افتد که باعث تغییر در خواص فیزیکی و شیمیایی سطح کانی‌ها از جمله ایجاد بار سطحی در سطح کانی‌ها می‌شود. (رضایی ۱۳۷۵)

یکی از اصلی‌ترین پدیده‌های الکتروشیمیایی در سطح ذرات جامد، پدیده ایجاد بار الکتریکی در سطح جامدات در محیط فلوتاسیون است. این پدیده بر اثر مکانیزم‌های متعددی از جمله جذب شیمیایی سطحی، قابلیت تجزیه شدن ذرات جامد و جانشینی شبکه‌ای انجام می‌گیرد. مدل دولایه‌ای الکتریکی به خوبی ایجاد بار

سطحی در سطح ذرات جامد را توجیه می‌نماید. اولین لایه متصل به سطح کانی که صفحه استرن^۵ نام دارد، شامل یون‌های جذب شده بوده و از اهمیت خاصی برخوردار است. در حقیقت فرآیند فلوتاسیون به وقوع پدیده جذب در صفحه استرن وابسته است. از جمله عواملی که بر ایجاد و میزان بار سطح اثرگذار است فعالیت یون‌های تعیین‌کننده از جمله یون هیدروژن می‌باشد. این یون که دارای فعالیت زیادی در محیط فلوتاسیون است به یون تعیین‌کننده معروف است و نقش بسیار تعیین‌کننده‌ای در ایجاد بار سطحی در کانی‌ها دارد. (رضایی ۱۳۷۵). در یک pH مشخص بار سطحی کانی‌ها صفر است، که به آن نقطه بار صفر^۶ می‌گویند. برای مثال در $pH=1/8$ بار سطح کوارتز صفر است. در pH کمتر بار سطحی آن مثبت و در pH بالاتر بار سطحی آن منفی است. البته یون‌های دیگری از جمله یون $[OH^-]$ هم در ایجاد بار سطحی می‌توانند تاثیرگذار باشند. یکی دیگر از مکانیزم‌هایی که باعث ایجاد بار سطحی در کانی‌های مختلف می‌شود تجزیه ترجیحی یون‌های سطحی در سطح ذرات جامد است که در غیاب واکنش‌های سطحی به وجود می‌آید. اما شاید مهمترین مکانیزمی که باعث ایجاد بار سطحی در سطح کانی‌ها در محیط فلوتاسیون می‌شود، جانشینی شبکه‌ای باشد. در این زمینه مطالعات زیادی انجام شده است. انتخاب افزودنی‌هایی که در خلال فرآیند فلوتاسیون به سیستم اضافه می‌شوند عمدتاً بر مبنای جانشینی شبکه‌ای برای ایجاد بار سطحی در کانی‌های فلوت شونده یا بازداشت شونده می‌باشد. سولفیدی کردن، بازداشت-کردن، فعال کردن مجدد پس از بازداشت-کردن در مراحل اولیه، از جمله کاربردهایی است که بر مبنای ایجاد بار سطحی در اثربخشی شبکه‌ای استوار است. در فلوتاسیون الکتروشیمیایی با کنترل فرایندهای اکسیداسیون احیاء در محیط فلوتاسیون موادی (یا یون‌هایی) تشکیل می‌شود که با جذب آنها بر روی سطح کانی مورد نظر می‌توان آنها را فعال یا بازداشت نمود. در بخش فلوتاسیون الکتروشیمیایی این مسئله بیشتر مورد بحث قرار خواهد گرفت. برای توجیه باردارشدن سطح ذرات، اولین بار مدل دولایه‌ای الکتریکی توسط هلمولتز^۷ (۱۸۷۹) ارائه و پس از آن توسط چاپمن و گای^۸ (۱۹۱۰-۱۹۱۳) اصلاح و در نهایت توسط استرن (۱۹۲۴)، گراهام^۹ (۱۹۴۷)، بوکریس^{۱۰}، دیواناتان^{۱۱} و مولر^{۱۲} (۱۹۶۳) و کریستوفر برہت^{۱۳} (۱۹۹۴) تکمیل شده است. این مدل به خوبی ایجاد بار سطحی در سطح کانی‌ها در محیط فلوتاسیون را توجیه می‌نماید. بر اساس این مدل لایه‌های بارداری به ضخامت کسری از نانومتر بر روی سطح کانی ظاهر می‌شود. لایه اول که لایه مقاوم هم نامیده می‌شود، لایه استرن نام داشته و بالاترین پتانسیل را دارا می‌باشد. پس از آن یک صفحه برش وجود دارد که عملاً صفحه تغییر پتانسیل است و نقطه بار صفر روی آن قرار دارد. بعد از صفحه برش لایه پراکنده واقع شده است که

^۵ Stern Plane

^۶ Zero Point of Charge

^۷ Helmholtz

^۸ Chapman and Gouy

^۹ Estern and Grahame

^{۱۰} Bockris

^{۱۱} Devanathan

^{۱۲} Muller

^{۱۳} Christopher M. A. Brett

ضخامت آن بیشتر از لایه استرن می‌باشد. تمام فعل انفعالات الکتروشیمیایی و مکانیزم‌هایی که باعث ایجاد بار سطحی در سطح کانی می‌شود در این لایه‌ها اتفاق می‌افتد. شکل ۲-۱ نمای شماتیکی از دولایه‌ای الکتریکی را نشان می‌دهد. یون‌های تعیین کننده پتانسیل که در ایجاد بار سطحی در سطح کانی موثرند شامل یون‌های زیر هستند:

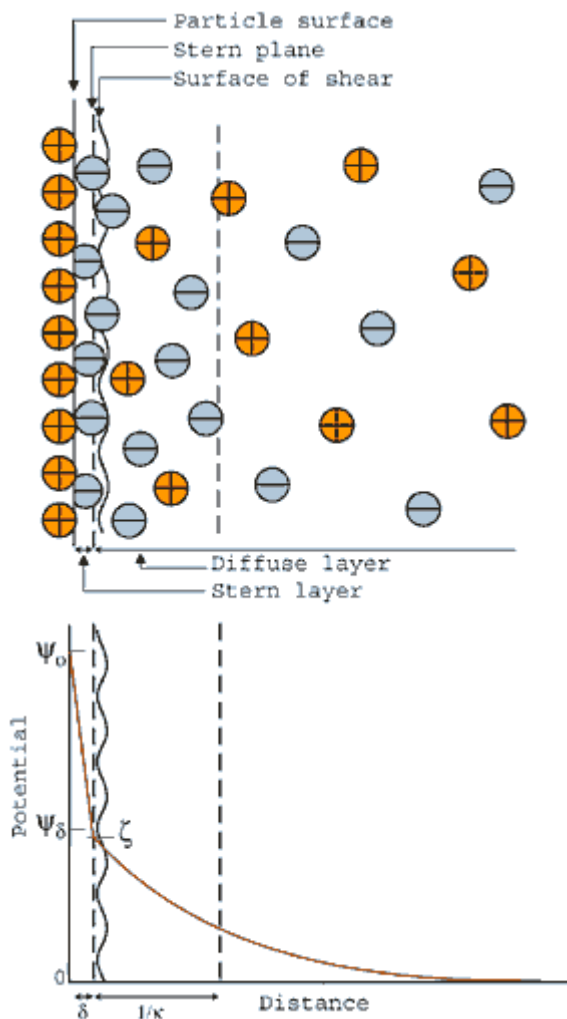
- یون‌های تشکیل دهنده نمک کلکتور غیر محلول (با یون‌های سطحی کانی)
- یون‌های تشکیل دهنده ذرات جامد در محلول
- یون‌های OH^- و H^+
- یون‌هایی که قادر به تشکیل یون‌های کمپلکس هستند
- یون‌هایی تشکیل دهنده فاز جامد ($\text{Ag}^+, \text{SO}_4^{2-}, \text{Ba}^{+2}, \text{I}^-$)

در واقع یون‌های مخالف یون‌هایی هستند که جهت حفظ نیروی خنثی سازی الکتریکی سیستم و با باری مخالف بار سطحی ذره، توسط نیروی‌های الکترواستاتیکی یا کولنی جذب شده‌اند و تمایل جذب خاصی به ذره ندارند. این لایه با یون‌هایی مخالف با بار سطح، در سطح کانی و با فاصله‌ای معادل ضخامت لایه استرن قرار گرفته‌اند. در اصل مطابق نظریه استرن دولایه‌ای الکتریکی توسط همین صفحه فرضی، که یون‌های مخالف در آن قرار گرفته‌اند به دو بخش لایه استرن و لایه پراکنده تقسیم می‌شود.

با توجه به ماهیت الکتروشیمیایی فرایندهایی که در سطح کانی‌ها اتفاق می‌افتد و با شناخت دقیق این فرایندها و کنترل فاکتورهای الکتروشیمیایی می‌توان به تدریج و مرحله به مرحله فلوتاسیون را در جهت حذف مواد شیمیایی هدایت نمود و به سمت فلوتاسیون الکتروشیمیایی بدون استفاده از مواد شیمیایی حرکت کرد.

۱-۴- الکتروشیمی

الکتروشیمی به عنوان ابزاری قدرتمند می‌تواند ارتباط فازهای موجود در محیط فلوتاسیون و پدیده‌های حادث در فصل مشترک آنها را تحلیل و کنترل نماید. الکتروشیمی شاخه‌ای از دانش وسیع شیمی است که پارامترهای الکتریکی، شیمیایی و شیمی فیزیکی محلول‌ها و نقش آنها را در فرآیندهای ترمودینامیکی و شیمیایی محیط‌های آبی بررسی می‌نماید. در سال‌های اخیر با شبیه‌سازی سیستم‌های فلوتاسیون و سلول‌های الکتروشیمیایی تلاش شده است که قوانین الکتروشیمیایی و ترمودینامیکی حاکم بر محلول‌ها و الکتروولیت‌ها و ساختار پیل‌های ولتاژی و گالوانی به محیط‌های فلوتاسیون تعمیم داده شود. همچنین با شناخت روابط حاکم بر رفتار کانی‌ها در محیط پالپ و فصل مشترک فازهای موجود در فلوتاسیون با و بدون حضور مواد شیمیایی، عملکرد این سیستم‌ها را بهبود بخشنده زمینه انجام فلوتاسیون بدون مواد شیمیایی خصوصاً بدون کلکتور را فراهم آورند.



شکل ۱-۲-۱- دوالایه ای الکتریکی

۱-۴-۱- مبانی الکترو شیمی

انواع واکنش‌های شیمیایی را می‌توان با استفاده از این اصل که هر واکنش شیمیایی در مقیاس ملکولی عبارت از گرفتن، از دست دادن یا مبادله ذرات بنیادی است طبقه‌بندی کرد. این ذرات بنیادی ممکن است الکترون، اتم، ملکول خنثی یا یون و یا اجزای خود اتم (الکترون، نوترون یا پروتون) یا فوتون‌ها یعنی ذرات انرژی پرتویی باشند. این ذرات ممکن است از منابع زیر تامین شوند (کوشکریم، ۱۳۶۹)

الف- از یک ماده شیمیایی:

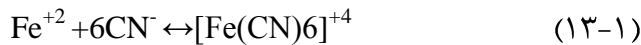
برای مثال اتم‌ها یا ملکول‌هایی که از تفکیک حرارتی حاصل می‌شود:



یا یونهایی که از تفکیک الکترولیتی حاصل شده باشند:



یا یونهایی که از تشکیل کمپلکس‌ها حاصل می‌شوند:



یا الکترون‌های آزادی که به وسیله ماده کاهنده یا الکترون‌های ثابت شده به وسیله ماده اکسیده کننده حاصل شده باشند:



ب- از تابش‌های ذرهای:

در این حالت این ذرات یون‌های ثابت (پرتو α یا پرتوهای ثابت)، الکترون‌های پرتو β و نوترون‌های حاصل از واکنش‌های هسته‌ای هستند. (مفیدی جمشید (۱۳۷۷)

ج- از پرتوهای الکترومغناطیسی

در این حالت ذرات مذکور فوتونهای تابش‌های نور مرئی یا پرتوهای غیرمرئی مانند پرتوهای γ طبیعی یا مصنوعی و یا پرتوهای X هستند.

د- از یک الکترود فلزی که در تماس با الکترولیت می‌باشد.

در این حالت ذرات بنیادی الکترون‌هایی هستند که توسط الکترود به محیط وابسته داده می‌شوند یا از محیط گرفته می‌شوند.

بنابراین بر حسب منشاء ذره بنیادی که در واکنش مبادله شده است می‌توان چهار دسته واکنش به شرح ذیل را از هم تفکیک کرد:

اول- واکنش‌های شیمیایی که در آن فقط مواد شیمیایی دخالت دارند.

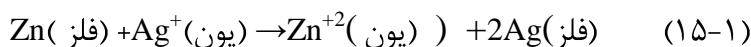
دوم- واکنش‌های رادیوشیمیایی که در آن مواد شیمیایی و پرتوهای ذرهای دخالت دارند.

سوم- واکنش‌های نورشیمیایی که در آنها مواد شیمیایی و پرتوهای الکترومغناطیسی دخالت دارند.

چهارم- واکنش‌های الکتروشیمیایی که در آن مواد شیمیایی و الکترون‌ها دخالت دارند.

۱-۴-۲- واکنش شیمیایی در یک سلول الکتروشیمیایی

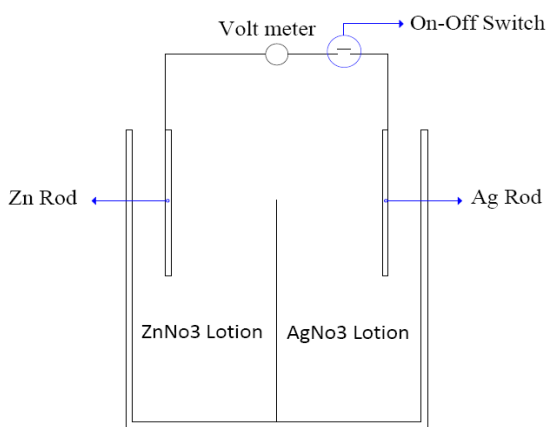
وقتی یک میله از جنس فلز روی را در محلول نیترات‌نقره فرو می‌بریم تغییری شیمیایی روی می‌دهد. میله روی حل می‌شود و سوزن‌های نقره‌ای درخشان فلز نقره بر سطح میله پدیدار می‌شود. تجزیه شیمیایی نشان می‌دهد که واکنش به صورت زیر است:



در عمل مانند رودخانهای که بدون مانع به سمت دریا جاری است، یک تغییر خودبخودی بدون تولید کار صورت می‌گیرد. گرچه به هنگام وقوع واکنش، انرژی آزاد می‌شود اما این انرژی (گرمای) فقط محلول و محیط را گرم می‌کند. در عمل می‌توان انرژی تولید شده را به صورت انرژی الکتریکی مورد استفاده قرار داد.

۱-۴-۳- عملکرد یک سلول الکتروشیمیایی

سلول الکتروشیمیایی نقره - روی (شکل ۱-۳) را در نظر بگیرید. در نیمه سمت چپ میله روی در محلول نیترات روی یک مول فرو برده شده است. در نیمه سمت راست یک میله نقره در محلول نیترات نقره یک مول جاگذاری شده است. بین دو نیمه یک دیواره سرامیکی متخلخل تراوای یونی برای برقراری اتصال الکتریکی بین دو محلول قرار گرفته است. دو میله فلزی از خارج به یک آمپرmetr متصل است که با یک کلید امکان قطع مدار وجود دارد. وقتی کلید وصل می شود جریان برقرار میگردد.



شکل ۱-۳- شماتی یک سلول الکتروشیمیایی

الکترون‌ها میله روی را ترک کرده و پس از عبور از کلید و آمپرmetr به میله نقره می‌رسند. در این میان تغییراتی در محلول‌ها بوجود می‌آید. در نیمه سمت چپ فلز روی حل شده و یون‌های Zn^{+2} تولید می‌شود. این منبع الکترون‌هایی است که از میله روی جاری می‌شوند.



در سمت راست فلز نقره بر میله نقره می‌نشینند. در این عمل هم یون‌های Ag^+ الکترون‌هایی را که در مدار خارجی به نقره می‌رسند مصرف می‌کنند.



چون تعداد الکترون‌هایی که میله روی را ترک می‌کنند مقدار واکنش را معین می‌کنند پس با توجه به واکنش معلوم می‌شود که به ازای هر مول فلز روی حل شده دو مول نقره تولید می‌شود. نتیجه کلی واکنش هایی که در سلول مذکور به وقوع می‌پیوندد عبارت است از:



اکنون می‌توان این واکنش را در شرایط کنترل شده مطالعه نمود. با اندازه‌گیری جریان الکتریکی و عوامل کنترل کننده جریان در یک سلول الکتروشیمیایی اگر اعداد زیر بدست آمده باشد، خواهیم داشت:

$$R = \frac{V}{I} \quad (2)$$

$$\begin{array}{l} \text{V ولتاژ اندازه‌گیری شده} \\ \text{I شدت جریان} \\ \text{آمپر} = V/R = ۰/۷۸ \end{array}$$

یک آمپر جریان یک کولن بار در ثانیه است. پس اگر کلید به مدت ۵ دقیقه (۳۰۰ ثانیه) وصل باشد، مقدار باری که میله روی را ترک می‌کند و وارد میله نقره می‌شود عبارت خواهد بود از :

$$کولن = ۰/۷۸ \times ۳۰۰ = ۲۳۴$$

چون هر مول الکترون برابر ۹۶۵۰۰ کولن می‌باشد بنابراین خواهیم داشت :

$$\text{مول الکترون} (\text{باری که جابجا شده است}) = ۲/۴ \times ۱۰^{-۳} \times ۹۶۵۰۰$$

توان تولید شده بوسیله شدت جریان I در مقاومت R برابر با $R \times I^2$ و انرژی آزاد شده مساوی است با توان ضربدر زمانی که کلید وصل بوده است. بنابراین خواهیم داشت :

$$\text{رُول} = \text{زمان} \times \text{توان} = \text{زمان} \times R \times I^2 = (۰/۷۸)^2 \times ۲ \times ۳۰۰ = ۳۶۵$$

$$\text{کالری} = ۳۶۵ \times ۰/۲۳۹ = ۸۷$$

در ادامه خواهیم دید که این انرژی چگونه با فرآیندهای الکتروشیمیایی مربوط می‌باشد و چگونه با کنترل و اندازه‌گیری این انرژی می‌توان سمت وسیع واکنش‌های در حال انجام در فلوتاسیون الکتروشیمیایی را کنترل نمود.

۱-۴-۴- انرژی آزاد سلول الکتروشیمی

سلول‌های الکتروشیمی (علی‌الخصوص سلول‌های فلوتاسیون الکتروشیمیایی) معمولاً در ظروف سرباز و بنابراین در فشار و دمای ثابت عمل می‌کنند. در چنین شرایطی تغییر انرژی آزاد همراه با واکنش سلول به سادگی با کار الکتریکی که ممکن است از آن گرفته شود ارتباط پیدا می‌کند. انرژی آزاد یک سیستم در دمای ثابت برابر است با :

$$\Delta G = \Delta H - T\Delta S \quad (۱۹-۱)$$

ΔG	انرژی آزاد
ΔH	تغییرات آنتالپی
T	درجه حرارت
ΔS	تغییر انتروپی

و تغییرات آنتالپی در فشار ثابت برابر است با :

$$\Delta E = \Delta H + P\Delta V \quad (۲۰-۱)$$

ΔE	انرژی داخلی
------------	-------------

فشار	P
تغییر حجم	ΔV
از طرفی داریم :	
$\Delta E = Q - W$	(۲۱-۱)
$\Delta S = Q_{rev} / T$	(۲۲-۱)
گرمای تشکیل واکنش	Q
گرمای برگشت واکنش	Q_{rev}
کار واکنش	W
درجه حرارت	T

با جاگذاری مقادیر مشابه در روابط فوق خواهیم داشت:

$$\Delta G = Q - W + P \Delta V - Q_{rev} \quad (23-1)$$

$$\Delta G = (Q - Q_{rev}) - W + P \Delta V \quad (24-1)$$

بنابراین در سلول‌های الکتروشیمیایی دو نوع کار وجود دارد. یکی کار حاصل از انبساط که صرف عقب راندن اتمسفر در فشار ثابت است ($P\Delta V$) و دیگری کار الکتریکی سلول که آن را با W_e نشان می‌دهیم. با جاگذاری در رابطه (۶) خواهیم داشت :

$$\Delta G = (Q - Q_{rev}) - (W_e + P \Delta V) + P \Delta V \quad (25-1)$$

از آنجا خواهیم داشت :

$$\Delta G = (Q - Q_{rev}) - W_e \quad (26-1)$$

در سلول‌های الکتروشیمیایی زمانی که تخلیه سلول بینهایت کند صورت گیرد، کار حاصل ماکزیمم خواهد شد. در آن شرایط Q با Q_{rev} برابر خواهد شد و خواهیم داشت:

$$\Delta G = -W_{e_{max}} \quad (27-1)$$

بنابراین در فشار و دمای ثابت اندازه کار ماکزیمم که همان انرژی آزاد است مستقل از فشار و حجم است. بین اختلاف پتانسیل، مقاومت کل، و شدت جریان یک سلول الکتروشیمیایی روابط زیر برقرار است:

$$I = \frac{V}{R} \quad (28-1)$$

چون جریان I از تحرک N الکترون در زمان t ایجاد می‌شود، یعنی :

$$I = \frac{N_e}{t} \quad \text{و} \quad t = \frac{N_e}{I} \quad \text{و} \quad t = \frac{N_e \cdot R}{V} \quad (29-1)$$

و چون توانی که از جریان I تولید می‌شود برابر $I^2 \times R$ می‌باشد و انرژی الکتریکی حاصل ضرب توان در زمان است لذا خواهیم داشت :

$$W_{e\max} = \left(\frac{V}{R}\right)^2 \times R \times t = \frac{V^2}{R^2} \times R \times \frac{N_e \times R}{V} = N_e \times V \quad (30-1)$$

چون $N_e = n \times N_0$ عدد آوگادرو خواهیم داشت :

$$W_{e\max} = N_e \times V = (n \times N_0) \times e \times V = n \times (N_0 \times e) \times V = n \times \tau \times V \quad (31-1)$$

در رابطه فوق n تعداد مول الکترون مبادله شده و V ولتاژ جریان صفر و τ عدد ثابت می باشد. اگر کار بر حسب ژول باشد، τ برابر ۹۶۵۰۰ و اگر بر حسب کالری باشد، τ برابر ۲۳/۰۸ و اگر بر حسب الکترون ولت باشد τ برابر واحد خواهد بود چون :

$$\Delta G = -W_{e\max} \quad n \times V \times \tau = W_{e\max} \quad (32-1)$$

$$\Delta G = -n \times V \times \tau \quad . \quad (33-1)$$

لذا مشاهده می گردد که برای اندازه گیری انرژی آزاد یک سلول الکتروشیمیایی کافی است که ولتاژ جریان صفر آن را اندازه گیری نمائیم و با داشتن موازنہ واکنش به راحتی آنرا محاسبه نمائیم.

۱-۴-۵- پتانسیل سلول الکتروشیمیایی

سلول های الکتروشیمیایی به دو دسته سلول های گالوانی و الکتروولیتی تقسیم می شوند. در تمام سلول های الکتروشیمیایی آند، به الکترودی اطلاق می شود که در سطح آن واکنش اکسیداسیون انجام می شود و کاتد، به الکترودی گفته می شود که در سطح آن فرآیند احیاء اتفاق می افتد سلول های گالوانی مولد انرژی هستند و جریان الکتریکی در آنها بدون صرف انرژی برقرار می گردد. در این سلول ها الکترون از الکترود آند به طرف الکترود کاتد جاری می شوند. همچنین در این سلول ها آند قطب منفی و کاتد قطب مثبت سلول را بوجود می آورد. در سلول های الکتروولیتی با اعمال پتانسیل (صرف انرژی الکتریکی) جریان الکتریکی در سلول ها برقرار می گردد. در این دسته از سلول ها، الکترون ها از کاتد به سمت آند جاری می شوند. همچنین آند قطب مثبت و کاتد قطب منفی می باشد. لازم به ذکر است که بیشتر روش های الکتروشیمیایی مبتنی بر استفاده از سلول های الکتروولیتی می باشند. پتانسیل در هر نقطه به تنها ی قابل اندازه گیری نیست. اما پتانسیل بین دو نقطه با استفاده از ولتمتر قابل اندازه گیری است و آنچه به وسیله ولتمتر خوانده می شود. پتانسیل سلول نامیده می شود و باعلامت E نمایش داده می شود. پتانسیل سلول تحت تاثیر عوامل چون ماهیت الکترودها و الکتروولیت، غلظت یون های موجود در محیط و ملکول ها، فشار گازها و درجه حرارت قرار می گیرد.

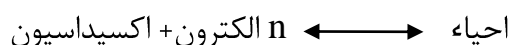
۱-۴-۶- پتانسیل استاندارد

جهت مقایسه سلول های مختلف یک حالت استاندارد برای یک سلول گالوانی تعریف می شود. بنا بر تعریف حالت استاندارد زمانی است که غلظت مواد حل شده (یون ها) یک مولار و فشار جزیی یک اتمسفر باشد. زمانی که این

شرایط برقرار باشد پتانسیل اندازه‌گیری شده پتانسیل استاندارد نامیده می‌شود و با علامت E^0 نمایش داده می‌شود.

۱-۷-۴-پتانسیل آزاد و پتانسیل مخلوط

یک فعل و انفعال الکتروشیمیایی شامل یک جفت واکنش اکسیداسون و احیاء می‌باشد که در نیم واکنش اکسیداسیون الکترون داده می‌شود و در نیم واکنش احیاء الکترون گرفته می‌شود. می‌توان این فعل و انفعال را به صورت زیر نمایش داد:



با استفاده از رابطه نرنسن می‌توان پتانسیل سیستم فوق را نسبت به الکترود استاندارد هیدروژن (SHE) محاسبه کرد:

$$Eh = E^0 + (RT/nF) \times \ln(a_{ox}/a_{red}) \quad (۳۴-۱)$$

که در آن E^0 پتانسیل استاندارد، R ثابت گازها، T دمای مطلق، n تعداد اکیوالان الکترون برای هر مول و F ثابت فارادی می‌باشد. a_{ox} و a_{red} به ترتیب مشخص کننده فعالیت اکسیداسیون و احیاء در محلول می‌باشد. در مقابل پتانسیل آزاد یک پتانسیل مخلوط وجود دارد که پتانسیل مدار باز هم نامیده می‌شود. هنگامی که بیشتر از یک الکترود در محیط باشد یا بیشتر از یک واکنش در سطح انجام شود پتانسیل مخلوط ایجاد می‌شود. (مفیدی جمشید ۱۳۷۷)

۱-۴-۱-الکترودها

همانگونه که ذکر شد الکترودها به طور مستقیم در واکنش‌های الکتروشیمیایی نقش ندارند ولی اگر فرآیندهای الکتروشیمیایی را یک سیستم ترمودینامیکی درنظر بگیریم الکترودها هم می‌توانند واسطه اعمال انرژی به سیستم باشند و هم می‌توانند به عنوان یک حسگر نشان دهنده وضعیت تعادل ترمودینامیکی سیستم باشند. اگر در نظر باشد که یک پتانسیل خارجی به سلول فلوتاسیون الکتروشیمیایی اعمال گردد، معمولاً این کار توسط الکترود انجام می‌شود. الکترودها را از نظر جنس، ساختار، ساختمان و نقش آنها در فرآیند و کنترل و پایش پتانسیل به سه دسته الکترودهای مرجع، الکترودهای کار والکترودهای کمکی تقسیم می‌کنند. (موسوی کوزه کنانی و گلابی، ۱۳۶۷). از نظر جنس، الکترودها شامل الکترودهای فلزات نجیب (طلاء و پلاتین)، الکترودهای انتخاب یونی و الکترودهای کانی (از جنس کانی‌های شناورشونده) می‌باشند. (چاندر^{۱۴}، ۲۰۰۳) از نظر ساختار و شکل الکترودها شامل الکترودهای میله‌ای یا سوزنی، تیغه‌ای، ورقه‌ای، مارپیچی، دیسکی و دیسک

^{۱۴} Chander

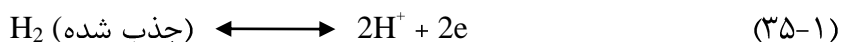
چرخان می‌باشند. محل قرارگیری، شکل و جنس الکترودها از جمله عواملی است که بر عملکرد ترمودینامیکی و الکتروشیمیایی سیستم‌های در دست مطالعه تاثیر گذار است. بنابراین پیش از آنکه به نقش الکترودها در فرآیند فلوتاسیون الکتروشیمیایی بپردازیم، لازم است که به طور مختصر در خصوص انواع الکترودها، شکل آنها، عملکرد آنها و چیدمان آنها در مطالعات فلوتاسیون الکتروشیمیایی پرداخته شود.

۱-۴-۱-۱- انواع الکترودها

پیش از این عنوان گردید که الکترودها برمبنای عملکردشان به سه دسته الکترودهای مرجع، الکترودهای کار والکترودهای کمکی یا نشانگر تقسیم بندی می‌شوند در ادامه به بحث درباره انواع الکترودها می‌پردازیم.

الف- الکترودهای مرجع^{۱۵}

الکترودهای مرجع یا شاهد الکترودی است که پتانسیل آن در طی کار ثابت است و در نتیجه این امکان را فراهم می‌نماید تا بتوان تغییرات پتانسیل الکترود کار را در طی یک آزمایش اندازه گیری کرد. برای مثال با اندازه گیری اختلاف پتانسیل بین الکترود مرجع و الکترود کانی و اطلاع از پتانسیل الکترود مرجع پتانسیل سطح کانی را بدست آورد. الکترود مرجع معمولاً از یک جفت نیم پیل الکتروشیمیایی تشکیل شده است که در آن یک جفت واکنش اکسیداسیون احیاء اتفاق می‌افتد و معمولاً به عنوان مرجع یا شاهدی است که پتانسیل محیط پالپ یا پتانسیل سطح کانی را با آن سنجیده، اندازه گیری می‌کنند. نقش الکترود مرجع فراهم ساختن پتانسیل ثابتی است که در طول آزمایش یا فرآیند تغییر نکند. این پتانسیل باید مستقل از چگالی جریان محیط باشد. در بیشتر موارد لازم است که پتانسیل الکترود مرجع را با مقیاس الکترود نرمال هیدروژن که استاندارد قابل قبولی برای محاسبات ترمودینامیکی است مرتبط سازیم. (موسوی کوزه کنانی و گلابی، ۱۳۶۷). الکترود هیدروژن برای تعیین emf^{16} پیل یا اندازه گیری پتانسیل سایر الکترودها مورد استفاده قرار می‌گیرد. در الکترود هیدروژن واکنش برگشت‌پذیر زیر اتفاق می‌افتد.

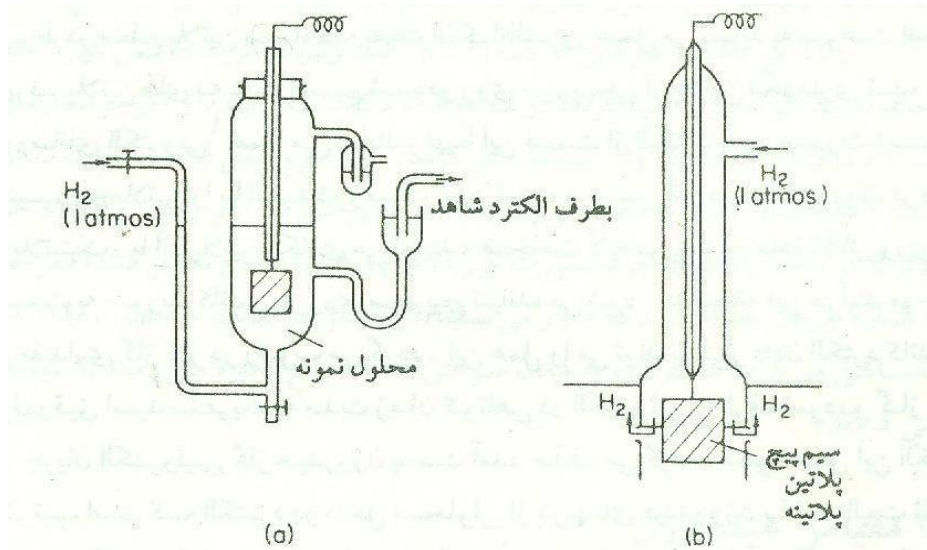


در اینجا ضرورت دارد که هیدروژن گازی و یون‌های هیدروژن در محلول به حال تعادل در بیاید. این شرط در سطح پلاتین که به عنوان کاتالیزور عمل می‌نماید به سرعت انجام می‌شود. نحوه ساخت الکترود هیدروژن به این صورت است که ابتدا سیم پیچ پلاتین را با اسیدکرومیک تمیز نموده آنرا در محلول ۱٪ کلریدپلاتین با آند پلاتین آبکاری می‌کنند. لایه مورد نیاز ماده کاتالیزور به صورت کاتد بر روی سیم پیچ نشانده می‌شود. در این فرآیند مقداری کلر رسوب می‌کند که برای از بین بردن آن الکترود کاتد را برای مدت کوتاهی در محلول رقیق

¹⁵ References Electrode

¹⁶ electromotive force

اسیدسولفوریک فرو می‌برند تا گاز کلر توسط جریان الکتروولیتی گاز هیدروژن به دست آمده، حذف گردد. پس از آن الکترود را در داخل محلولی از یون‌های هیدروژن با فعالیت ثابت، که گاز هیدروژن از سطح آن عبور می‌کند غوطه ور می‌نمایند. ذکر این نکته لازم است که گاز هیدروژن مورد استفاده باید خالص باشد. شکل ۴-۱ دو نوع الکترود هیدروژن را نشان می‌دهد. (زعفرانی محمد تقی، ۱۳۷۱)



شکل ۴-۱- دو نوع الکترود هیدروژن (زعفرانی محمد تقی، ۱۳۷۱)

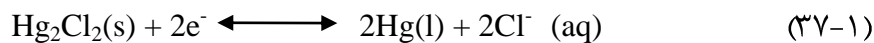
الکترود نوع (a) دارای محلول محبوس شده‌است و از آلودگی احتمالی محافظت می‌گردد. این الکترود برای تعیین پتانسیل الکترود بسیار مناسب است. در حالیکه الکترود دیگر را می‌توان در محلولی که هدف تعیین غلظت یون هیدروژن آن محلول است غوطه‌ور نمود. این الکترود برای بررسی تغییرات غلظت یون هیدروژن در فرآیند تیتراسیون مناسب است. همچنین برای جلوگیری از تاثیر موادی مانند جیوه و آرسنیک و به ویژه ترکیبات سولفوری نباید از لوله و اتصالات پلاستیکی استفاده نمود. مگر اینکه قبل از استفاده، در محلول سدیم-هیدروکسید غلیظ جوشانده شود. همچنین می‌توان از لوله و اتصالات از جنس بی‌وی‌سی استفاده نمود.

قبل از استفاده از الکترود هیدروژن برای تعیین emf یک پیل باید آن را کالیبره کردن باید آنرا با یک الکترود هیدروژن دیگر به هم وصل نمود. پتانسیل پیلی که از دو نیم پیل هیدروژن یکسان درست شده است باید صفر باشد. (زعفرانی محمد تقی، ۱۳۷۱) الکترود استاندارد هیدروژن را به نام الکترود نرمال هیدروژن هم می‌نامند و پتانسیل آنرا در تمام دماها در صورتیکه فعالیت H^+ در محلول دقیقاً برابر ۱ مول بر لیتر و فشار جزئی گاز هیدروژن برابر ۱ اتمسفر باشد، به طور قراردادی برابر صفر ولت در نظر می‌گیرند. با اضافه کردن 0.241 ولت به عدد اندازه‌گیری شده توسط الکترود کالومل و 0.223 ولت به عدد اندازه‌گیری شده توسط الکترود نقره/کلریدنقره می‌توان این اعداد را به مقیاس الکترود هیدروژن تبدیل نمود. (مفیدی جمشید، ۱۳۷۷) معمولترین الکترودهای مرجع شامل یک فلز و محلول اشباع نمک کم محلول فلز بعلاوه نمک به شدت یونیزه

شده اضافی با آنیون مشترک است. برای مثال می‌توان به الکترود کالومل جیوه، نقره/کلریدنقره یا نقره/سولفات نقره اشاره کرد. جدول ۱-۱ الکترودهای رایج در مطالعات الکتروشیمیایی رانشان می‌دهد.

استفاده از الکترود مرجع دیگری که پتانسیل آنها نسبت به پتانسیل هیدروژن به دقت تعیین گردیده، غالباً راحت‌تر است. در انتخاب چنین الکترودهایی دقت زیادی بکار می‌رود تا در یک مدت طولانی بتوانند پتانسیل تکرارپذیری داشته باشند. (زعفرانی محمد تقی، ۱۳۷۱) الکترودهای مرجع عموماً شامل الکترودهای استاندارد هیدروژن و الکترودهای کالومل اشباع می‌باشند. به علت دشوار بودن شرایط استفاده از الکترودهای استاندارد هیدروژن، از این الکترود در مقیاس صنعتی نمی‌توان استفاده کرد. بنابراین بیشتر از الکترودهای کالومل اشباع یا از الکترود نقره/کلریدنقره استفاده می‌کنند.

واکنش نیم پیلی و رابطه پتانسیل مربوط به الکترود کالومل اشباع بصورت زیر است :



پتانسیل کالومل از یک سو تابع درجه حرارت و از سوی دیگر تابع فعالیت یا غلظت Cl^- یا KCl می‌باشد. پتانسیل این الکترود در دماهای مختلف را با استفاده از رابطه (۳۸-۱) می‌توان به حالت استاندارد (۲۵ درجه سانتیگراد) تبدیل کرد:

جدول ۱-۱- الکترود های مرجع رایج و پتانسیل آنها در محلول های آبی در دمای ۲۹۸ درجه کلوین

	الکترود	پتانسیل نسبت به SHE (ولت)	نام معمول
+۰/۲۴۱	$\text{Hg/Hg}_2\text{Cl}_2, \text{KCl}$	کالومل اشباع	SCE
+۰/۲۸۰	$\text{Hg/Hg}_2\text{Cl}_2, \text{KCl} 1 \text{ mol/dm}^3$	کالومل	
+۰/۶۴۰	$\text{Hg/Hg}_2\text{SO}_4, \text{K}_2\text{SO}_4$	سولفات جیوه(I)	
+۰/۶۸۰	$\text{Hg/Hg}_2\text{SO}_4, \text{K}_2\text{SO}_4 \cdot 5\text{mol/dm}^3 \text{H}_2\text{SO}_4$ (II)	سولفات جیوه	
+۰/۰۹۸	$\text{Hg/HgO} 1 \text{ mol/dm}^3 \text{ NaOH}$	اکسیدجیوه(I)	
+۰/۱۹۷	$\text{Ag/AgCl} 4 \text{ mol KCl}$	نقره-کلریدنقره کلرید پتانسیم	
الکترود استاندارد هیدروژن			SCE
الکترود کالومل اشباع			

$$E = +0/241 - 6/6 \times [10.4 \times (t-25)] \quad (38-1)$$

واکنش نیم پیلی و رابطه پتانسیل مربوط به الکترود نقره/کلریدنقره بصورت زیر است:

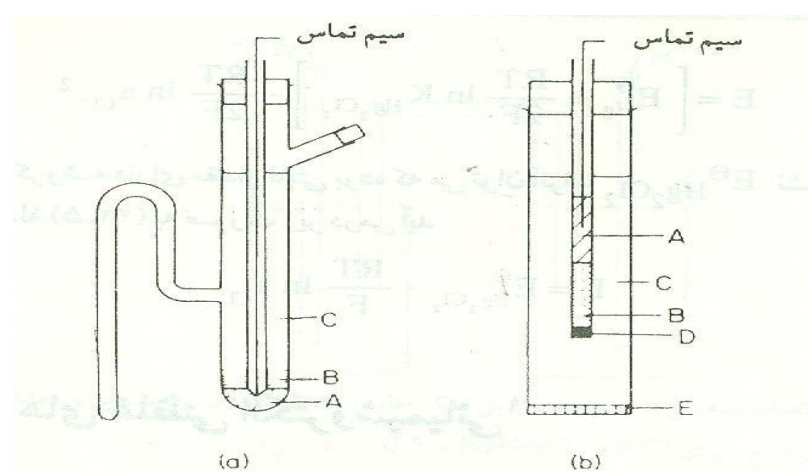


از این الکترود غالباً به عنوان الکترود شاهد در تهیه الکترود انتخابی یون استفاده می‌کنند. در این صورت معمولاً مفتولی از نقره پوشیده از کلریدنقره را درون الکتروولیت حاوی یون‌های کلرید و اشباع شده از کلریدنقره شناور

می‌سازند. پتانسیل هر کدام از الکترودها توسط فعالیت یون آنیون در محلول کنترل می‌شود. دو نوع الکترود کالومل در شکل ۱-۵ نشان داده شده است.

ب- الکترودهای کار^{۱۷}

الکترود کار الکترودی است که به طور مستقیم در داخل محیط فرآیند، برای مثال در داخل سلول فلوتاسیون الکتروشیمیایی قرار داده می‌شود و تغییرات ترمودینامیکی و الکتروشیمیایی محیط را نسبت به الکترود مرجع نشان می‌دهد. در روش‌های پتانسیومتری و آمپرمتري و ولتا متري، پتانسیل خارجی بر روی الکترود کار اعمال می‌گردد. از نظر جنس الکترود کار شامل الکترود فلزات نجیب (طلاء و پلاتین)، الکترود جیوه، یا ملغمه جیوه، الکترودهای جامد بی‌اثر مانند سرب، زغال، گرافیت می‌باشند.(موسوی کوزه کنانی و گلابی، ۱۳۷۶).



A جیوه، B خمیر جیوه-کالومل، C محلول کلرید پتانسیوم، D درپوش آزبست یا پشم شیشه، E شیشه متخخل
شکل ۱-۵- دو نوع الکترود کالومل (زعفرانی محمد تقی، ۱۳۷۱)

الکترودهای کانی (از جنس کانی‌های شناورشونده در مطالعات فلوتاسیون الکتروشیمیایی با کانی‌های سولفیدی) و الکترودهای انتخاب یونی هم از گروه الکترودهای کار هستند. (چاندر ۲۰۰۳). از نظر شکل الکترودهای کار می‌تواند به صورت یک کره کوچک، قرص کوچک، میله کوتاه، ورقه‌ای، مارپیچی، فنری، دیسکی یا دیسک چرخان باشند. برای بالا بردن دقیقت اندازه‌گیری و تکرارپذیر بودن اندازه‌گیری‌ها ضروری است که الکترودهای کار در دوره‌های زمانی مشخص پاکسازی و احیاء شوند. چون به دلیل در تماس بودن مدام این الکترودها با محلول یا پالپ، سطح انها آلوده یا به اصطلاح مسموم می‌شوند. بنابراین باید به طور مرتب با روش‌های استاندارد که بعداً شرح داده می‌شوند پاکسازی شوند.

^{۱۷} Working electrode

ج- الکترودهای کمکی^{۱۸}

الکترودهای کمکی از نظر جنس، شکل و ساختمان شبیه الکترودهای کار هستند ولی نقش آنها در مطالعات الکتروشیمیایی با الکترود های کار فرق می کند. هدف اصلی از استفاده از الکترودهای کمکی فراهم ساختن شرایطی است که بتوان جریان جاری شده بر روی الکترود کار را اندازه گیری نمود، بدون آنکه خطایی در اندازه گیری پتانسیل کار وابسته به جریان حاصل شود. در حقیقت زمانی که قرار است جریانی در داخل محیط فرآیند برقرار گردد (برای مثال در مطالعات آمپرمتری) این جریان بین الکترود کار با الکترود کمکی که یک مدار بسته را می سازند برقرار می گردد بی آنکه پاسخ اندازه گیری شده سلول الکتروشیمیایی را دچار محدودیت نماید. فرآیند الکترودی لزوما باید همرا با تخریب الکتروولیت موجود در محیط اکسیداسیون احیاء یا یکی از اجزاء الکتروولیت باشد، به طوریکه جریان بدون نیاز به پتانسیل مازاد به آسانی عبور نماید. در بعضی موارد می توان ترتیبی داد که واکنش الکترودی بر عکس واکنش الکترود کار باشد به طوریکه ترکیب الکترود دست نخورده باقی بماند. به همین دلیل الکترود کمکی را الکترود مخالف هم می نامند. الکترود کمکی باید هیچ تاثیری روی داد ^۱ های اندازه گیری شده داشته باشد. (موسوی کوزه کنانی و گلابی، ۱۳۷۶)

۱-۲-۴- تقسیم بندی الکترودها بر اساس جنس آنها

الکترودها را بر اساس جنس آنها می توان به انواع الکترودهای فلزات نجیب، الکترودهای انتخاب یونی، الکترودهای تهیه شده از کانی های طبیعی (از جنس کانی های شناور شونده یا بازداشت شونده) دسته بندی نمود که در ادامه به شرح آنها می پردازیم.

الف- الکترود فلزات نجیب

الکترودهای فلزات نجیب عمدتا شامل الکترود پلاتین و الکترود طلا می باشند. تعدادی از محققان از الکترود پلاتین و طلا در اندازه گیری و کنترل پتانسیل پالپ در مطالعات فلوتاسیون الکتروشیمیایی کانی های سولفیدی استفاده کرده اند. (وودز و راندر، ۱۹۸۴)، (ناتراجان و ایوساکی، ۱۹۷۴)، (چاندر و زایو، ۱۹۹۱). گمان بر این است که فلزات نجیب یا خنثی تحت تاثیر واکنش های شیمیایی و الکتروشیمیایی قرار نمی گیرند. اما در عمل تعدادی از مواد آلی یا بعضی از یون های مخصوص ممکن است روی سطح این الکترودها رسوب کنند و در اصطلاح آنها را مسموم سازند. لذا در مطالعات دقیق ضروری است که در هر اندازه گیری، این الکترودها بازیابی شوند. یعنی سطح آنها فعال شود. مشخص شده است که خالص بودن محلول، حافظه قبلی الکترود و حتی اتمسفر محیط اندازه گیری در مقادیر Eh اندازه گیری شده تاثیر دارد. (ناتراجان و ایوساکی، ۱۹۷۴)

^{۱۸} Counter electrode

ب- الکترود انتخاب یونی

در الکترودهای انتخاب یونی فعالیت‌های یک یون به صورت اکسیدی یا احیائی را اندازه‌گیری می‌کنند. یک نوع از این الکترودها، الکترودهایی هستند که از کریستال کانی سولفیدی ساخته می‌شود و در کنترل پتانسیل در فلوتاسیون الکتروشیمیایی کانی‌های سولفیدی از آن استفاده می‌شود. مزیت این الکترودها این است که به طور سریع مقادیری کمتر از ۲۰ مول یون آزاد را نشان می‌دهد و به راحتی می‌توان از آن در دفعات بعدی استفاده کرد. جواب این الکترودها برای یون‌های ازاد با معادله نرنسن نیز قابل محاسبه است. زایو و چاندر در ۱۹۹۱ پتانسیل الکترود را به صورت تابعی از یون‌های آزاد در دامنه $pH = 7 - 14$ که نشان دادند می‌توان مقدار یون‌های آزاد را با استفاده از داده‌های ترمودینامیکی و یک رابطه بین پتانسیل و یون‌های آزاد توسط معادله نرنسن محاسبه نمود. (زایو و چاندر، ۱۹۹۱) عیب این الکترودها این است که فقط وقتی می‌توان از این الکترودها استفاده کرد که pH ثابت بماند. بنابراین استفاده از این الکترودها زمانی که یون‌ها تغییر می‌کند مجاز نمی‌باشد چون در این مورد pH تغییر می‌کند.

ج- الکترودهای تهیه شده از کانی‌های طبیعی

برای سیستم فلوتاسیون کانی‌های سولفیدی، پتانسیل برقرار شده در فصل مشترک کانی / محلول یک فاکتور بسیار مهم است که نتیجه فلوتاسیون را تعیین می‌کند. بنابراین استفاده از الکترودهای کانی از جنس کانی‌های فلوته شونده برای اندازه‌گیری Eh بسیار جالب است. در حقیقت از الکترود کانی به عنوان الکترود کار استفاده می‌کنند. کلاهدوزان در ۱۳۸۳ گزارش کرده است که الکترود کانی به این صورت تهیه می‌شود که یک کریستال از کانی خالص به دقت پولیش خورده تا صیقلی می‌شود. سپس در داخل یک لوله شیشه‌ای جاگذاری می‌شود. اتصال الکتریکی توسط یک سیم مسی که به سطح کانی متصل شده است برقرار می‌شود. (کلاهدوزان و همکاران ۱۳۸۳)

۱-۴-۹- روش‌های اندازه‌گیری پتانسیل الکترود

منظور از پتانسیل الکترود M ، emf پیلی است که از زوج نمودن نیم پیل $M^{n+} | M + ne$ با یک نیم پیل هیدروژن (الکترود هیدروژن) بدست می‌آید. با توجه به اینکه پتانسیل نیم پیل هیدروژن در شرایط استاندارد صفر می‌باشد، بنابراین emf تعیین شده پتانسیل الکترود M یا نیم پیل ($M^{n+} | M + ne$) را نشان می‌دهد. پیل فوق الذکر را می‌توان به صورت زیر نشان داد:

$$Pt, H_2 (a=1) | H^+(a=1) || M^{n+} | M \quad (41-1)$$

بنابراین خواهیم داشت:

$$E_{cell} = E_{\text{پیل سمت چپ}} - E_{\text{پیل سمت راست}} \quad (42-1)$$

و چون برای الکترود هیدروژن (پیل سمت چپ) $E=0$ بنابراین پتانسیل الکترود مذکور برابر emf پیل می باشد. علامت پتانسیل الکترود از روی آزاد شدن گاز هیدروژن یا یونیزه شدن آن تعیین می‌گردد. اگر به هنگام بستن پیل، الکترون‌ها به یون‌های هیدروژن داده شود و باعث آزاد شدن گاز هیدروژن گردد، در این صورت هیدروژن قطب مثبت و پتانسیل الکترود مجھول منفی است. در غیراینصورت، اگر هیدروژن یونیزه شود قطب منفی را تشکیل می‌دهد و پتانسیل الکترود مجھول مثبت خواهد بود. می‌توان پتانسیل یک الکترود را با استفاده از الکترودی که پتانسیل آن با دقت نسبت به الکترود هیدروژن تعیین شده‌است، به دست آورد. در این صورت آن الکترود را الکترود مرجع یا کمکی می‌نامند. همانطور که قبل ذکر شد، پتانسیل الکترودی کالومل اشباع و نقره-کلریدنقره کلریدپتانسیم اشباع را به ترتیب، $0/241$ و $0/197$ ولت مثبت‌تر از الکترود استاندارد هیدروژن می-باشند. پتانسیل استاندارد بر پایه مقیاس الکترود هیدروژن در جدول ۱-۲ آورده شده است.

جدول ۱-۲- پتانسیل استاندارد الکتروودها بر پایه مقیاس الکترود هیدروژن (زعفرانی محمد تقی، ۱۳۷۱)

E_0	الکترود	E_0	الکترود
-3.05	Li^+/Li	+0.16	Cu^{+2}/Cu^+
-2.87	Ca^{+2}/Ca	+0.23	Bi^{+3}/Bi
-2.71	Na^+/Na	+0.34	Cu^{+2}/Cu
-2.37	Mg^{+2}/Mg	+0.40	O_2/OH^-
-1.66	Al^{+3}/Al	+0.76	Fe^{+3}/Fe^{+2}
-0.76	Zn^{+2}/Zn	+0.80	Ag^+/Ag
-0.40	Cd^{+2}/Cd	+0.80	Hg^{+2}/Hg
-0.25	Ni^{+2}/Ni	+0.92	Hg^{+2}/Hg_2^{+2}
-0.13	Pb^{+2}/Pb	+1.36	Cl_2/Cl^-
0.00	H^+/H	+1.45	Ce^{+4}/Ce^{+3}

برای اندازه‌گیری پتانسیل یک زوج واکنش اکسیداسیون-احیاء موجود در یک محلول، معمولاً یک الکترود بی-اثر را در محلول وارد نموده، سپس پتانسیل الکترود آنرا نسبت به الکترود مرجع اندازه‌گیری می‌نمایند. استفاده از الکترود مرجع کمکی غالباً راحت‌تر است. در انتخاب چنین الکترودهایی دقت زیادی می‌شود تا در یک مدت طولانی بتوانند پتانسیل تکرارپذیری داشته باشند برای اندازه‌گیری پتانسیل پالپ (پتانسیل اکسیداسیون-احیاء یا Eh) معمولاً از الکترود فلزات نجیب مانند طلا یا پلاتین به عنوان الکترودهای بی-اثر استفاده می‌کنند.

فصل دوم

مروری بر فلوتاسیون

الکتروشیمیابی

۱-۲- کلیاتی در باره فلوتاسیون الکتروشیمیایی

همانگونه که در مقدمه عنوان شد فلوتاسیون الکتروشیمیایی روش جدیدی است که از دانش الکتروشیمی در فناوری فلوتاسیون استفاده نموده، باعث ارتقاء فلوتاسیون و رفع محدودیت‌های آن می‌شود. در این روش با کنترل پارامترهای الکتروشیمیایی، فعال‌انفعالات و واکنش‌های اکسیداسیون احیاء در محیط فلوتاسیون که باعث تغییر خواص سطحی کانی‌ها می‌گردد، به سمتی هدایت می‌شوند که بتوان کانی‌های مورد نظر را شناور یا بازداشت نمود. اصلی‌ترین پارامترهای الکتروشیمیایی قابل کنترل، Eh و pH هستند. با کنترل این دو پارامتر، همچنین کنترل واکنش‌های اکسیداسیون احیاء می‌توان روند تشکیل محصولات این واکنش‌ها را که نقش اساسی در تغییر خواص سطحی یعنی آبران کردن یا آبدوست کردن کانی‌ها دارد، کنترل نمود. در ادامه به طور مفصل این روش مورد بحث قرار می‌گیرد.

۲-۳- تاریخچه فلوتاسیون الکتروشیمیایی

حدود پنج دهه است که محققان و پژوهشگران تلاش‌های زیادی برای تدوین دستورالعمل‌های لازم برای انجام آزمایش‌های فلوتاسیون الکتروشیمیایی و شناخت قوانین حاکم بر این فرآیند را بعمل آورده‌اند. هرچند بخش عمده مقالات، پایان‌نامه‌های کارشناسی‌ارشد و دکتری، گزارش‌های علمی و طرح‌های تحقیقاتی به فعالیت‌های انجام‌شده در مقیاس آزمایشگاهی اشاره دارد، اما گزارش‌های محدودی نیز به فعالیت‌های انجام شده در مقیاس صنعتی در جهت بهبود راندمان واحدهای فلوتاسیون پرداخته‌اند.

اولین بار در سال ۱۹۵۴^{۱۹} نیکسون^{۱۹} و همکاران فلوتاسیون بدون کلکتور با استفاده از فلوتاسیون الکتروشیمیایی را مطرح نمودند. داف فیورستانیو^{۲۰} در سال ۱۹۵۶ پیشگام مطالعات فلوتاسیون الکتروشیمیایی سولفیدها با کنترل پتانسیل پالپ شدند. اولین بررسی‌ها در زمینه برهم‌کنش کلکتورها در فلوتاسیون الکتروشیمیایی با الکترود کانی‌های سولفیدی توسط وودز^{۲۱} در سال ۱۹۷۱ (گالن/ اتیل‌اگزنتات)، کوال و پومینسکی^{۲۲} در سال ۱۹۷۳ (کالکوسیت/ اتیل اگزنتات) و چاندر و فیورستانیو^{۲۳} در سال ۱۹۷۴ (کالکوسیت/ دی‌اتیل‌تیوفسفات) انجام گردید. تکنیک‌های الکتروشیمیایی تا دهه ۸۰ به‌طور خاص برای فلوتاسیون سولفیدها در مقیاس تحقیقاتی مورد استفاده قرار گرفته‌است. این مطالعات به منظور شناخت منشاء پتانسیل در آنها و با سه هدف (۱) جذب سولفیدها (۲) ترکیباتی از عناصر موجود که در سطح کانی‌ها تشکیل می‌گردد و (۳) تشکیل دی‌تیول، انجام شده‌است. سنجش^{۲۴} پتانسیل، در ارتباط با قابلیت شناوری کالکوپیریت در $pH=11$ به عنوان یک فاکتور مهم در مطالعات

¹⁹ Nixon

²⁰ Fuerstenau, D.W

²¹ Woods

²² Kowal, A., Pomianowski, A.,

²³ Chander, S., Fuerstenau, D.W.

²⁴ Comparison

فلوتاسیون الکتروشیمیایی توسط هایس و تراهار^{۲۵} در سال ۱۹۷۸، گاردنر و وودز^{۲۶} در سال ۱۹۷۹ و لوترال و یون^{۲۷} در سال ۱۹۸۴ مورد مطالعه قرار گرفته است. یافته های آقای چاندر و فیورستانیو^{۲۸} در سال ۱۹۸۳ نشان داد که کالکوپیریت می تواند در یک پتانسیل خاص از مولیدنیت جدا شود. مطالعات اخیر محققان در خصوص ارتباط پتانسیل و فلوتواسیون، آنها را به این جمع بندی هدایت کرده است که بر اساس تحقیقات انجام شده، تجربیات مدون فرآوری کانی های با ارزش و وابستگی پتانسیل / بازیابی، امکان توسعه فلوتواسیون الکتروشیمیایی وجود دارد. گیپهارد و ریچاردسون^{۲۹} در سال ۱۹۸۷ نشان دادند که رفتار مخلوط کانی ها را نمی توان از رفتار کانی های منفرد پیش بینی نمود.

استفاده از تکنیک های الکتروشیمیایی نه تنها در مرحله فلوتواسیون که در مراحل قبل از آن از جمله در مراحل آسیا کنی هم مورد توجه محققان بوده است. اهمیت تاثیر متقابل اثر گالوانیک کانی های سولفیدی و بار خرد- کننده در آسیا توسط آدام^{۳۰} و همکاران در سال ۱۹۸۴، مورد بررسی قرار گرفته است. این محققان با مطالعات آزمایشگاهی نشان داده اند که ماهیت الکتروشیمیایی در این اندر کنشها بر روی قابلیت شناوری کانی های سولفیدی به صورت مشهودی اثرگذار است. در تحقیقاتی که پازهیانور^{۳۱} و همکاران در سال ۱۹۹۷ در موسسه پلی تکنیک ویرجینیا در امریکا انجام دادند، توانستند با کنترل فرآیندهای الکتروشیمیایی از جمله حفاظت کاتدیک فرسایش بار خرد کننده را تا حدود ۳۰ الی ۶۰ درصد کاهش دهند.

کنترل و پایش پتانسیل در فرآیند فلوتواسیون الکتروشیمیایی به عنوان یک ابزار قدرتمند در جهت بهبود کارایی سیستم فلوتواسیون توسط محققان مورد بررسی قرار گرفته است. هیالی و تراهار^{۳۲} در سال ۱۹۸۹ و وودز^{۳۳} و همکاران در سال ۱۹۹۱ مکانیزم الکتروشیمیایی فلوتواسیون خودالقایی^{۳۴} در ارتباط دادن پتانسیل شروع فلوتواسیون به برگشت پذیری اکسیداسیون کانی های سولفیدی را مورد بررسی قرار داده اند. فلوتواسیون خودالقایی نامی برای فلوتواسیون بدون کلکتور و مواد شیمیایی کانی هایی است که دارای خاصیت آبرانی خودزاد هستند. این روش برای مطالعه تعدادی از کانی های سولفیدی در مقیاس آزمایشگاهی ساماندهی شده اند. اگرچه این فرآیند هنوز کاربردهای موثری در مقیاس صنعتی پیدا نکرده است. سنیور و تراهار^{۳۵} در سال ۱۹۹۱ و گرانو^{۳۶} و همکاران در سال ۱۹۹۷ حساسیت فلوتواسیون خودالقایی را به بازداشت کانی های هیدروکسیدی گزارش کرده اند. این محققان یادآور شده اند که، گسترش هیدروکسیدهای فلزی مربوط به بار خرد کننده آسیا، نوع کانسنگ

²⁵ Heyes, G.W., Trahar, W.J.

²⁶ Gardner, J.R., Woods, R

²⁷ Luttrell, G.H., Yoon, R.-H.,

²⁸ Chander, S., Fuerstenau, D.W.

²⁹ Gebhardt, J.E., Richardson, P.E.

³⁰ Adam, K

³¹ Pazhianur, R

³² Healy, T.W., Trahar, W.J.

³³ Woods

³⁴ Self Induce Flotation

³⁵ Senior, G.D., Trahar, W.J.

³⁶ Grano, S.R

و همچنین آب مصرفی می‌باشد. کنترل این پارامترها در مقیاس آزمایشگاهی آسان است اما در مقیاس صنعتی مشکل یا غیرممکن است. سنیور و تراهار در سال ۱۹۹۱ گزارش نمودند که اثر هیدروکسید را ممکن است با کمپلکس کردن یون‌های بازداشت‌کننده کاهش داد یا برطرف کرد اما این خیلی مطلوب نیست چون با اضافه کردن مواد شیمیایی همراه است. آربیتر و گیپهارد^{۳۷} در سال ۱۹۹۲ گزارش کردند که بازیابی فلوتاسیون در غیاب کامل کلکتور (فلوتاسیون بدون کلکتور) اغلب بسیار پایین است. این محققان عملی بودن فلوتاسیون بدون کلکتور را در مقیاس صنعتی تقریباً غیرممکن دانسته‌اند. آنها با جمع بندی نتایج تحقیقات انجام شده تا آن زمان گزارش کردند که بهترین رویکرد در بهینه‌سازی فرآیند فلوتاسیون الکتروشیمیایی ترکیبی از کنترل الکتروشیمیایی و مصرف کم مواد شیمیایی است. یک روش جالب در فلوتاسیون الکتروشیمیایی بدون کلکتور توسط یون^{۳۸} و همکاران در سال ۱۹۹۶ در مورد حذف پیریت از ذغالسنگ ارائه گردیده است. فایرتورن^{۳۹} و همکاران در سال ۱۹۹۷ وفولستون^{۴۰} و همکاران در سال ۱۹۹۹ آزمایش‌های فلوتاسیون الکترو شیمیایی را با کنترل پتانسیل پالپ بر روی اسفالریت انجام و گزارش کردند که فلوتاسیون بدون کلکتور کانی‌های سولفیدی با روش کنترل پتانسیل پالپ قابل دفاع است. فریتمان گرگیته^{۴۱} در سال ۲۰۰۱ انجام موفقیت‌آمیز یک سری آزمایش‌های فلوتاسیون الکتروشیمیایی با الکترودهایی از جنس کانی فلوته شونده و الکترود فلزات نجیب را همراه با منحنی‌های Eh/pH شرایط بهینه را برای فلوتاسیون الکتروشیمیایی بدون کلکتور گزارش کردند.

بولتون^{۴۲} در سال ۲۰۰۲، با انجام آزمایش‌هایی بر روی اسفالریت، با روش فلوتاسیون الکتروشیمیایی با فعال‌سازی توسط مقدار کمی مواد شیمیایی (نیترات مس) اعلام نمود، که بازیابی افزایش می‌یابد. او گزارش کرده است که بازیابی روی با کاربرد ۲۰۰ گرم بر تن نیترات‌مس در فلوتاسیون الکتروشیمیایی به شدت افزایش می‌یابد. وودز در سال ۲۰۰۳ در یک مقاله مروری فلوتاسیون الکترو شیمیایی را بر پایه کنترل پتانسیل پالپ با استفاده از الکترودهایی از جنس کانی، روشی امکان‌پذیر اعلام نموده است. جی یون و ین^{۴۳} در سال ۲۰۰۳ با طراحی یک سلول آزمایشگاهی برای انجام فلوتاسیون الکتروشیمیایی، آزمایش‌هایی را با آن سلول با موفقیت انجام دادند. همچنین آن محققان در سال ۲۰۰۴ نتایج آزمایش‌های فلوتاسیون الکتروشیمیایی را بر روی نمونه‌های مصنوعی (سنتز شده) از آنارژیت و کالکوبیریت موفقیت‌آمیز گزارش کردند. در سال ۲۰۰۵ فورناسیرو و رالستون^{۴۴} نتایج کار خود را تحت عنوان تاثیر اکسید/هیدروکسید تولید شده در سطح اسفالریت فعال شده با مس در فلوتاسیون بدون کلکتور موفقیت‌آمیز گزارش کردند.

³⁷ Arbiter, N., Gebhardt, J.E

³⁸ Yoon, R.-H.,

³⁹ Fairthorne, G.

⁴⁰ Fullston, D.

⁴¹ Fairthorne, G

⁴² Boulton , A.

⁴³G.Yoon and Yen

⁴⁴ Fornasiero, D., Li, F., Ralston, J.

با توجه به ضرورت کنترل پارامترهای موثر در فرآیند فلوتاسیون الکتروشیمیایی استفاده از روش‌های پیشرفته آنالیز کمی و کیفی عناصر، یون‌ها و مواد حاضر در محیط فلوتاسیون بسیار اهمیت دارد. در این راستا محققان مطالعات ارزشمندی را انجام داده‌اند که ضرورتا به برخی روش‌ها اشاره می‌شود.

روش‌های بسیار ساده کنترل pH تا کنترل کمی مواد حاضر در محیط فلوتاسیون از جمله روش‌های IC^{۴۵}، XPS^{۴۶}، TOF-SIMS^{۴۷}، توسط محققان مورد استفاده گرفته‌است. فوناسیرو^{۴۸} و همکاران در سال ۱۹۹۴^{۴۹} و آگنر^{۵۰} در سال ۱۹۹۴، فایرترن^{۵۱} و همکاران در سال ۱۹۹۷^{۵۲}، فولستون^{۵۳} و همکاران در سال ۱۹۹۹^{۵۴}، خمولف^{۵۵} و همکاران در سال ۲۰۰۵^{۵۶}، فوناسیرو و رالستون^{۵۷} در سال ۲۰۰۵ از جمله کسانی هستند که از این روش‌ها برای اندازه‌گیری و تکمیل داده‌ها در آزمایش‌های فلوتاسیون و متعاقب آن تفسیر داده‌ها استفاده کرده‌اند. نگارنده برای کنترل نتایج حاصل در تحقیقات در دست انجام از روش بسیار ارزان و قابل دسترس آنالیز مینرالوژی استفاده نموده است.

۳-۲- روشهای فلوتاسیون الکتروشیمیایی

با توجه به پارامترهایی که در فرآیند فلوتاسیون مورد کنترل قرار می‌گیرند روشهای مختلفی را می‌توان مورد بحث قرار داد. عمدۀ این روشهای شامل فلوتاسیون الکتروشیمیایی با کنترل پتانسیل پالپ، فلوتاسیون الکتروشیمیایی با کنترل غلظت مواد شیمیایی، فلوتاسیون الکتروشیمیایی با کنترل pH، فلوتاسیون الکتروشیمیایی خودالقایی یا بدون کلکتور، فلوتاسیون الکتروشیمیایی با اعمال پتانسیل خارجی می‌باشند. روشهای فلوتاسیون الکتروشیمیایی خود القایی یا بدون کلکتور و فلوتاسیون الکتروشیمیایی با اعمال پتانسیل خارجی روشهای فلوتاسیون بدون مواد شیمیایی می‌باشد.

۳-۳- فلوتاسیون الکتروشیمیایی با کنترل پتانسیل پالپ

تئوری‌های الکتروشیمیایی، نوع سطح را که با واکنش‌های اکسیداسیون آندی تشکیل شده و باعث جذب کلکتور می‌شوند، همزمان با فرآیندهای کاتدیک که با احیاء اکسیژن همراه است مورد توجه قرار می‌دهد. بنابراین جذب کلکتور یک مرحله کلیدی شیمیایی در فرآیند فلوتاسیون است. این پدیده جوابگوی بررسی استفاده از تکنیک‌های الکتروشیمیایی و ترکیبات آندی و فرآیندهای کاتدی می‌باشد، که می‌تواند در الکترودهای کانی‌های

⁴⁵Ione Cromatoghraphy

⁴⁶XPS

⁴⁷ Time Of Secount Fly Electron

⁴⁸Fornasiero, D

⁴⁹ Wagner, C.D

⁵⁰ Fairthorne, G.A.

⁵¹ Fullston, D.

⁵² Khomlove

⁵³ Fornasiero, D., Ralston, J.

سولفیدی مورد مطالعه قرار گیرد. تکنیک‌های الکتروشیمیایی توسط تعدادی از محققان و پژوهشگران طی سالهای ۱۹۷۰ تا ۱۹۸۰، به طور خاص برای فلوتاسیون سولفیدها مورد کاربرد قرار گرفته است. این مطالعات به منظور شناسایی منشاء پتانسیل در آنها به منظور ۱) بررسی نحوه جذب سولفیدها ۲) ترکیباتی که با عناصر فلزی در کانی‌ها تشکیل می‌گردد^{۳۴} ۳) تشکیل دی‌تیولیت انجام شده است. اولین بررسی‌ها در زمینه برهمنکنش کلکتورها در فلوتاسیون با الکترود کانی‌های سولفیدی توسط وودز^{۵۴} در ۱۹۷۱ (گالن/ اتیل‌اگزنت)، کوال و پومینسکی^{۵۵} در ۱۹۷۳ (کالکوسیت/ اتیل‌اگزنت) و چاندر و فورستانو^{۵۶} در ۱۹۷۴ (کالکوسیت/ دی‌اتیل‌تیوفسفات) انجام شده است.

جذب شیمیایی یک پدیده مورد توجه ترمودینامیکی است و معمولاً در پتانسیل‌های پایینتر از مقادیر برگشت پذیر برای تشکیل تیولیت فلز اتفاق می‌افتد. وودز در سال ۱۹۹۶ گزارش کرده است که پتانسیل واپسته به تعادل جذب شیمیایی پوشش دهنده چندین سیستم کانی/ کلکتور از واکنش هم دمای فرومکین^{۵۷} تعیت می‌کند. این واکنش هم دما یک معادله پدیداری بر اساس مشاهدات ماکروسکوپی است و نشان دهنده کاربرد آن در دامنه وسیعی از سیستم‌هایی است که در آن انواع جذب گاز یا محلول بر روی سطح جامد وجود دارد. ایزوترم فرومکین شرایطی از تئوری‌های ملکولی را توضیح می‌دهد که در آن انرژی گونه‌های مختلف جذب سطح محیط هتروژن و اندرکنش جذب ملکولی را پوشش می‌دهد. (رضایی بهرام، ۱۳۹۱) جذب شیمیایی موثرترین کاربرد کلکتورها را به دلیل فرم تک‌لایه‌ای‌ها قبل از هسته و رشد فاز حجمی ارائه می‌دهد. فاز تیولیت‌فلزی تشکیل شود و غلبه تک‌لایه‌ای جذب شده توسعه می‌یابد. دی‌تیولیت‌ها ممکن است علاوه بر تیولیت‌فلزی تشکیل شود و واکنش غالباً بستگی به این دارد که کدام یک از دو پتانسیل احیا به شدت منفی باشد. برای تعدادی از سیستم‌های کانی‌سولفیدی/ تیول کلکتور، وابستگی بازیابی فلوتاسیون به پتانسیل در حالیکه از الکترود لایه‌ای استفاده شده است، یا پتانسیل پالپ با افزودن مواد شیمیایی احیا کننده کنترل گردیده معین شده است. وابستگی پتانسیل/ بازیابی فلوتاسیون برای سه سیستم کانی سولفیدی/ تیول کلکتور، متناظر با ایزوترم جذب آنها در شکل‌های ۱-۲ تا ۳-۲ با هم مقایسه شده است. همانگونه که در این شکل‌ها نشان داده شده است با افزایش پتانسیل تا یک حد مشخصی بازیابی افزایش یافته است، ولی از آن حد به بعد کاهش بازیابی رخ می‌دهد که این احتمالاً به دلیل اکسید شدن سطح کانی در پتانسیل‌های بالاتر و کاهش خاصیت آبرانی آن می‌باشد. واضح است که اگر اختلاف در پتانسیلی باشد که در آن پتانسیل، کانی‌های مختلف با کلکتور خاصی فلوته می‌شوند، پس با کنترل پتانسیل می‌توان فرآیند را به سمتی هدایت نمود که آن کلکتور بر روی سطح کانی مورد نظر جذب شده، آنرا شناور سازد. برای مثال چاندر و فورستانو در ۱۹۸۳ نشان دادند که کالکوبیریت را می‌توان در یک پتانسیل خاص انتخاب شده از مولیبدنیت جدا کرد. مطالعات انجام شده در خصوص ارتباط پتانسیل و

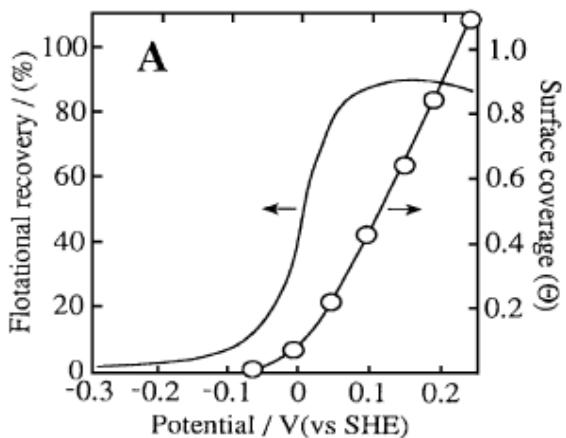
^{۳۴} Woods

^{۳۵} Cowal and Pomianoeski

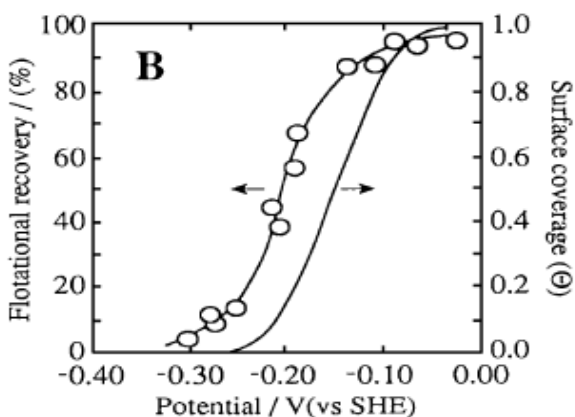
^{۳۶} Chander and D.Fuerrstenu

^{۳۷} Frumkin

فلوتاسیون محققان را به این جمعبندی هدایت کرده است که، بر اساس تفاوت بین تجربیات مدون فرآوری کانی‌های با ارزش و وابستگی پتانسیل/بازیابی، امکان توسعه جدایش مواد معدنی با فلوتابسیون الکترو شیمیایی وجود دارد. توسعه این فعالیتها امری ضروری است. یافته‌های گیو و تراهار^{۵۸} در ۱۹۸۵، گبهارد^{۵۹} و همکاران در ۱۹۸۵ و گبهارد و ریچاردسون^{۶۰} در ۱۹۸۷، نشان داده است که رفتار مخلوط کانی‌ها را نمی‌توان از رفتار کانی‌های منفرد پیش‌بینی نمود. رفتار یک مخلوط ساده از کانی‌ها با رفتار کانی‌های تشکیل‌دهنده این مخلوط در شکل ۲ ۴-۲ و ۵-۲ با هم مقایسه شده است. در شکل ۴-۲ نتیجه فلوتابسیون مخلوط گالن و کالکوپیریت که با اتیل اگزنتات فلوته شده است، با فلوتابسیون این کانی به صورت تفکیکی با هم مقایسه شده است. این کار توسط گیو و تراهار در ۱۹۸۵ گزارش شده است.



شکل ۲-۱- وابستگی پتانسیل-بازیابی متناظر با ایزوترم جذب برای گالن/ اتیل اگزنتات(وودز ۱۹۹۶) این محققان به این نکته اشاره دارند که، از مطالعه فلوتابسیون کانی‌ها به تفکیک این امکان وجود دارد، که با کنترل پتانسیل اکسیداسیون بتوان کالکوپیریت را از گالن جدا نمود. در حالیکه فلوتابسیون معکوس گالن از کالکوپیریت در پتانسیل‌های پایین باید انجام شود.

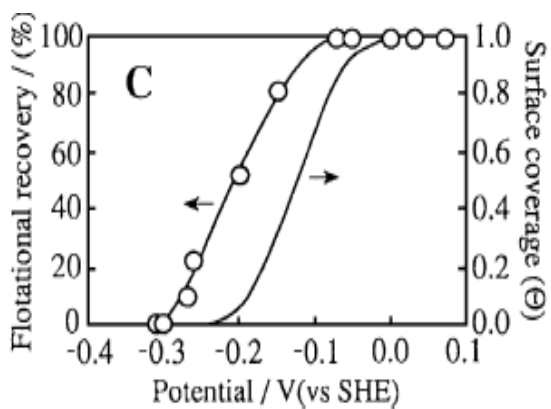


شکل ۲-۲- وابستگی پتانسیل-بازیابی متناظر با ایزوترم جذب برای کالکوپیریت/ اتیل اگزنتات(وودز ۱۹۹۶)

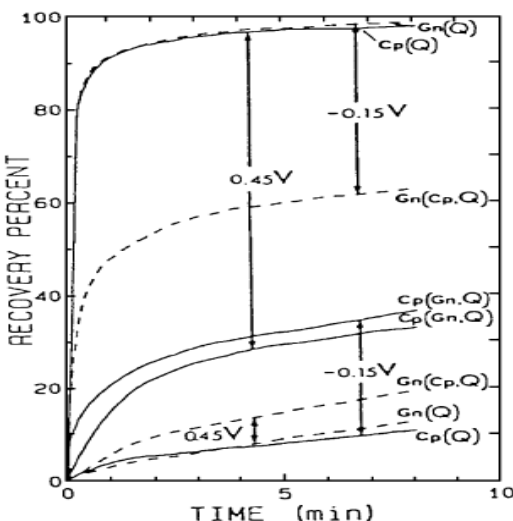
⁵⁸ Gue and Trahar

⁵⁹ Gebhardt

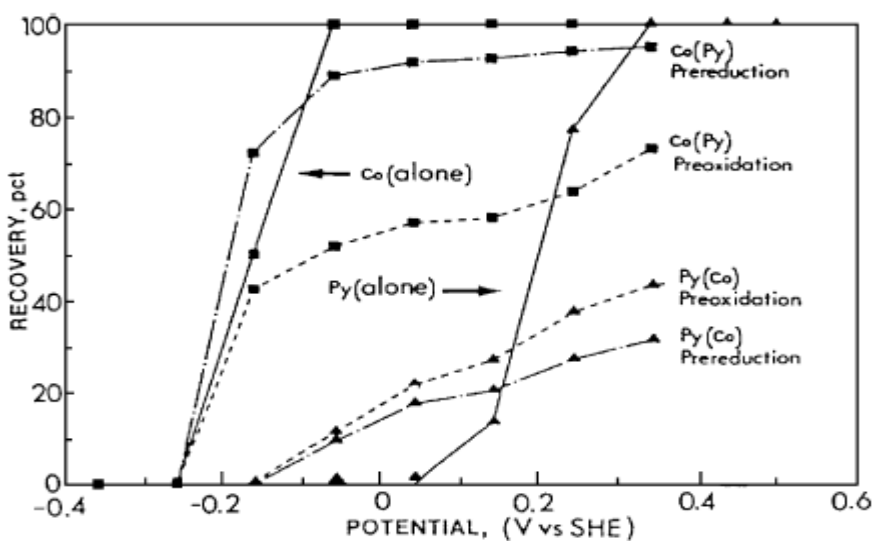
⁶⁰ Gebhardt and Richardson



شکل ۲-۳- وابستگی پتانسیل- بازیابی متناظر با ایزووترم جذب برای کالکوسیت/ دی‌تیو فسفات(وودز ۱۹۹۶)



شکل ۲-۴- شناوری کالکوپیریت (Cp) و گالن (Gn) از کوارتز (Q) به تفکیک و مخلوط تحت شرایط اکسیداسون واحیا با کلکتور اتیل‌اگزنتات (گیو و تراهار ۱۹۸۵)



شکل ۲-۵- شناوری کالکوسیت(Co) و پیریت (Py) از کوارتز (Q) با کلکتور اتیل‌اگزنتات به تفکیک و مخلوط در حالیکه پتانسیل احیا ۰/۳۶- ولت و اکسیداسیون در مدار باز ۰/۲+ ولت می باشد. (گبهارد و ریچاردسون ۱۹۸۷)

بر اساس انچه در شکل ۲-۵ آمده است، کالکوپیریت در پتانسیل اکسیداسیون $45/40 +$ ولت به طور موثری می-تواند شناور شود، ولی بازیابی گالن پایین است. بر عکس در پتانسیل $15/0 -$ ولت بازیابی کالکوپیریت پایین است. اگر چه می‌توان مشاهده نمود که تاثیر کانی‌های با خصوصیات مشابه وقتی با هم ظاهر می‌شوند بر هم‌دیگر اثر می‌گذارند. بنابراین در پتانسیل $45/40 +$ ولت بازیابی کالکوپیریت در حضور گالن با ضریب ۴ کاهش می‌یابد، در حالیکه بازیابی گالن در حضور کالکوپیریت تقریباً دو برابر می‌شود. با کاهش پتانسیل تا $15/0 -$ ولت فلوتاسیون گالن حدود ۴۰٪ کاهش می‌یابد. در حالیکه بازیابی کالکوپیریت وقتی که کانی‌ها با هم حضور دارند تقریباً با ضریب ۵ افزایش می‌یابد. تاثیری که هر کانی بر سایر کانی‌ها در فلوتاسیون دارد، توسط گیو و تراهار در ۱۹۸۵ توضیح داده شده است. بهبودی در فلوتاسیون گالن (که خیلی به کالکوپیریت شبیه است) با مشارکت یون‌های مس که از اکسیداسیون کالکوپیریت بدست آمده انجام شده است و فلوتاسیون کالکوپیریت با جابجایی آهن موجود در کالکوپیریت با یون سرب که از گالن آزاد می‌شود بهبود می‌یابد.

یک نتیجه‌گیری مشابه در انتخابی بودن مخلوط پیریت/کالکوسیت توسط گبهارد و ریچاردسون در ۱۹۸۷ گزارش شده، که در شکل ۲-۵ نشان داده شده است. این شکل نشان می‌دهد که با یک کانی منفرد، با اتیل-اگزنتات در پتانسیل بالای $15/0 -$ ولت کالکوسیت با راندمان خیلی خوب شناور می‌شود. در حالیکه پیریت تا پتانسیل $5/0 +$ ولت نمی‌تواند شروع به فلوته شدن نماید. این نشان می‌دهد که در بازه پتانسیل تا $2/0 +$ ولت کالکوسیت به آسانی از پیریت فلوته و جدا می‌شود. این اختلاف میان پتانسیل وابسته به فلوتاسیون دو کانی سولفیدی که به طرز قابل توجهی در مخلوط کاهش پیدا کرده‌است به دلیل وابستگی جدایش مرحله اولیه فرآیند است. شکل ۲-۵ نشان می‌دهد که حضور پیریت به طور موثری باعث بازداشت کالکوسیت می‌شود. در حالیکه وقتی کانی‌ها در مخلوط حضور دارند، کالکوسیت پیریت را فعال می‌نماید. آشکار است که در این مطالعات بازیابی فلوتاسیون کانی‌های سولفیدی در مخلوط هنوز هم تابعی از پتانسیل است، اما رفتار منفرد کانی‌ها قابل پیش‌بینی نیست. تکنیک‌های الکتروشیمیایی با ارزشی در باره مکانیزم‌ها و سینتیک فعل انفعالاتی که در فرآیند پدیده‌های سطح مشترک جامد/ محلول اتفاق می‌افتد ارائه شده است. اما خصوصیات الکتروشیمیایی فاقد اختصاصات ملکولی مورد نیاز جهت شناخت پدیده‌های غیر قابل تغییر و متنوع تشکیل شده در سطح الکترودهاست. به همین دلیل تعدادی اسپکتروسکوپی‌های برجا و نابرجا برای تکمیل مطالعات الکتروشیمیایی و دستیابی به اطلاعات عنصری و ملکولی ترکیب، هندسه اتمی و ساختار الکترونیکی فصل مشترک‌ها بکار گرفته شده است.

۳-۲-۳- فلوتاسیون الکتروشیمیایی با کنترل pH

کنترل pH یکی از روش‌های با کاربرد بسیار وسیع برای مدل کردن فلوتاسیون کانی‌هاست. در مطالعه‌ای که توسط فریهان گوکتپه^{۶۱} در سال ۲۰۰۱ انجام شده است تاثیر pH بر پتانسیل پالپ در محلول فلوتاسیون کانی‌های سولفوره با الکترودهای مختلف مورد بحث قرار گرفته است. الکترودهای مورد استفاده شامل پلاتین، طلا، کالکوپیریت، پیریت و گالن بوده‌اند. آنها دریافتند که پتانسیل و pH دارای یک رابطه خطی با شیب‌های متفاوت برای هر الکترود در داخل محلول بوده است. کالکوپیریت، پیریت، اسفالریت و گالن کانی‌هایی بودند که آزمایش فلوتاسیون بر روی آنها در سلول کوچک فلوتاسیون^{۶۲} انجام شده است. گزنتات با کربورهای زنجیر بلند به عنوان کلکتور در pH مورد استفاده قرار گرفته است. همانگونه که انتظار می‌رفت pH تاثیر معنی دار بر فلوتاسیون و پتانسیل پالپ داشته است. تاثیر pH در فلوتاسیون سولفید‌ها با توجه مخصوص به ارتباط آن با پتانسیل پالپ مورد آزمایش قرار گرفته است.

مطالعات اندازه‌گیری پتانسیل به عنوان تابعی از pH در یک محلول خالص توسط ناتارجان و ایواساکی، (۱۹۷۲)، گبهارد و شدد، (۱۹۸۸)، رز و وندونتر،^{۶۳} (۱۹۷۸) و احمد، (۱۹۸۵) گزارش شده‌است. منحنی‌های Eh/pH که از اندازه‌گیری با الکترودهای کانی و فلزات نجیب بدست می‌آید، به طور مسلم به شرایط سطحی مربوط می‌شود. فرآیند فلوتاسیون و حلایت کانی‌های سولفیدی تحت شرایط هوادهی با مراجعه به منحنی‌های Eh/pH قابل استنباط است. اندازه‌گیری پتانسیل پالپ در ارتباط با اندازه‌گیری نسبی pH در سال‌های اخیر در مدارهای فلوتاسیون در مقیاس صنعتی به طور وسیعی فراگیر شده‌است. (فریهان گوکتپه^{۶۴}، ۲۰۰۱، جانسون^{۶۵} و همکاران (۱۹۸۸) گزارش کرده‌اند که، جمع‌آوری داده‌ای Eh/pH اندازه‌گیری شده برای یک فرآیند عملیاتی ممکن است مواد شیمیایی اضافه شده به سیستم را کاهش دهد و اطلاعات ارزشمندی را در جهت حل مشکلات عملیاتی کارخانه فلوتاسیون در اختیار قرار دهد. اندازه گیری pH-Eh در ارتباط فلوتاسیون پیروتیت توسط ناتارجان و ایواساکی (۱۹۷۳) مورد بررسی قرار گرفته و مشخص شده، که Eh یک نشانگر خوب برای خاصیت شناورپذیری کانی‌ها می‌باشد.

۳-۳- فلوتاسیون الکتروشیمیایی با کنترل غلظت مواد شیمیایی

دانشگاه صنعتی مرکزی جنوب^{۶۶} در ایالت چانگشا^{۶۷} در کشور چین مطالعات مفیدی را در مقیاس آزمایشگاهی برای توسعه تکنولوژی فلوتاسیون با پتانسیل منشاء (OPF^{۶۸}) انجام داده‌است. این گروه تحقیقاتی را بر روی

^{۶۱} Ferihan Goktepe

^{۶۲} Micro flotation

^{۶۳} Rose and Vondeventer

^{۶۴} Ferihan Goktepe

^{۶۵} johnson

^{۶۶} South center industrial university

^{۶۷} Changsha

فلوتاسیون الکتروشیمیایی گالن انجام داده و از این مطالعات دستورالعمل‌های پیشرفته‌ای را برای بهبود کارایی مدارهای فلوتاسیون معمولی برای کانسنس‌های سرب و روی با استفاده از کلکتورهای متفاوت و pH مختلف در مقیاس صنعتی ارائه نموده اند. گوها^{۶۹} و همکاران در سال ۲۰۰۰ گزارش کردند که تکنولوژی OPF کاربرد موفقیت آمیزی در فلوتاسیون گالن و کمپلکس‌های سولفیدی سرب و روی و آهن در چین داشته است. فلوشیت فرآیند ساده‌تر از روش‌های سنتی و نرخ شناوری سرب بیشتر است. برای مثال در معدن سرب و روی نانجینگ^{۷۰} در استان جیانگشو^{۷۱} با استفاده از این روش، بدون آنکه سقف تولید کاهش یابد تعداد سلول‌های فلوتاسیون به نصف تقلیل یافته است. کانسنس‌های دیگری از معدن سرب و روی فانکو و لیچانگ در استان گیانگدانگ، همچنین معدن سرب و روی بیشان در استان گانگ‌کاکس مورد بررسی قرار گرفته است. کانی‌های اصلی در کانسنس این معادن شامل گالن، اسفالریت و پیریت با درجه اکسید شدگی متفاوت بوده است. موثرترین کلکتوری که در این مطالعات سودمند تشخیص داده شد، دی‌اتیل‌دی‌تیوکربومات بود که با مقادیر زیر ۷۰ گرم بر تن مورد استفاده قرار گرفته است. آهک نیز برای تنظیم pH و E_{op} مورد استفاده قرار گرفت. هرچند کانسنس‌ها از معادن مختلف بودند، ولی ارتباط بدست آمده بین pH و E_{op} مشابه بوده است. آنها نتیجه‌گیری کردند که به راحتی می‌توان یافته‌های آزمایشگاهی را با یک اندازه‌گیری ساده pH و E_{op} به کارخانه تعمیم داد. بهبود مستمر یافته‌ها با پذیرش استراتژی فلوتاسیون به روش OPF و دستورالعمل‌های مورد استفاده در گذشته توسط گوها و همکاران در سال ۲۰۰۰ در شکل ۶-۲ و جدول ۱-۲ گزارش شده است. محققان گزارش کردند که با تنظیم پتانسیل پالپ در محدوده $+3/0$ ولت و با اضافه کردن گسترده هیدروژن می‌توان فلوتاسیون کالکوپیریت را از کانسنس کمپلکس پیریتی ریزدانه انجام داد. همچنین می‌توان در فلوتاسیون گالن به بهبودهای متالورژیکی قابل ذکری دست یافت. (یوریب-سالاز^{۷۲} و همکاران در سال ۲۰۰۰) کلکتور مورد استفاده در این مطالعات مخلوطی از آئروفلوت^{۴۰} (بوتیل‌دی‌تیوفسفات و مرکاپتوبنزوئیازول) و آئروفین A۳۴۱۸ (دی‌ایزو بوتیل‌دی‌تیوفسفات) و امیل اگزنتات بود. از الکترود فلز نجیب هم برای اندازه‌گیری پتانسیل پالپ استفاده شد. شکل ۷-۲ دستاوردهای این تحقیق را که با تغییر پتانسیل پالپ از مقداری که در کارخانه در شرایط برتری بوده است نشان می‌دهد. این محققان گزارش کردند که سیستم کنترل پالپ را برای کاربرد صنعتی متعادل کرده‌اند و نتایج خوبی گرفته‌اند. (یوریب-سالاز و همکاران در سال ۲۰۰۰)

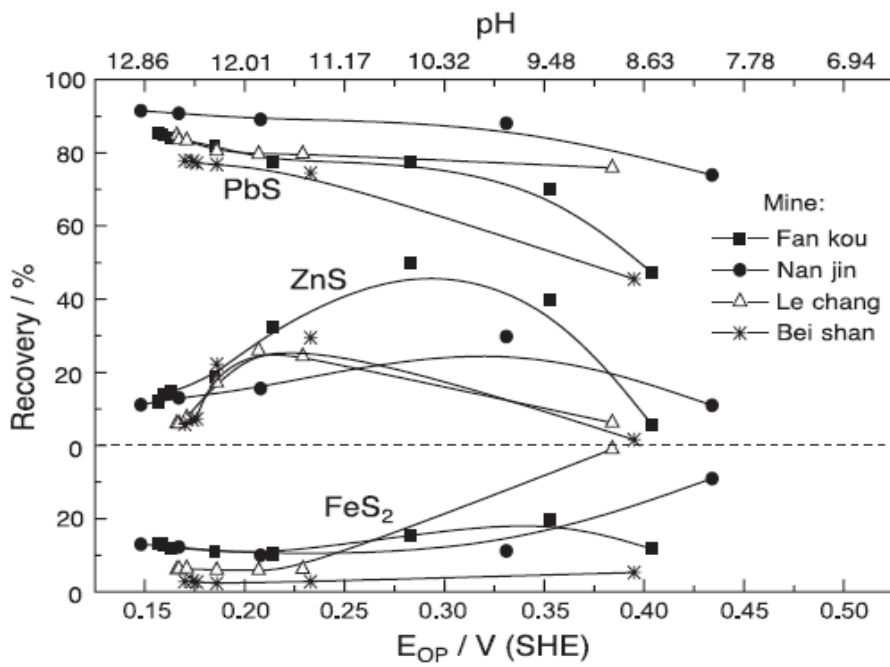
^{۶۸} Original potential flotation

^{۶۹} Guohua

^{۷۰} Nanjing

^{۷۱} Jiangshu

^{۷۲} Uribe and Salas



شکل ۲-۶- تاثیر pH و E_{op} پالپ در فلوتاسیون کانی‌های سولفیدی سرب و روی و آهن (گوها و همکاران ۲۰۰۰)

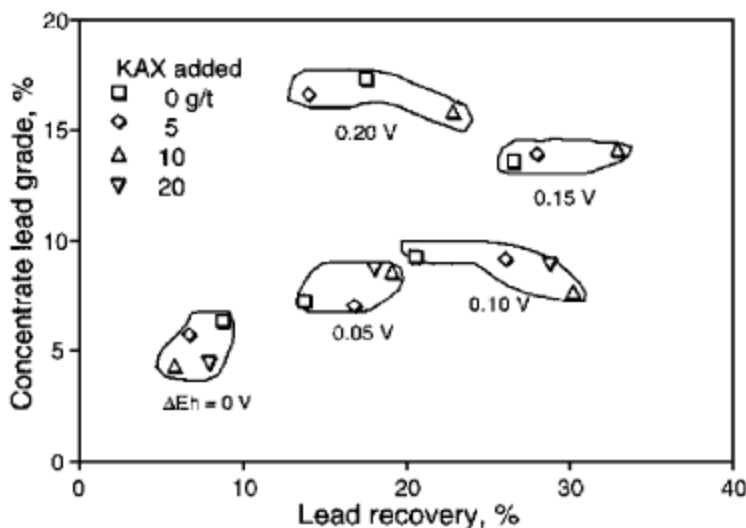
جدول ۲-۱- کارایی فلوتاسیون قبل و بعد از استفاده از روش OPF (گوها و همکاران ۲۰۰۰)

کنسانتره روی بازیابی٪	کنسانتره سرب بازیابی٪	روش فلوتاسیون		معدن
		عیار٪	عیار٪	
۹۵.۵۱	۵۵.۱۱	۱۵.۴۰	۶۲.۶۲	فانکو
۹۲.۲۷	۵۳.۰۳	۱۲.۴۰	۵۱.۰۲	
۹۱.۶۵	۵۱.۰۵	۱۲.۳۵	۵۷.۲۰	لیچانگ
۸۷.۰۲	۵۰.۷۰	۱۰.۱۱	۵۶.۴۷	
۹۲.۱۶	۵۶.۹۱	۷۵.۱۹	۵۸.۲۱	بیشان
۸۸.۱۷	۵۴.۶۷	۷۰.۱	۵۵.۰۵	
۹۱.۵۲	۵۳.۶۲	۹۰.۰۶	۵۵.۴۵	نانجینگ
۸۷.۰۰	۵۱.۴۹	۸۶.۱۷	۵۱.۵۷	

۳-۴- فلوتاسیون الکتروشیمیایی بدون کلکتور

تعداد کمی از کانی‌های سولفیدی از جمله گالن به طور طبیعی قابلیت شناوری دارند. این خاصیت نتیجه کلیواژ توجیهی در امتداد سطح اتم‌های گوگرد است. سولفیدهای دیگری از جمله کالکوپیریت نیز یافت می‌شوند که در صورت اکسید شدن قابلیت شناوری، بدون کاهش آماده‌سازی خواهند داشت. در صورت انجام فلوتاسیون با اضافه کردن کلکتور، فرآیندی مانند فرآیندهای الکتروشیمیایی در طبیعت، به کانی‌ها قابلیت شناوری می‌دهد.

شکل ۲-۲ هم‌سنجدی پتانسیل وابسته به قابلیت شناوری کالکوپیریت را بر اساس محاسبات هایس و تراهار^{۷۳} در سال ۱۹۷۷، لوترل و یون^{۷۴} در سال ۱۹۸۴ و گاردنر و وودز در سال ۱۹۷۹، با جریان آندیک در ولتاگرام در ۱۱- pH= را که توسط گاردنر و وودز به عنوان خط جامد نامیده شده است، نشان می‌دهد. مکانیزم الکتروشیمیایی فلوتاسیون خودالقایی با مشاهدات بعمل آمده توسط وودز در سال ۱۹۹۱، در ارتباط دادن پتانسیل شروع فلوتاسیون و پتانسیل برگشت پذیری برای اکسیداسیون کانی‌های سولفیدی مورد تائید بیشتری قرار گرفته است.



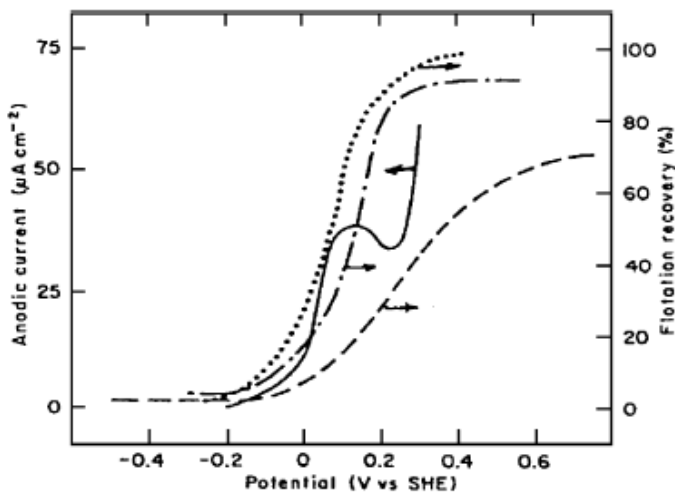
شکل ۲-۲- منحنی بازیابی- عیار برای سرب تحت تاثیر تغییرات پتانسیل پالپ از مقادیر در حال کار در کارخانه و با اضافه کردن امیل‌اگزنتات (بوریب و همکاران ۲۰۰۰)

هیالی^{۷۵} و تراهار در سال ۱۹۸۹، پتانسیل شروع فلوتاسیون و پتانسیل برگشت‌پذیری برای گالن را گزارش نموده‌اند. در شکل ۲-۹ نقاطی که با ۰ نشان داده شده بازیابی ۵۰٪ را نشان می‌دهد. این منحنی نسبت پتانسیل استاندارد را به پتانسیل واکنش تشکیل گوگرد عنصری (S_0) بعلاوه $M(OH)_2$ برای سولفیدهای دو ظرفیتی و گوگرد عنصری (S_0) بعلاوه $Fe(OH)_2$ بعلاوه مس یا نیکل برای سولفیدهای سه ظرفیتی نشان می‌دهد. خط جامد با زاویه ۴۵ درجه رسم شده است و همبستگی بین پارامترها را نشان می‌دهد. پتانسیل استاندارد مربوط به هر ترکیب در شرایط استاندارد می‌باشد. لذا $pH=0$ ، مربوط به زمانی است که در فعل انفعال اکسیداسیون، یون- H^+ آزاد می‌شود.

⁷³ Heyes and Trahar

⁷⁴ Luttrell and Yoon

⁷⁵ Healy



شکل ۸-۲- جریان آندی و فرآیند فلوتاسیون کالکوپیریت در غیاب کلکتور (وودز ۱۹۹۶)

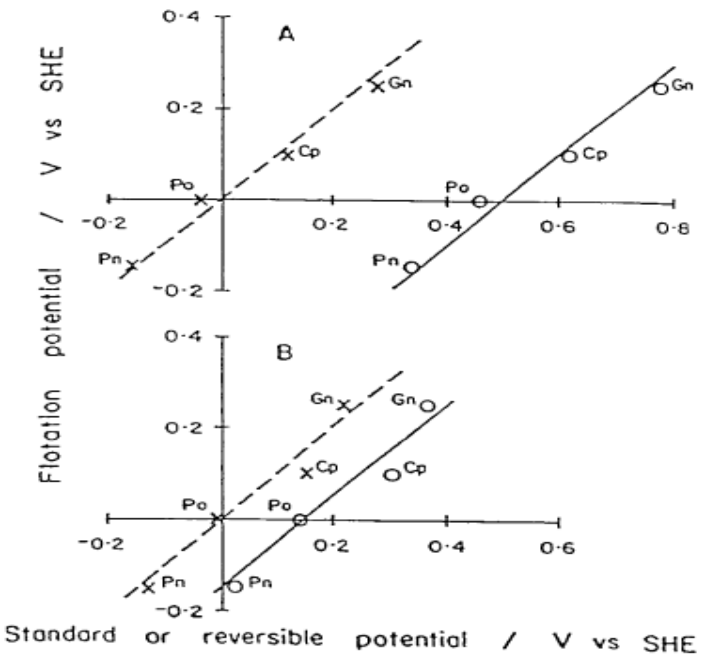
خط‌چین‌ها در شکل ۹-۲ (A) مربوط به پتانسیل برگشت پذیر در مقادیر $pH=8/5$ است، که رابطه نزدیکی با مقادر اندازه‌گیری شده در فلوتاسیون دارد. ملاحظه می‌شود که همخوانی خوبی با مشاهدات فلوتاسیون دارد. یک واکنش مهم دیگر می‌تواند تشکیل یون M^{+2} از $M(OH)_2$ باشد. پتانسیل فلوتاسیون که هیالی و تراهار در شکل ۹-۲(B) نشان داده‌اند، (خطی که از دایره‌های باز می‌گذرد) در مقابل پتانسیل استاندارد زوج MS/M^{+2} و S^0 نشان می‌دهد که فقط آهن از سولفیدهای سه ظرفیتی جدا می‌شود. پتانسیل استانداردمربوط به 10^{-5} مول بر دسی‌مترمکعب یون M^{+2} برای هر کانی (خط چین) است که مقدار واقعی برای سیستم فلوتاسیون است.

۳-۲- کاربردهای اختصاصی فلوتاسیون خودالقایی

فلوتاسیون خودالقایی تعدادی از کانی‌های سولفیدی در مطالعات آزمایشگاهی ساماندهی شده است. اگر چه این پدیده هنوز کاربردهای موثری در عمل پیدا نکرده‌اند، ولی دو مسئله وجود دارد که کار را مشکل کرده است. اول اینکه فلوتاسیون خودالقایی مرتبط با کانی‌های فلزات مشابه اختلاف فاحشی با هم دارد. برای مثال کالکوپیریت به طور موثری در غیاب کلکتور فلوته می‌شود، درحالیکه کالکوسیت در شرایط مشابه قابلیت شناوری بسیار ناچیزی دارد.

این کانی‌ها در بسیاری از کانسنگ‌ها با هم ظاهر می‌شوند و بنابراین همراهی این کانی‌ها مشکلات جدی ایجاد می‌کند. دومین مسئله این است که فلوتاسیون خودالقایی به بازداشت کانی‌های هیدروکسیدی حساسیت دارد. (سینیور^{۷۶} و تراهار، ۱۹۹۱ و گرانو^{۷۷} و همکاران، ۱۹۹۷). گسترش هیدروکسیدهای فلزی، مربوط به بار خردکننده آسیا و نوع کانسنگ‌ها همچنین آب مصرفی می‌باشد.

⁷⁶ Senior
⁷⁷ Grano



شکل ۹-۲- پتانسیل شروع فلوتاشیون در مقایسه با پتانسیل استاندارد و مقادیر برگشت پذیر(وودز ۱۹۹۱)

بازداشت با اکسیدهای فلزی در شرایط آزمایشگاهی به آسانی انجام پذیر است، اما کنترل آن در مقیاس صنعتی مشکل است. اثر هیدروکسید ممکن است با کمپلکس کردن یون‌های بازداشت‌کننده کاهش داده شده یا برطرف گردد، اما چندان مطلوب نمی‌باشد. از نظر اقتصادی هم قابل قبول نیست، چون با اضافه کردن کلکتور همراست. کلکتور اضافی حتی در مقادیر کم می‌تواند با اثر هیدروکسید مقابله کند و یک فلوتاشیون با کارایی لازم را هدایت نماید. اغلب تعیین مقدار کلکتور برای فلوتاشیون خودالقایی با کلکتور برای مقابله با اثر هیدروکسیدها مشکل است. (سنیور و تراهار ۱۹۹۱). در سال‌های قبل از ۱۹۸۰ تلاش‌هایی توسط محققان شرکت کنترل بین الملل^{۷۸} برای استخراج اقتصادی در معادن مس ایالت ایروزنای امریکا بعمل آمد است. (آربیتز^{۷۹} و گبهارد، ۱۹۹۲) بازیابی فلوتاشیون در غیاب کامل کلکتور در اغلب مطالعات متعارف انجام پذیرفته کم بوده و این مطالعات را با شکست همراه کرده است. نتایج تحقیقات در این مطالعات به بهترین وجه ممکن توسط آربیتز و گبهارد در ۱۹۹۲، وقتی که آنها کارهای انجام شده توسط آربیتز و وارگاس^{۸۰} در معادن مس جنوب غرب امریکا را مرور می‌کردند، جمع آوری و ارائه گردید. "دورنمای نیاز به کلکتور با مقادیر کم و هزینه فلوتاشیون در فرآوری کانسینگ‌های مس مورد آزمایش قرار گرفت. عملی بودن فلوتاشیون بدون کلکتور در مقیاس صنعتی مورد سوال است. براساس قیمت کلکتور به تنها یکی به نظر می‌رسد که نمی‌توان به یک کنترل کارامد از هزینه‌های مشابه در محدوده فلوتاشیون الکتروشیمیایی دست یافت. اگر بتوان با کنترل بهتر شرایط الکتروشیمیایی به طور وسیعی از آهک به عنوان یک تنظیم‌کننده در فلوتاشیون استفاده نمود، می‌توان با

⁷⁸ International control

⁷⁹ Arbitrator

⁸⁰ Vargas

کنترل خوردگی به فرایند متابولورژیکی مشابه یا بهتر دسترسی پیدا کرد و دسترسی به اهداف عملی این فرضیه نیز ممکن است.

سایر هزینه‌هایی که باید به هزینه‌های کنترل فرآیند اضافه شود نیز باید مد نظر قرار گیرد. از آن جمله به هزینه‌های انتقال و تصفیه آب مصرفی، استفاده از ترکیبات کمپلکسی برای خنثی‌سازی اثر یون‌های بازداشت کننده (که همراه باطله به سدهای باطله وارد می‌شود) و احتمالاً هزینه تجهیزات اضافه که به این منظور مورد نیاز می‌توان اشاره کرد. ترکیب کنترل الکتروشیمیایی محیط فرآیند همراه با استفاده منطقی از مواد شیمیایی ممکن است بهترین دستورالعمل در بهینه‌سازی بازیابی فلزات با کمترین هزینه باشد. (آربیتز و گبهارد، ۱۹۹۲) اگرچه تاکنون امکان‌پذیری فلوتاسیون بدون کلکتور اثبات نشده است، ولی باید اشاره کرد که فلوتاسیون خود-القایی می‌تواند زمانی که منشاء پتانسیل ناشی از اکسیداسیون سطح باشد، اتفاق بیفت. فلوتاسیون خود القایی به نوعی فلوتاسیون با استفاده از کنترل پتانسیل پالپ است. در این روش که بیشتر برای برخی کانی‌های سولفیدی که در آنها اکسیداسیون سطح اتفاق می‌افتد کاربرد دارد. در این روش در اثر اکسیدشدن سطح کانی‌ها پتانسیل پالپ تغییر می‌کند. با پایش پتانسیل پالپ مقدار مواد شیمیایی مورد مصرف برای دسترسی به بازیابی حداکثر بهینه می‌گردد. بنابراین فلوتاسیون خودالقایی یک فعل انفعال تکمیلی در فلوتاسیون همراه با کلکتور است.

یک رویکرد قابل توجه در بازداشت پیریت از ذغالسنگ در فلوتاسیون بدون کلکتور توسط یون و همکاران در سال ۱۹۹۶، تنظیم و ارائه شده است. انها نشان دادند که پیریت بازداشت شده می‌تواند پیوند گالوانیک پالپ با فلزات فعال مانند روی، منگنز، و آلومینیوم را بهبود بخشد. این فلزات فعال به عنوان آندهای فناپذیر و نگهدارنده پتانسیل پالپ در مقادیر کمتر از منشاء عمل کرده، باعث می‌شوند اکسیداسیون صوری و ظاهری پیریت اتفاق بیفت و لایه سطح آبران گردد.

۵-۲- جمع‌بندی

مطلوب مورد بحث در این فصل را می‌توان به صورت جدول ۲-۲ خلاصه نمود. این جدول روند تاریخی تحقیقات انجام شده در این زمینه را هم نشان می‌دهد. همانگونه که ملاحظه می‌شود در سال ۲۰۰۵ اولین مطالعه جدی بر روی فلوتاسیون الکتروشیمیایی با کنترل پتانسیل پالپ و با کاربرد پتانسیل خارجی انجام شده است که آنهم بر روی تک کانی‌ها بوده است. نکته بسیار مثبت این است که این تحقیقات چشم انداز مطالعه در این زمینه را مثبت قلمداد کرده است. در این تحقیق که توسط آقایین و همکاران انجام شده است شناورسازی کالکوپیریت خالص طبیعی و سنتز شده از آنارژیت خالص طبیعی و سنتز شده موفقیت آمیز گزارش شده است.

جدول ۲-۲- تاریخچه تحقیقات انجام شده در حوزه فلوتاسیون الکتروشیمیایی

ردیف	محقق	سال	زمینه و نتیجه تحقیق	نقاط ضعف و قوت
۱	نیکسون	۱۹۵۴	ایده فلوتاسیون الکتروشیمیایی بدون کلکتور را مطرح نمودند	
۲	داف فیورستانیو	۱۹۵۶	فلوتاسیون الکتروشیمیایی کانی های سولفیدی را با کنترل پتانسیل پالپ را بررسی کردند	فقط نقش Eh رادر کاهش کلکتور بررسی نمودند
۳	وودز	۱۹۷۱	فلوتاسیون الکتروشیمیایی کانی سولفیدی (گالن/اتیل اگرنات) را انجام دادند	فقط تک کانی گالن را مورد بررسی قرار داد
۴	کوال و پومینسکی	۱۹۷۲	فلوتاسیون الکتروشیمیایی کانی سولفیدی (کالکوسیت/اتیل اگرنات) را انجام دادند	فقط تک کانی کالکوسیت را مورد بررسی قرار داد
۵	چاندر و فیورستانیو	۱۹۷۴	فلوتاسیون الکتروشیمیایی کانی سولفیدی (کالکوسیت/دی اتیل تیوقسقات) را انجام دادند	فقط تک کانی کالکوسیت را مورد بررسی قرار داد
۶	هایس وتراهار	۱۹۷۸	مطالعات pH-Eh برای جدایش کانی های سولفیدی را مد نظر قرار دادند	نقش pH-Eh را در کاهش مصرف کلکتور بررسی کردند
۷	گارنر و وودز	۱۹۷۹	مطالعات pH-Eh برای جدایش کانی های سولفیدی را مد نظر قرار دادند	نقش pH-Eh را در کاهش مصرف کلکتور بررسی کردند
۸	چاندر و فیورستانیو	۱۹۸۳	کالکوپیریت را با فلوتاسیون الکتروشیمیایی از مولیبدنیت جدا کردند	فقط تک کانی کالکوپیریت را مطالعه کرده‌اند
۹	لوترال و ین	۱۹۸۴	مطالعات pH-Eh برای جدایش کانی های سولفیدی را مد نظر قرار دادند	نقش pH-Eh را در کاهش مصرف کلکتور بررسی کردند
۱۰	آدام و همکاران	۱۹۸۴	تأثیر متقابل اثر گالوانیک در فلوتاسیون الکتروشیمیایی را بررسی کردند	تاثیر مرحله آسیا کنی را بر فلوتاسیون بررسی کردند
۱۱	گیپهارد ریچاردسون	۱۹۸۷	ادعا کردند رفتار مخلوط کانی ها را نمی‌توان از رفتار کانی های منفرد پیش‌بینی کرد.	فلوتاسیون پلی متال ها را ناموفق اعلام کردند
۱۲	هیالی و تراهار	۱۹۸۹	مکانیزم فلوتاسیون خودالقایی را مطرح کردند.	متفاوت بودن فلوتاسیون کانی های سولفیدی را مطرح نمودند
۱۳	وودز و همکاران	۱۹۹۱	مکانیزم فلوتاسیون خودالقایی را مطرح کردند.	متفاوت بودن فلوتاسیون کانی های سولفیدی را مطرح نمودند
۱۴	سینیور و تراهار	۱۹۹۱	فرآیند فلوتاسیون الکتروشیمیایی برای کانی های سولفیدی را طراحی نمودند	محدوده پتانسیل فلوتاسیون تک کانی ها را بررسی کردند
۱۵	آربیتر و گیپهارد	۱۹۹۲	اعلام کردند که فلوتاسیون بدون کلکتور در مقیاس صنعتی امکان‌پذیر نیست	فلوتاسیون الکتروشیمیایی پلی متال ها را غیرممکن اعلام کردند

ادامه جدول ۲-۲- تاریخچه تحقیقات انجام شده در حوزه فلوتاسیون الکتروشیمیایی

ردیف	محقق	سال	زمینه و نتیجه تحقیق	نقاط ضعف و قوت
۱۶	یون و همکاران	۱۹۹۶	با استفاده از فلوتاسیون الکتروشیمیایی پیریت را از ذغالسنگ جدا نمودند	فلوتاسیون الکتروشیمیایی را مجدداً مورد مطالعه قرار دادند
۱۷	پازهیانور و همکاران	۱۹۹۷	تأثیر اثر گالوانیک بر بار خرد کننده آسیا را مورد بررسی قرار دادند	تأثیر فرآیندهای الکتروشیمیایی در کاهش بار خرد کننده آسیا
۱۸	فایرتورن و همکاران	۱۹۹۷	فلوتاسیون الکتروشیمیایی بر روی اسفالریت با کنترل پتانسیل پالپ	فلوتاسیون الکتروشیمیایی تک کانی سولفیدی را انجام دادند
۱۹	گرانو و همکاران	۱۹۹۷	مطالعات حساسیت فلوتاسیون خودالقابی به نقش بازداشت کنندگی هیدروواکسیدها	
۲۰	فولستون و همکاران	۱۹۹۹	اعلام نمودند که فلوتاسیون بدون کلکتور کانی-های سولفیدی امکانپذیر است	فقط تک کانی ها سولفیدی را مطالعه کردند
۲۱	بولتون	۲۰۰۲	انجام فلوتاسیون الکتروشیمیایی اسفالریت با مقدار کمی نیترات مس	فقط تک کانی اسفالریت را مطالعه کردند
۲۲	وودز	۲۰۰۳	اعلام نمود که فلوتاسیون الکتروشیمیایی بر پایه کنترل پتانسیل پالپ امکانپذیر است	امکان پذیر بودن فلوتاسیون الکتروشیمیایی
۲۳	جی یون و ین	۲۰۰۳	انجام فلوتاسیون الکتروشیمیایی بر روی نمونه های مصنوعی کالکوپیریت و انارژیت	امکان پذیر بودن فلوتاسیون الکتروشیمیایی تک کانی ها
۲۴	جی یون و ین	۲۰۰۴	انجام فلوتاسیون الکتروشیمیایی بر روی نمونه های مصنوعی کالکوپیریت و انارژیت	استفاده از پتانسیل خارجی در فلوتاسیون الکتروشیمیایی تک کانی ها
۲۵	فورناسیرو والستون	۲۰۰۵	انجام فلوتاسیون بدون کلکتور اسفالریت فعال شده با مس	
۲۶	دوران کولباغ و تاکی گوبیر	۲۰۰۷	فلوتاسیون با و بدون کلکتور کالکوپیریت و پیریت خالص را در مقیاس آزمایشگاهی انجام داده اند و نتایج را موفقیت آمیز گزارش کرده اند.	امکان پذیر بودن فلوتاسیون الکتروشیمیایی تک کانی ها
۲۷	وی لونگ چو و همکاران	۲۰۰۹	فلوتاسیون الکتروشیمیایی ایندیم را با استفاده از الکترود آهن از محلول آن را موفقیت آمیز گزارش کرده اند	امکان پذیر بودن فلوتاسیون الکتروشیمیایی تک کانی ها

فصل سوم

فرضیات تحقیق

۱-۳- مقدمه

عمده دلایل انتخاب موضوع در این تحقیق که معیارهای یک رساله دکتری را برآورده کند در ذیل ارائه شده است. این موارد عمده از مراجع مورد مطالعه استخراج و خلاصه شده است. با توجه به موارد مطرح شده مشخص گردیده که فلوتاسیون الکتروشیمیایی با یا بدون کلکتور با کنترل پتانسیل پالپ و همچنین با یا بدون اعمال پتانسیل برای سیستم های چندفلزی قابل بررسی می باشد. مطالعه موردی یعنی بازداشت کالکوپیریت در مدار فراوری مولیبден در مجتمع مس سرچشمه نیز از آن جهت که زمینه اجرای آن کاملاً فراهم بوده است انتخاب شده است.

۲- گلیات

فلوتاسیون الکتروشیمیایی یک فرآیند قابل انجام است که از قوانین الکتروشیمیایی تعییت می کند. در فلوتاسیون برای کنترل انتخابی بودن فرآیند از افزودن مواد شیمیایی از جمله ، سطح سازها، کلکتورها، بازداشت کننده ها، فعال کننده ها استفاده می شود. در حالیکه در فلوتاسیون الکتروشیمیایی با کنترل پارامترهای الکتروشیمیایی محلول (پالپ) و اجزای موجود در آن (کانی های موجود در پالپ) از جمله پتانسیل پالپ، عوامل سطحی در سطح کانی ها، کنترل فرایندهای اکسیداسیون و احیاء در محیط فرآیند، در جهت آبران کردن سطح کانی ها به صورت انتخابی استفاده می شود. کنترل پتانسیل پالپ به عنوان تابعی از pH یکی از ابزارهای توانمند در فلوتاسیون الکتروشیمیایی باشد. فلوتاسیون الکتروشیمیایی در جهت حذف مواد شیمیایی از فرآیند فلوتاسیون حرکت می کند، هر چند تاکنون توفیق صدرصد در زمینه نمونه های صنعتی و چندفلزی بدست نیامده است. در حقیقت پژوهش حاضر در راستای درک هرچه بیشتر مکانیزم های موثر در فرآیند است که بتوان از آنها در مقیاس های بزرگتر بهره گرفت و از این رهگذر امکان پذیری فلوتاسیون الکتروشیمیایی با اعمال پتانسیل خارجی را برای جدایش کانسنگ های چندفلزی سولفوری مورد بررسی قرار داد.

در اغلب تحقیقات انجام شده تاکنون، فلوتاسیون الکتروشیمیایی با کنترل پتانسیل پالپ که همراه با افزودن مواد شیمیایی برای تنظیم Eh است، مورد بررسی قرار گرفته است و مطالعات انجام شده در مقیاس آزمایشگاهی بوده و تا حدود زیادی موفقیت آمیز گزارش شده اند. علاوه بر این تحقیقات انجام شده تاکنون، همگی بر نمونه های خالص، تک کانی و سنتز شده انجام شده است.

هر چند برخی از محققان فلوتاسیون بدون مواد شیمیایی^{۸۱} را غیرممکن اعلام کرده اند، (آربیتر و گبهارد، ۱۹۹۲) ولی تحقیقات آزمایشگاهی بر روی کانی های خالص در سالهای اخیر نشان می دهد که هنوز نایافته های زیادی در این زمینه وجود دارد. بررسی اثر گالوانیک در مراحل قبل از فلوتاسیون (در مرحله آسیاکنی) به عنوان یک

^{۸۱} Collectorless Flotation

فرآیند الکتروشیمیایی نتایج بسیار قابل قبولی هم در مقیاس آزمایشگاهی و هم در مقیاس صنعتی داشته است. این مطالعات در کارخانه های فراوری مورد استفاده قرار گرفته و باعث بهبود فرآیند و کاهش اقلام مصرفی در مرحله آسیاکنی (بار خردکننده و استر آسیا) همچنین در مرحله فلوتاسیون (کاهش مواد شیمیایی) شده است. پیش از آنکه به صنعتی شدن فرایند فلوتاسیون الکتروشیمیایی بیندیشیم ضرورت دارد که آزمایش هایی بر روی- کانسنگ های طبیعی شامل کانی های مختلف انجام شود و در این رهگذر پدیده های الکتروشیمیایی و اندر کنش کانی های مختلف برهم مورد بررسی قرار گیرد. با این هدف امکانسنجی بازداشت کانی های مس علی الخصوص کالکوپیریت در مدار فرآوری مولیبدن در مجتمع مس سرچشمہ موضوع اصلی این تحقیق قرار گرفته است. در این راستا اثر متقابل کانی های سولفیدی برهم (اثر گالوانیک)، تاخر و تقدم اکسید شدن این کانی ها در محیط فلوتاسیون، همچنین اثر اکسیدشدن آنها بر خاصیت آبرانی یا آبگریزی مورد بررسی قرار می گیرد. همچنین مکانیزم آبرانی یا آبگریزی کانی سولفیدی و اثر یون های آزاد شده ناشی از اکسیداسیون کانی های سولفیدی مانند گوگرد و تبدیل آن به اکسیدهای دو، چهار و شش ظرفیتی مورد مطالعه قرار می گیرد.

۳-۳- فلوتاسیون الکتروشیمیایی سولفیدها

اکثر کانی های سولفیدی خاصیت شناور پذیری خودالقایی با کلکتور یا بدون کلکتور دارند. در میان کانی های سولفیدی کالکوپیریت خودشناور ترین آنهاست. کالکوپیریت تازه خردشده در یک محیط اکسیدی شناور پذیری خودالقایی و در یک محیط احیایی خاصیت ترشوندگی دارد. (هایس و تراهار^{۸۲}، ۱۹۷۷) ذکر این نکته ضروری است که شناور پذیری خودالقایی با خاصیت آبرانی طبیعی فرق می کند. بعضی از کانی های سولفیدی مانند مولیبدنیت، گالن و اورپیمنت در هر شرایطی از pH و Eh و در غیاب کلکتور شناور می شوند. در حالیکه شناور پذیری سایر کانی های سولفیدی بستگی به شرایط الکتروشیمیایی محیط پالپ دارد. نمونه بارز آن کانی- کالکوپیریت است که به طور طبیعی خاصیت آبرانی ندارد ولی در یک شرایط الکتروشیمیایی خاص می تواند آبران یا آبگریز گردد. (هایس و تراهار^{۸۳}، ۱۹۷۷) محققان زیادی گزارش کرده اند که پلی سولفیدهای فلزی و گوگرد- عنصری عامل اصلی شناور پذیری خودالقایی کانی های سولفیدی از جمله کالکوپیریت می باشند. (پترز^{۸۴} ۱۹۷۶، گاردنر و وودز^{۸۵} ۱۹۷۹، لوترال و یون^{۸۶} ۱۹۸۴) عده ای دیگر سولفیدهای ناقص فلزی و سولفیدهای غنی از فلز را عامل شناوری خودالقایی کانی های سولفیدی معرفی می کنند. (باکلی و وودز^{۸۷} ۱۹۸۴) ماجیما و تاکادا

⁸² Heyes and Trahar

⁸³ Heyes and Trahar

⁸⁴ Peters

⁸⁵ Gardner and woods

⁸⁶ Lutteral and Yoon

⁸⁷ Bukly and woods

گزارش کرده‌اند که یک یا همه واکنش‌های زیر می‌تواند باعث آبدوستی و در نتیجه بازداشت کانی‌های سولفیدی شوند(ماجیما و تاکادا^{۸۸}، ۱۹۶۸)

- ۱) جلوگیری از احیاء کاتدی اکسیژن
۲) جلوگیری از اکسیداسیون آندی کلکتور
۳) اکسیداسیون بیش از حد کانی
۴) تشکیل افزایش گونه‌های سطحی

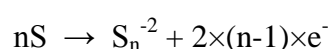
سولفیدهای فلزی معمولاً نیمه هادی هستند. بنابراین می‌تواند تا حدودی منابع الکترون باشند. این امر باعث واکنش‌هایی در سطح آنها می‌شود. این خصوصیت نقش مهمی در فلوتاسیون کانی‌های با ارزش سولفیدی ایفا - می‌کند. تشکیل سطوح آبران در سطح کانی‌های سولفیدی ناشی از واکنش‌های الکتروشیمیایی سطح آنهاست. کنترل پتانسیل پالپ کانی‌هایی که خاصیت فلوتاسیون بدون کلکتور دارند، بسیار مهم است چون می‌توان بازیابی آنها را با کنترل پتانسیل پالپ کنترل نمود.

فلوتاسیون خودالقایی مربوط به کانی‌های سولفیدی است که به طور طبیعی خاصیت آبرانی ندارند ولی در شرایط الکتروشیمیایی خاصی که قرار می‌گیرند بدون کلکتور خاصیت شناور پذیری پیدا می‌کنند. در بحث فلوتاسیون- خودالقایی دو مسئله اصلی وجود دارد که کاربرد صنعتی آنرا مشکل و محدود می‌نماید. اول اینکه فلوتاسیون- خودالقایی کانی‌های مختلف یک فلز مثلاً کالکوسیت و کالکوپیریت اختلاف فاحشی با هم دارند. مثلاً کالکوپیریت به طور موثری در غیاب کلکتور شناور می‌شود، در حالیکه در همان شرایط کالکوسیت قابلیت شناور پذیری ناچیزی دارد و برای شناور شدن نیاز به کلکتور دارد. با توجه به اینکه در کانسنگ‌های معدنی اغلب این کانی‌ها با هم یافت می‌شوند، در عمل در مقیاس صنعتی کاربرد فلوتاسیون خودالقایی محدودیت پیدا می‌کند. مسئله دوم اینکه فلوتاسیون خودالقایی به اثر بازدارندگی ترکیبات هیدروکسیدی حساسیت دارد. گسترش هیدروکسیدهای فلزی که ناشی از فرسایش بار خردکننده در مرحله آسیاکنی و نوع کانسنگ‌ها همچنین آب مصرفی است. این هیدروکسیدهای فلزی خاصیت بازداشت‌کنندگی ایجاد می‌کنند. مقابله با این مشکل در مقیاس آزمایشگاهی امکان‌پذیر است ولی کنترل آن در مقیاس صنعتی بسیار سخت است. اثر هیدروکسید را ممکن است با کمپلکس- کردن با یون‌های بازداشت‌کننده کاهش داد یا بر طرف نمود ولی این مطلوب نظر نیست. چون هم هزینه‌بر است و هم با اضافه کردن کلکتور همراه است که با اهداف فلوتاسیون خودالقایی سازگار نیست. (سنیور و تراهار، ۱۹۹۱، گرانو و همکاران ۱۹۹۷)

فریمان، ۲۰۰۱ گزارش کرده است که پتانسیل اندازه‌گیری شده در سیستم فلوتاسیون یک پتانسیل مخلوط است و در حدی میان پتانسیل کانی و پالپ قرار دارد. زمانی که چندین کوپل اکسیداسیون احیاء در محیط باشد، پتانسیل اندازه‌گیری شده را پتانسیل مخلوط می‌نامند. پتانسیل پالپ، پتانسیل فصل مشترک کانی با محلول است. پتانسیل کانی پتانسیل سطح کانی است که با الکترود کانی قابل اندازه‌گیری می‌باشد.(فریمان، ۲۰۰۱) جانسون و همکاران ۱۹۸۸ گزارش کرده‌اند که $\text{Eh}/\text{H}_2\text{O}$ اندازه‌گیری شده برای یک فرآیند عملیاتی ممکن است مواد

^{۸۸} Majima and Takada

شیمیایی اضافه شده به سیستم را کاهش دهد و اطلاعات ارزشمندی در جهت حل مشکلات عملیاتی کارخانه فلوتاسیون در اختیار قرار دهد. (جانسون و همکاران ۱۹۸۸). ناتاراجان وایوساکی ۱۹۷۳ گزارش کرده اند که Eh یک نشانگر خوب برای خاصیت شناورپذیری کانی‌ها می‌باشد. کاهش شناورپذیری پیریت در محلول‌های با pH قلیایی ناشی از تجزیه‌پذیری سریع ساختار کلکتور و جلوگیری از تشکیل دی‌گزنتوژن و هیدروکسیدهای آبدوست در سطح پیریت است. (فیورستانیو و همکاران ۱۹۶۸، گاردنر و وودز ۱۹۷۹، وایز ۱۹۸۵، هویاک و همکاران ۱۹۹۰) نتایج نشان می‌دهد که نتیجه فلوتاسیون الکتروشیمیایی یک کانی منفرد برای پیش‌بینی رفتار آن کانی در فرآیند فلوتاسیون الکتروشیمیایی کانسنگ‌های مخلوط آن کانی با کانی‌های دیگر مفید است. (جیو وین ۲۰۰۴) هرچند پدیده اثر گالوانیک در فلوتاسیون الکتروشیمیایی کانی‌های مخلوط را باید در نظر گرفت، اما با شناخت رفتار یک کانی و تعیین محدوده‌ای از پتانسیل که در آن خاصیت آبدوستی یا آبرانی دارد می‌توان راهنمای خوبی برای تعیین رفتار آن کانی در یک سیستم پیچیده پالپ بدست آورد. نتایج نشان داده است که اگرچه رفتار مخلوط کانی‌ها از رفتار کانی‌های منفرد قابل پیش‌بینی نمی‌باشد اما فلوتاسیون الکتروشیمیایی مخلوط کانی‌های سولفیدی تابعی از پتانسیل می‌باشد. فقط دامنه پتانسیل کنترل‌کننده رفتار کانی‌ها متفاوت می‌باشد. (وودز ۲۰۰۳). در اغلب مطالعات و تحقیقات انجام شده تاکنون بازیابی فلوتاسیون به روش الکتروشیمیایی در غیاب کلکتور کم بوده و این مطالعات موفقیت آمیز نبوده‌اند. نتایج این مطالعات به بهترین وجه ممکن توسط آربیتر و گبهارد، ۱۹۹۲ جمع آوری شده است. (وودز، ۲۰۰۳) مطالعات الکتروشیمیایی سیستم‌های فلوتاسیون به روشنی نشان داده است که بازیابی فلوتاسیون تابع پتانسیلی است که در فصل مشترک کانی/ محلول وجود دارد. این پتانسیل که معمولاً به Eh نشان داده می‌شود مورد توجه بسیاری از محققان در جهان بوده است. اولین بار جانز و وودک در سال ۱۹۷۱ پیشقدم اندازه گیری Eh در یک کارخانه فلوتاسیون در استرالیا شده‌اند. به خوبی مشخص شده است که فلوتاسیون یا بازداشت الکتروشیمیایی کانی‌های سولفیدی به نسبت مواد آبران یا آبدوستی که سطح ذرات کانی را پوشش می‌دهند بستگی دارد. مواد آبدوست که باعث بازداشت کانی‌های سولفیدی می‌شوند عموماً شامل ذرات اکسید/ هیدروکسید و سولفاکسی هستند. در حالیکه ذراتی که باعث آبرانی در غیاب کلکتور می‌شوند، مواد غنی از سولفور مانند پلی‌سولفیدها و سولفور عنصری هستند. (فیورترن و همکاران، ۱۹۹۷). در فلوتاسیون بدون کلکتور کانی‌های سولفیدی، با کاهش pH بازیابی افزایش می‌یابد. دلیل آن هم آبران بودن سطح غنی از سولفور می‌باشد که آن هم به دلیل پوشیده شدن سطح کانی با ذرات آبدوست هیدروکسید فلزی است که با افزایش pH افزایش می‌یابد. (بوکلی و همکاران، ۱۹۸۹) بعد از انحلال ترجیحی فلز در اثر اکسیداسیون کانی‌های سولفیدی یک سطح غنی از سولفور و عاری از فلز تشکیل می‌شود. این سطح بعداً بر اساس معادله زیر به پلی‌سولفیدها و گوگرد عنصری (که هر دو خاصیت آبرانی دارند) اکسید می‌شوند. (فورناسیرو و رالستون، ۲۰۰۵)



پتانسیل الکترودهای کانی‌ها از فعالیت الکتروشیمیایی آنها تبعیت می‌نمایند و از نظر مقدار به ترتیب از گالن، کالکوپیریت، پیریت، طلا و پلاتین کاهش می‌یابد. نسبت تغییرات Eh به pH خطی و شیب آن برای الکترودهای مختلف متفاوت است. برای پلاتین شیب آن برابر $43/3$ و برای طلا برابر 32 و برای کالکوپیریت برابر $13/8$ و برای پیریت برابر $mv/\text{pH} 26$ می‌باشد(فورناسیرو و رالston، ۲۰۰۵) کنترل pH یکی از گسترده‌ترین روش‌های بازداشت پیریت در فلوتاسیون است. کاهش شناورپذیری پیریت در شرایط قلیایی علاوه بر تجزیه‌پذیری سریع ساختار کلکتور و جلوگیری از تشکیل دیگزنتوزن، به تشکیل هیدروکسیدهای آهن آبدوست در سطح پیریت در pH ‌های بهشت قلیایی وابسته است. (گاردنر و وودز، ۱۹۷۹، وايز، ۱۹۸۵، هویاک و همکاران، ۱۹۹۰، فیورستانیو و همکاران، ۱۹۹۶)

۳-۶- فلوتاسیون الکتروشیمیایی با کنترل پتانسیل پالپ

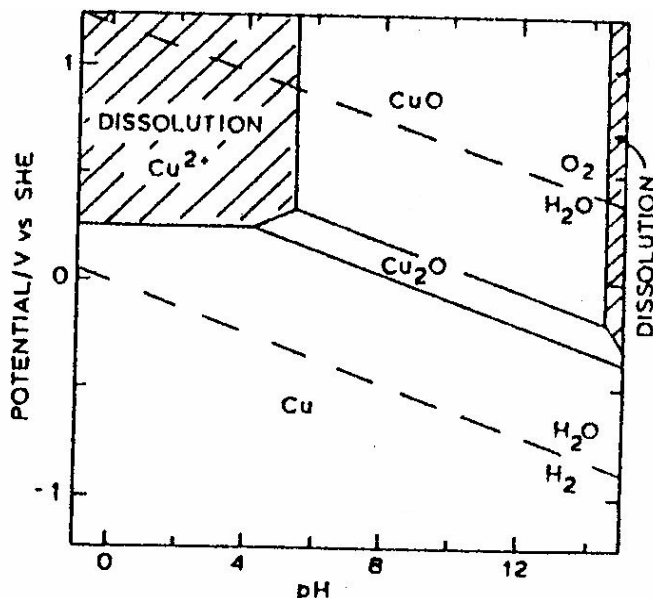
کنترل پتانسیل پالپ با دو روش کنترل شیمیایی با افودن معرفه‌ای اکسیدان یا احیاء کننده و روش پتانسیواستاتیکی با استفاده از اعمال پتانسیل برروی یک الکترود کار در محیط فلوتاسیون امکان‌پذیر است. روش‌های پتانسیواستاتیکی با استفاده از اعمال پتانسیل شدیداً به تماس موثر الکترود با ذره کانی وابسته است. همچنین این روش انعطاف‌پذیرتر از روش شیمیایی است. کنترل پتانسیل اعمالی با دستگاه پتانسیواستات با دقت بالا و خوبی امکان‌پذیر است، در حالیکه کنترل میزان مصرف مواد شیمیایی کم‌دقتر و مشکل‌تر است.(هایس و رالston^{۸۹} ۱۹۸۸) لازم به توضیح است که در تمام تحقیقات انجام شده تا کنون آزمایش‌ها یا برروی نمونه‌های تک کانی و یا در حضور کلکتور یا بازداشت کننده انجام شده‌است. همچنین کنترل پتانسیل پالپ به روش شیمیایی یعنی با افزودن عامل‌های اکسیدان یا احیاء کننده انجام شده‌است.

هر کانی سولفیدی پتانسیل استراحت متفاوتی دارد. حتی همان کانی در شرایط مختلف پتانسیل استراحت آن تغییر می‌کند. پتانسیل استراحت یک کانی را می‌توان با استفاده از الکترود آن کانی و یک الکترود مرجع مانند الکترود نقره-کلریدنقره به دست آورد. به این ترتیب که با قرار دادن این دو الکترود در یک محلول خاص مانند اسید سولفوریک نرمال و اتصال آنها به یک مولتی متر(ولتمتر-آمپر متر) در حالیکه جریان عبوری برابر صفر است مقدار پتانسیل را قرائت کرد. این پتانسیل را پتانسیل استراحت یا پتانسیل جریان صفر می‌نامند. در یک سیستم پیچیده پالپ متشكل از چندین کانی، آنیون و کاتیون می‌توان توالی و روند واکنش‌های اکسیداسیون و احیاء را با توجه به پتانسیل استراحت و اکسیداسیون کانی‌های مختلف تعیین نمود. پتانسیل اکسیداسیون کانی‌های مختلف در جدول شماره ۱-۳ آورده شده است.

همانگونه که ملاحظه می‌کنید هر واکنش اکسیداسیون یا احیاء دارای یک پتانسیل مشخص است. بدیهی است این مقدار در حضور سایر کانی‌ها یا کاتیون‌ها و آنیون‌ها ممکن است تغییر کند ولی باید از یک روند مشخص

پیروی نماید. همین مسئله کمک می‌کند تا بتوان دامنه مشخصی از پتانسیل را تعیین نمود که در آن یک فرآیند مورد نظر انجام بشود یا نشود. پتانسیل سطح مشترک کانی- محلول باحضور و تشکیل گونه‌های مختلف اکسیداسیون واحیاء مشخص می‌شود. اندازه‌گیری پتانسیل با استفاده از الکترود کمکی یا نشانگر که عموماً از جنس فلزات نجیب، طلا یا پلاتین می‌باشد برای شناسایی واکنش‌های اکسیداسیون احیاء یک روش مرسوم می‌باشد.

یکی از ابزارهایی که با استفاده از آن می‌توان در شرایط الکتروشیمیایی مختلف علی‌الخصوص با داشتن pH و Eh تشکیل و پایداری گونه‌های خاصی از یک ترکیب را پیش‌بینی نمود، دیاگرام‌های پوربه^{۹۰} است. این دیاگرام‌ها که برای اولین بار بر اساس معادلات عمومی ترمودینامیکی توسط پوربه در سال ۱۹۴۹ معرفی شده است، به صورت نمودارهای Eh/pH می‌باشد. منحنی‌های Eh/pH برای سیستم‌های کانی برای اولین بار توسط گارلس^{۹۱} در سال ۱۹۶۰ به کار گرفته شده است. ذکر این نکته بسیار مهم است که در شرایطی که اجزء یک سیستم بیش از چهار یا پنج جزء باشد این نمودارها دیگر قابل استفاده نیستند. برای مثال برای سیستم آب-مس دیاگرام پوربه به صورت شکل ۳-۱ می‌باشد. واکنش‌های قابل پیش‌بینی برای رسم این منحنی بیش از ۱۲ عدد و گونه‌های شیمیایی موجود در سیستم بیش از ۷ گونه می‌باشد.



شکل ۳-۱- دیاگرام $Eh-pH$ برای سیستم آب-مس در دمای ۲۹۸ درجه کلوین و اکتیویته^{۹۰} ۱۰ مول برای مس ارتباط بسیار نزدیکی بین pH و پتانسیل پالپ وجود دارد. به طور کلی پتانسیل با افزایش pH کاهش می‌یابد. شناورپذیری کانی‌های سولفیدی به سادگی با تغییر pH تغییر می‌کند. عموماً شناورپذیری در شرایط قلیایی شدیداً کم می‌شود. این امر به دلایل زیر است:

⁹⁰ Pourbaix
⁹¹ Garels

- الف- تشکیل یون هیدروکسیل یا هیدروکسیدهای فلزی که سطح کانی‌های سولفیدی را آبدوست می‌کند.
- ب- از نظر الکتروشیمیایی هنگامیکه pH قلیایی است، پتانسیل پالپ از حالت کاتدی خارج و این امر اکسیداسیون کلکتور را به دی‌گزنتوزن که آبران است کند می‌کند.
- گزارش شده‌است که با تنظیم پتانسیل پالپ در محدوده $+0/3$ ولت با اضافه کردن پراکسیدهیدروژن توانسته‌اند فلووتاسیون کالکوپیریت از کانسنگ ریزدانه پیریتی همراه با گالن را انجام داده به بهبودهای قابل توجهی دست پیدا نمایند. در این تحقیق از الکترود پلاتین برای اندازه‌گیری پتانسیل پالپ استفاده شده‌است.(یوریب و همکاران، ۲۰۰۰)

جدول ۱-۳- پتانسیل اکسیداسیون.(هایس و رالston ۹۲ ۱۹۸۸)

پتانسیل	واکنش
+0.80	$\text{Ag}^+ + \text{e} \rightarrow \text{Ag}$
+1.98	$\text{Ag}^{2+} + \text{e} \rightarrow \text{Ag}^+$
+0.07	$\text{AgBr} + \text{e} \rightarrow \text{Ag} + \text{Br}^-$
+0.22	$\text{AgCl} + \text{e} \rightarrow \text{Ag} + \text{Cl}^-$
-0.15	$\text{AgCl} + 2\text{e} \rightarrow \text{Ag} + \text{Cl}^{-2}$
-1.68	$\text{Al}^{3+} + 3\text{e} \rightarrow \text{Al}$
-0.23	$\text{As} + 3\text{H}^+ + 3\text{e} \rightarrow \text{AsH}_3$
+0.24	$\text{As(OH)}_3 + 3\text{H}^+ + 3\text{e} \rightarrow \text{As} + 3\text{H}_2\text{O}$
+0.56	$\text{AsO(OH)}_3 + 2\text{H}^+ + 2\text{e} \rightarrow \text{As(OH)}_3 + \text{H}_2\text{O}$
+1.83	$\text{Au}^+ + \text{e} \rightarrow \text{Au}$
+1.52	$\text{Au}^{3+} + 3\text{e} \rightarrow \text{Au}$
-2.92	$\text{Ba}^{2+} + 2\text{e} \rightarrow \text{Ba}$
-1.97	$\text{Be}^{2+} + 2\text{e} \rightarrow \text{Be}$
+1.06	$\text{Br}_2(\text{L}) + 2\text{e} \rightarrow 2\text{Br}^{-2}$
+1.09	$\text{Br}_2(\text{aq}) + 2\text{e} \rightarrow 2\text{Br}^-$
+0.76	$\text{BrO}^- + \text{H}_2\text{O} + 2\text{e} \rightarrow \text{Br}^- + 2\text{OH}^-$
+1.60	$2\text{HBrO} + 2\text{H}^+ + 2\text{e} \rightarrow \text{Br}_2 + 2\text{H}_2\text{O}$
+1.48	$2\text{BrO}^- + 12\text{H}^+ + 10\text{e} \rightarrow \text{Br}_2 + 6\text{H}_2\text{O}$
+1.85	$\text{BrO}_4^{-2} + 2\text{H}^+ + 2\text{e} \rightarrow \text{BrO}_3^{-2} + \text{H}_2\text{O}$
-0.11	$\text{CO}_2 + 2\text{H}^+ + 2\text{e} \rightarrow \text{CO} + \text{H}_2\text{O}$

در بحث کنترل پتانسیل پالپ ابزار اندازه‌گیری پتانسیل یعنی الکترود از اهمیت بالایی برخوردار است. در اکثر موارد الکترود پلاتین مناسب‌ترین ابزار اندازه‌گیری پتانسیل بوده است. اما ادعا شده است که برای کانسنس‌های مرکب این الکترود کارایی لازم را ندارد. زیرا کانی‌های سولفیدی مختلف در محیط پالپ می‌توانند پتانسیل‌های متفاوتی را نشان دهند. (رونالا و همکاران، ۱۹۹۷) گزارش شده است که الکترود پلاتین و طلا عملکردی مشابه الکترود گالن جاگذاری شده در پالپ محتوی گالن داشته است. البته این مسئله زمانی محقق می‌شود که ارتباط مداومی بین سطح الکترود و ذرات گالن موجود در پالپ برقرار باشد. (راندز و وودز، ۱۹۸۴)

شرکت اینترنشنال‌کنترل یک دستورالعمل فلوتاسیون الکتروشیمیایی برای کارخانه‌های فلوتاسیون کانی‌های سولفیدی پیشنهاد و ادعا کرده است که این دستورالعمل با استفاده از ارتباط بین کانی‌شناسی کانسنس و متغیرهای الکتروشیمیایی تنظیم شده است. گزارش شده است که کاربرد این دستورالعمل در یک کارخانه بزرگ سرب و روی منتج به کاهش هزینه‌های بالاسری فرآیند و افزایش متالوژیکی واحد و کاهش مصرف مواد شیمیایی شده است. (سوتیل ۱۹۹۰ و هربست و همکاران ۱۹۹۴) همچنین شرکت اتوکمپو فنلاند سیستمی را تحت عنوان (OK-PCF) یا فلوتاسیون با پایش پتانسیل پیشنهاد داده است که از سال ۱۹۸۴ در معدن نیکل هیتورا، از سال ۱۹۸۸ در معدن نیکل و امالا و معادن سرب و روی مس ویهاتی و از سال ۱۹۹۰ در معدن سرب و روی و مس و پیریت پیهاسالمی پیاده‌سازی شده است. در معدن هیتورا جابجایی کنترل پتانسیل با کنترل pH باعث افزایش بازیابی نیکل تا بیش از ۲٪ بسته به نوع کانسنس شده است. در معدن ویهاتی باعث شده است که مصرف کلکتور و آهک تا ۳۰٪ کاهش یابد و سودآوری بین ۱۰ تا ۲۰٪ افزایش یابد. (رونالا و همکاران، ۱۹۹۷)

۳-۵- فلوتاسیون الکتروشیمیایی با اعمال پتانسیل خارجی

مناکو و همکاران ۱۹۹۳ وین و تجدد ۲۰۰۳ بر موفقیت آمیز بودن کاربرد پتانسیل خارجی برای کنترل پتانسیل پالپ در آزمایش با کانی‌های منفرد تاکید کرده‌اند. آنها هدف خود را مطالعات سیستماتیک آبرانی کالکوپیریت و آنارژیت تحت شرایط کنترل پتانسیل پالپ و ارزیابی تاثیر متغیرهای همچون pH، غلظت کلکتور و بازداشت کننده و تعیین محدوده پتانسیل شناورپذیری کالکوپیریت از آنارژیت اعلام داشته‌اند. (مناکو و همکاران ۱۹۹۳ وین و تجدد ۲۰۰۳) نشانگرهای پتانسیومتریک متعددی نظیر الکترود pH و انواع دیگر الکترودها برای اندازه‌گیری پتانسیل پالپ در فلوتاسیون سولفیدها مورد استفاده قرار گرفته است. دارک و ککس ۱۹۳۴، نیکواسکی و همکاران ۱۹۵۶، لرد و مارکویچ ۱۹۷۰، چاندر و فیورستانیو ۱۹۷۴، جانز و وودک ۱۹۸۲، راند و وودز ۱۹۸۴، گبهارد و شدد ۱۹۸۸، لابونته و فینچ ۱۹۸۹ در تحقیقات خود از انواع الکترود استفاده کرده‌اند.

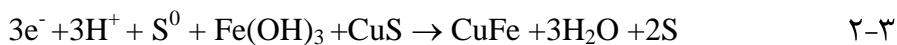
گزارش شده است که به طور معمول از سه نوع الکترود فلزات نجیب، الکترود کانی و الکترودهای یون انتخابی در اندازه‌گیری پتانسیل اکسیداسیون احیاء (ORP) استفاده می‌شود. (چاندر ۲۰۰۳) با توجه به تعداد ذرات کانی-های موجود در محیط پالپ و شناس آنها برای در تماس قرار گرفتن با سطح الکترود به نظر می‌رسد که از نظر

سینتیک الکتروشیمیایی انتقال بار الکتریکی به طور مستقیم بین ذرات کانی و الکترود کاری بسیار کند و حتی غیرممکن است. در حالیکه یون‌های موجود در فاز آبی می‌توانند عمل انتقال بار الکتریکی را بسیار بهتر انجام دهند. محاسبات نشان داده است که نسبت بین احتمال برخورد یون‌های Cl^- در محلول با غلظت^{۹۰} ۱۰۰ مول و ذرات کالکوپیریت در سیستم میکروفلوتاسیون ۱ به ۱۶۵ بیلیون است. این به این معنی است یون Cl^- که یک بیلیون باربیشرتر از ذرات کالکوپیریت شناس برخورد با الکترود کار را دارد.(جیو وین ۲۰۰۳)

در روش کنترل پتانسیل پالپ با اعمال پتانسیل خارجی باید پدیده اثر قفس فارادی را در نظر گرفت. ممکن است این اثر باعث ناکارآمدی فلوتابسیون انتخابی کالکوپیریت در روش اعمال پتانسیل گردد.(جیو وین ۲۰۰۳) چیدمان الکترودها در روش اعمال پتانسیل خارجی موثر است و باید بگونه‌ای باشد که برقراری جریان بین الکترود کار و الکترود کمکی از لایه ذرات کانی عبور نماید. در حقیقت قرارگرفتن الکترودها باید بگونه‌ای باشد که بین آنها اتصال کوتاه برقرار نگردد و محدوده نفوذ جریان تمام محیط پالپ را پوشش دهد. البته شکل الکترودها نیز در این امر دخیل است.(جیو وین ۲۰۰۴)

۳-۶- فلوتابسیون الکتروشیمیایی کالکوپیریت و کانی‌های مس

کالکوپیریت (CuFeS_2) گسترده‌ترین کانی مس و یکی از مهمترین منابع فلز مس می‌باشد. کالکوپیریت ممکن است از طریق واکنش‌های زیر اکسید شود:



واکنش‌های فوق توسط تراهار ۱۹۸۴ پیشنهاد شده‌است. باکلی، وودز و هامیلتون^{۹۳} ۱۹۸۵ واکنش زیر را برای اکسیداسیون مس پیشنهاد داده‌اند.



لازم به توضیح است که این واکنش به صورت یک لایه سطحی روی سطح کانی انجام می‌شود.

در محیط‌های اسیدی کالکوپیریت ممکن است بر اساس واکنش زیراحياء گردد(شیرتس^{۹۴}، ۱۹۷۴)



در تاثیر متقابل کانی-کانی، آن کانی که پتانسیل استراحت بالاتری دارد به صورت کاتد و دیگری به صورت آند عمل می‌کند. البته در سیستم هایی چندتایی تاثیرات متقابل پیچیده‌تر است. برای مثال پتانسیل استراحت کالکوپیریت ۰/۱۵۶ ولت است. در حالیکه در حضور پیروتیت ۰/۱۴۶ ولت و در سیستم پیروتیت-آرسنوفیریت و کالکوپیریت ۰/۱۴۱ ولت در مقیاس هیدروژن می‌باشد. ریچاردسون و واکر بازیابی کانی‌های سولفیدی مس را

نسبت به تغییرات Eh در حضور اتیل اگزنتات بررسی کرده‌اند. بر اساس نتایج آنها کالکوپیریت در $pH = 9$ در پتانسیل آندی بازیابی خوبی نداشته و بازداشت شده است. (ریچاردسون و واکر^{۹۵، ۱۹۸۵})

کالکوپیریت در پتانسیلهای ملایم پالپ در غیاب کلکتور قابلیت شناوری دارد و بازیابی آن به پتانسیل پالپ، محیط خردایش و اندازه ذرات بستگی دارد. پتانسیل پالپ را می‌توان با عوامل اکسیداسیون و احیاء (موادشیمیایی) کنترل کرده، با الکترود پلاتین به عنوان الکترود کمکی یا نشانگر آن را اندازه‌گیری کرد. تعیین شرایطی که کانی‌های سولفیدی به طور انتخابی با کنترل پتانسیل پالپ در غیاب کلکتور شناور شوند (فلوتاسیون الکتروشیمیایی بدون موادشیمیایی) بسیار مهم است. تشخیص و پایداری ترمودینامیکی وسینتیکی تشکیل گونه‌های آبران یا آبدوست روی کانی‌های سولفیدی برای شناوری یا بازداشت آنها هنوز جای کار دارد. (هایس و تراهار^{۹۶، ۱۹۸۴})

ناتاراجان و ایواساکی تاثیر پتانسیل را در جدایش مولیبدنیتاز کالکوپیریت (در آزمایش‌های میکروفلوتابسیون بر روی تک کانی) با استفاده از الکترود پلاتین به عنوان الکترود نشانگر والکترود کالومل نقره اشباع به عنوان الکترود مرجع مورد مطالعه قرار داده‌اند. نتایج به دست آمده از این تحقیق نشان می‌دهد که در پتانسیلهای آندی کمتر از $4/0$ - ولت بازیابی مولیبدن حداکثر و از آن کالکوپیریت حداقل است. در پتانسیلهای مثبت روند تغییرکرده به گونه‌ای که در پتانسیل $2/0$ + ولت و بالاتر بازیابی کالکوپیریت حداکثر و از آن مولیبدنیت حداقل است. (ناتاراجان و ایواساکی^{۹۷، ۱۹۷۰}) سپالوودا و همکاران از الکترود پلاتین به عنوان الکترود کار والکترود نقره/کلرید نقره به عنوان الکترود مرجع برای پایش پتانسیل پالپ در جدایش کالکوپیریت از مولیبدنیت استفاده کرده‌اند. گزارش شده‌است که کلیه کانی‌های مس در پتانسیلهای کمتر از $3/0$ - ولت بازداشت شده‌اند. این پتانسیل به‌طور محسوسی پایینتر از مقادیری است که ناتاراجان و همکاران در سال ۱۹۸۳ برای بازداشت کالکوپیریت گزارش کرده‌اند. شاید بتوان تاثیر حضور سایر کانی‌های مس در کنار کالکوپیریت را علت پایین بودن داده‌های این بررسی دانست. (سپالوودا سوارز و کاسترو^{۹۸، ۱۹۹۶})

۵۳- هایس و تراهار گزارش کرده‌اند که بازداشت کالکوپیریت در پتانسیل های پایینتر از $2/0$ - ولت اتفاق می‌افتد. آگار و همکاران اعلام کرده‌اند که بازداشت کالکوپیریت در پتانسیلهای پایینتر از $26/0$ - ولت انجام می-شود. (هایس و تراهار، ۱۹۷۹، آگار^{۹۹} و همکاران، ۱۹۸۲)

آروانابر روی جدایش مولیبدنیت از کانی‌های مس در معدن چیوکیوکارماتا^{۱۰۰} مطالعه و گزارش کرده است که مصرف هیدروسولفیدسدیم (NaHS) با جایگزینی نیتروژن به جای هوا تا 48% و با کنترل پتانسیل پالپ با

^{۹۵} Richardson and Walker

^{۹۱} Hayes and Trahar

^{۹۵} Natarajan and Iwasak

^{۹۶} Sepalveda-Suarres and Castro

^{۹۷} Agar

^{۱۰۰} Chuquicarmata

الکترود پلاتین تا ۲۳٪ کاهش داده است(آروانا^{۱۰۱}، ۱۹۸۷). (آقای پورکانی درمدار فرآوری مولیبدن در مجتمع سرچشم جایگزینی نیتروژن به جای هوا را به صورت موفقیت آمیز انجام داده است).

آکرمن و همکاران گزارش کرده‌اند که بازیابی کالکوپیریت در $pH = 5$ تا $10/5$ به طور پیوسته کاهش می‌یابد. در حقیقت pH مناسب برای بازداشت کالکوپیریت pH قلیایی است.(آکرمن و همکاران، ۱۹۸۷)

مناکو و همکاران نشان داده‌اند که کالکوپیریت در پتانسیل‌های کمتر از $5/0$ ولت با الکترود استاندارد کالومل بازداشت می‌شود.(مناکو و همکاران، ۱۹۹۳) کالکوپیریت در $pH = 10$ در پتانسیل‌های کمتر از $2/0$ ولت آبپذیر است. سطح کالکوپیریت در پتانسیل‌های بالاتر از $2/0$ ولت شروع به آبرانشدن می‌کند و تا حدود پتانسیل صفر به حداکثر خود می‌رسد. سپس شروع به کاهش کرده، مجدداً در $2/2$ ولت آبپذیر می‌گردد.(جیو و ین^{۱۰۲}، ۲۰۰۳) یو، جیانگ و همکاران گزارش کرده‌اند که هر دو روش اکسیداسیون و احیاء، یعنی ایجاد شرایط اکسیدی و احیائی برای بازداشت کالکوپیریت و فلوتاسیون انتخابی مولیبدن قابل کار هستند(یو^{۱۰۳}، ۱۹۸۲، جیانگ^{۱۰۴} و همکاران، ۱۹۹۹) برای پاکسازی سطح نمونه‌ها علی‌الخصوص گوگرد عنصری از سولفید‌سیدیم استفاده می‌کنند. به این ترتیب که نمونه‌ها را با محلول ۵٪ سولفید سیدیم به طور کامل شستشو می‌دهند.(جیو و ین^{۲۰۰۳}) محققان زیادی همچون آلیسون و همکاران^{۱۹۷۲}، لپتین و همکاران^{۱۹۸۸}، کیوروز و پاگلیرو^{۱۹۸۸}، آبرانی سطح کالکوپیریت در حضور گلکتور را به تشکیل لایه دی‌گرنتوژن در سطح کالکوپیریت نسبت می‌دهند. اما (یان و همکاران، ۲۰۰۰) آب‌گریزی کالکوپیریت را ناشی از تشکیل لایه اکسیدی در سطح آن میدانند.

روش‌های کنترل پتانسیل پالپ تاثیر معناداری بر شناورپذیری کالکوپیریت دارد. در صورتیکه پتانسیل پالپ با مواد شیمیایی تنظیم شده باشد، کالکوپیریت در دامنه $-0/25$ تا $+0/18$ ولت دارای شناورپذیری خوب می‌باشد، در حالیکه اگر پتانسیل پالپ با اعمال پتانسیل خارجی تنظیم شده باشد کالکوپیریت در دامنه $-0/5$ تا $+1/5$ ولت دارای خاصیت شناورپذیری می‌باشد. این در حالیست که فلوتاسیون در حضور پتانسیوم اتیل اگزنتات با غلظت 7×10^{-5} مول و در $pH = 10$ انجام می‌شود.(جیو و ین^{۲۰۰۳})

زمانیکه پتانسیل پالپ از $+0/3$ ولت تجاوز می‌کند کالکوپیریت خاصیت آبرانی خود را از دست می‌دهد. این به این دلیل است که این کانی در این محدوده از پتانسیل به آسانی اکسید می‌شود. اکسیداسیون S^0 به SO_4^{2-} خاصیت آبرانی سطح را کاهش میدهد. علاوه بر این افزایش ذراتی مانند $Fe(OH)_3$ و $Cu(OH)_2$ در سطح کالکوپیریت باعث کاهش خاصیت جاذبه ملکولی بین دی‌گرنتوژن و سطح کانی شده، احتمال شناورپذیری آن را در پتانسیل‌های بالاتر از $+0/3$ ولت کاهش می‌دهد.(جیو و ین^{۲۰۰۴}) گوگرد عنصری عاملی برای شناور شدن خوب کالکوپیریت در پتانسیل‌های $-0/1$ تا $+0/2$ ولت می‌باشد.(گاردنر و وودز^{۱۹۷۹}، یانگ و چاندر، ۱۹۹۰)

¹⁰¹ Aravena

¹⁰² Guo and Yen

¹⁰³ You

¹⁰⁴ Jiang

گزارش شده است که کالکوپیریت در یک پتانسیل خاص قابلیت جدایش از مولیبدنیت را دارا می باشد.(چاندر و فیورستانیو ۱۹۸۳) بازیابی کالکوپیریت با افزایش pH از ۵ تا ۱۰/۵ به طور پیوسته کاهش می یابد. این نشان می دهد که برای بازداشت کالکوپیریت شرایط قلیایی مناسبتر است.(آگرمن و همکاران ۱۹۷۸) کالکوپیریت در محدوده پتانسیل ۸۷/۰-۰/۰ تا +۰/۲ ولت (در مقیاس الکترود کالومل) و در $pH = 10$ بدون کلکتور شناور شده است. در همین شرایط و در حضور پتاسیوم امیل اگزنتات با غلظت 4×10^{-4} مول در محدوده پتانسیل ۲/۰-۰/۲۵ تا +۰/۲۵ ولت شناور شده است.(جیو وین، ۲۰۰۲)

۷-۳- جمعبندی

هدف اصلی از ارائه این بخش که منتج از نظریات محققان در ادوار گذشته بوده، ارائه چشم اندازی برای دستیابی به اهدافی است که در این رساله هدفگذاری شده است. همانگونه که از روند مطالب در این فصل نیز قابل مشاهده است هدف اصلی در این تحقیق بررسی امکانسنجی فلوتاسیون الکتروشیمیایی با روش کنترل پتانسیل با اعمال پتانسیل خارجی بر روی یک کانسنگ چندفلزی سولفیدی (نمونه صنعتی) در مقیاس آزمایشگاهی می باشد که در تحقیقات گذشته به آن پرداخته نشده است و در حقیقت نوع آوری این تحقیق می باشد. دستورالعمل های لازم برای انجام آزمایش فرضیه های مورد نظر در این تحقیق بر اساس نتایج حاصل از تحقیقات پیشین که در بندهای قبل دسته بندی شده است تهیه می گردد. فاکتورهای دخیل در آزمایش ها، تعیین دامنه پتانسیل اعمالی، pH محیط آزمایش، ساختار سلول مورد استفاده، چیدمان الکترودها، روش اعمال پتانسیل همه وهمه بر این اساس تعیین می گردد.

فصل چهارم

روش تحقیق

دستورالعمل‌ها و آزمایش‌ها

۱-۴ روش تحقیق

به منظور آزمون فرضیه عملی بودن کاربرد پتانسیل خارجی در فلوتاسیون الکتروشیمیایی یا به گفته دیگر عملی بودن انجام فلوتاسیون الکتروشیمیایی با کنترل پتانسیل پالپ با اعمال پتانسیل خارجی، بازداشت کالکوپیریت در فرآوری مولیبدن از کنسانتره تجمیعی مس/مولیبدن در مدار فرآوری مولیبدن در مجتمع مس سرچشمہ به عنوان مطالعه موردی درنظر گرفته شده است. با توجه به اینکه اغلب تحقیقات انجام شده در این زمینه بر روی کانی های سولفیدی و علی الخصوص کانی های مس و بیشتر کالکوپیریت، به دلیل خواص الکتروشیمیایی و مینرالوژی آن انجام شده، این مورد انتخاب گردیده است. در تحقیقات انجام شده عمدتاً بروی خواص آبرانی و شناور پذیری بدون مواد شیمیایی کالکوپیریت مطالعه شده، همچنین اکثر این مطالعات و تحقیقات بر روی تک-کانی کالکوپیریت و آن هم در مقیاس آزمایشگاهی بوده است. بنابراین مطالعه خواص آبپذیری و بازداشت کالکوپیریت در یک نمونه چندفلزی آنهم در یک نمونه صنعتی همه و همه حاکی از سختی کار، نامشخص بودن نتایج تحقیق و در نوع خود تازگی موضوع داشت. یکی از اصلی ترین مشکلات کار، بالا بودن عیار مس (کنسانتره کالکوپیریتی) و پایین بودن عیار مولیبدن در نمونه بود. این مسئله باعث بالا رفتن مصرف سولفیدسیدیم می-گردد. به دلیل بالا بودن مصرف سولفیدسیدیم در مدار فرآوری مولیبدن در حال حاضر این مسئله یکی از مشکلات اصلی در مجتمع مس سرچشمہ می باشد. اهم فعالیت های انجام شده در چهار چوب این تحقیق به شرح ذیل می باشد:

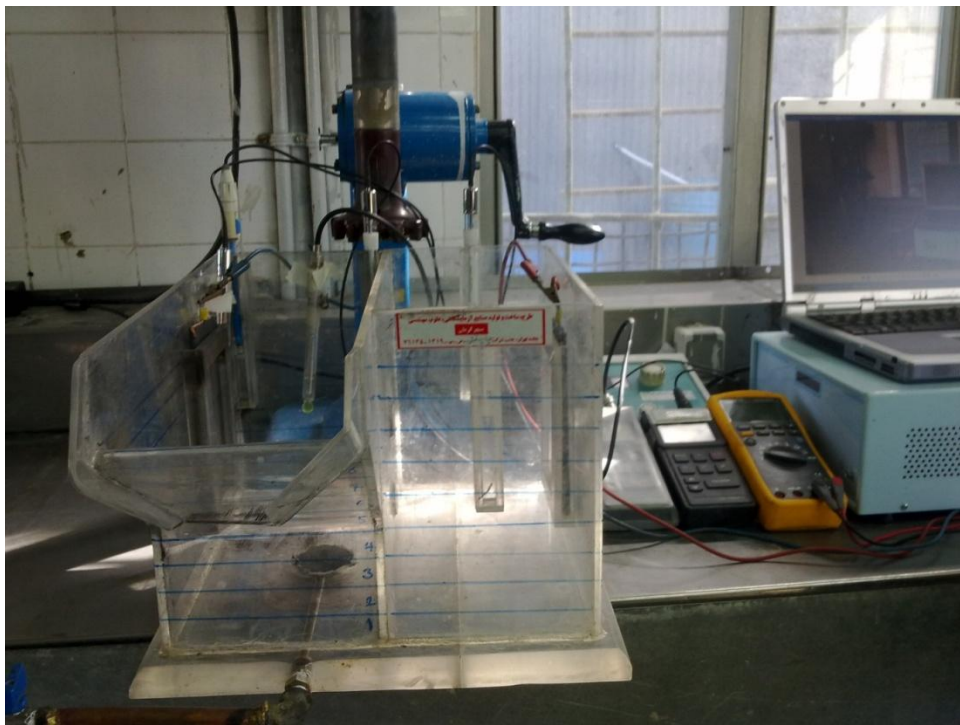
- ۱- طراحی و ساخت سلول فلوتاسیون الکتروشیمیایی با ساختاری که بتواند اهداف موردنظر را برآورده سازد
- ۲- طراحی مدار و چیدمان الکترودها براساس مبانی الکتروشیمی برای دستیابی به انجام آزمایش های مورد نظر
- ۳- شناسایی مدار فرآوری مولیبدن در مجتمع مس سرچشمہ برای انتخاب بهترین محل نمونه گیری
- ۴- نمونه برداری از مدار فرآوری مولیبدن
- ۵- شناسایی نمونه ها و آماده سازی آنها
- ۶- آنالیز آب مصرفی و تعیین کیفیت آن
- ۷- آنالیز آهک مصرفی و تعیین اکتیویته آن
- ۸- انتخاب روش های الکتروشیمیایی لازم برای اعمال پتانسیل و شناسایی مکانیزم های تعییر سطح کانی ها (آمپر متری و ولتا متری چرخه ای)
- ۹- مطالعات عیار سنجدی و مینرالوژی برای شناخت ساختار نمونه ها
- ۱۰- تهییه دستور العمل های لازم برای انجام آزمایش ها

۱۱- انجام آزمایش براساس دستورالعمل‌های تهیه شده

۱۲- در نهایت تحلیل نتایج و نتیجه‌گیری

۴-۲- طراحی و ساخت سلول فلوتوسیون الکتروشیمیایی

با توجه به اینکه فرآیند فلوتوسیون در محیط آب انجام می‌شود و آب در پتانسیل های بالاتر از ۲۰۰۰ میلی ولت شروع به تجزیه شدن می‌کند، لذا امکان اعمال پتانسیل به طور مستقیم در محیط فلوتوسیون وجود ندارد. لذا به گفته دیگر جریان آزاد الکترون به دو دلیل، مقاومت بالای پالپ و امکان الکترولیز شدن آب وجود ندارد. لذا در یک سلول فلوتوسیون الکتروشیمیایی باید از واسطه‌ها یا حامل‌های الکترون که همان یون‌های باردار می‌باشند، استفاده نمود. انجام فرآیند فلوتوسیون شیمیایی با اعمال پتانسیل تابع احتمال برخورد ذرات کانی با سطح الکترود می‌باشد این برخورد برای دادن یا گرفتن الکترون از الکترود کار باید انجام شود. بنابراین باید مکانیزمی بکارگرفته شود، که این احتمال را افزایش دهد. یکی از این راهکارها افزایش واسطه‌های تبادل الکترون یعنی یون‌های آزاد در محیط فرآیند است. به همین منظور سلولی طراحی شده که بتواند این هدف را فراهم سازد. براساس مطالعات انجام شده توسط آقایین وهمکاران در سال ۲۰۰۵ طرح اولیه سلول الکتروشیمیایی اقتباس و پس از تغییرات لازم سلول فلوتوسیون الکتروشیمیایی مورد نظر طراحی و ساخته شده است. سلول شامل دو بخش الکترولیتی و فرآیند است. این دو بخش توسط یک دیواره تراوای یونی ازهم جدا می‌گردند. در هر بخش نگهدارنده‌هایی جهت قرار دادن الکترود در نظر گرفته شده‌است. همچنین برای بررسی نحوه هوادهی به بخش فرآیند یک مجرای دمش هوا در بخش تحتانی آن تعییه شده‌است. این سیستم همچنین امکان اکسیژن زدایی بخش فرآیند توسط تزریق نیتروژن به داخل سلول را فراهم کرده‌است. نمایی از این سلول را در شکل ۱-۴ نشان داده شده است.



شکل ۴-۱ نمایی از سلول فلوتواسیون الکتروشیمیایی مورد استفاده در آزمایش‌ها

سلول مورد نظر براین اساس طراحی شده است که امکان بستن مدار الکتریکی بین الکترود کار که در بخش فرآیند قرار می‌گیرد و الکترود کمکی که در بخش الکتروولیتی قرار می‌گیرد بسته می‌شود. با برقراری پتانسیل بر روی الکترود کار، ذرات کانی در تماس با این الکترود اقدام به تبادل الکترون با آن می‌نمایند. این ذرات باردار با یون‌های عبوری از صفحه تراوای یونی که از بخش الکتروولیتی وارد محیط فرآیند شده‌اند تبادل الکترون می‌نمایند و مجدداً به بخش الکتروولیتی برمی‌گردند. این فعل انفعالات بینهایت بار و تا زمان برقراری پتانسیل ادامه می‌یابد. در این رهگذر واکنش‌های اکسیداسیون احیاء، انجام و منجر به تشکیل گونه‌های آبران یا آبدوست می‌شود که با نشستن آنها بر سطح کانی‌های مورد نظر، هدف نهایی که همان شناورسازی یا بازداشت انتخابی کانی‌ها می‌باشد، محقق می‌شود.

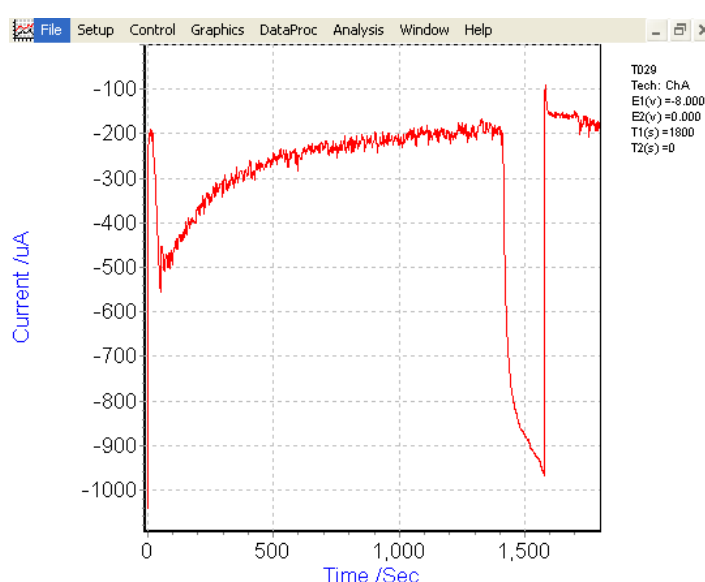
پس از انجام یک سری آزمایش با این سلول و اندازه‌گیری جریان بین الکترود کار و کمکی، همچنین پتانسیل بین الکترود کار و مرجع مشخص شد که مقدار جریان در محیط پالپ پایین می‌باشد. برای بررسی این موضوع یعنی پایین بودن ضریب نفوذ جریان آزمایش T029 مورد بررسی قرار می‌گیرد. داده‌های مربوط به این آزمایش در جدول ۴-۱ نشان داده شده است.

جدول ۴-۱ داده‌های آزمایش T029

مشخصات کلی آزمایش							
شماره آزمایش	تاریخ آزمایش	ساعت	مدت آزمایش	مجری	دستگاه پتانسیوواستاتیک	مدل دستگاه ولتمتر	مدل دستگاه pH متر
T029	8/9/89	9/0	۲,۵ ساعت	غیری	SAMA500	PSPI189	WTWP323
مشخصات کلی الکتروشیمیایی آزمایش							

درجه حرارت	pH بالب	Eh بالب	پتانسیل بین کار و مرجع	پتانسیل اعمالی	پتانسیل بین کار و مرجع	الکترود کمکی	الکترودمرجع	الکترودکار					
آزمایشگاه	11.95	mv -18	-10.7	-8 ولت	پلاتین تیغه ای	Ag/AgCl	پلاتین تیغه ای						
مشخصات فیزیکی محیط فلوتاسیون													
زمان کف گیری	زمان اعمال	زمان آماده سازی	هوای دهی	گاز مصرفی	آب مصرفی	دور رتور rpm	جرم مخصوص پالپ gr/cm ³	درصد جامد پالپ gr/cm ³					
۰۰:۰۰	دقیقه	دقیقه ۵	کپسول	نیتروژن	کارخانه	1000	1.07	۴۰.۵					
میزان مصرف مواد شیمیایی													
کفساز		بازداشت کننده				تنظیم کننده							
A70	A65	MIBC	سیانور سدیم	سیانید سدیم	سولفید سدیم	NaHS	نمک	سود	آهک	سدیم تری فسفات	گازوئیل		
-	-	10gr/t	-	-	-	-	2g/l	-	3g/l	-	1.05g/l		
مشخصات بار ورودی													
٪ عیار						٪ کانی شناسی نمونه							
Cu	CuO	Mo	Fe	SiO ₂	S	Hem	Mag	Esp	Py	Mol	Cp	Cc	Cp
27.77	0.66	0,587	23.33	5.01	-	0.0	0.0	0.0	23.4	0,95	4,7	5.9	52.7
هماتیت Hem = مگنتیت Mag = سفالریت FeS = پیریت Esp = مولبیدنیت Mol = کالکوپیریت Cv = کالکوسیت Cc = کالکوپیریت Cp = هماتیت													

همانگونه که مشاهده می‌شود، هرچند پتانسیل اعمالی روی الکترود کار -8 ولت (ماکریم خروجی پتانسیوستات در دسترس) می‌باشد، ولی پتانسیل قرائت شده بین الکترودکار و مرجع با ولتمتر دیجیتال حداقل -10.7 ولت است. بخشی از افت ولتاژ به دلیل مقاومت الکتریکی پالپ و بخش دیگر به دلیل کم بودن سطح دیافراگم تراوای یونی می‌باشد. دلیل دیگر پایین بودن مقدار جریان که نشان دهنده مقاومت الکتریکی محیط فلوتاسیون می‌باشد، پتانسیل بین الکترودهای کمکی و مرجع است. مقدار جریان عبوری از محیط فرآیند را می‌توان از روی منحنی آمپرمتری بدست آورد. این منحنی برای آزمایش T029 در شکل ۲-۴ نشان داده شده است. پیک نشان داده شده مربوط به قطع ناگهانی جریان نیتروژن در محیط می‌باشد.



شکل ۴-۲ منحنی آمپر متری آزمایش T029

همانگونه که در این منحنی نشان داده شده است در زمان حدود ۱۳۰۰ ثانیه تغییرات جریان نسبت به زمان ثابت شده است. این به معنی کاهش فعالیت های اکسیداسیون احیاء در محیط فرآیند است. در این لحظه مقدار جریان حدود ۲۰۰ میلی آمپر می باشد با داشتن ولتاژ بین الکترود کار و کمکی و این عدد که نشان دهنده جریان عبوری بین این دو الکترود می توان مقاومت پالپ را بدست آورد. در این خصوص خواهیم داشت:

$$V=-10670 \text{ mV}$$

$$I=200 \text{ mA}$$

$$R=V/I=-10670/-200=50.335\Omega$$

هرچند عامل اصلی این مسئله مقاومت الکتریکی بالای محیط پالپ می باشد، ولی غشای تراوای یونی نیز می تواند یکی از عوامل پایین بودن ضربی نفوذ جریان باشد از آنجا که ارتباط الکتریکی بین دو بخش سلول فلوتواسیون الکتروشیمیایی از طریق همین غشای تراوای یونی برقرار می شود لذا هرچه سطح مقطع غشای تراوای یونی بزرگتر باشد، چگالی یون های عبوری بیشتر و در نتیجه ضربی نفوذ جریان در داخل محیط پالپ بیشتر خواهد بود. برای برطرف کردن این نقیصه طرح سلول فلوتواسیون الکتروشیمیایی مورد تجدیدنظر قرار گرفت و سلول اصلاح شده طراحی و ساخته شد. در سلول فلوتواسیون الکتروشیمیایی اصلاح شده به جای دریچه های تراوای یونی، یک دیواره تراوای یونی در نظر گرفته شد، تا به این وسیله ضربی نفوذ جریان به حد اکثر مقدار ممکن افزایش یابد. شکل ۴-۳ نمایی از این سلول را نشان میدهد



شکل ۴-۳- سلول فلوتاسیون الکتروشیمیایی اصلاح شده

۴-۴- شناسایی مدار فرآوری مولیبدن در مجتمع مس سرچشمی برای انتخاب محل نمونه‌گیری

در اینجا لازم است به طور مختصر مدار فرآوری مولیبدن توضیح داده شود. شمای کلی این مدار در شکل ۴-۴ نشان داده شده است. کارخانه مولیبدن شامل دو مدار کلی ۲۴ ساعته و ۷ ساعته است. مدار ۲۴ ساعته شامل تیکنرهای کنسانتره تجمیعی مس و مولیبدن مرحله فلوتاسیون اولیه و مراحل شستشوی اول و دوم است. کنسانتره کارخانه تغليظ بطور مساوی وارد دو تیکنر مذکور می‌شود. اين تیکنرها دارای قطر $\frac{39}{62}$ متر و عمق ۲/۷۵ متر و ظرفیت ورودی $\frac{59}{6}$ تن بر ساعت می‌باشند. سرریز این دو تیکنر به حوضچه‌های آب برگشتی انتقال داده می‌شود و تهریز آنها با (۶۰-۷۰) درصد جامد به تانک‌های آماده سازی ارسال می‌گردد. پالپ مذکور در این تانک‌ها ابتدا با آب رقیق می‌شود تا درصد جامد آن به (۳۰-۳۸٪) برسد. سپس گازوئیل و مواد شیمیایی به آن اضافه می‌شود و بعد از طی زمان آماده سازی وارد سلول‌های فلوتاسیون اولیه می‌شود. این سلول‌ها مرکب از ۲ ردیف ۸تاًی به حجم $\frac{2}{8}$ مترمکعب هستند که باطله آنها بعنوان باطله نهایی کارخانه پرعيارکنی مولیبدن وارد تیکنرهای نهایی مس می‌شود و از آنجا به کارخانه ذوب ارسال می‌گردد. کنسانتره این مرحله نیز بعنوان خوراک وارد سلول‌های شستشوی اول می‌شود. این سلول‌ها در ۲ ردیف ۷تاًی به حجم $\frac{1}{4}$ مترمکعب قرار گرفته‌اند. باطله مرحله شستشوی اولیه بعنوان بخشی از خوراک فلوتاسیون اولیه وارد مخزن آماده

ساز سلول‌های فلوتاسیون اولیه می‌شود و کنسانتره آن نیز وارد سلول‌های شستشوی مرحله دوم می‌شود که در ۲ ردیف ۵تایی به حجم $1/4$ مترمکعب قرار گرفته‌اند. ترتیب جریان متقابل در کلیه سلول‌ها رعایت شده است. بدین ترتیب کنسانتره هر بخش نیز بعنوان قسمتی از خوراک، وارد بخش بعدی می‌گردد. کنسانتره مرحله شستشوی دوم وارد تیکنری به قطر $12/2$ متر واقع در شمال شرقی کارخانه می‌شود که با نام تیکنر وسطی شناخته می‌شود. ته ریز این تیکنر دارای 60% وزنی جامد است که وارد آسیای مدار باز شده و پس از طی عملیات خردایش مجدد به تانک‌های ذخیره خوراک سلول‌های شستشوی $3/4$ و $4/3$ ریخته می‌شود. این سلول‌ها ابتدای مدار 7 ساعته را تشکیل می‌دهند و در 2 ردیف متشکل از 11 سلول (7 سلول اول مربوط به شستشوی 3 و 4 چهار سلول بعدی مربوط به شستشوی 4) به حجم $1/4$ مترمکعب هستند که کنسانتره آنها وارد آسیای مداربسته می‌شود. هیدروسیکلون‌هایی که با آسیای مذکور در مدار بسته کار می‌کنند خوراک سلول‌های شستشوی 5 و 6 و 7 را تشکیل می‌دهند. این مجموعه متشکل از 2 ردیف سلول بوده که هر ردیف شامل 4 سلول $1/4$ مترمکعبی (سلول‌های شستشوی 5) و 6 سلول $7/0$ مترمکعبی (سلول‌های شستشوی 6 و 7) می‌باشد. کنسانتره مرحله شستشوی 7 بعنوان کنسانتره نهایی وارد تیکنر نهایی مولیبدن می‌شود. این تیکنر دارای قطری معادل $12/2$ متر و عمق $2/4$ متر است که ته ریز آن به ساختمان فیلتر پمپاژ می‌گردد. در این بخش کنسانتره مولیبدنیت مرحله آخر تولید را می‌گذراند. شکل(۳-۴) فلوشیت کارخانه مولیبدن را بصورت ساده تماش می‌دهد.(عبداللهی و همکاران، ۱۳۷۹) در حال حاضر به دلیل افزایش بار ورودی تغییراتی در مدار مورد بحث داده شده است. به این ترتیب که دیگر مدار 7 ساعته وجود ندارد و همه بخش‌ها به صورت 24 ساعته کار می‌کنند. همچنین باطله کلینر 3 که قبل از خارج از مدار هدایت می‌شد هم اکنون به اول مدار هدایت می‌گردد. بنابراین مشخصات نمونه‌ها دقیقاً مشابه بار ورودی به مدار فرآوری مولیبدن و معرف آن در آن بازه زمانی می‌باشد.

توزیع و مصرف مواد شیمیایی در مدار فرآوری مولیبدن پیچیده نمی‌باشد. عمدۀ مواد شیمیایی مصرفی سولفید سدیم است، که بصورت محلول و مایع با اکتیویته 16 به مقدار 64 کیلوگرم به ازاء هرتن بار ورودی در سلول‌های رافر و کلینرها افزوده می‌شود. در صورت پایین بودن بازیابی مولیبدن و بالا بودن عیار مس در کنسانتره مولیبدن مقدار کمی سیانید سدیم در کلینرهای مرحله آخر اضافه می‌شود. مقدار 750 گرم بر تن بار ورودی نیز گازوئیل به عنوان کلکتور مولیبدن به مدار اضافه می‌گردد.

نمونه‌ها به صورت پالپ بوده‌اند بنابراین پس از نمونه‌برداری نمونه‌ها به آزمایشگاه منتقل و پس از فیلتر شدن و خشک کردن از آنها یک نمونه تجمعی تهیه شده‌است. نمونه‌های روزانه و نمونه تجمعی عیارسنجدی و آنالیز مینرالوژی شده‌اند تا مشخصات اصلی بار ورودی به مدار فلوتاسیون الکتروشیمیایی در سلول طراحی شده (سلول آزمایشگاهی) در دست باشد. مشخصات شیمیایی و مینرالوژیکی نمونه تجمعی در جدول $2-4$ آورده شده است.

۴-۴- تهیه نمونه برای انجام آزمایش‌ها

در این تحقیق ابتدا از خط تولید در مدار فرآوری مولیبدن نمونه‌برداری شده است. برای تطابق هرچه بیشتر آزمایش‌ها با فرآیند تولید در مدار فرآوری مولیبدن نمونه‌ها از خواراک ورودی به مدار فرآوری مولیبدن گرفته شده است. روش نمونه‌برداری به این صورت بوده که به مدت ۱۵ روز، هر روز به مدت یک شیفت کاری، هر نیم ساعت به مدت ۵ تا ۱۰ دقیقه از پالپ ورودی به فیدر باکس مدار رافر اولیه مدار ۲۴ ساعته یک نمونه ۰/۵ تا ۱ کیلوگرمی تهیه و در پایان شیفت این نمونه جمع شده و به آزمایشگاه منتقل شده است. نمونه برداری در فروردین و اردیبهشت ماه سال ۱۳۸۹ انجام شده است. از مجموع این نمونه‌ها یک نمونه کلی به وزن تقریبی ۱۵۰ کیلوگرم تهیه گردید. سپس این نمونه با استفاده از تقسیم کننده ریفل و تقسیمات متواالی به حدود ۱۵۰۰ نمونه ۱۵۰۰ گرمی تقسیم گردیده است. برای جلوگیری از اکسیداسیون، نمونه‌ها در کیسه‌های دربسته پلاستیکی نگهداری شده است. این نمونه معرف جهت مطالعات عیار سنجدی و مینرالوژی به آزمایشگاه ارسال گردیده است. لازم به تذکر است که در هر آزمایش برای کنترل عیار و اطمینان از نتایج عیارسنجدی نمونه خواراک مجدداً به آزمایشگاه ارسال شده است.

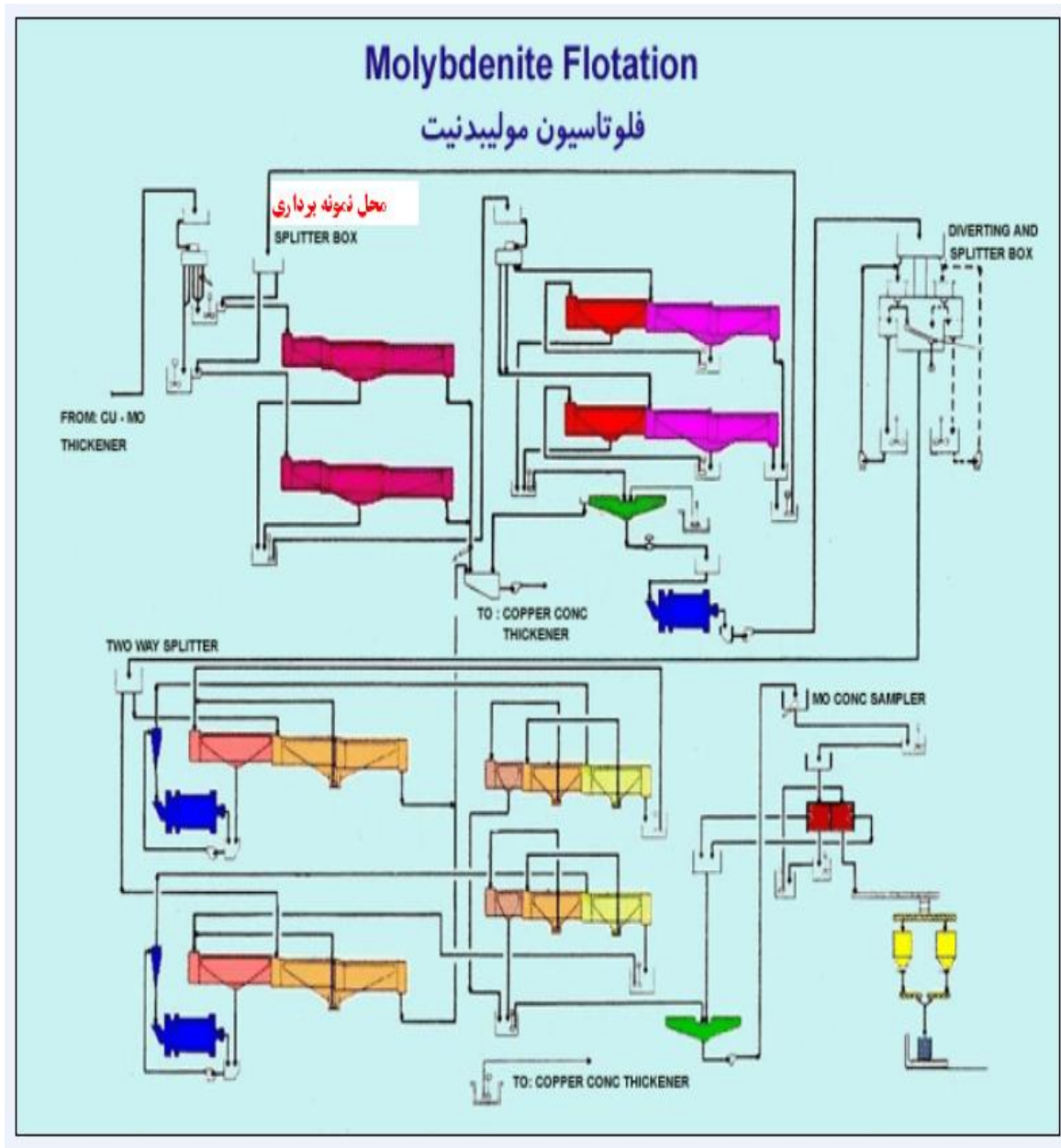
همچنین برای اطمینان از پاکسازی سطح کانی‌های مس موجود در نمونه از کلکتور (که در مدار فرآوری مس برای شناور سازی کانی‌های مس به مدار اضافه می‌شود) به دو روش حرارتی و شیمیایی عمل شده است. در روش حرارتی نمونه‌ها را در حرارت بین ۶۰ تا ۷۰ درجه سانتیگراد به مدت ۲، ۳، ۶، ۸ و ۲۴ ساعت حرارت داده و با انجام آزمایش پرعيارسازی بر روی آنها از پاکسازی سطح آنها اطمینان حاصل شده است. نتایج بیانگر این است که سطح نمونه‌ها پس از ۲ الی ۴ ساعت کاملاً پاکسازی می‌شود. لازم به تذکر است که روش حرارتی در مقیاس صنعتی نیز اثبات شده است. به همین دلیل برای پاکسازی خواراک ورودی به مدار فرآوری مولیبدن یک واحد حرارتی طراحی شده بود که متأسفانه در حاب حاضر این مدار فعال نمی‌باشد.

در روش شیمیایی نمونه مورد نظر با استفاده از آب مقطر دوبار تقطیر یا با محلول رقیق استون شستشو می‌شود. نتایج این روش با روش حرارتی مطابقت دارد با این تفاوت که این روش وقت گیر و هزینه بر می‌باشد. بنابر این اگر بحث زمان مطرح نباشد روش حرارتی ارجع می‌باشد.

۴-۵- روش انجام کار و فعالیت‌های انجام شده

همانگونه که پیش از این نیز عنوان شد، فلوتاسیون الکتروشیمیایی فناوری جدیدی است که از دو شاخه فلوتاسیون و الکتروشیمی بهره می‌برد. در این فناوری بهجای آنکه با استفاده از سطح سازها، کانی‌های موجود در محیط فلوتاسیون را آبران یا آبدوست و در نتیجه شناور یا غوطه‌ور سازند، پارامترهای الکتروشیمیایی محیط را

کنترل نموده با استفاده از یون‌های موجود در محیط و یا با افزودن مقدار کمی مواد شیمیایی (برای ایجاد یون‌های فعال در محیط) فرآیند فلوتاسیون انجام می‌گردد.



شکل ۴-۴- فلوشیت کارخانه پر عیار کنی مولبیدن

برای مثال عنصر گوگرد در حضور با غیاب اکسیژن و در شرایط اکسیدی یا احیایی می‌تواند به صورت گوگرد عنصری، SO_2^- ، SO_3^{2-} یا SH_2SO_4^- ظاهر شود. هر کدام از این ترکیبات خواص سطحی متفاوتی دارند. در فلوتاسیون الکتروشیمیایی کانی‌های سولفیدی، می‌توان با کنترل شرایط الکتروشیمیایی محیط فلوتاسیون و با رسوب دادن یکی از ترکیبات فوق روی سطح کانی مورد نظر، خواص سطحی آنرا

به دلخواه تغییر داد و آنرا آبران یا آبدوست نمود و به این ترتیب به صورت انتخابی آنرا شناور یا بازداشت کرد.

جدول ۴-۲- گزارش مینرالوژی از مقاطع صیقلی

نوع کانی	ترکیب	وضعیت	% وزنی	نوع کانی	ترکیب	وضعیت	% وزنی	نوع کانی
کالکوسیت CC	FeS_2	پیریت	6.297	آزاد CC.	Cu_2S	آزاد CC.	1.837	CC/CV
			0.787	CC/CP			0.350	CC/PY
			0.000	CC/G			0.271	درگیر CC
			9.270	کل CC.			0.624	اسفالریت
			5.285	آزاد CV			0.520	هماتیت
	CuS	کولبیت CV	2.202	CV/CC	CuS	CV	0.386	مگنتیت
			0.367	CV/CP			91.295	جمع کل کانی های فلزی
			0.220	CV/PY			7.547	جمع کل کانی های غیر فلزی
			0.000	CV/G			1.158	جمع کل کانی های اکسیدی
			0.000	درگیر CV				عيار سنگی نمونه
Cu%	CuO%	Fe%	Mo%	8.074	کل CV			
27.77	0.66	27.23	0.587	37.190	آزاد CP,	کلکوپیریت CP	CuFeS ₂	کلکوپیریت CP
وضعیت کانی شناسی نمونه				1.574	CP/CC			
2.38	Drصد CuO/Cu			0.656	CP/CV			
96.23	درجه آزادی کالکوسیت			0.590	CP/PY			
97.27	درجه آزادی کولبیت			0.262	CP/G			
97.25	درجه آزادی کالکوپیریت			0.262	درگیر CP/			
87.97	درجه آزادی پیریت			40.535	کل CP.			
69.45	درصد کالکوپیریت			0.000	کل	Cu		مس طبیعی
0.23	نسبت CC/CP			0.487	کل	Cu ₅ FeS ₄		بورنیت

کالکوسیت CC (کولبیت CV) (کالکوپیریت PY) (پیریت FREE) (کالکوسیت آزاد CC) کالکوسیت درگیر با کولبیت (CC/G) کالکوسیت

درگیر با گالن (CC/POLY) کالکوسیت درگیر با چند کانی (TOTAL) کالکوسیت کل

جذب یون در سطح کانی ها به دلیل بار سطحی ایجاد شده در سطح آنهاست. مدل دولایه‌ای الکتریکی به خوبی ایجاد بار سطحی در سطح کانی ها را توجیه می‌نماید. همانگونه که ذکر شد، خواص آبرانی یا آبگریزی کانی ها به نوع یون های جذب شده در سطح آنها بستگی دارد. بنابراین می‌توان با شناخت دقیق این مکانیزم ها، کنترل پتانسیل پالپ با اعمال پتانسیل خارجی و درغیاب سطح سازها، کانی های مورد نظر را به صورت انتخابی بازداشت

یا شناور نمود. این فرآیند را فلوتاسیون الکتروشیمیایی بدون کلکتور^{۱۰۵} می‌نامند. برای دستیابی به چنین اهدافی در قدم اول باید مکانیزهای الکتروشیمیایی را که در راستای فلوتاسیون الکتروشیمیایی موثرند مورد بررسی قرارداده شود.

۴-۶- تجهیزات مورد نیاز

با توجه به اینکه در فرآیند فلوتاسیون الکتروشیمیایی، سلول فلوتاسیون مانند یک سلول الکتروشیمیایی عمل می‌کند، لذا نخست باید ابزار لازم برای ساخت چنین سلولی را فراهم کرد. بنابراین برای انجام آزمایش فرضیات مطرح شده، نخست یک سلول مناسب طراحی و ساخته شد (قبل از خصوص این سلول توضیحات مختصی ارائه گردید). برای کنترل پارامترهای الکتروشیمیایی در محیط فلوتاسیون تجهیزات لازم از جمله پتانسیو-گالوانوواستات به عنوان منبع اعمال پتانسیل، انواع الکترودهای استاندارد، کمکی و کار مورد نیاز بود که متناسب با آزمایش‌ها، این تجهیزات تهیه گردید. در جدول شماره ۳-۴ بخشی از این تجهیزات ارائه شده است.

جدول شماره ۳-۴- تجهیزات مورد نیاز آزمایش‌های فلوتاسیون الکتروشیمیایی

نام تجهیزات	توضیحات	نحوه ساخت	تعداد
سلول فلوتاسیون الکتروشیمیایی	توسط نگارنده طراحی و ساخته شد	ساخت داخل	۱ دستگاه
پتانسیومتر با ولتاژ -۸ تا +۸ ولت		ساخت داخل	۱ دستگاه
الکترود مرتع (نقره- کلرید نقره)		ساخت داخل	۲ عدد
الکترود کار (صفحه پلاتینی ۸×۸ میلیمتر)		ساخت داخل	۳ عدد
الکترود کمکی (صفحه پلاتین ۸×۸ میلیمتر)		ساخت داخل	۳ عدد
الکترود کار و کمکی (صفحه گرافیتی ۱۰×۵ سانتی متر)	توسط نگارنده طراحی و ساخته شد	ساخت داخل	۲ عدد
الکترود کار و کمکی (صفحه استیل ۱۰×۵ سانتی متر)	توسط نگارنده طراحی و ساخته شد	ساخت داخل	۲ عدد
الکترود کانی از تک کانی و کنسانتره کالکوپیریتی	توسط نگارنده طراحی و ساخته شد	ساخت داخل	۴ عدد
صفحه تراوای یونی (غشای سرامیکی)	توسط نگارنده طراحی و ساخته شد	ساخت داخل	۲ عدد
WTW PH323-pH	سال ساخت ۱۹۹۳	ساخت آلمان	۱ دستگاه
WTW PH323-Eh	سال ساخت ۱۹۹۳	ساخت آلمان	۱ دستگاه
METROHM644	سال ساخت ۱۹۹۳	ساخت آلمان	۱ دستگاه
دماسنجد- جیوه ای		ساخت داخل	۱ دستگاه
ولتمتر- PSIP189	سال ساخت ۱۳۸۹	ساخت آلمان	۱ دستگاه

۴-۷- جمع آوری اطلاعات از واحد فرآوری مولیبدن در مجتمع مس سرچشمه

برای انجام این پروژه بر اساس نیاز اطلاعات ذیل جمع آوری گردیده است:

الف) اطلاعات مربوط به عیارسنجدی محصولات، بار اولیه، کنسانتره و باطله.

ب) اطلاعات کانی‌شناسی محصولات سلول‌های اولیه، رمق‌گیرها و شستشو-کننده‌ها

¹⁰⁵ Collector less Electrochemical Flotation

- ج) اطلاعات مربوط به بازیابی مس و مولیبدن در کنسانتره و باطله.
- د) پروژه‌هایی که قبلاً در واحد فرآوری مولیبدن انجام شده بود.

۴-۱- نمونه‌گیری از خط تولید جهت تهیه نمونه صنعتی و آماده سازی نمونه‌ها

با توجه به پارامترهای قابل اندازه‌گیری و کنترل (با توجه به محدودیت‌های انجام پروژه از نظر تجهیزات) پیش-بینی شد که حداکثر یکصد آزمایش انجام شود که با توجه به وزن نمونه‌ای که در هر آزمایش مورد استفاده قرار می‌گیرد (بر اساس دستورالعمل تهیه شده و حجم سلول طراحی شده)، حداقل به یکصد کیلوگرم نمونه برای انجام آزمایش‌ها نیاز بود. با توجه به موارد پیش‌بینی نشده، همچنین تهیه نمونه‌های شاهد و غیره، این مقدار حدود ۱۵۰ کیلوگرم در نظر گرفته شد. بنابراین با هماهنگی با برنامه تولید در مدت زمان پیش‌بینی شده اقدام به انجام نمونه‌برداری از خط تولید شد. به منظور اینکه نمونه اخذ شده در حد امکان معرف باشد برنامه‌ریزی شد که هر نیم ساعت به مقدار ۵/۰ کیلوگرم از تحریز تیکنر کنسانتره تجمعی مس و مولیبدن که همان فیدر باکس سلول‌های رافر مولیبدن در مدار ۲۴ ساعته می‌باشد، نمونه‌برداری شد. نمونه‌ها به صورت پالپ به آزمایشگاه منتقل و پس از فیلتر کردن و آبغیری در حرارت ۷۵ تا ۸۰ درجه خشک شده‌اند سپس هر نمونه تقسیم شده، یک بخش به صورت یک نمونه چندگرمی جهت عیارسنجی و آنالیز مینرالوژی به آزمایشگاه ارسال گردیده، و یک بخش با نمونه‌های دیگر مخلوط و یک نمونه کلی راتشکیل داده‌است. این نمونه کلی در نهایت به نمونه‌های یکسان به وزن تقریبی ۱۵۰۰ گرم تقسیم شده و آزمایش‌ها بر روی این نمونه‌ها گردید.

۹-۴- مطالعات میکروسکوپی جهت شناسایی کانی‌های موجود در نمونه

مطالعات کانی‌شناسی بر روی مقاطع نازک صیقلی به منظور شناسایی کانی‌های مختلف در نمونه خوراک، در فراکسیون‌های مختلف آن انجام شد. به این ترتیب پس از انجام نمونه‌برداری و تهیه نمونه شاخص از بار ورودی به واحد مولیبدن، نمونه مذکور تقسیم بندی و به نمونه‌های یکسان و یکنواخت تفکیک شد. یکی از نمونه‌ها دانه‌بندی و از هر فراکسیون یک نمونه به منظور تهیه تیغه نازک صیقلی استخراج گردید. هدف از انجام این مطالعات شناسایی فازهای مختلف کانی‌شناسی در نمونه‌های اصلی و در فراکسیون‌های مختلف می‌باشد. به منظور شناخت تاثیر حضور کانی‌های مختلف بر خواص الکتروشیمیایی پالپ در محیط فلوتاسیون، همچنین خواص آبرانی و آبدوستی کانی‌شاخص موجود در نمونه یعنی کالکوپیریت، تیغه‌های نازک صیقلی تهیه شده از محصولات آزمایش‌های مختلف که در شرایط معین انجام شده است، مورد مطالعه میکروسکوپی قرار گرفته تا مشخص شود در پتانسیلهای مختلف خواص سطحی کانی‌ها در حضور هم چه تغییراتی پیدا می‌کند. برای مثال اگر در نمونه اولیه کانی‌های اصلی شامل کالکوپیریت، کالکوسیت، کوولیت و مولیبدنیت باشد آزمایش‌هایی را بر اساس اعمال پتانسیلهای مختلف و کنترل شرایط الکتروشیمیایی محیط فلوتاسیون انجام می‌دهیم. با مطالعه

میکروسکوپی بر روی تیغه‌های نازک صیقلی تهیه شده از محصولات هر آزمایش نحوه تاثیر کانی‌های مختلف بر هم در پتانسیل‌های مختلف مورد مطالعه قرار گرفت. بدیهی است از نتایج مطالعاتی که پیش از این توسط محققان مختلف بر روی تک‌کانی‌ها انجام شده است و مقایسه آن نتایج با نتایج حاصل از آزمایش‌های فوق بهره خواهیم برد.

۱۰-۴- برنامه ریزی برای انجام آزمایش‌ها

به منظور دستیابی به شرایط بهینه، انجام آزمایش فلوتاسیون معمولی در شرایط آزمایشگاهی بر روی نمونه‌ها برای مقایسه با نتایج فلوتاسیون الکتروشیمیایی ضروری است. در این خصوص نخست نمونه اخذ شده بر اساس شرایط خط تولید آماده‌سازی و پس از آن بر روی آن آزمایش فلوتاسیون معمولی انجام شده است. آزمایش T003 بر این اساس انجام شده است. داده‌های مربوط به این آزمایش در جدول ۴-۴ آرائه شده است. نتایج مربوط به این آزمایش شامل عیار سنگی محصولات و محاسبات مربوط به بازیابی در جداول ۵-۴ آرائه شده است.

نتایج این مرحله همراه با اطلاعات اخذشده از خط تولید برای مقایسه با نتایج فلوتاسیون الکتر وشیمیایی ذخیره گردید. به منظور ارزیابی فرضیه‌های در نظر گرفته شده در فلوتاسیون الکتروشیمیایی با اعمال پتانسیل خارجی به منظور بازداشت کانی‌های سولفیدی انجام آزمایش‌های مربوطه برنامه ریزی شده است. به برخی از این فرضیات به شرح زیر اشاره می‌شود:

- الف- با کنترل پتانسیل پالپ می‌توان فرآیندهای اکسیداسیون/ احیاء را به سمت مورد نظر هدایت نمود.
- ب- با کنترل پتانسیل پالپ می‌توان بار سطحی کانی‌ها را تغییر داده و خواص سطحی آنها را کنترل نمود.
- ج- با اعمال پتانسیل خارجی به سیستم فلوتاسیون الکتروشیمیایی (به عنوان اعمال انرژی به یک سیستم ترمودینامیکی) می‌توان واکنش‌ها را به دلخواه به سمت مورد نظر هدایت نمود.
- د- با اعمال پتانسیل خارجی همراه با کنترل پتانسیل پالپ، می‌توان کانی‌ها را به صورت انتخابی آبران یا آبدوست نمود.
- ه- با اعمال پتانسیل خارجی همراه با کنترل پتانسیل پالپ می‌توان بدون مواد شیمیایی فرآیند فلوتاسیون را انجام داد.

جدول ۴-۴- داده‌های مربوط به آزمایش T003

مشخصات کلی آزمایش							
شماره آزمایش	تاریخ آزمایش	ساعت	مدت آزمایش	مجری	دستگاه پتانسیواستاتیک	مدل دستگاه ولتمتر	مدل دستگاه pH متر
T003	31/5/89	10	۲,۵ ساعت	غیری	SAMA500	PSPI189	WTWP323
مشخصات کلی الکتروشیمیایی آزمایش							

الكتروودکار	Ag/AgCl	پلاتین تیغه ای	پتانسیل اعمالی	Eh بالب	pH بالب	درجه حرارت							
آزمایشگاه	12.2	mv-۵۷۳-۴۹۳	-	-	-	آزمایشگاه							
مشخصات فیزیکی محیط فلوتاسیون													
درصد جامد پالپ	gr/cm ³ جامد	جرم مخصوص پالپ	دور rpm	آب مصرفی	هوای دهی سازی	زمان آماده سازی							
8.3	۴۰.۵	1.1	1400	کارخانه نیتروژن	کپسول دقیقه ۵	-							
میزان مصرف مواد شیمیایی													
گلکتور مولیبدن	گازوئیل گرم	سود نمک	آهک گرم	NaHS	Na ₂ S گرم	سیانید سدیم گرم							
0.24	5.9 52.7	3	۱۱	۰.۷۲۳	-	A70 A65 MIBC							
مشخصات بار ورودی													
عیار %			کانی شناسی نمونه %										
Cu	CuO	Mo	Fe	SiO ₂	S	Hem	Mag	Esp	Py	Mol	Cp	Cc	Cp
27.77	0.66	0,587	23.33	5.01	-	0.0	0.0	0.0	23.4	0,95	4,7	5.9	52.7
هماتیت Hem = مگنتیت Mag = اسفالوریت Esp = پیریت Cv = کالکوسیت Ce = کالکوپیریت Cp = پولیبدنیت Mol = پولیپیریت													

این آزمایش به عنوان آزمایش پایه بر اساس شرایط کارخانه مولیبدن انجام شد. مواد شیمیایی مصرفی در این آزمایش به شرح زیر بوده است:

- سولفیدسدیم پرک به میزان ۱۶ کیلوگرم بر تن (۱۲ گرم)
- سیانید سدیم به میزان ۱ کیلوگرم بر تن (۰/۷۲۳ گرم)
- گازوئیل به میزان ۳۳۰ گرم بر تن (۰/۲۴ گرم = ۳ قطره)
- آهک به میزان ۱۵ گرم بر تن (۳ گرم)
- دور رتور ۱۴۰۰ دور بر دقیقه
- زمان آماده سازی ۱۵ دقیقه
- هوای مصرفی نیتروژن
- وزن نمونه ۷۲۳ گرم
- حجم آب ۶۵۰۰ + ۱۵۰۰ سانتیمتر مکعب

تغییرات pH و Eh در زمان های مختلف به شرح جدول زیر بوده است:

	pH	Eh میلی ولت	زمان
قبل از اضافه کردن آهک	+۲۱۲	+۶/۹۴	
قبل از اضافه کردن مواد شیمیایی	+۱۹	+۱۱/۳۹	۱۵ دقیقه بعد از اضافه کردن آهک
۳ دقیقه بعد از اضافه کردن مواد شیمیایی	-۴۹۷	-۱۲/۱	
در پایان آزمایش	-۵۷۳	-۱۲/۲	

جدول ۴-۵-محاسبات متالوژیکی آزمایش T003

آزمایش: T003، سولفیدسدیم: gr 12، pH= 12.2، Eh= -573						
محصول	وزن گرم	Cu%	Mo%	CuO%	R.Cu%	R.Mo%
خوارک	725.0	27.32	0.576	0.60	100	100
کنسانتره	13.1	18.38	16.737	0.63	3.4	52.5
باطله	711.9	26.88	0.277	0.61	96.6	47.5

پارامترها و

با توجه به

عواملی که در فرآیند فلوتاسیون و واکنش‌های الکتروشیمیایی تاثیر گذار می‌باشند آزمایش‌ها بر اساس موارد زیر انجام شد:

۱- شناسایی پارامترهای موثر در فلوتاسیون الکتروشیمیایی با استفاده از اعمال پتانسیل خارجی به محیط فلوتاسیون

با استفاده از مطالعه تحقیقات گذشته و مطالعه مبانی الکتروشیمی کاربردی انجام شد. اهم این پارامترها عبارتند از:

- الف- نوع الکترود ها(پلاتینی، گرافیتی، استیل)
- ب- شکل الکترودها (صفحه‌ای بزرگ در حد ۱۰ سانتیمتر، صفحه‌ای کوچک در حد ۸ میلیمتر، میله‌ای)
- ج- شدت جریان عبوری در دو دامنه کمتر از ۱/۰ آمپر و کمتر از ۱۰/۰ آمپر
- د- پتانسیل اعمالی (از -۸ تا +۸ ولت)
- ه- غلظت پالپ (۵، ۸/۵، ۹، ۱۰، ۱۵ درصد جامد)
- و- کیفیت آب فلوتاسیون
- ز- pH محیط (از ۱۱/۵ تا ۱۲/۷)

ح- کیفیت هوای فلوتاسیون (نقش اکسیژن در فرآیندهای اکسیداسیون احیاء و مقایسه اکسیژن و نیتروژن به عنوان هوای فلوتاسیون)

ط- همراهی کانی‌های مختلف در محیط فلوتاسیون (بررسی اثر گالوانیک و تاثیر متقابل کانی‌ها بر هم)

۲- پارامترهای قابل اندازه‌گیری جهت کنترل مسیر و نتایج فرآیند فلوتاسیون الکتروشیمیایی برای کنترل نتایج فلوتاسیون الکتروشیمیایی و رسیدن به شرایط بهینه و با توجه به محدودیت‌هایی که از نظر تجهیزات و امکانات وجود داشت، پارامترهای زیر اندازه‌گیری گردید:

- الف- پتانسیل پالپ
- ب- شناسایی فرآیندهای اکسیداسیون احیاء در پتانسیل‌های مختلف در محیط فلوتاسیون با استفاده از منحنی-های آمپرometric

ج- شناسایی گونه‌های سطحی با استفاده از روش ولتاوری چرخهای همانگونه که قبلاً اشاره شد، روش الکتروشیمیایی مورد استفاده برای اعمال پتانسیل روش آمپرمتری می‌باشد. در این روش با اعمال یک پتانسیل ثابت بر روی الکترود کار، تغییرات جریان نسبت به زمان اندازه‌گیری می‌گردد. این تغییرات عملاً نشان‌دهنده واکنش‌های اکسیداسیون احیائی است که در محیط اتفاق می‌افتد. افت جریان از مقادیر مثبت نشان دهنده واکنش‌های اکسیدی و افزایش آن نشان دهنده واکنش‌های احیائی می‌باشد. منحنی-های آمپرمتری در پیوست آورده شده است.

۳- انتخاب سیستم‌های چیدمان الکترودها برای انجام آزمایش‌ها

بر اساس مطالعات انجام شده از دو سیستم چیدمان الکترود یعنی سیستم دو الکترودی و سیستم سه الکترودی می‌توان استفاده کرد. سیستم دو الکترودی شامل یک الکترود مرجع و یک الکترود کار می‌باشد. الکترود مرجع می‌تواند برای مثال یک الکترود Ag/AgCl باشد. سیستم سه الکترودی شامل یک الکترود مرجع، یک الکترود نشانگر و یک الکترود کار می‌باشد. الکترود مرجع می‌تواند یک الکترود Ag/AgCl ، الکترود نشانگر می‌تواند یک الکترود فناناپذیر از الکترود صفحه‌ای یا توری از جنس پلاتین یا الکترود کانی و الکترود کار نیز می‌تواند یک الکترود فناناپذیر از جنس پلاتین باشد. الکترود نشانگر یا کمکی که برای بستن مدار و برقراری جریان مورد استفاده قرار می‌گیرد، می‌تواند شامل یک الکترود پلاتینی (تیغه پلاتینی) باشد. برای افزایش ضریب نفوذپذیری جریان از صفحات سرامیکی به ابعاد $10 \times 10 \times 15$ یا $15 \times 15 \times 10$ سانتیمتر به عنوان غشای تراوای یونی استفاده شده است. الکترود کار روی دیواره سلول در بخش فلوتاسیون والکترود نشانگر روی دیواره سلول در بخش الکتروولیت نصب می‌گردد. بنا به توصیه آقای گرمی‌هایس¹⁰⁶ (کارشناس ارشد موسسه تحقیقاتی CSIRO استرالیا و طرف قرارداد شرکت مس که در زمان انجام آزمایش‌ها در محل آزمایشگاه حضور داشتند و نگارنده از راهنمایی‌های ایشان بهره‌مند بودم) در یک سری از آزمایش‌ها جای الکترود کار و کمکی عوض شد.

۴- دستورالعمل‌های انجام آزمایش‌ها

به منظور ثبت نتایج و تکرارپذیری آزمایش‌ها دستورالعملی تهیه شده است که در زیر شرح آن آمده است. همچنین جدول ثبت نتایج نیز در جدول ۴-۶ نشان داده شده است.

- الف- براساس حجم سلول و درصد جامد مورد نظر وزن نمونه مورد نیاز را محاسبه شده است. نمونه‌هایی که نیاز به آسیاکنی دارند باید بر اساس زمان محاسبه شده برای رسیدن به درجه آزادی لازم مورد خردایش قرار گیرند.
- ب- بخش الکتروولیتی را به اندازه‌ای که سطوح الکترود (درمورد الکترودهای صفحه‌ای) را به اندازه لازم پوشش دهد، از محلول نرمال کلرورپتاسیم پر می‌شود.

¹⁰⁶ Graeme Heyes

ج- بخش فلوتاسیون را تا اندازه یک اینچ زیر لبه کف ریز از آب فرآیند پر کرده، دور رتور را روی عدد مورد نظر تنظیم و سلول روشن می‌شود.

د- پارامترهای الکتروشیمیایی آب از جمله Eh , pH و Ec , همچنین درجه حرارت اندازه‌گیری کرده در جدول مربوطه یاداشت می‌شود.

ه- الکترودها بر اساس چیدمان طراحی شده، در محلهای مربوطه جاگذاری می‌شود.

و- دستگاه پتانسیواستات که از طریق کامپیوتر فرمان می‌گیرد روشن نموده روی پتانسیل مورد نظر تنظیم می‌شود.

ز- برای کنترل صحت عملکرد دستگاه Eh متر با استفاده از ولتمتر دیجیتال پتانسیل بین الکترود کار و مرجع اندازه گیری می‌شود این اعداد با پتانسیلی که با دستگاه Eh مترنسان می‌دهد باید برابر باشد.

ح- در صورت نیاز به اکسیژن زدایی آب قبل از انجام آزمایش شیر ورود نیتروژن را باز کرده و به مدت مورد نیاز آب نیتروژن دهی می‌شود.

جدول ۴- جدول ثبت داده‌های آزمایش‌ها

مشخصات کلی آزمایش													
مدل دستگاه pH متر	مدل دستگاه ولتمتر	دستگاه پتانسیواستاتیک	مجری	مدت آزمایش	ساعت	تاریخ آزمایش	شماره آزمایش						
WTWP323	PSPI189	SAMA500	غریبی	۲,۵ ساعت	9/0	8/9/89	T029						
مشخصات کلی الکتروشیمیایی آزمایش													
درجه حرارت	pH بالپ	Eh بالپ	پتانسیل بین کار و مرجع	پتانسیل اعمالی	الکترود کمکی	الکترودمرجع	الکترود کار						
آزمایشگاه	11.95	mv -18	10.7 - ولت	-8 - ولت	پلاتین تیغه ای	Ag/AgCl	پلاتین تیغه ای						
مشخصات فیزیکی محیط فلوتاسیون													
زمان کف گیری	زمان اعمال	زمان آماده سازی	هوای دهی	گاز مصرفی	آب مصرفی	دور rpm	جرم مخصوص gr/cm ³	جرم مخصوص gr/cm ³	درصد جامد بالپ				
۰۶۰ دقیقه	۵ دقیقه	کپسول	نیتروژن	کارخانه	1000	1.07	۴۰.۵	۹.۱					
میزان مصرف مواد شیمیایی													
کفساز			بازداشت کننده			تنظیم کننده			کلکتور مولیبدن				
A70	A65	MIBC	سیانور سدیم	سیانید سدیم	سولفید سدیم	NaHS	نمک	سود	آهک سدیم تری فسفات				
مشخصات بار ورودی													
عیار %					کانی شناسی نمونه %								
Cu	CuO	Mo	Fe	SiO ₂	S	Hem	Mag	Esp	Py	Mol	Cp	Cc	Cp
27.77	0.66	0,587	23.33	5.01	-	0.0	0.0	0.0	23.4	0,95	4,7	5.9	52.7
هماتیت Hem = مگنتیت Mag = اسفالریت Esp = پیریت Mol = کولیت Cv = کالکوپیریت Cc = کالکوسیت													

ط- سپس نمونه را به سلول اضافه نموده، مجدداً پس از یکنواخت شدن محیط پالپ پارامترهای الکتروشیمیایی اندازه‌گیری می‌شود. سپس مواد شیمیایی مورد نیاز را به سلول اضافه کرده پس از زمان آماده سازی مجدداً این پارامترها اندازه‌گیری می‌شود.

ی- با استفاده از نرمافزار مربوطه پس از انتخاب روش الکتروشیمیایی موردنظر (دراینجا آمپرمتری) و تنظیم پارامترهای مربوطه از جمله پتانسیل اعمالی، دامنه شدت جریان موردنیاز و زمان اعمال پتانسیل، روش الکتروشیمیایی اجرا می‌شود.

ک- سپس ضمن اندازه‌گیری پارامترهای الکتروشیمیایی، با استفاده از ولتمتر دیجیتال، پتانسیل بین الکترودهای کار، کمکی و مرجع اندازه‌گیری می‌شود.

ل- پس از رسیدن پتانسیل پالپ به محدوده مورد نظر (که در حقیقت بیانگر آماده‌سازی کامل پالپ می‌باشد) بر اساس دستورالعمل طراحی شده اقدام به کفگیری از سلول می‌شود.

م- در پایان کفگیری مجدد پارامترهای الکتروشیمیایی کنترل و یاداشت می‌شود.

ن- محصولات آزمایش پس از آبگیری و خشک کردن، توزین شده و برای عیارسنجی به آزمایشگاه ارسال می-گردد.^{۱۰۵}

۱۲- روش کنترل نتایج

با توجه به ضرورت کنترل پارامترهای موثر در فرآیند فلوتاسیون الکتروشیمیایی و تشریح مکانیزم های آبران یا آبدوست شدن ذرات کانی، استفاده از روش‌های پیشرفته آنالیز کمی و کیفی عناصر، یون‌ها و مواد حاضر در محیط فلوتاسیون بسیار اهمیت دارد. روش‌های بسیار ساده کنترل PH تا کنترل کمی مواد حاضر در محیط فلوتاسیون از جمله روش‌های IC^{۱۰۷}، XPS^{۱۰۸}، TOF-SIMS^{۱۰۹}، همچنین روش‌های الکتروشیمیایی مانند روش ولتمتری چرخه‌ای توسط محققان مورد استفاده گرفته است. در این تحقیق برای کنترل نتایج حاصل در تحقیقات در دست انجام از روش قابل دسترس آنالیز مینرالوژی و روش ولتمتری چرخه‌ای استفاده گردید. به این ترتیب پس از انجام هر آزمایش محصولات آن پس از خشک کردن و آماده سازی جهت عیارسنجی و مطالعات میکروسکوپی به آزمایشگاه مرکزی ارسال گردید. در آزمایشگاه پس از عیار سنجی، از نمونه‌ها مقطع صیقلی تهیه می‌گردد. این مقاطع توسط متخصصین مینرالوژی مورد مطالعه قرار گرفته و بر اساس دستورالعمل استانداردی که در آزمایشگاه موجود است، مشخصات مینرالوژیکی نمونه، از جمله درجه آزادی، درصد هریک از کانی‌های تشکیل دهنده نمونه و درصد اکسیدشده‌گی تعیین می‌گردد. با مقایسه درصد کانی کالکوپیریت در نمونه خوراک و محصولات آزمایش میزان موفقیت آن آزمایش در بازداشت کالکوپیریت در روش فلوتاسیون

¹⁰⁷Ione Cromatography

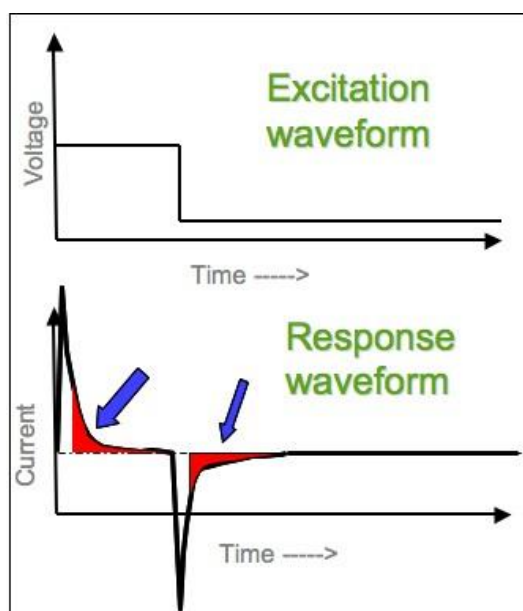
¹⁰⁸XPS

¹⁰⁹ Time Of Secount Fly Electron

الکتروشیمیایی با اعمال پتانسیل خارجی مشخص می‌گردد. این روش در کنار روش رسم منحنی‌های بازیابی-پتانسیل می‌تواند محقق را در پاسخگویی به این سوال که روش فلوتاسیون الکتروشیمیایی با اعمال پتانسیل خارجی برای نمونه‌های صنعتی و چندفلزی تا چه حد موفقیت آمیز است، کمک کند. در روش ولتاوری چرخه‌ای نیز با ساخت الکترودهایی از جنس کانی‌های بازداشت شونده و انجام آزمایش‌های ولتاوری چرخه‌ای بروی آنها در شرایط آزمایش مواد رسوب کرده بر سطح آنها در شرایط مورد نظر مورد بررسی قرار گرفته است که در بخش نتایج به آنها اشاره خواهد شد. در اینجا لازم است اشاره مختصراً به روش‌های کرنوآمپرمتری و ولتاوری چرخه‌ای بشود

۴-۱۲-۴- روشن کرونوآمپرمتری

کرونوآمپرمتری عبارت از تکنیکی است که الکترولیز را، تحت پتانسیل کنترل شده ثابتی عملی می‌سازد ضمن اینکه الکترولیز توسط یک الکترود ساکن و در یک محلول آرام (کاملاً بی‌حرکت) صورت می‌گیرد. برای آنکه محلول تحت هیچ‌گونه ارتعاشی قرار نگیرد بهتر است تا توسط پایه‌ای که مانع از ایجاد ارتعاشات می‌شود، نگهداری گردد. الکترود معروف بکار رفته می‌تواند از هر نوعی باشد به شرط اینکه در مدت اجرای کرنوآمپرمتری کاملاً ساکن باقی بماند. بر روی الکترود به طور سریع پتانسیل دلخواه اعمال می‌گردد و همزمان اندازه‌گیری مقدار جریان نسبت به زمان را عملی می‌سازند. انتقال مواد (در اینجا نشستن گونه‌های آبران یا آبدوست برروی کانی‌های شناورشونده یا بازداشت‌شونده) تنها از طریق پخش صورت می‌گیرد. نمودار عمومی منحنی‌های کرنوآمپرمتری بر وفق شکل ۴-۵ می‌باشد. هرگاه پتانسیل اعمالی E_{app} قادر به اجرای الکترولیز باشد، مقدار جریان نیز ناگهانی تغییر می‌کند و از جریان صفر به I_0 می‌رسد که بعداً به مرور زمان و با مصرف جسم الکترواکتیو در سطح الکترود، جریان الکترولیز نقصان می‌یابد. (مفیدی جمشید، ۱۳۷۷)



شکل ۴-۵- نمودار عمومی منحنی‌های کرنوآمپرمتري

۴-۱۲- روش ولتامتری چرخه‌اي

ولتامتری چرخه‌اي، ولتامتری با روبش خطی توسعه یافته است که در اين روش، ابتدا پتانسیل الکترود کار در يك جهت روبيده می شود و سپس در جهت عکس جاروب می گردد. در اين روش که عمدتاً برای مطالعه مکانیسم واکنش‌ها و تبیین حدود برگشت پذیری فرآيندهای الکترودی بکار می رود، سرعت روبش پتانسیل را در دو مرحله رفت و برگشت معمولاً يکسان انتخاب می کنند. در اين صورت نمودار پتانسیل- زمان، شکل مثلث متساوي الساقین يا دندانه اره اى متقارن را به خود می گيرد. در ولتامتری چرخه‌اي نيز همانند ولتامتری با روبش خطی پتانسیل، جريان پیکها با غلظت گونه‌های الکتروفعال متناسب است و هماهنگ با جذر سرعت روبش تغيير می‌کند. از روی ميزان جدایي پیکها، که برای فرآيندهای برگشت‌پذير يا نرنستی برابر با $59/n$ میلی ولت است، به حدود برگشت‌پذير واکنش الکترودی پی می‌برند. بعلاوه در مورد واکنش‌های الکترودی ساده و برگشت‌پذير (بدون مداخله واکنش‌های شيميايی مقدم يا مؤخر بر مرحله انتقال بار) نسبت جريان پیک‌ها، معمولاً برابر با يك می‌باشد.

۴-۱۳- استفاده از بسته نرم افزاري موازن

با استفاده از بسته نرم افزاري موازن نتایج حاصل از آزمایش‌ها مورد ارزیابی قرار گرفت. به اين ترتیب که داده‌های دریافتی از آزمایشگاه با استفاده از اين بسته نرم افزاري تحلیل و میزان بازیابی مس و مولیبدن در محصولات هر آزمایش محاسبه شد. اين نتایج با نتایج حاصل از آنالیزهای مینرالوژی مطابقت داده شده، از روی آن کانی‌های بازداشت شده و آنهایی که بازداشت نشده و وارد محصول پر عیار مولیبدن شده است، شناسایی می‌شدند. همانگونه که در نمودارها و جداول مربوطه مشاهده می‌شود دراکثر آزمایش‌ها کانی کالکوپيريت بازداشت شده است و مس موجود در محصول آراسته مولیبدن عمدتاً کانی‌های غیر کالکوپيريتی است.

۴-۱۴- شرح مختصرص درباره نرم افزار موازن

نرم افزار موازن برای طراحی کارخانه‌های فرآوری، کنترل و بهینه سازی عملیات بکار گرفته می‌شود. این نرم افزار دارای قابلیت‌هایی مانند محاسبه دقیق شاخص‌های عملیاتی، طراحی شمای عملیات جدید و تصحیح داده‌های آزمایشگاه، قبل از بکارگیری آنها در مدل سازی است. در محیط ترسیمی موازن، با انتخاب واحدهای از پیش ساخته، نظیر سلول فلوتاسیون، آسیا و سرند شمای عملیات به راحتی رسم می‌شود و می‌توان به کمک سیستم خطایاب از وجود خطایابی احتمالی در نمودار جريان رسم شده آگاه شد. با سیستم ساده ورود اطلاعات در موازن، می‌توان نحوه ورود داده‌ها را مشخص کرد و داده‌های در اختیار (عيار، تجزیه سرندی، دبی جامد، دبی پالپ، درصد جامد، عیار طبقات و غیره) را به آسانی وارد کرد. با توجه به شمای ترسیمی و داده‌های وارد شده، معادلات بقای جرم به طور اتوماتیک ساخته شده و دبی جريان و درصد جامد‌های اندازه گیری نشده در صورت

نیاز محاسبه می شود. خطای اندازه گیری در داده های وارد شده تصحیح می شود و با انجام آنالیز حساسیت، میزان اعتبار هر یک از مقادیر تصحیح شده مشخص می گردد. در تعديل داده ها با در نظر گرفتن اصل موازنی جرم، داده هایی بیشتر تعديل می شوند که توسط کاربر خطای بالاتری برای آنها وارد شده است.(بنیسی صمد، یاراحمدی محمدرضا، ۱۳۸۸)

۱۵-۴- فعالیت های قبل از انجام آزمایش ها

قبل از انجام آزمایش ها فعالیت های ذیل انجام شده است

الف- تست دستگاه پتانسیو استات

ب- کالیبراسیون تمام الکترودها

ج- کالیبراسیون دستگاه های E_c متر، pH متر و Eh متر

د- تعیین اکتیویته آهک مورد مصرف در آزمایش ها

ه- آنالیز آب مورد مصرف در آزمایش ها

فصل پنجم

تشریح آزمایش‌ها

۱- تشریح آزمایش‌ها

پیش از شروع آزمایش‌ها براساس مطالعات کتابخانه‌ای همچنین پارامترهای قابل کنترل (متغیرها) و پارامترهای هدف طرح اولیه آزمایش‌ها ریخته شد و بر مبنای آن فرم ثبت داده‌ها طراحی گردید. بر روی این فرم در طی مراحل آزمایش تغییراتی انجام شد فرم ثبت داده‌های آزمایش برای تمام آزمایش‌ها تکمیل شده است که پیوست گزارش نهایی می‌باشد. به موازات آن فرم ارسال نمونه به آزمایشگاه حاوی اطلاعات مربوط به محصولات هر آزمایش با شماره مخصوص که به راحتی در مراحل مختلف قابل پیگیری باشد طراحی گردید و براساس آن نمونه‌ها جهت مطالعات عیاری و مینرالوژی به آزمایشگاه ارسال شده است. این فرم‌ها نیز پیوست گزارش می‌باشد.

آزمایش‌های انجام شده بر مبنای تغییر در پارامترهای عملیاتی از جمله مقدار پتانسیل اعمالی برروی الکترود کار، تغییر نوع الکترودهای کار و کمکی، جابجایی الکترود از سلول الکتروولیت به سلول فرآیند، تغییر درصد جامد پالپ (به منظور افزایش ضریب نفوذ جریان و بالا بردن احتمال برخورد ذرات کانی با سطح الکترود کار)، تغییر در دور رتور (به منظور کاهش اغتشاش در محیط سلول)، استفاده از نیتروژن به جای هوا، تغییر در مقدار گازوئیل (به عنوان کلکتور مولیبدن) و استفاده از سولفیدسیدیم برای پاکسازی سطح کانی‌های مس که در مرحله قبل هیدروفوب شده‌اند انجام شده است. پاره‌ای از عوامل دخیل در آزمایش‌ها به شرح ذیل می‌باشد:

الف- نوع الکترود‌ها(پلاتینی، گرافیتی، استیل)

الکترودهای گرافیتی با استفاده از میله‌های گرافیتی به قطر ۶ میلیمتر ساخته شده است. به این ترتیب که با چیدن میله‌های گرافیتی در کنار هم و چسباندن آنها بهم یک صفحه مسطح به ابعاد تقریبی 10×7 سانتیمتر درست شده است سپس با ایجاد یک شکاف باریک در یک انتهای این صفحه و عبور یک سیم مسی در داخل این شکاف و اتصال قسمت میانی این سیم به یک گیره امکان اتصال آن به کابل فرستنده پتانسیل فراهم شده است.

ب- شکل الکترودها (صفحه‌ای بزرگ در حد ۷در۰۱ سانتیمتر، صفحه‌ای کوچک در حد ۸در۰۸ میلیمتر و، میله‌ای)

ج- شدت جریان عبوری در دو محدوده کمتر از ۱۰/۰ آمپر و کمتر از ۱۰/۱ آمپر تا ۱۰/۰ آمپر

د- پتانسیل اعمالی (از ۸-تا ۸+ ولت)

ه- غلظت پالپ (۵، ۵/۵، ۸، ۹، ۱۰، ۱۵ درصد جامد)

و- کیفیت آب فلوتاسیون

ز- pH میحاط (از ۱/۵ تا ۱۲/۷)

ح- کیفیت هوای فلوتاسیون (نقش اکسیژن در فرآیندهای اکسیداسیون واحیاء و مقایسه اکسیژن و نیتروژن به عنوان هوای فلوتاسیون)

ط- همراهی کانی‌های مختلف در محیط فلوتاسیون

برای کنترل نتایج فلوتاسیون الکتروشیمیایی و رسیدن به شرایط بهینه و با توجه به محدودیت‌هایی که از نظر تجهیزات و امکانات وجود داشته‌است، پارامترهای زیر اندازه‌گیری شده‌است :

الف- پتانسیل پالپ

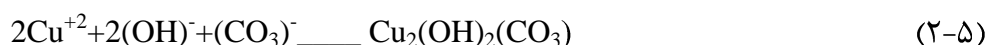
ب- شناسایی فرآیندهای اکسیداسیون احیاء در پتانسیل‌های مختلف در محیط فلوتاسیون با استفاده از منحنی های آمپرمتری و ولتاومتری چرخه‌ای

ج- عیارستجی و تعیین درصد کانی‌ها با استفاده از مطالعات میترالوژی همانگونه که قبلاً اشاره شد، روش الکتروشیمیایی مورد استفاده برای اعمال پتانسیل روشن آمپرمتری می‌باشد. در این روش با اعمال یک پتانسیل ثابت برروی الکترود کار، تغییرات جریان نسبت به زمان اندازه‌گیری می‌گردد. این تغییرات عملاً نشان‌دهنده واکنش‌های اکسیداسیون احیائی است که در محیط اتفاق می‌افتد. افت جریان از مقادیر مثبت نشان دهنده واکنش‌های اکسیدی و افزایش آن نشان دهنده واکنش‌های احیائی می‌باشد. منحنی‌های آمپرمتری در پیوست آورده شده است.

۲-۵- تنظیم و کالیبره کردن سیستم

با توجه به اینکه فرضیه اصلی در این تحقیق انجام فلوتاسیون الکتروشیمیایی با کنترل پتانسیل پالپ با اعمال پتانسیل خارجی برروی یک کانسنگ پلی متال سولفیدی می‌باشد، بنابراین لازم بود سیستم و تجهیزات آزمایشگاه برای این هدف تنظیم و کالیبره می‌شد. موارد مطرح شده در ادامه به این مهم اشاره دارد.

۱- در پتانسیل‌های مثبت برای رسیدن به pH مناسب در حد ۱۲/۵ مصرف آهک زیاد می‌شود. دلیل این امر انجام فعل انفعالاتی است که محصولات آنها به صورت هیدروکسید یا هیدروکسیدکربنات است. (ابراموف و همکاران ۲۰۰۳) مهمترین این واکنش‌ها به صورت زیر می‌باشد:



لذا پتانسیل پالپ در اکثر آزمایش‌ها در محدوده منفی تنظیم شد. دلیل دیگر این امر این بود که مدار فرآوری مولیبدن نیز در حال حاضر در این محدوده پتانسیل (یعنی پتانسیل منفی) کار می‌کند.

۲- در پتانسیل‌های شدیداً منفی (۳- تا -۸ ولت) عیار مولیبدن در کنسانتره افزایش می‌یابد. اما به دلیل مغلوتش بودن محیط سلول به دلیل بالا بودن درصد جامد پالپ و بالا بودن دور رتور، تمکرکزانی‌های مس در داخل کف و

سطح سلول زیاد بوده و همراه کف به کنسانتره راه می‌یابند و باعث می‌شود که عیار مس در کنسانتره زیاد شود.

۳- پتانسیل مناسب برای بازداشت کانی‌های مس علی‌الخصوص کالکوپیریت در این فرآیند ۰/۰ تا ۳/۰ می‌باشد.

البته برای افزایش مقدار جریان و بالا بردن احتمال برخورد ذرات کانی با سطح الکترود کار استفاده از الکترود-های صفحه‌ای ضروری می‌باشد. این موضوع با قوانین الکتروشیمیایی مطابقت دارد.

۴- با بررسی منحنی‌های پوریه برای سیستم آب- مس- گوگرد و با توجه به‌اینکه ذرات کانی‌های مس در شرایط اکسیدی خاصیت آبرانی خود را از دست می‌دهند و راحت‌تر بازداشت می‌شوند، Eh و pH مناسب را می‌توان از روی این منحنی‌ها تا حدودی بدست آورد. البته باید اثر متقابل کانی‌های سولفیدی برهم را در این فرآیند در نظر گرفت.(شکل ۱-۵)

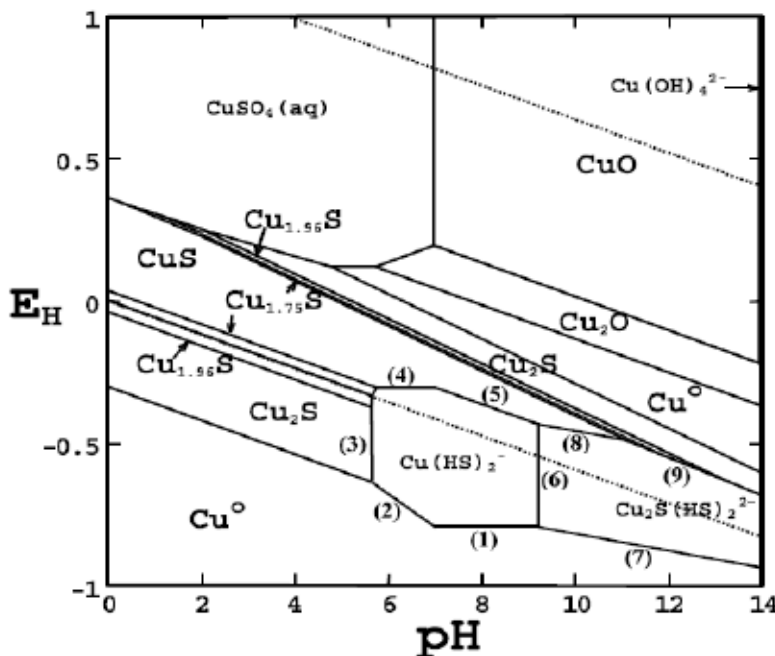
۵- با توجه به‌اینکه در پتانسیل‌های مثبت با مقدار متعارف آهک نمی‌توان به pH مورد نظر رسید، از سود (NaOH) برای تنظیم pH استفاده شد. با توجه به اکتیویته بالای سدیم شاید یون Na^+ بتواند در فرآیند تاثیر گذار باشد. اما استفاده از سود به دلیل آزادسازی یون OH^- ، اکسیدی شدن محیط را کاهش داده و باعث افزایش Eh محیط می‌گردد. بنابراین در ادامه آزمایش‌ها از آهک برای تنظیم pH استفاده گردید.

۶- زمان اعمال پتانسیل نیز به عنوان یک عامل تاثیر گذار باید مد نظر قرار گرفت. زمان اعمال پتانسیل در حقیقت همان زمان آماده‌سازی الکتروشیمیایی است. هرچقدر زمان آماده‌سازی الکتروشیمیایی بیشتر باشد احتمال برخورد ذرات کانی با سطح الکترود بیشتر و در نتیجه فعل انفعالات پیش‌بینی شده بیشتر انجام و فرآیند بازداشت کانی‌های مس علی‌الخصوص کالکوپیریت بیشتر می‌شود. زمان اعمال پتانسیل در آزمایش‌های اولیه ۹۰۰، ۱۲۰۰، ۱۸۰۰ ثانیه بوده است. در آزمایش‌های بعدی زمان آماده‌سازی را افزایش و اثر آن مورد مطالعه قرار گرفته است.

۷- در سری دوم از آزمایش‌ها درصد جامد تا حد ۵٪ کاهش یافت. از صفحات استیل و گرافیتی با ابعاد 5×10 سانتی‌متر به جای الکترودهای کاروکمکی استفاده شد. زمان اعمال پتانسیل تا ۲۴۰۰ ثانیه افزایش بافت. در بعضی از آزمایش‌ها از مقدار کمی مواد شیمیایی احیاء کننده از جمله سولفید سدیم استفاده شد.

آزمایش‌هایی بر مبنای استفاده از سود (NaOH) برای تنظیم pH انجام گردید. آزمایش‌ها نشان دادند که سود جانشین مناسبی برای آهک نمی‌باشد. برای مثال در آزمایش T019 برای بالا بردن تنظیم pH در مقادیر بالای ۱۲ به جای آهک از سود استفاده شد. با اضافه کردن سود مقدار pH به صورت ناگهانی افزایش یافت ولی پس از چند دقیقه روند کاهشی پیدا کرد، چنانکه با اضافه کردن بیشتر حداکثر به ۱۰ رسید. در نتیجه برای رساندن pH به عدد ۱۲، از آهک به مقدار ۳ گرم استفاده شد. احتمالاً دلیل آن این است که یون OH^- وارد فعل انفعالاتی

می‌گردد که محصولات آن عمدتاً به صورت هیدروکسید و هیدروکسیدکربنات است، و این باعث می‌شود که برای رسیدن به pH مورد نظر مصرف سود زیاد گردد.



شکل ۱-۵- دیاگرام پوربه برای سیستم مس-آب-گوگرد (2001, A. R. Burkin)

۸- زمان اعمال پتانسیل یک پارامتر تاثیرگذار می‌باشد. زیرا احتمال برخورد ذرات کانی با صفحات الکترود بالا می‌رود. این مطلب در آزمایش‌هایی که با اعمال پتانسیل در زمان‌های بالاتر انجام شده‌است نتایج بهتری داشته است.

۹- کاهش غلظت پالپ نیز یک پارامتر تاثیرگذار در افزایش مقدار جریان می‌باشد. لذا آزمایش‌هایی که با درصد جامد کمتر انجام شده‌است نتایج بهتری داشته است.

۳-۵- تغییر در روند انجام آزمایش‌ها

پس از انجام آزمایش‌های مرحله اول (آزمایش‌های اول T0222) و اعلام نتایج از طرف آزمایشگاه و مشخص شدن اینکه از نظر عیار مس و مولیبدن در محصولات آزمایش (عیار مولیبدن در حد کنسانتره رافر مدار مولیبدن و عیار مس در باطله در حد باطله سلول‌های رافر در مدار) به نتایج قابل قبول دست نیافته است، روند انجام آزمایش‌ها تغییر داده شد. به این ترتیب که نخست یک آزمایش بر بنای جریان مواد در مدار فرآوری کارخانه مولیبدن با شرایط مندرج در جدول ۱-۵ و بدون اعمال پتانسیل انجام گردید.

جدول ۱-۵- مصرف مواد شیمیایی در مدار فرآوری مولیبدن

هدف	تنظیم pH	بازداشت مس	کلکتور مولیبدن	کف ساز
-----	----------	------------	----------------	--------

MIBC	گازوئیل	سولفیدسدیم مایع	آهک	ماده شیمیایی
۱۵ گرم بر تن	۷۰۰ گرم بر تن	۱۶ کیلوگرم بر تن	۵ گرم	مقدار

پس آز آن با همین شرایط ولی با اعمال پتانسیل بر روی الکترود کار به مقدار ۱/۵ - ولت انجام گردید. آزمایش-های ۲۲ به بعد با این شرایط انجام شده است. البته در ازماش‌های مختلف مقدار پتانسیل تغییر و روند تغییرات مورد مطالعه قرار گرفت. در حقیقت با هدف تاثیر اعمال پتانسیل خارجی بر مصرف مواد شیمیایی انجام آزمایش-هایی با و بدون اعمال پتانسیل طراحی گردید. از آزمایش T029 به منظور افزایش ضریب نفوذ جریان مقداری نمک (کلرید سدیم) به پالپ اضافه گردید. یون‌های کلرید حاصل از انحلال نمک باعث انتقال بهتر جریان در محیط پالپ خواهد شد. نتایج حاصل در آزمایش با نمک بسیار رضایت‌بخش بود. تاثیر نمک که موجب بهبود فرآیند می‌شود باید مورد مطالعه بیشتر قرار گیرد که در این تحقیق اینکار انجام نشده است. در آزمایش‌های T029 تا T035 کاربرد نمک، مواد شیمیایی و اعمال پتانسیل با هم مورد آزمایش قرار گرفته است.

با اضافه کردن نمونه به سلول مقادیر زیادی از مولیبدن به سرعت شناور می‌شوند ولی با گذشت زمان همراهی کانی‌های مس باعث آغشته شدن کف حاوی مولیبدن می‌گردد. این نشان‌دهنده خاصیت آبرانی کانی‌های مولیبدن می‌باشد. اگر بتوان از ورود کانی‌های مس به کف جلوگیری نمود می‌توان جدایش موثری بین مولیبدن و کانی‌های مس انجام داد.

عيارسنجی محصولات آزمایش‌های انجام شده حاکی از این است که در پتانسیل‌های بهشدت مثبت بعضی از کانی‌های مس شناور می‌شوند. در مجموع پتانسیل‌های آندی نتایج بهتری در بازداشت کانی‌های مس دارند. نتایج آزمایش T029 و آنالیز محصولات این آزمایش (کنسانتره ای با عیار ۴/۰ درصد مولیبدن و وزن ۱۵/۲ گرم از خوارکی با عیار ۵۵۸/۰ درصد مولیبدن و وزن ۷۵۰ گرم) حاکی از بازیابی ۳۰ درصدی مولیبدن برای مرحله رافر می‌باشد.

آزمایش T036 در حضور پروفسور Heyes از موسسه CSIRO استرالیا انجام شده است. هرچند برخی از اظهار نظرهای ایشان با کارشناسان ارشد شاغل در واحد پایلوت هماهنگی نداشت، اما تلاش شده است تا حداقل استفاده از دانش و تجربیات ایشان به عمل آید. در این آزمایش از ۱۰ گرم سولفیدسدیم برای پاکسازی سطح ذرات کانی‌های مس از مواد شیمیایی مورد مصرف در مرحله فرآوری مس در مرحله فرآوری مولیبدن استفاده شد. ایشان پیشنهاد کردند که برای جلوگیری از دنباله‌روی کانی‌های مس از مولیبدن، پتانسیل محیط پالپ باید حداقل ۴۵۰- میلی‌ولت باشد. برای دستیابی به چنین پتانسیلی در روش اعمال پتانسیل خارجی می‌توان جای الکترودها را عوض کرد. یعنی الکترود کار را در محیط الکترولیت والکترود کمکی را در محیط فلوتاسیون قرار می‌دهیم. لازم به تذکر است، چون جنس الکترودهای کار و کمکی یکسان است این جابجایی به صورت تعویض نوع پتانسیل بوده است یعنی به جای اعمال پتانسیل منفی بر روی الکترود کار، پتانسیل مثبت اعمال شده است. آزمایش‌های T037 تا T040 بر مبنای شرایط جدید انجام شده است. در این آزمایش‌ها هرچند بازیابی مس در

باطله بالا بوده است ولی عیار مولیبدن در محصول آرسته پایین است. در حقیقت فرآیند از نظر بازداشت مس و ارسال آن به بخش باطله موفق بوده است ولی از نظر بازیابی مولیبدن و ارسال آن به بخش پر عیار خیلی موفق نبوده است.

۴-۵- انجام آزمایش با سلول اصلاح شده

پس از تحلیل اولیه نتایج آزمایش‌های انجام‌شده با سلول‌اول با استفاده از بسته نرم افزاری موازن و مشخص-شدن شرایط مناسب برای انجام آزمایش برای رسیدن به شرایط ایده‌آل سری بعدی آزمایش‌ها با سلول اصلاح-شده برنامه‌ریزی و انجام شد. در اینجا ضروری است شرایط مطلوب و نتایج مناسب که به عنوان هدف در آزمایش‌ها تعیین شده است اشاره مختصراً شود. با توجه به اینکه هدف اصلی در این آزمایش‌ها رسیدن به محصولاتی با شرایط بهتر یا حداقل شرایط مساوی با محصولاتی است که در حال حاضر در مدار فرآوری مولیبدن بدست می‌آید. بنابراین وقتی صحبت از رسیدن به شرایط مطلوب در آزمایش‌ها می‌گردد هدف رسیدن به این شرایط می‌باشد در این سری از آزمایش‌ها، در آزمایش‌های T041 تا T044 به منظور تاثیر همزمانی پتانسیل خارجی و سولفیدسیدیم با ثابت نگه داشتن تمام شرایط پتانسیل ۶۰- ولت روی الکترود کار اعمال و مقدار سولفیدسیدیم مصرفی از ۲۵٪ مصرف کارخانه تا ۷۵٪ مصرف کارخانه تغییر داده شد. در آزمایش‌های T045 تا T048 بدون افزودن سولفیدسیدیم پتانسیل از ۶۰- ولت تا ۵۰- ولت تغییر داده شد. در آزمایش‌های T049 تا T052 شرایط آزمایش مانندسی را قبل بود با این تفاوت که مقداری سولفیدسیدیم به عنوان پاکسازی سطح کانی‌های مس از کلکتور در هر آزمایش مورد استفاده قرار گرفت. در حقیقت در آزمایش‌های سری قبل تاثیر تغییرات پتانسیل بدون حضور سولفیدسیدیم و در این سری تغییرات پتانسیل در حضور سولفیدسیدیم مورد بررسی قرار گرفت. در آزمایش‌های T053 تا T056 با تغییر درصد جامد پالپ از مقادیر ۵، ۱۰، ۱۵ و ۲۰ درصد، این عامل مورد آزمایش قرار گرفته است. به دلیل اینکه هرچه رقت پالپ بیشتر باشد مقاومت پالپ کمتر و در نتیجه مقدار جریان بیشتر است، برای دسترسی به مناسبترین درصد جامد، این آزمایش‌ها انجام گردید. در آزمایش‌های بعدی تاثیر اثر حرارت، اثر زمان بر نگهداری کنسانتره (همانگونه که ذکر شد بار ورودی به مدار فرآوری مولیبدن کنسانتره تجمعی مس مولیبدن است که محصول نهایی واحد فرآوری مس می‌باشد. در نتیجه این محصول آغشته به مواد شیمیایی از جمله کلکتور، کفساز و سایر مواد شیمیایی است که در مرحله قبل به مدار فرآوری اضافه شده است. برای پاکسازی این مواد از سطح کانی‌های موجود در بار ورودی یا باید آنها را حرارت داد و یا باید در اثر گذر زمان این مواد از سطح این کانی‌ها پاک شوند) اثر حرارت دادن بار اولیه مورد بررسی قرار گرفت. مجموعه آزمایش‌هایی هم بر روی نمونه اولیه ورودی به واحد فرآوری مس مولیبدن انجام شد.

۵-۵- انجام آزمایش بر روی سایر نمونه‌ها

به منظور بررسی تاثیر فرآیند فلوتاسیون الکتروشیمیایی بر روی بازیابی و بازداشت کانی‌های مس در سایر نمونه‌های اخذ شده از مدار فرآوری، چندین آزمایش بر روی نمونه‌های خوراک ورودی به مدار فرآوری مس (واحد تغليظ مس)، همچنین محصول کلینرهای ۱ و ۲ مدار فرآوری مولیبدن انجام شده است. این آزمایش مطالعات به منظور امکان سنجی فلوتاسیون شیمیایی برای بازیابی مس در مرحله رافر در مدار تغليظ و بازداشت مس در مدار مولیبدن انجام شد. نتایج این آزمایش‌ها در جدول ۵-۲ درج شده است.

جدول ۵-۲- تاثیر پتانسیل خارجی بر بازیابی مولیبدن و باز

داشت کالکوپیریت

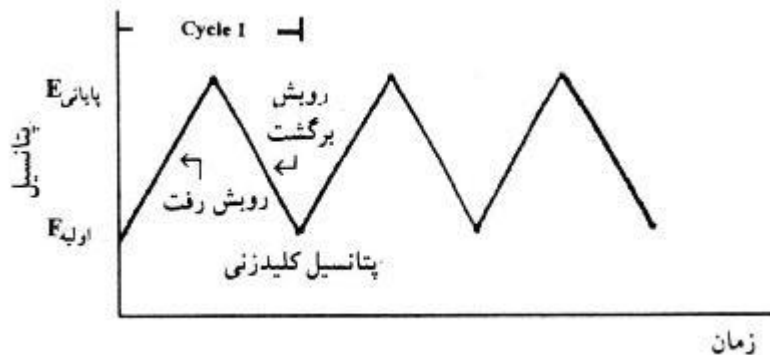
بازیابی٪			عيار٪			وزن(گرم)	محصول	شرایط آزمایش	پتانسیل اعمالی	شماره آزمایش
Cu	Mo	CP	Cu	Mo	CP					
100	100	100	1.43	0.052	-	1160.	F 6295	خوراک اولیه تغليظ بدون مواد شیمیایی	-3.0v	T073 Eh= -70 pH=11.24
26	40.0	-	8.47	0.481	-	50.8	C 6296			
74	60.0	-	1.08	0.029	-	1109.	T 6397	خوراک اولیه تغлиظ بدون مواد شیمیایی	-2.0v	T074 Eh= -200 pH=13.95
100	100	100	1.45	0.053	-	850.0	F 6298			
28	59.0	-	18.33	1.468	-	19.0	C 6299	پرعیار کلینر ۱ بدون مواد شیمیایی	-3.0v	T075 Eh= -123 pH=11.47
72	41.0	-	1.08	0.021	-	831.0	T 6300			
100	100	100	11.80	28.25	25.97	600.0	F 6301	خوراک تغليظ بدون مواد شیمیایی	بدون پتانسیل	T076 Eh= - pH=11.64
67	70.0	65	12.07	27.01	27.72	402.0	C 6302			
33	30.0	35	13.10	24.26	31.59	188.0	T 6303	پرعیار کلینر ۲ بدون مواد شیمیایی	-3.0v	T077* Eh= -120 pH=12.21
100	100	100	1.43	0.064	39.84	850.0	F 6305			
44	55.0	5	21.41	1.95	60.72	24.8	C 6306	بدون مواد شیمیایی	-3.0v	T078* Eh= -132 pH=11.57
56	45.0	95	0.83	0.030	22.2	825.2	T 6307			
100	100	100	7.20	14.22	9.978	850.0	F 6308	پرعیار کلینر ۲ بدون مواد شیمیایی	-3.0v	T079 Eh= -120 pH=11.70
-	-	-	11.00	40.70	21.15	693.5	C 6309			
-	-	-	11.50	3.201	27.77	156.5	T 6010	درصد جامد٪ ۲۰	-	-
100	100	100	7.20	14.22	9.978	450.0	F 6011			
-	-	-	9.70	41.06	18.87	270.0	C 6312	پرعیار کلینر ۲ بدون مواد شیمیایی	-3.0v	T077* Eh= -132 pH=12.21
-	-	-	12.10	3.236	29.58	180.0	T 6313			
100	100	100	1.46	0.074	3.970	850.0	F 6314	خوراک اولیه تغليظ بدون مواد شیمیایی	-3.0v	T079 Eh= -120 pH=11.70
18	64.0	28	7.97	1.250	18.29	32.2	C 6315			
82	36.0	72	1.26	0.028	2.980	816.8	T 6316	درصد جامد٪ ۲۰	-	-

*این دو آزمایش به دلیل دقیق نبودن جواب آنالیزها موارنه نشده‌اند

نتایج مندرج در جدول ۵-۲- نشان دهنده این است که در شرایط کنترل شده، نتایج فلوتاسیون الکتروشیمیایی به روش کنترل پتانسیل پالپ و با اعمال پتانسیل خارجی بر روی یک نمونه چندفلزی سولفیدی رضایت بخش است.

۶-۵- آزمایش‌های ولتاومتری چرخه‌ای

ولتامتری چرخه‌ای، ولتامتری با روش خطی توسعه یافته است که در این روش، ابتدا پتانسیل الکترود کار در یک جهت روبیده می‌شود و سپس در جهت عکس جاروب می‌گردد. در این روش که عمدها برای مطالعه مکانیسم واکنش‌ها و تبیین حدود برگشت پذیری فرآیندهای الکترودی بکار می‌رود، سرعت روش پتانسیل را در دو مرحله رفت و برگشت معمولاً یکسان انتخاب می‌کنند. در این صورت نمودار پتانسیل-زمان، شکل مثلث متساوی الساقین یا دندانه اره ای متقارن را به خود می‌گیرد (شکل ۵-۵).

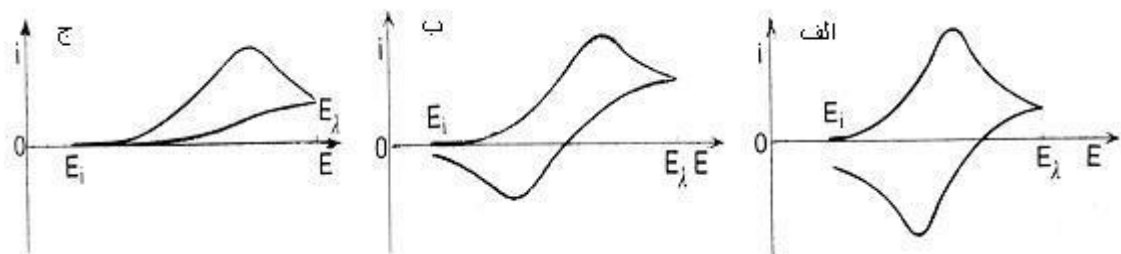


شکل ۵-۵- برنامه پتانسیل-زمان در ولتامتری چرخه‌ای

در ولتامتری چرخه‌ای نیز همانند ولتامتری با روش خطی پتانسیل، جریان پیک‌ها با غلظت گونه‌های الکتروفعال متناسب است و هماهنگ با جذر سرعت روش تغییر می‌کند. از روی میزان جدایی پیک‌ها، که برای فرآیندهای برگشت‌پذیر یا نرنستی برابر با $n/59$ میلی‌ولت است، به حدود برگشت‌پذیری واکنش الکترودی پی‌می‌برند.

$$\Delta E = |E_{p.c} - E_{pa}|$$

به علاوه در مورد واکنش‌های الکترودی ساده و برگشت‌پذیر (بدون مداخله واکنش‌های شیمیایی مقدم یا مؤخر بر مرحله انتقال بار) نسبت جریان پیک‌ها، معمولاً برابر با یک می‌باشد ولتاوموگرام چرخه‌ای فرآیندهای برگشت‌پذیر، برگشت ناپذیر و شبه برگشت‌پذیر در شکل ۵-۳ نشان داده شده است.



شکل ۵-۳- ولتاوموگرام چرخه‌ای برای سیستم‌های (الف) برگشت‌پذیر (ب) شبه برگشت‌پذیر (ج) برگشت ناپذیر

در ولتامتری چرخه‌ای نیز از انواع مختلف الکترودهای جامد و یا قطره جیوه آویزان به عنوان الکترود کار استفاده می‌شود. اما در این روش، برای تبیین مکانیسم واکنش‌ها، محدوده روش پتانسیل و نیز جهت و سرعت

آن را تغییر می‌دهند و از روی تأثیر آن بر شکل ولتاوگرام و پارامترهای وابسته به آن، به مکانیسم فرآیند الکترودی پی می‌برند. در ولتاومتری چرخه‌ای معمولاً افزایش جریان در سیکل‌های متوالی نشان‌دهنده جذب سطحی می‌باشد. برای فرآیند های برگشت ناپذیر (واکنش هایی با مبادله الکترون کند)، اندازه پیک های انفرادی کاهش یافته، به مقدار زیاد از هم جدا می‌شوند. سیستم های کاملاً برگشت ناپذیر، با جابجایی پتانسیل پیک متناسب با سرعت روبش مشخص می‌شوند:

$$E_p = E^\circ - \frac{RT}{\alpha n_a F} \left[0.78 - \ln \frac{k^\circ}{D^{1/2}} + \ln \left(\frac{\alpha n_a F v}{RT} \right) \right]^{1/2}$$

که در آن α ضریب انتقال و n_a تعداد الکترون های شرکت کننده در مرحله انتقال بار است. بنابر این، E_p پتانسیل های بزرگتر از E° ، با پتانسیل اضافی وابسته به k° ثابت سرعت استاندارد برای یک زوج انتقال الکترون و α ظاهر می‌شود. مستقل از مقدار k° ، اینچنین جابجایی پیک می‌تواند با تعویض مناسب سرعت روبش جبران شود. پتانسیل نیمه پیک (در دمای ۲۵ درجه سانتیگراد) به اندازه $48/\text{cm}$ از هم متفاوت خواهد بود. در نتیجه، ولتاوگرام با افزایش αn ، کشیده تر می‌شود. جریان پیک ارائه شده با رابطه زیر مشخص می‌شود.

$$i_p = (2.99 \times 10^5) n (\alpha n_a)^{1/2} A C D^{1/2} v^{1/2}$$

۵-۶-۱- نحوه ساخت الکترود کانی از محصولات فرآیند فلوتاسیون الکتروشیمیایی

به منظور بررسی اندرکنش کانی‌های مختلف برهم در یک محیط چندکانی، نخست الکترودهایی از محصولات بدست آمده از فرآیند فلوتاسیون الکتروشیمیایی (خوارک ورودی، کنسانتره و باطله) ساخته شد. نحوه ساخت این الکترودها در ادامه آمده است.

مقدار ۴ گرم گرافیت با خلوص ۹۹/۹۹^{۱۱۰} را همراه با ۱ گرم نمونه مورد نظر در پودر کننده سرامیکی تا حد زیر میکرون خرد می‌کنند. پودر حاصل را با ۴ میلی لیتر روغن سیلکون^{۱۱۱} مخلوط نموده به صورت یک صمع هموزن در می‌آوریم. این صمع را در داخل یک لوله پلاستیکی با طول ۷ و قطر ۴/ سانتیمتر جاگذاری و با استفاده از یک پیستون آنرا فشرده می‌کنند تا تخلخل آن از بین برود و در نهایت به قرصی با قطر ۵/ سانتیمتر برسد. سپس سطح آنرا با اسپاتل شیشه‌ای صاف و تراز می‌کنند. به این ترتیب سطح آن می‌تواند برای هر آزمایشی مجدد احیاء گردد. برای اتصال الکتریکی سیم پلاتین-نقره متصل به قرص را به یک تکه سیم مسی لحیم می‌کنند. (آلسا و گونزالس^{۱۱۲}، ۲۰۰۲)

این آزمایش‌ها برای بررسی و مطالعه مکانیزم‌های آبرانی و آبدوستی ذرات کانی در فرآیند فلوتاسیون الکتروشیمیایی با اعمال پتانسیل خارجی در غیاب مواد شیمیایی انجام شده است. در حقیقت با انجام این

^{۱۱۰} Aldrich تولید

^{۱۱۱} Aldrich تولید

^{۱۱۲} Elsa M. Arce and ArceIgnacio González2002

آزمایش‌ها مواد تشکیل‌شده در شرایط الکتروشیمیایی حاکم در سلول فلوتاسیون که بر روی سطح کانی‌های شناورشونده یا بازداشت‌کننده رسوب می‌کنند و باعث آبرانی یا آبدوستی کانی‌ها می‌گردد شناسایی می‌شوند. برای انجام این آزمایش‌ها نخست الکترودهایی از محصولات آزمایش و کانی غالب در آن یعنی کالکوپیریت تهیه گردید. سپس شرایط الکتروشیمیایی آنجام آزمایش فلوتاسیون را (با همان پتانسیل اعمالی، پتانسیل پالپ، pH و درصد جامد) را فراهم و آزمایش‌های ولتاژتری چرخه‌ای در آن شرایط انجام شد. ولتاگرام‌های بدست آمده در پیوست گزارش آمده است.

فصل ششم

بحث و نتیجه گیری

۶-۱- نتایج مطالعات تئوری و تجربی

آنچه پیش از ورود به بحث اصلی لازم است مورد اشاره قرار گیرد، این است که در این تحقیق امکان سنجی فلوتاسیون الکتروشیمیایی کانی‌های سولفیدی با کنترل پتانسیل پالپ و با اعمال پتانسیل خارجی بر روی یک نمونه چندفلزی در شرایط صنعتی و مقیاس آزمایشگاهی (بر روی یک نمونه صنعتی) مورد بررسی قرار گرفته است. این خود فرضیه‌ای بوده که بر مبنای تحقیقات گذشته، که همگی بر روی نمونه‌های تک کانی و در مقیاس میکرو انجام شده بود وضع شده است. در این تحقیق عملای درستی این فرضیه مورد بررسی قرار گرفته است. در حقیقت نوآوری این تحقیق بررسی امکانسنجی فلوتاسیون الکتروشیمیایی کانی‌های سولفیدی در یک نمونه پلی متال با اعمال پتانسیل خارجی می‌باشد. روند ورود به بحث در نموگرام زیر نشان داده شده است.

فلوتاسیون الکتروشیمیایی



فلوتاسیون الکتروشیمیایی سولفیدها



فلوتاسیون الکتروشیمیایی سولفیدها با کنترل پتانسیل پالپ



فلوتاسیون الکتروشیمیایی با کنترل پتانسیل پالپ با اعمال پتانسیل خارجی



فلوتاسیون الکتروشیمیایی با کنترل پتانسیل پالپ با اعمال پتانسیل خارجی در فلوتاسیون کانی‌های

سولفیدی مس علی‌الخصوص کالکوپیریت



بازداشت کانی‌ها در فلوتاسیون الکتروشیمیایی با کنترل پتانسیل پالپ با اعمال پتانسیل خارجی

(مطالعه موردي بازداشت کالکوپیریت در مدار فرآوري مولبیدن در مجتمع مس سرچشمeh)

مرحله آخر در نموگرام فوق فرضیه اصلی را تشکیل می‌دهد که تاکنون مورد تحقیق قرار نگرفته است و نوآوری این تحقیق را نشان می‌دهد. در ادامه ضمن تحلیل نتایج بدست آمده از آزمایش‌ها نسبت به مستندسازی و تطبیق آنها با نتایج محققین پیشین اقدام شده است. به همین دلیل در ادامه هرجا که لازم بوده به منابع مورد استفاده ارجاع داده شده است. نخست مبانی تئوریک مربوط به چرایی و مکانیزم‌های مربوط به آبران و آبگریز

شدن کانی‌های سولفیدی در فرآیند فلوتاسیون الکتروشیمیایی پرداخته شده است، پس از آن پارامترهای مورد اشاره مورد مطالعه قرار گرفته، سپس به نتیجه‌گیری و تحلیل نتایج پرداخته، در پایان هم جنبه‌های نوآوری تحقیق مورد بحث قرار گرفته است. در اینجا ذکراین نکته ضروری است که برای تفسیر مکانیزم‌های تغییر سطح کانی‌های سولفیدی در فرآیندهای الکتروشیمیایی که ناشی از رسوب ترکیبات سطحی در سطح این کانی هاست می‌توان از روش‌های اسپکتروسکپی (مطالعه مستقیم مکانیزم‌ها) استفاده نمود، یا با استفاده از موازنۀ متالورژیکی و مطالعات مینرالوژی (مطالعه غیرمستقیم مکانیزم‌ها) استفاده نمود. همچنین با استفاده از روش‌های الکتروشیمیایی مانند روش‌های ولتاوری چرخه‌ای و تفسیر منحنی‌های مربوطه می‌توان این مهم را انجام داد. در اغلب تحقیقات گذشته از روش مستقیم مکانیزم‌ها یعنی روش‌های اسپکتروسکپی استفاده شده است. در این تحقیق به عنوان یک ابتکار و نوآوری از روش غیرمستقیم یعنی موازنۀ متالورژیکی و مطالعات مینرالوژی و تطبیق نتایج با تحقیقات گذشته برای اثبات و صحت آنها استفاده شده است. روش ولتاوری چرخه‌ای نیز به عنوان روش تکمیلی مورد مطالعه قرار گرفته است. پس از انجام هر آزمایش از محصولات آنها نمونه‌برداری شده و این نمونه‌ها جهت عیارسنجی و مطالعات مینرالوژی به آزمایشگاه ارسال گردیده است. پس از عیارسنجی و مشخص شدن نتایج، محاسبات متالورژیکی انجام شده است. با توجه به نتایج محاسبات متالورژیکی و مطالعات مینرالوژی موفق بودن فرآیند مورد ارزیابی قرار گرفته است. سپس با توجه شناخت مکانیزم‌ها که از تحقیقات گذشته بدست آمده این مکانیزم‌ها به نتایج حاصل از تحقیق تعمیم داده شده است. با توجه به اینکه آزمایش‌های انجام شده در این تحقیق در شرایط صنعتی انجام شده و امکان استفاده از مطالعات اسپکتروسکپی بر جا فراهم نبوده است روش غیرمستقیم شناسایی و مطالعات ولتاوری مورد استفاده قرار گرفته است. البته روش ولتاوری نیز به صورت نابر جا بر روی الکترودهای تک کانی و چندفلزی در شرایط بازسازی شده انجام شده است که تا حدود زیادی مکانیزم‌های شناخته شده را تایید می‌نماید. در اینجا لازم است اشاره مختصری به روش‌های الکتروشیمیایی مورد نظر بشود تا به اختلاف شرایط صنعتی که آزمایش‌ها در آن انجام شده است و شرایط آزمایشگاهی که این روش‌ها در آن انجام می‌شود، مشخص گردد. به طور عموم روش‌های الکتروشیمیایی در محیط‌های آرام و بی‌حرکت، بر روی الکترودهای با سطح مقطع کم، با جریان‌های بسیار پایین در حد میلی آمپر و محیط بسیار رقیق با غلظت میلیگرم بر لیتر انجام می‌شود. در این شرایط برای رفع آلودگی‌های الکتریکی محیط در برخی آزمایش‌ها از قفس فارادی استفاده می‌شود. بنابراین این آزمایش‌ها در شرایط انجام آزمایش‌های صنعتی وبصورت بر جا خیلی دقیق نیستند.

۶-۲- مکانیزم تغییرات سطح سولفید‌های مس در فلوتاسیون الکتروشیمیایی

سولفیدهای مس فاقد خاصیت شناورپذیری طبیعی هستند هرچند به واسطه اینکه سطح تازه آنها دارای پیوند-های ضعیف یونی همراه با غلظت وزنی بالاتری از پیونددهای کولانسی مخلوط با پیونددهای فلزی بعضاً دارای

خاصیت آبرانی هستند. (کوکاباگ¹¹³ و همکاران ۱۹۹۹^{۱۱۴} و شفایف^{۱۱۴} ۱۹۶۲). این امکان برای کالکوپیریت و سایر کانی‌های سولفیدی مس وجود دارد که در دامنه وسیعی از pH (از ۴ تا ۱۲) شناورشوند (کیرجاوانین^{۱۱۵} و همکاران ۱۹۸۹)^{۱۱۶} که همسنجی خوبی با نتایج سایر بررسی‌ها دارد. (هایس^{۱۱۶} و تراهار ۱۹۹۹^{۱۱۷}، سان^{۱۱۸} و همکاران ۱۹۹۲^{۱۱۹}، ۱۹۹۰^{۱۲۰}، ۱۹۹۳a^{۱۲۱}).

فلوتاسیون بدون مواد شیمیایی سولفیدها در شرایط مقایسه‌ای توسط درزیمala^{۱۱۹} و شانون^{۱۲۰} و تراهار^{۱۲۱} در ۱۹۸۶ گزارش شده است. حذف ترکیبات اکسیدی تشکیل شده از سطح کانی‌های سولفیدی با استفاده از مواد شیمیایی (برای مثال استفاده از EDTA)، خواص فلوتابسیون بدون مواد شیمیایی انها را کاهش می‌دهد (وانگ و فورسبرگ^{۱۹۸۹b} ۱۹۹۱ و a^{۱۹۹۱}). اما افزایش بیش از حد سولفیدسدیم یا EDTA درجه آبرانی کانی‌های سولفیدی است را در اثر افزایش پلاریزاسیون سطح کانی‌های سولفیدی که تحت تاثیر دوباره فعالیت یون‌های سولفیدی است کاهش می‌دهد. این نیز تعیین کننده بار صفر سطح کانی‌های سولفیدی است و کارایی فلوتابسیون بدون مواد شیمیایی را که وابسته مقدار پتانسیل اکسیداسیون آنها است، باعث می‌شود. این مقادیر برای کانی‌های مختلف متفاوت است و دلیل بر این است که فلوتابسیون بدون مواد شیمیایی بسیار موثر هر کانی سولفیدی را می‌توان با برآورد مقدار پتانسیل فصل مشترک کانی/ محلول برآورد نمود. (هایس^{۱۲۲} و رالston^{۱۲۳} ۱۹۸۸، لروکس^{۱۲۴} ۱۹۹۴، سابرمانیام^{۱۲۵} و فورسبرگ^{۱۹۹۳} ۱۹۹۴). بنابراین فلوتابسیون الکتروشیمیایی کانی‌های مس بر اساس مقادیر پتانسیل اکسیداسیون/احیاء شروع اکسیداسیون آنها امکان‌پذیر است. مسئله مهمی که باید در نظر گرفته شود، تاثیر برهمکنش سولفیدهای مس برهم و با سایر کانی‌های سولفیدی در محیط فلوتابسیون است. مقدار پتانسیل شروع اکسیداسیون سطح تازه کانی‌ها در زمان آسیا کردن در اکسیداسیون متناظر با مقدار پتانسیل تبدیل سولفید به محصولات نهایی حاصل از اکسیداسیون را می‌توان با استفاده از معادله مربوط به فعل انفعال محاسبه نمود (آبراموف ۱۹۷۷ و ۱۹۷۸). نتیجه این محاسبات در اکسیداسیون گوگرد کانی به یونهایی نظیر S₂O₃⁻² و SO₄⁻² و گوگرد عنصری است. بر اساس کاهش احتمال اکسیداسیون مس، آهن و سایر کانی‌های سولفیدی می‌توان آنها را به صورت خطی مرتب نمود. آهن، پیروتیت (پنتلاندیت، هیزلواریت)، میلریت، مارکازیت، پیریت، اسفالریت، گالن، کالکوپیریت، کولیت، برنیت، کالکوسیت و مس در این رده بندی به ترتیب

¹¹¹Kocabag

¹¹⁴Shafeev

¹¹⁵Kirjavainen

¹¹⁶hayes

¹¹⁷Trahar

¹¹⁸Sun

¹¹⁹Drzymala

¹²⁰Shannon

¹²¹Trahar

¹²²Hayes

¹²³Ralston

¹²⁴Leroux

¹²⁵Subrahmanyam

جای می‌گیرند. این مرتبسازی که براساس نتایج مطالعات بوچروف^{۱۲۶} و ریسکین^{۱۲۷} در ۱۹۹۳ بدهست امده است نشان می‌دهد که نرخ اکسیداسیون آهن سایش یافته در آسیا خیلی زیاد و بیشتر از پیریت و در نقطه مقابل کانی‌های ثانویه مس، کالکوسیت و برنیت کمتر از پیریت می‌باشد.

۶-۳- پارامترهای مورد بررسی

پارامترهای مورد مطالعه در این تحقیق را می‌توان به دو دسته قابل کنترل و غیرقابل کنترل دسته بندی نمود. زیرا بخشی از این پارامترها قابل تغییر بوده و اثر متقابل آنها در فرآیند مورد بررسی قرار گرفته است. برخی دیگر قابل تغییر نبوده و فقط اثر وجود آن پارامتر در فرآیند مورد مطالعه قرار گرفته است. مهمترین این پارامترها به شرح ذیل می‌باشد:

- ۱- مقدار پتانسیل خارجی
- ۲- زمان اعمال پتانسیل خارجی
- ۳- درصد جامد پالپ
- ۴- دور رتور
- ۵- درجه حرارت پالپ
- ۶- زمان ماند نمونه قبل از آزمایش
- ۷- مدت زمان حرارت دادن نمونه قبل از انجام آزمایش
- ۸- مقادیر مواد شیمیایی مورد مصرف در هر آزمایش
- ۹- نوع و چیدمان الکترودها
- ۱۰- تاثیر نیتروژن به عنوان هوا فلوتاسیون

پارامترهای پتانسیل پالپ (Eh)، نوع و مقدار کانی‌های همراه، عیار عناصر موجود در نمونه، ضریب نفوذ و مقدار جریان، مقاومت الکتریکی پالپ نیز پارامترهایی بوده‌اند که اثر آنها مورد بررسی قرار گرفته‌اند.

۶-۱- بررسی مقدار پتانسیل خارجی بر بازداشت کانی‌های مس

با توجه به اینکه موضوع اصلی تحقیق امکان سنجی فلوتاسیون الکتروشیمیایی به روش کنترل پتانسیل پالپ و با اعمال پتانسیل خارجی بوده است، آزمایش‌های زیادی در این زمینه انجام شد. در حقیقت در تمام آزمایش‌ها زمینه اصلی انجام فلوتاسیون الکتروشیمیایی با اعمال پتانسیل خارجی بوده است، که اثر سایر پارامترها مورد بررسی قرار گرفته است. با توجه به اینکه این تحقیق به صورت موردنی بر روی نمونه‌های اخذ شده از مدار فرآوری مولیبدن در مجتمع مس سرچشم‌های انجام گردیده، تلاش شده تا آزمایش‌ها براساس شرایط کارخانه

¹²⁶ Bocherov

¹²⁷ Riskin

فرآوری مولیبدن تنظیم گردد. با توجه به اینکه در این واحد بازداشت کانی‌های مس با استفاده از سولفور سدیم به عنوان بازداشت‌کننده انجام می‌شود، بنابراین اثر پتانسیل خارجی در حضور و غیاب سولفور سدیم مورد بررسی قرار گرفته است تا مشخص گردد که آیا از این روش می‌توان سولفیدسدیم را به عنوان بازداشت‌کننده کانی‌های مس علی‌الخصوص کالکوپیریت (با توجه به اینکه کنسانتره تولیدی در واحد فرآوری مس در مجتمع سرچشمۀ یک کنسانتره کالکوپیریتی می‌باشد) از مدار فرآوری حذف نمود. نتایج بررسی تاثیر پتانسیل خارجی منفی و مثبت در حضور و غیاب سولفور سدیم در جداول ۱-۶ و ۲-۶ و ۳-۶ اشکال ۱-۶ و ۲-۶ و ۳-۶ ارائه شده است.

لازم به ذکر است که مقدار pH تابع مقدار آهک اضافه شده به محیط، و مقدار Eh تابع پتانسیل اعمالی بر روی الکترود کار است که در محیط پالپ قرار دارد. البته در شرایط ثابت مقدار Eh بر اثر افزایش مقدار pH کاهش می‌یابد. با تغییر مقدار Eh خاصیت آبرانی یا آبدوستی کانی‌های سولفیدی مس علی‌الخصوص کالکوپیریت تغییر می‌کند. به‌گونه‌ایکه در محدوده پتانسیل پالپ $+0/25$ تا $-0/086$ ولت در مقیاس الکترود کالومل اشباع در پالپی مشکل از تک کانی کالکوپیریت، این کانی خاصیت آبرانی دارد. ولی در این آزمایش‌ها، در خارج از این محدوده علی‌الخصوص در پتانسیل‌های شدیداً منفی کمتر از $-0/25$ خاصیت آبرانی خود را از دست می‌دهد و بنابراین بازداشت شده و وارد باطله می‌گردد. با بررسی نتایج حاصل در شکل‌ها و جداول ۱-۶، ۲-۶، ۳-۶ و مقایسه آنها با هم می‌توان نتیجه‌گیری کرد که در اینجا به دلیل حضور همزمان کانی‌های مختلف سولفیدی در محیط، دامنه پتانسیل آبرانی یا آبپذیری کانی‌های مس تغییر کرده است. لازم به ذکر است که برخی از پارامترهای عملیاتی از جمله خصوصیات بار ورودی، درصد جامد پالپ و دور رتور، چون ثابت بوده است در آزمایش‌ها ذکر نشده‌اند. همچنین در تمام جداول در ستون مربوط به محصول F به معنی خوراک یا بار ورودی، C به معنی کنسانتره و T به معنی باطله آزمایش می‌باشد. شماره ذکر شده در کنار هر محصول نیز شماره نمونه ارسالی به آزمایشگاه می‌باشد. در ستون مربوط به سولفیدسدیم مصرفی، ۰.۲۵٪ مصرف مدار به این معنی است که مقدار سولفید سدیم مصرفی در این آزمایش ۰.۲۵٪ مصرف مدار فرآوری مولیبدن در مجتمع مس سرچشمۀ می‌باشد ذکر موارد ذیل در خصوص داده‌های مندرج در جداول و منحنی‌های ارائه شده ضروری می‌باشد. ذکر بعضی از اطلاعات مندرج در جداول ممکن است تکراری باشد. این به خاطر یکنواخت و همشکل بودن جداول می‌باشد. همچنین منحنی‌های رسم شده روند تغییرات را نشان می‌دهد و ممکن است دقیقاً بر داده‌های مندرج در جداول منطبق نباشند. در خصوص اینکه موضوع بحث بازداشت کانی‌های مس می‌باشد در حالیکه در جداول مقدار بازیابی آورده شده است، نیز لازم به توضیح است که در تمام جداول مقدار رهیافت مس به باطله که همان بازیابی مس در باطله می‌باشد به عنوان شاخص بازداشت در نظر گرفته شده است.

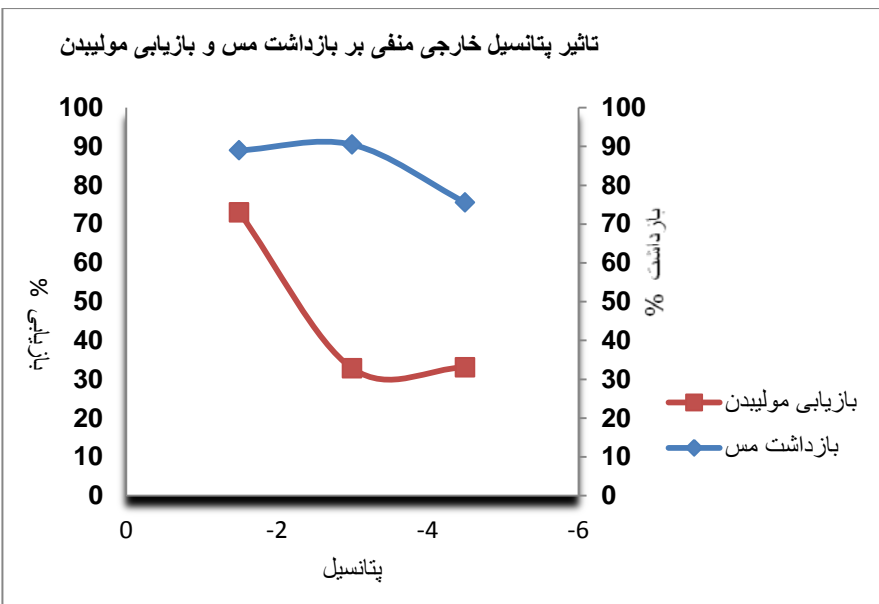
همانگونه که در جدول و شکل ۱-۶ نشان داده شده است، در بعضی از آزمایش‌ها با اینکه مقدار بازداشت مس بالاست ولی به دلیل رهیافت مولیبدن به باطله نتایج مطلوب نبوده است. بهترین نتایج در آزمایش T048 بدست

آمده است. چون بازیابی مولیبدن در کنسانتره حدود ۷۳٪ و رهیافت مس در باطله حدود ۷۶٪ می باشد. در این آزمایش مقدار پتانسیل اعمالی ۱/۵ ولت می باشد. پتانسیل پالپ در این آزمایش ۵۶- میلی ولت و pH محیط ۲-۶ بوده است. ناگفته پیداست که این شرایط شرایط بهینه نمی باشد. نتایج مندرج در جدول و شکل ۱/۴۱ بیانگر این است که در حضور سولفیدسیدیم بهترین نتیجه در شرایطی بدست می آید که پتانسیل اعمالی ۳- ولت باشد. در این شرایط پتانسیل پالپ ۵۷۲- میلی ولت و pH برابر ۱۲/۲ بوده است. رهیافت مس در باطله (بازداشت مس) ۹۹٪ و بازیابی مولیبدن ۶۵٪ می باشد.

جدول ۱-۶- تاثیر مقدار پتانسیل خارجی(پتانسیل منفی) بر بازداشت کانی های مس و بازیابی مولیبدن در غیاب سولفیدسیدیم

بازیابی٪		عيار٪				وزن(گرم)	محصول	الکترود مورد استفاده	پتانسیل اعمالی	شماره آزمایش
Cu	Mo	Cu	Mo	CuO	Fe					
100.0	100.00	28.63	0.609	-	26.78	750.0	F 6213	الکترود کار گرافیتی الکترود کمکی گرافیتی الکترود مرجع Ag/AgCl	-4.5v	T045 Eh= -72 pH=11.68
13.02	33.07	33.27	1.798	0.73	24.19	84.0	C 6214		-3.0v	T046 Eh= -70 pH=11.98
86.98	66.93	27.96	0.459	0.62	26.93	666.0	T 6215		-3.0v	T047 Eh= -80 pH=12.04
100.0	100.00	28.63	0.609	-	26.78	750.0	F		-1.5v	T048 Eh= -56 pH=11.41
9.55	32.81	33.17	2.425	0.68	22.28	61.8	C 6216			
90.45	67.19	28.15	0.446	0.61	26.72	688.2	T 6217			
100.0	100.00	28.30	0.593	0.57	26.32	750.0	F 6218			
26.50	50.32	32.21	1.282	0.65	24.65	174.6	C 6219			
73.50	49.68	27.02	0.384	0.51	27.03	575.4	T 6220			
100.0	100.00	27.39	0.568	0.56	26.80	750.0	F 6221			
24.36	72.99	28.70	1.785	0.78	23.25	174.2	C 6222			
75.54	27.01	26.95	0.200	0.55	27.55	575.8	T 6223			

در صدام = ۲۰ دور رتور = ۱۰۰۰ RPM- کفساژ = ۱۵ گرم بر تن- MIBC- کلکتور مولیبدن = ۳ گرم بر تن گازویل- درجه حرارت پالپ = ۳۲°C- هوای مصرفی = نیتروژن آهک = ۴ کیلوگرم بر تن



شکل ۶-۱- بازداشت مس و بازیابی مولیبدن در پتانسیل های منفی در غیاب سولفیدسدیم

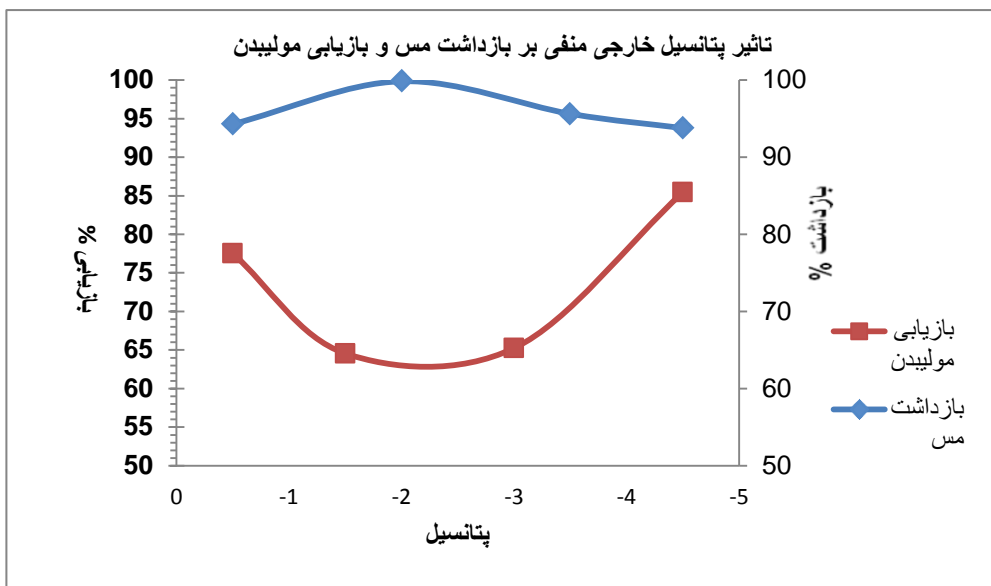
در این سری از آزمایش ها همزمان با اعمال پتانسیل خارجی از مقدار کمی سولفیدسدیم (۰.۲۵٪ مقدار مورد مصرف در مدار فرآوری مولیبدن در مجتمع سرچشمہ) به عنوان خنثی کننده کلکتور جذب شده در مرحله فرآوری تجمعی کنسانتره مس مولیبدن استفاده شده است.

جدول ۶-۲- تاثیر مقدار پتانسیل خارجی(پتانسیل منفی) بر بازداشت کانی های مس و بازیابی مولیبدن در حضور سولفیدسدیم

بازیابی /%		عیار /%				وزن (گرم)	محصول	سولفیدسدیم صرفی	پتانسیل اعمالی	شماره آزمایش
Cu	Mo	Cu	Mo	CuO	Fe					
100.00	100.00	27.77	0.577	0.63	26.70	750.0	F 6224	12gr (۰.۲۵٪ مصرف مدار)	-1.5v	T049
4.38	64.56	27.31	8.365	0.83	21.62	33.4	C 6225			Eh= -370
95.62	35.44	27.79	0.214	0.56	26.77	716.6	T 6226			pH=11.75
100.00	100.00	26.38	0.564	0.51	25.66	750	F 6227	12gr (۰.۲۵٪ مصرف مدار)	-3.0v	T050
10.63	65.24	24.14	6.65	0.94	21.30	41.5	C 6228			Eh=-572
89.37	34.76	27.88	0.325	0.54	26.95	708.5	T 6229			pH=12.12
100.00	100.00	28.04	0.582	0.50	26.76	750.0	F 6230	12gr (۰.۲۵٪ مصرف مدار)	-4.5v	T051
5.71	85.44	23.18	7.20	0.91	21.74	51.8	C 6231			Eh=-564
94.29	14.56	28.40	0.091	0.56	26.72	698.2	T 6232			pH=11.76
100.00	100.00	28.71	0.613	0.53	26.78	750.0	F 6233	12gr (۰.۲۵٪ مصرف مدار)	-0.5v	T052
6.23	77.53	24.62	6.54	0.80	20.83	54.5	C 6234			Eh=-565
93.77	22.47	28.62	0.146	0.52	27.26	705.5	T 6235			pH=11.64

درصد جامد = ۲- دور رتور = ۱۰۰۰ RPM- کفساز = ۱۵ گرم بر تن- MIBC- کلکتور مولیبدن = ۳۰ گرم بر تن- گازوبیتل- درجه حرارت پالپ = ۷۳- هوای مصرفی = نیتروژن- آهک = ۴- کیلو گرم بر تن

ذکر این نکته لازم است که در اینجا منظور از مس همان کالکوپیریت است، چون در نمونه های مورد آزمایش بیش از ۹۰٪ کانی ها مس کالکوپیریت می باشد. به همین دلیل منظور از ، بازداشت مس بازداشت کالکوپیریت می باشد. مقایسه نتایج همچنین بیانگر این است که مقدار کمی سولفیدسدیم (در حد ۰.۲۵٪ مصرف کارخانه) باعث بهبود چشمگیر نتایج شده است.



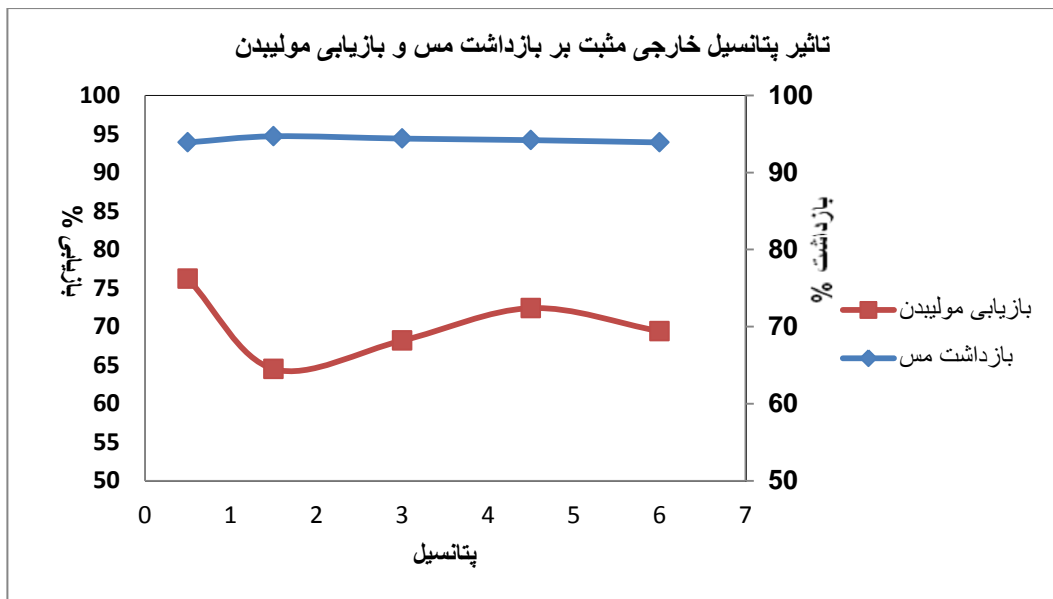
شکل ۶-۲- بازداشت مس و بازیابی مولیبدن در پتانسیل های منفی در حضور سولفیدسدیم

همانگونه که ملاحظه می‌گردد هرچند نتایج اعمال پتانسیل در حضور سولفیدسدیم رضایت‌بخش‌تر است، اما آزمایش‌ها در غیاب سولفیدسدیم با تنظیم پتانسیل پالپ با استفاده از اعمال پتانسیل خارجی نیز به نتایج قابل قبولی رسیده است. برای مثال در آزمایش T046 بدون استفاده از سولفید سدیم بیش از ۹۰٪ کانی‌های مس بازداشت شده‌اند. این نتایج نشان دهنده این واقعیت است که با بهینه‌سازی پارامترهای موثر در مقیاس آزمایشگاهی می‌توان به امکان‌سنجی فرآیند فلوتاسیون الکتروشیمیایی با کنترل پتانسیل پالپ با اعمال پتانسیل خارجی امیدوار بود و پس از آن با به مقیاس رسانی نتایج برای استفاده در مقیاس صنعتی تلاش نمود.

جدول ۶-۳- تأثیر مقدار پتانسیل خارجی مثبت بر بازداشت کانی‌های مس و بازیابی مولیبدن در غیاب سولفیدسدیم

بازیابی٪		عيار٪				وزن(گرم)	محصول	الکترود مورد استفاده	پتانسیل اعمالی	شماره آزمایش
Cu	Mo	Cu	Mo	CuO	Fe					
100.0	100.0	28.22	0.616	0.60	26.76	750.0	F 6280	صفحه گرافیتی	+6.0v	T068
6.1	69.4	27.80	6.925	1.26	19.55	46.3	C 6281		Eh=+277	pH=7.17
93.9	30.6	28.24	0.201	0.57	27.32	703.7	T 6282			
100.0	100.0	27.65	0.582	0.63	26.66	750.0	F 6283	صفحه گرافیتی	+4.5v	T069
5.8	72.4	27.22	7.13	1.42	19.43	44.3	C 6284		Eh=+276	pH=7.54
94.2	27.6	27.68	0.171	0.60	27.05	705.7	T 6285			
100.0	100.0	27.85	0.592	0.62	26.71	750.0	F 6286	صفحه گرافیتی	+3.0v	T070
5.6	68.2	26.26	6.76	1.41	19.80	44.8	C 6287		Eh=+257	pH=7.33
94.4	31.8	27.96	0.200	0.61	25.58	705.2	T 6288			
100.0	100.0	27.77	0.583	0.63	26.80	750.0	F 6289	صفحه گرافیتی	+1.5v	T071
5.3	64.5	27.92	7.09	1.42	19.52	39.8	C 6290		Eh=+286	pH=7.73
94.7	5.5	27.77	0.246	0.58	25.55	710.2	T 6291			
100.0	100.0	27.66	0.581	0.66	26.83	750.0	F 6292	صفحه گرافیتی	+0.5v	T072
6.1	76.2	27.40	7.19	1.40	19.46	46.2	C 6293		Eh=+263	pH=7.54
93.9	23.8	27.67	0.147	1.42	27.24	703.8	T 6294			

در صد جامد = ۲۰ دور رتور = ۱۵۰ RPM - کفساژ = ۱۵ کرم بر تن - MIBC - کلکتور مولیبدن = ۳۰ گرم بر تن - گازوینل - درجه حرارت پالپ = ۲۳°C - هوای مصفری نیتروزن - آهک = ۴ کیلوگرم بر تن



شکل ۶-۳- بازداشت مس و بازیابی مولیبدن در پتانسیل‌های مثبت در غیاب سولفیدسدیم

چنانچه ملاحظه می‌گردد بیشترین بازداشت مس در این سری از آزمایش‌ها یعنی T068 تا T072 در پتانسیل ۰/۵ ولت اتفاق افتاده است. اما در یک فرآیند موفق باید بازیابی مولیبدن در کنسانتره را هم در نظر گرفت. بنابراین از این نقطه نظر بهترین شرایط زمانی است که بازیابی مولیبدن در کنسانتره و بازیابی مس در باطله بیشترین مقدار باشد. لذا در شرایطی که پتانسیل اعمالی بر روی الکترود کار ۰/۵ ولت و در نتیجه آن پتانسیل پالپ برابر $7/45$ pH باشد نتیجه آزمایش بهترین است. این نتیجه با نتایج تحقیقات گذشته نیز مطابقت می‌کند.

۶-۳-۶- بررسی اثر درصد جامد بر بازداشت کانی‌های مس

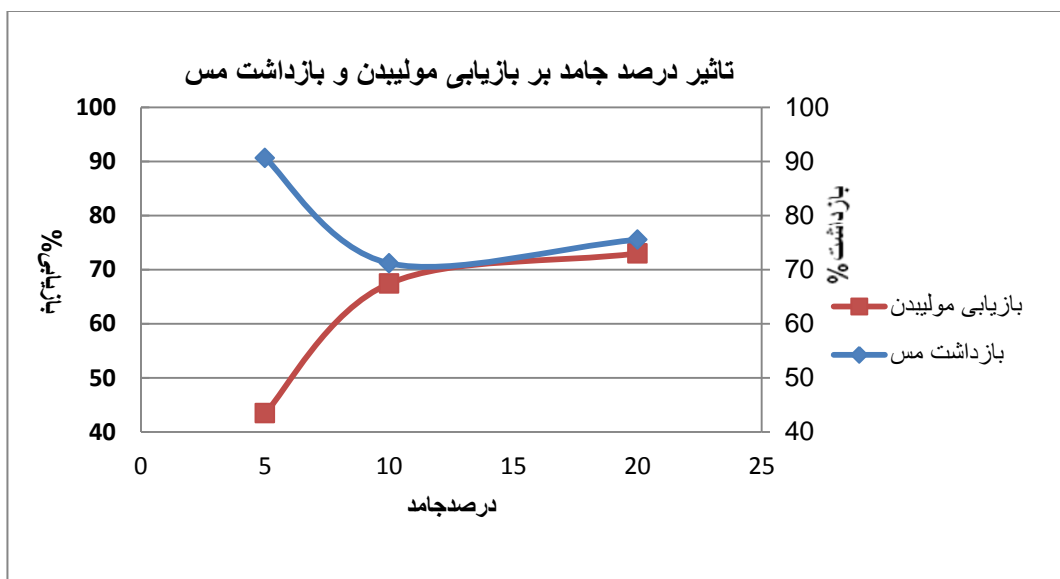
موفقیت فرآیند فلوتاسیون الکتروشیمیایی با کنترل پتانسیل پالپ با اعمال پتانسیل خارجی به مقدار زیادی تابع مقدار جریان در داخل محیط پالپ می‌باشد. تمام عواملی که براین پارامتر اثر مثبت داشته باشد می‌تواند بر نتایج فرآیند فلوتاسیون الکتروشیمیایی با کنترل پتانسیل پالپ با اعمال پتانسیل خارجی نیز نتیجه مثبت داشته باشد. یکی از این عوامل درصد جامد پالپ می‌باشد. نتایج بررسی اثر درصد جامد بر فرآیند فلوتاسیون الکتروشیمیایی با کنترل پتانسیل پالپ با اعمال پتانسیل خارجی در جدول ۴-۶ و شکل ۴-۶ درج شده است. این نتایج نشان دهنده این است که با کاهش درصد جامد اثر بازدارندگی پتانسیل خارجی بر بازداشت کانی‌های مس افزایش می‌یابد. دلیل اصلی آن هم این است که با کاهش درصد جامد ضریب نفوذ جریان الکتریکی در محیط پالپ افزایش می‌یابد. همچنین با کاهش درصد جامد در پالپ بازیابی مولیبدن کاهش می‌یابد. دلیل اصلی این مسئله نیز خاصیت آبرانی طبیعی مولیبدن می‌باشد.

جدول ۴-۶- تاثیر درصد جامد بر بازداشت کانی‌های مس و بازیابی مولیبدن در غیاب سولفور سدیم

بازیابی٪		عيار٪					وزن(گرم)	محصول	سولفیدسدیم	پتانسیل	شماره آزمایش
Cu	Mo	Cu	Mo	CuO	Fe	صرفی اعمالی					
۷۰	۱۰	۷۰	۱۰	۱۰	۱۰	۱۰	۲۰	۲۰	۲۰	۰/۵	۱

100.00	100.00	28.51	0.616	-	26.62	200.0	F 6236	بدون سولفور P.D.=5%	-1.5v	T053 Eh= -63 pH=11.67
9.39	43.43	30.60	3.057	-	20.42	17.5	C 6237			
90.61	56.57	28.30	0.382	0.54	26.66	182.5	T 6238			
100.00	100.00	28.55	0.607	0.56	26.85	400.0	F 6239	بدون سولفور P.D.=10%	-1.5v	T054 Eh= -64 pH=11.45
28.84	67.43	27.02	1.352	0.65	24.52	121.1	C 6240			
71.16	32.57	29.14	0.286	0.51	27.18	278.9	T 6241			
100.00	100.00	28.47	0.598	0.58	26.86	550.0	F 6242	بدون سولفور P.D.=15%	-1.5v	T055 Eh= -54 pH=11.75
16.15	50.27	26.95	1.746	0.68	24.01	94.7	C 6243			
83.25	49.73	29.11	0.359	0.52	27.62	455.3	T 6244			
100.00	100.00	27.39	0.568	0.36	26.80	750.0	F 6221	بدون سولفور P.D.=20%	-1.5v	T048 Eh= -56 pH=11.41
24.36	72.99	28.70	1.785	0.53	23.25	174.2	C 6222			
75.54	27.01	26.95	0.200	0.36	27.55	575.8	T 6223			

* درصد جامد = ۲۰ دور رتور = ۱۰۰۰ RPM - کفساژ = ۱۵۷ گرم بر تن - MIBC - کلکتور مولیبden = ۳۰ گرم بر تن گازوبیل - آهک = ۴ کیلوگرم بر تن
PD=Pulp Density



شکل ۴-۶- تاثیر درصد جامد بر بازداشت و بازیابی مولیبden

۶-۳-۳-۶- اثر غشای تراوای یونی بر بازداشت کانی های مس

در سلول فلوتاسیون الکتروشیمیایی طراحی شده ارتباط بخش الکتروولیتی و فلوتاسیون به توسط غشای تراوای یونی انجام می شود. در این تحقیق از صفحات سرامیکی به عنوان غشای تراوای یونی استفاده شد. در سلول اولیه این غشا به صورت دریچه هایی به قطر ۳ سانتیمتر در نظر گرفته شده بود. بر اساس بررسی های به عمل آمده و

براساس نتایج آزمایش‌ها مشخص شد که این دریچه‌ها کارایی لازم را نداشته و مقدار جریان مابین بخش الکتروولیتی و فلوتاسیون کم می‌باشد. بنابراین در سلول جدید این دریچه‌ها با یک صفحه کامل تعویض گردید. برای بررسی اثر این غشا بر جریان، آزمایش ساده‌ای ترتیب داده شد. به‌این صورت که پس از آماده‌سازی سلول فلوتاسیون الکتروشیمیایی و اعمال پتانسیل روی الکترود کار و برقراری جریان، الکترود Eh در داخل بخش فلوتاسیون حرکت داده شد. زمانیکه الکترود به غشای تراوای یونی نزدیک می‌شد پتانسیل به مقادیر پیش‌بینی‌شده نزدیک می‌گردید و زمانیکه از این غشا دور می‌شد پتانسیل به‌طور ناگهانی افزایش می‌یافت (آزمایش‌ها در پتانسیل‌های منفی انجام می‌شد). این آزمایش در هر دو حالت یعنی در سلول با غشای به قطر ۳ سانتی‌متر و در سلول با صفحه جداگانه سرامیکی انجام گردید. در سلول با غشای به قطر ۳ سانتی‌متر نوسانات بسیار شدید بود، درحالیکه در سلول با دیواره سرامیکی (به عنوان غشای تراوای یونی) این نوسانات بسیار کم بود.

۶-۳-۴- بررسی اثر افزایش نمک بر بازداشت کانی‌های مس

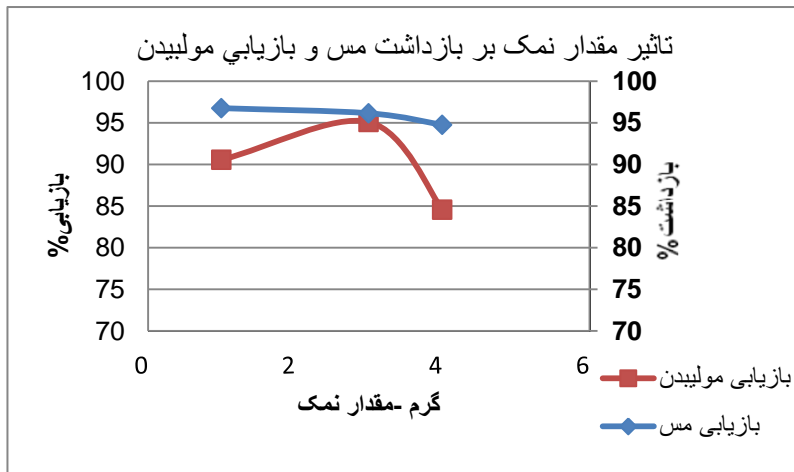
هدايت الکتریکی آب مصرفی در مدار فرآوری مولیبدن در مجتمع مس سرچشمه در حدود ۱۵۰۰ میلی زیمنس بر سانتی‌متر می‌باشد. افزایش ۱ تا ۴ گرم نمک طعم (NaCl) هدايت الکتریکی آب را تا حدود چهار برابر افزایش می‌دهد. این درحالیست که افزایش نمک هیچ اثر منفی هم بر سایر پارامترهای الکتروشیمیایی پالپ نمی‌گذارد. هرچند افزایش نمک در حضور سولفید سدیم تاثیر معناداری بر افزایش بازداشت کالکوپیریت و کانی‌های مس نمی‌گذارد ولی در غیاب سولفید سدیم افزایش نمک تاثیر گذارتر است. نتایج افزایش نمک بر نتایج فلوتاسیون الکتروشیمیایی با کنترل پتانسیل پالپ با اعمال پتانسیل خارجی در جدول ۵-۶ و شکل ۵-۶ درج شده است.

جدول ۵-۶- تاثیر افزایش نمک بر بازداشت کانی‌های مس و بازیابی مولیبدن در حضور سولفید سدیم

٪ بازیابی		٪ عیار				وزن (گرم)	محصول	نمک مصرفی	پتانسیل اعمالی	شماره آزمایش
Cu	Mo	Cu	Mo	CuO	Fe					
100.00	100.00	30.10	0.578	0.36	26.66	750.0	F 6245	1grNaCl	-1.5v	T056 Eh= -552 pH=12.05
3.22	90.58	24.63	13.31	0.52	16.63	29.5	C 6246			
96.78	9.42	30.32	0.058	0.36	27.14	720.5	T 6247			
100.00	100.00	30.10	0.578	0.36	26.66	750.0	F 6248	2grNaCl	-1.5v	T057 Eh= -500 pH=12.05
3.70	86.83	29.50	13.30	0.53	18.16	28.3	C 6249			
96.30	13.17	30.12	0.079	0.36	27.12	721.7	T 6250			
100.00	100.00	30.10	0.601	0.33	26.79	750.0	F 6251	3grNaCl	-1.5v	T058 Eh= -520 pH=12.07
3.83	95.11	26.53	13.15	0.53	19.41	32.6	C 6252			
96.17	4.89	30.26	0.031	0.33	26.73	717.4	T			

100.00	100.00	30.10	0.601	0.33	26.79	750.0	F	6253	4grNaCl	-1.5v	T059
5.24	84.58	21.67	6.980	0.98	18.67	54.6	C	6254			Eh= -544
94.76	11.42	27.40	0.074	0.50	30.81	695.4	T	6255			pH=12.21

در صد جامد = ۲۰ دور رتور = ۱۰۰۰ RPM - کفسار = ۱۵ گرم بر تن - MIBC - کلکتور مولیبدن = ۳ گرم بر تن گازوییل - درجه حرارت پالپ = ۲۳°C - هوای مصرفی = نیتروژن - آهک = ۴ کیلوگرم بر تن



شکل ۵-۶- تاثیر مقدار نمک بر بازداشت مس و بازیابی مولبیدن

۶-۳-۵- بررسی اثر نوع الکتروود بر بازداشت کانی های مس

الکتروودها به طور مستقیم در واکنش های الکتروشیمیایی نقش ندارند ولی اگر فرآیندهای الکتروشیمیایی را یک سیستم ترمودینامیکی درنظر بگیریم، الکتروودها هم می توانند واسطه اعمال انرژی به سیستم و هم به عنوان یک حسگر نشان دهنده وضعیت تعادل ترمودینامیکی سیستم باشند. اگر در نظر باشد که یک پتانسیل خارجی به سلول فلوتاسیون الکتروشیمیایی اعمال گردد، معمولاً این کار توسط الکتروود انجام می شود. محل قرارگیری، شکل و جنس الکتروودها از جمله عواملی است که بر عملکرد ترمودینامیکی والکتروشیمیایی سیستم های در دست مطالعه تاثیرگذار است. شکل الکتروودها یک عامل بسیار مهم در اندازه گیری Eh می باشد. بر اساس شکل الکتروودها مقادیر اندازه گیری شده و پتانسیل اکسیداسیون احیاء محلول (پالپ در فلوتاسیون الکتروشیمیایی) به سطح ذرات شناور نسبت داده می شود. زمانی که واسطه پایش محلول باشد تاثیر شکل الکتروود بر مقادیر Eh اندازه گیری شده ناچیز است. ناتراجان و ایواساکی^{۱۲۸} در سال ۱۹۷۰ گزارش کرده اند که شکل الکتروود بر مقادیر پتانسیل اکسیداسیون احیاء اندازه گیری شده در محلول تاثیر ندارد. نتایج مربوط به مطالعات با هر سه نوع الکتروود دیسکی، سوزنی و کروی مشابه و یکسان بوده است. زمانی که واسطه پایش پالپ باشد، مقادیر Eh اندازه گیری شده از شکل الکتروود تاثیر می پذیرد. چاندر در سال ۲۰۰۰ گزارش کرده است که الکتروودی که احتمال برخورد ذرات با آن بیشتر است مقادیر پتانسیل نزدیکتری را به پتانسیل سطح ذره نشان می دهد. در

¹²⁸ Natarajan and Iwasaki

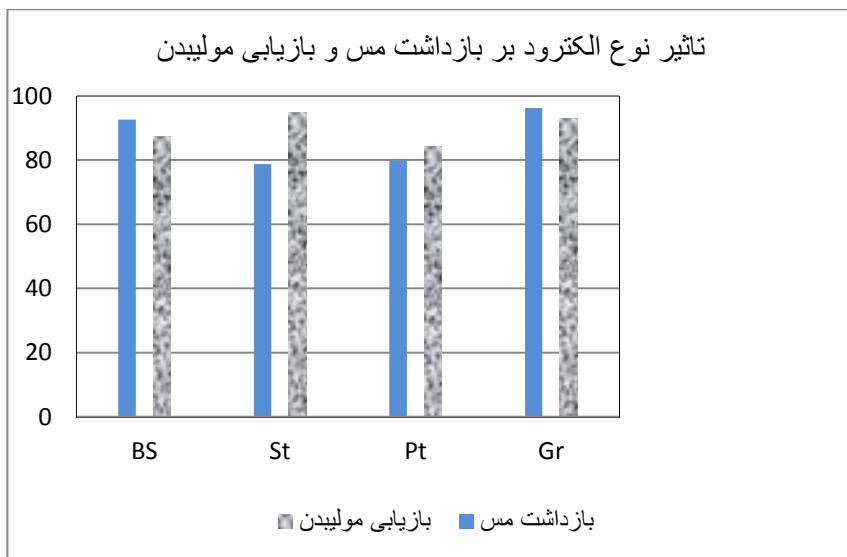
مطالعات ولتامتری و آمپرمتری شکل الکترودها تاثیر بسیار زیادی بر نتایج دارد. زیرا مقدار جریان علی‌الخصوص در مطالعات فلوتاسیون الکتروشیمیایی با اعمال پتانسیل خارجی تابع سطح مقطع الکترود می‌باشد. در این تحقیق درآزمایش‌های فلوتاسیون الکتروشیمیایی با اعمال پتانسیل خارجی در مجتمع مس سرچشمه این مسئله مورد بررسی قرار گرفته و اثبات شده است. اساساً دو روش عمدۀ برای تنظیم و کنترل پتانسیل پالپ در سیستم‌های فلوتاسیون الکتروشیمیایی وجود دارد. در روش اول تنظیم پتانسیل پالپ با اضافه کردن مواد شیمیایی انجام می‌شود. مثال بارز این روش تنظیم پتانسیل پالپ در خط فرآوری مولیبدنیت برای بازداشت کانی‌های مس و دستیابی به محصول پرعیار مولیبden می‌باشد. اینکار هم اکنون در مجتمع مس سرچشمه با اضافه کردن سولفور سدیم و یک سری مواد شیمیایی دیگر در واحد مولیبden آن مجتمع انجام می‌شود. در حقیقت با کنترل پتانسیل پالپ می‌توان مصرف مواد شیمیایی را برای رسیدن به بهترین عیار با بالاترین بازیابی بهینه نمود. در روش دوم برای تنظیم پتانسیل پالپ از اعمال پتانسیل خارجی استفاده می‌شود. در مقیاس آزمایشگاهی این کار با استفاده از یک دستگاه پتانسیواستات انجام می‌شود. روش اعمال پتانسیل خارجی هرچند هنوز کاربرد صنعتی پیدا نکرده است ولی به طور گسترده در مقیاس آزمایشگاهی و به صورت تحقیقاتی در دست بررسی می‌باشد. در تحقیق حاضر این روش در مجتمع مس سرچشمه برای بازداشت کانی‌های مس در کنسانتره تجمعی مس مولیبden به روش فلوتاسیون الکتروشیمیایی مورد استفاده قرار گرفته است. در روش کنترل پتانسیل پالپ با اعمال پتانسیل خارجی فعل افعال و واکنش‌های اکسیداسیون احیاء در محیط پالپ کنترل و به سمت دلخواه یعنی به سمت تشکیل مواد آبدوست یا آبران هدایت می‌گردد تا با رسوب این مواد بر روی سطح کانی‌های مورد نظر آنها را بازداشت یا شناور نمایند. (در حقیقت این مواد نقش کلکتور را به عهده می‌گیرند). کنترل پتانسیل در این روش با استفاده از الکترودهای کار و کمکی انجام می‌شود. خصوصیات الکترودهای کار که معمولاً پتانسیل روی آنها اعمال می‌گردد باید به گونه‌ای باشد که امکان نفوذ و گسترش جریان و در نتیجه پتانسیل در سراسر محیط پالپ فراهم گردد. مناسبترین الکترودها برای این کار از نظر جنس، الکترودهای فلزات نجیب و علی‌الخصوص پلاتین می‌باشد البته از الکترودهای گرافیتی هم می‌توان استفاده کرد. علی‌الخصوص اگر ملاحظات اقتصادی را در نظر بگیریم برای کار در مقیاس صنعتی الکترودهای گرافیتی ارجح‌ترند. برای افزایش مقدار جریان، شکل الکترودها باید صفحه‌ای باشد تا احتمال برخورد ذرات کانی با ان به حداقل ممکن برسد. در این پژوهش از الکترودهای پلاتین و صفحات استیل و صفحات گرافیتی استفاده شده است. نتایج حاصل از آزمایش با هر یک از این الکترودها در جدول ۶-۶ و ۷-۶ و اشکال ۶-۷ درج شده است.

جدول ۶-۶- تاثیر جنس الکترود بر بازداشت کانی‌های مس و بازیابی مولیبden در حضور سولفید سدیم

بازیابی٪		عیار٪						محصول	نوع الکترود	سولفید سدیم مصرفی	پتانسیل اعمالی	شماره آزمایش
Cu	Mo	Cu	Mo	CuO	Fe							
100.0	100.0	27.09	0.585	0.58	26.39	750.0	F 6256	6gr	-3.0v	T060		
7.02	96.15	21.98	6.50	0.78	20.74	64.9	C 6257					

92.98	3.85	27.57	0.025	0.44	26.59	685.1	T 6258	صفه گرافیتی		Eh= -452 pH=11.67
100.0	100.0	27.35	0.589	0.60	26.43	750.0	F 6259	پلاتین تیغه ای	-3.0v	T061 Eh= -458 pH=11.45
15.87	79.80	27.61	2.99	0.74	25.42	117.9	C 6260			
84.13	20.20	27.30	0.141	0.48	26.93	632.1	T 6261			
100.0	100.0	27.37	0.574	0.53	26.60	750.0	F 6262			
5.12	78.73	22.97	7.400	0.81	21.35	45.8	C 6263	صفه استیل	-3.0v	T062 Eh= -512 pH=11.75
94.88	21.27	27.66	0.130	0.45	26.64	704.2	T 6264			
100.0	100.0	27.85	0.607	0.50	26.61	750.0	F 6265	6gr بدنه سلول رنور استاتور	-3.0v	T063 Eh= -572 pH=11.41
12.70	92.58	23.64	3.75	0.75	23.60	112.4	C 6266			
87.3	7.42	28.60	0.203	0.45	26.77	637.6	T 6267			

درصد جامد = ۲۰ دور رنور = ۱۵ گرم بر تن - کفساژ = ۱۵ گرم بر تن - MIBC - کلکتور مولیبden = ۳۰ گرم بر تن گازویل - درجه حرارت پالپ = ۲۲°C - هوای مصرفی = نیتروژن - آهک = ۴ کیلوگرم بر تن



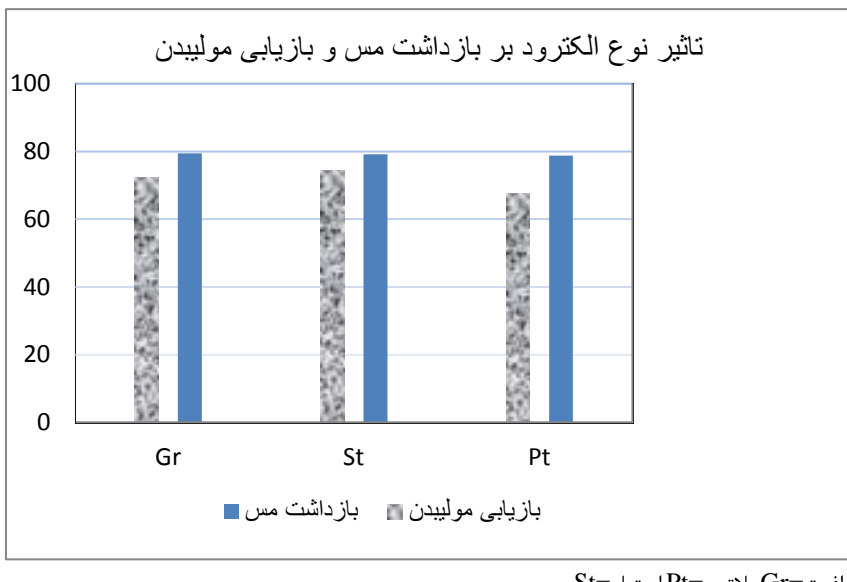
BS=پلاتین،St=استیل,Pt=رنور استاتور و بدنه سلول،Gr=گرافیت

شکل ۶-۶- تاثیر نوع الکترود بر بازداشت مس و بازیابی مولیبden در حضور سولفید سدیم

جدول ۶-۷- تاثیر جنس الکترود بر بازداشت کانی های مس و بازیابی مولیبden در غیاب سولفید سدیم

بازیابی٪		عیار٪				محصول	جنس و نوع الکترود	پتانسیل اعمالی	شماره آزمایش	
Cu	Mo	Cu	Mo	CuO	Fe					
100.0	100.0	26.67	0.623	0.52	28.12	750.0	F 6268	پلاتین تیغه ای	-3.0v	T064 Eh= -55 pH=11.91
21.21	67.63	24.84	1.850	0.58	27.19	170.8	C 6269			
78.79	32.37	27.01	0.261	0.56	26.97	579.2	T 6270			
100.0	100.0	26.82	0.575	0.52	27.42	750.0	F 6271			
20.91	74.42	22.28	1.70	0.59	24.78	188.8	C 6272	صفه استیل	-3.0v	T065 Eh= -46 pH=11.70
79.09	25.58	27.01	0.196	0.57	26.47	561.2	T 6273			
100.0	100.0	26.53	0.584	0.54	27.29	750.0	F 6274			
20.61	72.36	24.34	1.881	0.75	28.03	168.5	C 6275	صفه گرافیتی	-3.0v	T066 Eh= -75 pH= 11.75
79.39	23.64	27.32	0.178	0.56	26.07	581.5	T 6276			

درصد جامد = ۲۰ دور رنور = ۱۵ گرم بر تن - کفساژ = ۱۵ گرم بر تن - MIBC - کلکتور مولیبden = ۳۰ گرم بر تن گازویل - درجه حرارت پالپ = ۲۲°C - هوای مصرفی = نیتروژن - آهک = ۴ کیلوگرم بر تن



گرافیت=پلاتین، Pt=استیل، St=پلاتین

شکل ۶-۷- تأثیر نوع الکترود بر بازداشت مس و بازیابی مولیبدن در غیاب سولفیدسدهیم

نتایج مندرج در جداول ۶-۶ و ۶-۷ نشان میدهد که بازیابی مولیبدن و بازداشت مس با الکترودهای گرافیتی ارقام بالاتری را نشان می‌دهد. همانگونه که ملاحظه می‌شود، در حضور سولفیدسدهیم بالاترین راندمان مربوط به الکترود گرافیتی است که در آزمایش با آن بازیابی مولیبدن ۹۶٪ و بازداشت مس ۹۳٪ بوده است. این اعداد برای الکترود پلاتین به ترتیب برابر ۸۰٪ و ۸۴٪ و برای الکترود استیلی به ترتیب برابر ۷۸٪ و ۹۴٪ بوده است. ذکر این نکته لازم است که پایین بودن راندمان الکترود پلاتین شاید به ابعاد آن مربوط باشد. چرا که ابعاد الکترود گرافیتی 8×8 سانتیمتر بوده و لی ابعاد الکترود پلاتین 8×8 میلیمتر بوده است. هرچند ممکن است استفاده از الکترودهای پلاتینی نتایج بهتر و قابل قبولتری را ارائه کنند ولی اگر ملاحظات اقتصادی را در نظر بگیریم الکترودهای گرافیتی با توجه به کارایی و قیمت نسبت به الکترودهای پلاتینی مناسبتر است. ایده استفاده از بدنه سلول و رتور نیز در آزمایشگاه مورد آزمایش قرار گرفت و نتایج خوبی داشته است. ارقام مربوط به بازیابی مولیبدن و بازداشت مس با این شیوه به ترتیب ۵۸٪/۹۲٪ و ۳/۸۷٪ بوده است. این ایده در صنعتی کردن فرضیه فلوتاسیون الکتروشیمیایی با اعمال پتانسیل خارجی می‌تواند مد نظر قرار گیرد. در غیاب سولفیدسدهیم نتایج اندکی متفاوت است. اما باز هم راندمان الکترودهای گرافیتی بالاتر می‌باشد

۶-۳-۶- بررسی اثر مقدار سولفید سدهیم بر بازداشت کانی‌های مس

همانگونه که پیش از این نیز عنوان گردید بازداشت کانی های مس در مدار فراوری مولیبدن در مجتمع سرچشمی به طور معمول با استفاده از سولفیدسدیم انجام می شود. مصرف سولفید سدیم در حال حاضر ۶۴ کیلوگرم (۴۴ کیلوگرم سولفید سدیم مایع با اکتیویته ۱۶ که برابر ۱۶ کیلوگرم سولفید سدیم جامد با اکتیویته ۶۴ است) به ازاء هرتن خوراک و روادی می باشد. اعمال پتانسیل خارجی تاثیر بسیار زیادی بر مصرف سولفیدسدیم داشته است.

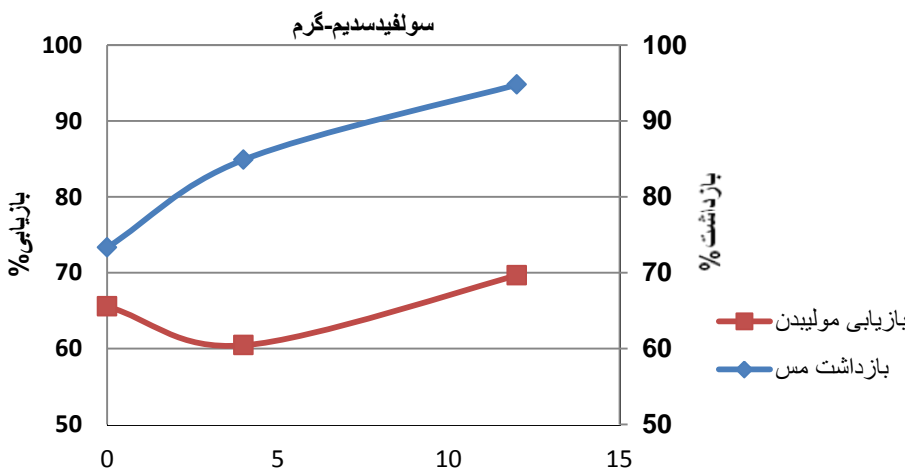
نتایج بررسی تاثیر پتانسیل خارجی بر مصرف سولفیدسدیم در جدول ۸-۶ و شکل ۸-۶ درج شده است.

جدول ۸-۶- تاثیر حضور سولفیدسدیم بر بازداشت کانی های مس و بازیابی مولیبدن

بازیابی٪		عيار٪					وزن(گرم)	محصول	سولفیدسدیم مصرفی	پتانسیل اعمالی	شماره آزمایش
Cu	Mo	Cu	Mo	CuO	Fe						
100.0	100.0	28.71	0.622		26.78	1000.0	F 6201	بدون سولفید	-6.0v	T041	
26.67	65.56	31.98	1.703	0.65	24.61	239.46	C 6202			Eh= -115 pH=12.49	
73.33	34.44	27.67	0.282	0.67	26.90	760.54	T 6203				
100.0	100.0	28.24	0.594	-	26.61	1000.0	F 6204	بدون سولفید	-6.0v	T042	
38.30	72.09	31.70	1.255	0.58	25.56	341.2	C 6205			Eh= -95 pH=12.00	
61.70	27.91	26.39	0.252	0.64	26.96	658.8	T 6206				
100.0	100.0	28.57	0.601	-	26.59	1000.0	F 6207	12gr	-6.0v	T043	
6.27	69.66	29.57	6.93	0.72	21.80	60.0	C 6208			Eh= -534 pH=12.19	
93.73	30.34	28.49	0.194	0.63	27.07	940.0	T 6209				
100.0	100.0	28.25	0.576	-	26.79	1000.0	F 6210	4gr	-6.0v	T044	
15.09	60.44	29.10	2.321	0.67	25.55	150.0	C 6211			Eh= -327 pH=11.87	
84.91	39.56	28.22	0.268	0.54	26.48	850.0	T 6212				

در صد جامد = ۲۰ دور رتور = ۱۰۰۰ RPM - کفسار = ۱۵ گرم بر تن - MIBC - کلکتور مولیبدن = ۳۰ گرم بر تن گازوبیتل - درجه حرارت پالپ = ۲۳°C - هوای مصرفی = نیتروژن - آهک = ۴ کیلوگرم بر تن

تأثیر مقدار سولفید سدیم بر بازداشت و مس و بازیابی مولیبدن



شکل ۸-۶- تاثیر مقدار سولفید سدیم بر بازداشت مس و بازیابی مولیبدن

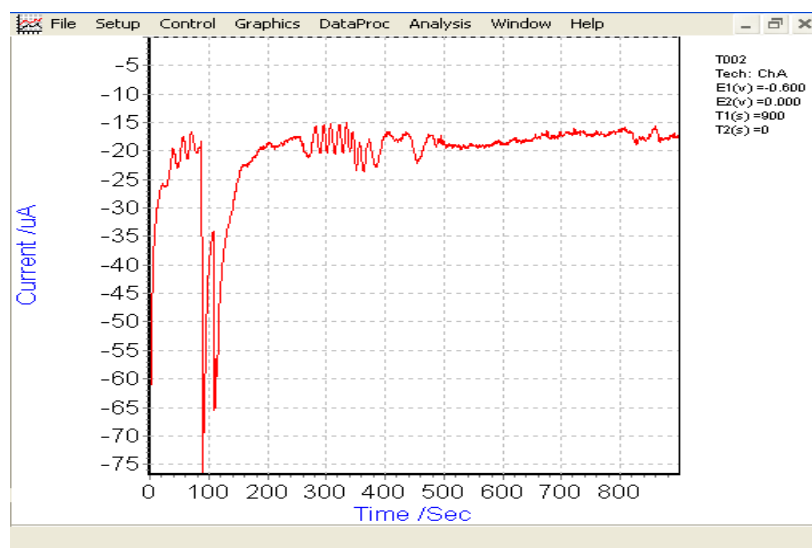
همانگونه که مشاهده می گردد با اعمال پتانسیل ۰/۶ ولت بر روی الکترود کار در حضور سولفیدسدیم با مقدار ۰/۲۵٪ مصرف کارخانه به نتایج رضایت‌بخشی منجر شده است. در حقیقت با اعمال پتانسیل خارجی مصرف سولفیدسدیم تا ۰/۲۵٪ مصرف کارخانه کاهش داده شده است. البته لازم به توضیح است که این نتایج اولیه و در

مقیاس آزمایشگاهی می‌باشد. برای بهینه کردن نتایج و به مقیاس رسانی در مقیاس صنعتی نیاز به مطالعات بیشتردارد. همانگونه که ملاحظه می‌گردد هرچند در آزمایش T041 با اعمال پتانسیل ۰/۶- ولت بروی الکترود- کار بدون حضور سولفیدسیدیم بازیابی مولیبden در کنسانتره بالای ۶۵٪ بوده و کانی‌های مس تا حدود ۷۴٪ بازداشت شده‌اند ولی با اضافه کردن مقدار کمی سولفیدسیدیم (تاحد کمتر از ۲۵٪ مصرف مدار فرآوری) نتایج تغییر کرده و بازیابی مولیبden به حدود ۷۰٪ رسیده و کانی‌های مس هم تا حدود ۹۵٪ بازداشت شده‌اند. البته این به این معنا نیست که امکان حذف ۱۰۰٪ موادشیمیایی وجود ندارد چون در آزمایش‌های بعدی با تغییر شرایط آزمایش مصرف سولفیدسیدیم تا حدود بسیار زیادی کاهش داده است. برای مثال در آزمایش T044 با مصرف ۴ گرم سولفیدسیدیم (برابر ۶/۶٪ مصرف مدار فرآوری) بازیابی مولیبden حدود ۶۰٪ بوده و کانی‌های مس هم حدود ۸۵٪ بازداشت شده‌اند.

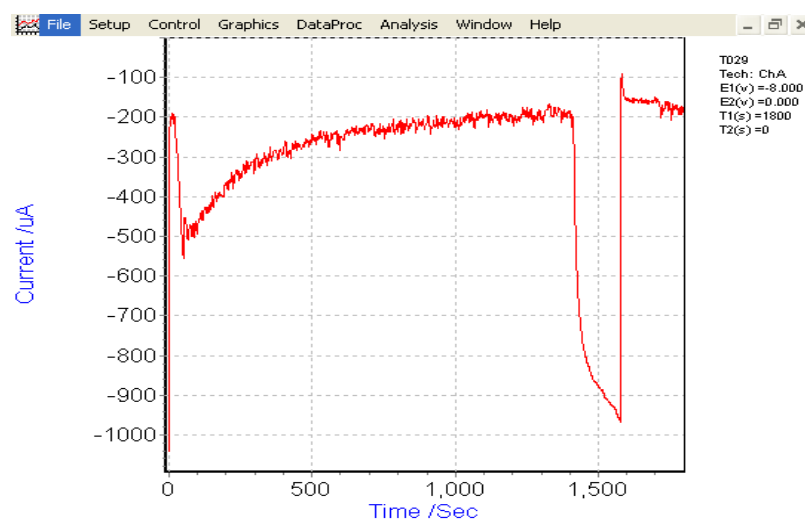
۴-۶- تفسیر منحنی‌های آمپرمترب

همانگونه که پیش از این عنوان شد، در این تحقیق برای بازداشت کانی‌های مس از کنسانتره تجمعی مس مولیبden از فلوتاسیون الکتروشیمیایی با کنترل پتانسیل پالپ با روش اعمال پتانسیل خارجی استفاده گردیده است. برای آنکه مقدار پتانسیل در طول آزمایش ثابت بماند، از روش آمپرمترب استفاده شده است. در این روش یک پتانسیل ثابت بر روی الکترود کار که با الکترود کمکی یا نشانگر یک مدار بسته را تشکیل می‌دهند، اعمال می‌گردد. با این کار، روند و نوع واکنش‌ها در جهت تشکیل موادی هدایت می‌شوند، که با نشستن بر روی سطح کانی‌های مس باعث آبرانی و نهایتاً بازداشت آنها در سلول فلوتاسیون الکتروشیمیایی می‌گردد. با توجه به اینکه پتانسیل اعمالی دارای یک مقدار ثابت می‌باشد با تغییر مقاومت الکتریکی محیط پالپ، (برای مثال با افزایش مقداری نمک به محیط پالپ) جریان تغییر می‌کند. بنابراین تغییرات جریان نسبت به زمان می‌تواند نشانگر نوع واکنش‌های اکسیداسیون احیایی باشد که در محیط پالپ اتفاق می‌افتد. در طی آزمایش-های انجام شده منحنی‌های تغییرات جریان نسبت به زمان ترسیم شده‌است. (این کار به صورت خودکار توسط نرم افزار انجام می‌شود). اشکال ۶-۱۱ تا ۶-۹ تعادلی از این نمودارها را نشان می‌دهد. همانگونه که در این منحنی‌ها مشاهده می‌شود روند نزولی و پیک‌های جریان بیانگر واکنش‌های اکسیدی یا احیایی می‌باشد در زمان‌هایی که تغییرات جریان نسبت به زمان ثابت است و منحنی به صورت یک خط صاف می‌باشد، نشان-دهنده تعادل الکتروشیمیایی در محیط پالپ است. برای نمونه منحنی آمپرمترب مربوط به آزمایش T029 که در شکل ۶-۱۰ نشان داده شده‌است، مورد تفسیر و بررسی قرار می‌گیرد. همانگونه که در این منحنی مشاهده می‌گردد، پس از اعمال پتانسیل بر روی الکترود کار و برقراری جریان در مدار یک پیک افزایشی جریان مشاهده می‌شود که نشان دهنده این است که در این لحظه تبادل الکترون بین سطح الکترود با محیط فرآیند دارای نرخ بسیار بالایی می‌باشد. در حقیقت مثل روشن شدن یک موتور الکتریکی است که در لحظه راه

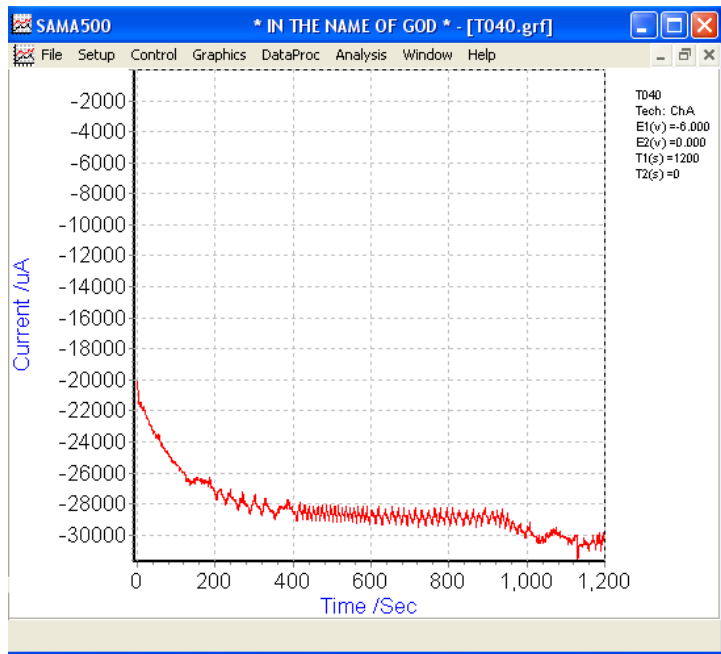
اندازی بیشترین جریان را از مدار می‌گیرد. این پیک و افزایش ناگهانی تا رسیدن جریان به سطح حدود -200 میلیآمپر ادامه می‌یابد. بخش اعظم کانی‌هایی که باید اکسید شوند در این مرحله اکسید می‌شوند. پس از آن یک کاهش تا سطح -500 میلیآمپر مشاهده می‌شود که مربوط به افزایش مواد شیمیایی به محیط فرآیند می‌باشد. سپس جریان به آرامی افزایش می‌یابد تا به یک سطح ثابت می‌رسد. در این حالت می‌توان گفت سیستم به یک تعادل الکتروشیمیایی رسیده است. پیک‌های جزیی مربوط به برخورد مداوم ذرات با سطح الکترود می‌باشد. پیک ناگهانی که در زمان حدود 1300 ثانیه مشاهده می‌شود مربوط به قطع ناگهانی نیتروژن و برهم خوردن تعادل الکتروشیمیایی محیط فرآیند می‌باشد. (مجموعه این منحنی‌ها در پیوست گزارش آورده شده است).



شکل ۹-۶- منحنی آمپرمتری آزمایش ۰۰۲



شکل ۱۰-۶- منحنی آمپرمتری آزمایش ۰۲۹



شکل ۱۱-۶- منحنی آمپرmetri آزمایش T040

۶-۵- چرایی فرآیندها و تحلیل نتایج حاصل از مطالعات تجربی و عملی

چنانچه ملاحظه می‌گردد یک سیستم فلوتواسیون الکتروشیمیایی بسیار حساس است و از عوامل بیرونی و داخلی تاثیر می‌پذیرد. این حساسیت و تاثیرپذیری زمانیکه نمونه مورد مطالعه یک کانسنگ چندفلزی می‌باشد بیشتر بوده و کنترل فرآیند را بسیار پیچیده تر می‌نماید. پارامترهایی که در یک سیستم فلوتواسیون معمولی مورد توجه نبوده یا کمتر مورد توجه قرار می‌گیرد، ممکن است در یک سیستم فلوتواسیون الکتروشیمیایی بسیار تاثیر گذار باشد. چرایی آبران شدن یا آبگریز شدن کانی‌های سولفیدی علی‌الخصوص کانی‌های مس (موضوع مطالعه کاربردی این تحقیق) در تحقیقات و مطالعات پژوهشگران منعکس شده‌است. برای مثال محققان زیادی گزارش کردند که پلی‌سولفیدهای فلزی و گوگرد عنصری عامل اصلی شناور پذیری خودالقایی کانی‌های سولفیدی از جمله کالکوپیریت می‌باشند. (پترز¹²⁹ ۱۹۷۶، گاردنر و وودز¹³⁰ ۱۹۷۹، لوترال و یون¹³¹ ۱۹۸۴) عده‌ای دیگر سولفیدهای ناقص فلزی و سولفیدهای غنی ازفلز را عامل شناوری خودالقایی کانی‌های سولفیدی معرفی می‌کنند. (باکلی و وودز¹³² ۱۹۸۴). ماجیما و تاکادا گزارش کردند که یک یا همه واکنش‌های زیر می‌تواند باعث آبدوستی و در نتیجه بازداشت کانی‌های سولفیدی شوند (ماجیما و تاکادا¹³³ ۱۹۶۸،

- ۱) جلوگیری از احیاء کاتدی اکسیژن
- ۲) جلوگیری از اکسیداسیون آندی کلکتور
- ۳) اکسیداسیون بیش از حد کانی
- ۴) تشکیل افزایش گونه‌های سطحی

¹²⁹ Peters

¹³⁰ Gardner and woods

¹³¹ Lutteral and Yoon

¹³² Bokly and woods

¹³³ Majima and Takada

نتایج حاصل از مطالعات تجربی و عملی، همچنین چرایی فرآیندها و تحلیل نتایج به طور خلاصه در زیر آورده شده است.

۱- کانی‌های سولفیدی عموماً نیمه هادی هستند، به همین دلیل در محیط فلوتاسیون هم به عنوان الکترون-دهنده و به عنوان الکترون‌گیرنده وارد واکنش می‌شوند. این کانی‌ها به صورت انفرادی در محیط دارای رفتاری قابل پیش‌بینی هستند. یعنی می‌توان با توجه به شرایط الکتروشیمیایی محیط فلوتاسیون پیش‌بینی کرد که، آن کانی در چه وضعیتی قرار دارد. در حال اکسیدشدن است یا دارد احیاء می‌شود. با ورود حتی یک کانی سولفیدی دیگر این شرایط دیگر برقرار نخواهد بود. پتانسیل استراحت، پتانسیل شروع اکسیداسیون و رفتار الکتروشیمیایی هر دو کانی موجود در محیط تغییر خواهد کرد. بنابراین در شرایطی که چندین کانی سولفیدی همراه با کانی‌های اکسیدی محلول و غیر محلول در محیط فلوتاسیون وجود دارند، شرایط و واکنش‌های در حال انجام به مراتب پیچیده تر خواهد بود.

۲- فلوتاسیون بدون مواد شیمیایی کانی‌های مس بر اساس مقادیر پتانسیل اکسیداسیون/احیاء شروع اکسیداسیون آنها امکان‌پذیر است. اگر چه استفاده از نتایج حاصل از آزمایش با کانی‌های خالص برای فلوتاسیون کانی‌های مخلوط در مقیاس صنعتی به دلایل زیر بسیار مشکل است:

الف) اثر گالوانیک ذرات کانی‌های مختلف بر هم در محیط پالپ

ب) اثر گالوانیک ذرات کانی‌ها با بار خرد کننده در آسیا

ج) فعل انفعال دوگانه اثر آهن

د) تاثیر سایر یون‌های فلزی که در اثر فرسایش بار خرد کننده ایجاد می‌شود

ه) اکسیداسیون و حلایلت کانی‌های سولفیدی و غیر سولفیدی

۳- مقدار پتانسیل شروع اکسیداسیون سطح تازه کانی‌ها در زمان آسیا کردن در اکسیداسیون متناظر با مقدار پتانسیل تبدیل سولفید به محصولات نهایی حاصل از اکسیداسیون را می‌توان با استفاده از معادله مربوط به فعل انفعال محاسبه نمود(آبراموف، ۲۰۰۵). نتیجه این محاسبات، اکسیداسیون گوگرد کانی به یونهایی نظیر SO_4^{2-} و $\text{S}_2\text{O}_3^{2-}$ و گوگرد عنصری می‌باشد

۴- در مدار فرآوری مولیبدن در مجتمع مس سرچشمۀ کانی‌های مولیبدن از کانی‌های عمدتاً سولفیدی مس جدا می‌گردد. در این مدار کانی‌های مس بازداشت و مولیبدن شناور می‌شود. اندرکنش کانی‌های سولفیدی بر هم در فلوتاسیون الکتروشیمیایی با کنترل پتانسیل پالپ با اعمال پتانسیل خارجی مورد مطالعه قرار گرفته است. در این روش اعمال پتانسیل خارجی بر روی الکترود کارکه در داخل پالپ قرار گرفته است اعمال می‌گردد. الکترود کار با الکترود کمکی که در داخل ظرف الکتروولیت قرار دارد، همراه با دستگاه پتانسیوواستات یک مدار بسته را می‌سازند. فضای بین الکترود کار و الکترود کمکی را دو محیط پالپ و الکتروولیت تشکیل می‌دهد که توسط یک غشای تراوای یونی به هم ارتباط پیدا می‌کنند. مقاومت الکتریکی محیط پالپ باعث کاهش ضریب نفوذ جریان

می‌شود. این مسئله خود باعث می‌شود که پتانسیل محیط پالپ کمتر از پتانسیل اعمال شده ببروی الکترود کار باشد. برای مثال در پالپی با غلظت ۲۰٪ جامد (نمونه اخذ شده از بار ورودی به مدار فرآوری مولیبدن در مجتمع مس سرچشمeh) در pH نسبتاً قلیایی (بین ۱۱-۱۲) پتانسیل پالپ حاصل از اعمال ۳٪- ولت ببروی الکترود کار حدود ۱۰۰- میلیولت می‌باشد. البته این پتانسیل برای انجام یک فرآیند فلوتواسیون بدون کلکتور (در این مطالعات بدون بازداشت کننده) موفق ببروی نمونه مورد مطالعه مناسب می‌باشد و باعث بازداشت کانی‌های مس علی‌الخصوص کالکوپیریت می‌گردد. در نهایت می‌توان امیدوار بود، با توجه به وابستگی مستقیم پتانسیل پالپ به pH با کنترل ترکیبی پتانسیل خارجی (یا پتانسیل پالپ) و pH بتوان فرآیند فلوتواسیون الکتروشیمیایی بدون مواد شیمیایی را انجام داد. جابجایی پتانسیل پالپ از حدود ۲۵۰- میلیولت در حالتیکه فقط کانی کالکوپیریت در محیط فلوتواسیون وجود دارد، به عدد ۶۵۰- ۵۵۰ میلیولت یکی از اثرات بسیار مهم وجود سایر کانی‌های سولفیدی مس در فرآیند بازداشت کالکوپیریت در مدار فرآوری مولیبدن می‌باشد. (این مطلب بر اساس مطالعات میدانی نگارنده در مدار فرآوری مولیبدن یعنی اندازه گیری پتانسیل پالپ در بخش‌های مختلف مدار و مقایسه این اندازه گیری‌ها با مقادیر موجود در مقالات و گزارش‌ها بدست آمده است). در شرایطی که فقط تک-کانی کالکوپیریت در محیط فلوتواسیون حضور دارد، در pHهای قلیایی، کالکوپیریت به عنوان آند عمل کرده به محیط الکترون‌می‌دهد و اکسیدمی‌شود. در حالیکه در همین شرایط چنانچه کالکوسیت در محیط حضور داشته باشد، کالکوپیریت به عنوان کاتد عمل کرده باعث اکسیدشدن کالکوسیت می‌شود. در همین حالت چنانچه پیریت هم در محیط حضور داشته باشد. سیستم کاملاً تغییر خواهد کرد. برا ساس کاهش احتمال اکسیداسیون مس، آهن و سایر کانی‌های سولفیدی می‌توان آنها را به صورت خطی مرتب نمود. آهن، پیروتیت (پنتلاندیت، هیزلواریت)، میلریت، مارکازیت، پیریت، اسفالریت، گالن، کالکوپیریت، کولیت، برنیت، کالکوسیت و مس در این رده‌بندی به ترتیب جای می‌گیرند. این مرتب‌سازی که براساس نتایج مطالعات بوچروف^{۱۳۴} و ریسکین^{۱۳۵} در ۱۹۹۳ بدست امده است نشان می‌دهد که نرخ اکسیداسیون آهن سایش یافته در آسیا خیلی زیاد و بیشتر از پیریت و در نقطه مقابل کانی‌های ثانویه مس، کالکوسیت و برنیت کمتر از پیریت می‌باشد.

مطالعات کانی‌شناسی محصولات آزمایش بر روی نمونه‌های چندفلزی حاوی کانی‌های مس اخذ شده از مدار فرآوری مولیبدن در مجتمع مس سرچشمeh نشان دهنده این است که در پتانسیل‌های بشدت منفی، کالکوپیریت بازداشت می‌شود ولی دیگر کانی‌های مس از مولیبدن دنباله‌روی داشته و وارد کنسانتره مولیبدن می‌گردد. این به این معنی است که در این محدوده پتانسیل با آنکه کانی کالکوپیریت اکسید و بازداشت شده است ولی سایر کانی‌های مس اکسید نشده و به صورت سولفور باقی مانده و همراه با مولیبدنیت شناور شده‌اند. به همین دلیل با آنکه در بعضی از آزمایش‌ها بازیابی کالکوپیریت در باطله فلوتواسیون الکتروشیمیایی بالاتر از ۹۴٪ می‌باشد، ولی عیار مس در-

¹³⁴ Bocherov

¹³⁵ Riskin

کنسانتره مولیبدن بالاست. در حقیقت در این شرایط کانی کالکوپیریت به عنوان کاتد عمل کرده الکترون گرفته احیاء شده است و سایر کانی های مس به عنوان منبع الکترون، نقش آند را به عهده گرفته اند. لازم به تذکر است که در صد کانی های تشکیل دهنده از روی مطالعات کانی شناسی و درصد عنصر مس از روی آنالیز شیمیایی بدست آمده است. یک آزمایش ایده آل، آزمایش T012 می باشد. در این آزمایش که بدون مواد شیمیایی (یعنی سولفید سدیم) انجام شده است در محیطی با پتانسیل پالپ -۷۹ میلی ولت و pH ۱۱/۹۷ انجام شده است. در این آزمایش پتانسیل اعمالی روی الکترود کار ۵/۰ ولت بوده است. بدنه سلول به عنوان الکترود کار و استاتور هم به عنوان الکترود کمکی در نظر گرفته شده بود.

جدول ۶-۹- کانی شناسی خوارک آزمایش T012

نوع کانی	ترکیب	وضعیت	% وزنی	نوع کانی	ترکیب	وضعیت	% وزنی	نوع کانی	وضعیت
کالکوپیریت CC	FeS_2	پیریت	3,788	آزاد CC.	Cu_2S	کالکوپیریت CC	0,978	CC/CV	
			0,367	CC/CP			0,244	CC/PY	
			0,000	CC/G			0,489	درگیر CC/	
			5,865	کل CC.			0,000	کل CV.	
			1,231	آزاد CV.			0,820	CV/CC	
	CuS	کولبیت CV	2,871	CV/CP			0,000	CV/PY	
			0,000	CV/G			0,513	درگیر CV/	
			0,000	کل CV.			5,435	کل CP,	
			42.247	آزاد CP,			0,916	CP/CC	
			2,658	CP/CV			0,000	CP/PY	
کلکوپیریت CP	CuFeS_2	درصد کالکوپیریت	2.658	CP/CV		کلکوپیریت CP	0,550	CP/G	
			3.116	درگیر CP/			0,000	CP/PY	
			49.487	کل CP.			0,000	CP/G	
			1.362	کل			0,000	Cu	مس طبیعی
			0,000	کل			0,12	Cu_5FeS_4	بورنیت
			0,12	نسبت			0,000		

همانگونه که در جداول ذیل مشاهده می شود، در این آزمایش بازیابی مس در باطله بالای ۹۴٪ است. در حقیقت ۹۴/۱۲٪ از کانی های مس بازداشت شده و وارد کنسانتره نشده اند. از این مقدار ۵۲/۴۲٪ کالکوپیریت می باشد. این در حالی است که کل کانی های مس در باطله مجموعاً ۶۲/۹۱٪ می باشد. به این ترتیب ۸۳/۳۲٪ کانی های مس موجود در باطله کالکوپیریت می باشد. جداول ۹-۶ تا ۱۲-۶ مربوط به این آزمایش می باشد جداول ۱۳-۶ تا ۱۵-۶ محاسبات مربوط به بازیابی مولیبدنیت، مس و همچنین کالکوپیریت را در برخی از آزمایش ها نشان می دهد. نتایج حاصل نشان دهنده این است که در اغلب موارد بخش اعظم کالکوپیریت موجود در نمونه بازداشت شده و راهی باطله شده است.

جدول ۱۰- کانی شناسی کنسانتره آزمایش T012

نوع کانی	ترکیب	وضعیت	% وزنی	نوع کانی	ترکیب	وضعیت	% وزنی	نوع کانی	وضعیت
کالکوسیت CC	FeS ₂	پیریت	5.071	آزاد CC.	Cu ₂ S	CC/CV	2.909	آزاد CC/CP	0.746
			0.298	CC/PY			0.000	CC/G	3.301
			10.367	کل CC.			1.342	درگیر CC/	0.000
			1.690	آزاد CV.			0.000	آزاد CV.	0.000
			3.380	CV/CC			0.626	CV/CP	84.674
	CuS	کولیت CV	0.188	CV/PY	CuS	کولیت CV	0.000	CV/G	14.046
			0.563	درگیر CV/			0.000	کل کانی های فلزی	1.281
			6.447	کل CV.			0.000	جمع کل کانی های غیر فلزی	84.674
			41.839	آزاد CP,			0.000	جمع کل کانی های اکسیدی	14.046
			0.895	CP/CC			0.168	درجه آزادی کالکوسیت	1.281
کلکوپیریت CP	CuO/Cu	درصد	0.895	CP/CV	CuFeS ₂	کلکوپیریت CP	0.671	درجه آزادی کولیت	84.17
			1.175	درگیر CP/			0.175	درجه آزادی کالکوپیریت	88.35
			45.643	کل CP.			0.671	درجه آزادی پیریت	95.59
			0.000	کل			0.000	درصد کالکوپیریت	73.70
	Cu	نسبت	0.831	کل	Cu ₅ FeS ₄	مس طبیعی بورنیت	0.23	CC/CP	72.12

جدول ۱۱-۶ - کانی شناسی باطله آزمایش T012

نوع کانی	ترکیب	وضعیت	% وزنی	نوع کانی	ترکیب	وضعیت	% وزنی	نوع کانی	وضعیت		
کالکوسیت CC	Cu_2S	آزاد CC.	۱،۲۴۶	پیریت	FeS_2	آزاد PY	۱۷،۵۶۷	پیریت	آزاد PY/LOCK		
		CC/CV	۱،۹۳۷			PY/POLY	۳،۷۳۸		CC/CP		
		CC/PY	۱،۱۰۷			کل PY	۰،۰۰۰		CC/G		
		CC/G	۰،۰۰۰			کل	۰،۶۱۱		درگیر CC/H		
		درگیر CC/H	۰،۰۰۰	اسفالریت	ZnS	لیمونیت	۰،۰۰۰		کل ZnS		
		کل CC.	۴،۲۹۰			هماتیت	۰،۰۰۰		آزاد Fe ₂ O ₃		
		آزاد Fe ₂ O ₃	۲،۰۹۱			مگنتیت	۰،۰۰۰		CV/CC		
		CV/CC	۰،۹۲۹			جمع کل کانی های فلزی	۲،۶۷۱		CV/CP		
		CV/CP	۲،۶۷۱			جمع کل کانی های غیر فلزی	۱۳،۸۵۸		CV/PY		
		CV/PY	۰،۰۰۰			جمع کل کانی های اکسیدی	۱،۳۱۶		CV/G		
کولیت CV	CuS	درگیر CV/H	۰،۰۰۰	عیار سنجی نمونه					کل CV.		
		کل CV.	۵،۶۹۱	Cu% CuO% Fe% Mo%					۰،۳۶۶		
		آزاد CP,	۴۶۰۰۸۵	۰،۷۵					۲۵،۸۷		
		CP/CC	۰،۲۰۸	۰،۴۳					۰،۳۶۶		
		CP/CV	۱،۳۴۹	Drصد					۰،۷۵		
		CP/PY	۲،۲۸۳	Drجه آزادی کالکوسیت					۲،۸۴		
		CP/G	۲،۴۹۱	Drجه آزادی کولیت					۱۰۰،۰۰		
		Drگیر CP/	۰،۰۰۰	Drجه آزادی کالکوپیریت					۹۰،۸۹		
		کل CP.	۵۲،۴۱۶	Drجه آزادی پیریت					۸۲،۴۶		
		کل	۰،۰۰۰	Drصد کالکوپیریت					۸۳،۳۲		
مس طبیعی	Cu	بورنیت	Cu_5FeS_4	کل	۰،۵۱۴	نسبت CC/CP	۰،۰۸	آزمایش T012 پتانسیل اعمالی: ۱۱.۹۷ pH= ۵.۰v سولفیدسیدیم: ۱۲ gr	Eh= -79		

۰،۰۸	نسبت CC/CP	۰،۵۱۴	کل	Cu_5FeS_4	بورنیت
------	------------	-------	----	---------------------------	--------

جدول	محصولات	وزن گرم	Cu%	Mo%	CP	%R.Cu	%R.Mo	%R.CP	-۶
-۱۲	خوراک	1500.0	26.98	0.567	49.478	100.0	100.0	100.0	
	کنسانتره	181.4	29.92	1.731	48.733	14.0	37.0	10.0	
	باطله	1318.6	26.55	0.402	52.499	86.0	63.0	90.0	

محاسبات متالورژیکی مربوط به آزمایش T012

جدول ۱۳-۶ - بازداشت کالکوپیریت در پتانسیل +۶/۰ ولت در غیاب سولفید

موازنۀ متالوژیکی آزمایش T068 با استفاده از نرم افزار موازن						
جریان	اندازه گیری شده	محاسبه شده	درصد خطا	تصحیح پیشنهادی	بازیابی	(مس) Cu%
خوراک	28.22	28.07	0.0001	0.15	100.00	
کنسانتره	27.80	27.81	0.0001	-0.01	6.24	
باطله	27.95	28.09	0.0001	-0.14	93.76	
(مولیبدن) Mo%						
خوراک	0.618	0.62	0.0001	0.00	100.00	
کنسانتره	6.84	6.82	0.0001	0.02	69.56	
باطله	0.201	0.20	0.0001	0.00	30.44	
(کالکوپیریت) CP%						
خوراک	55.39	59.07	0.0001	-3.68	100.00	
کنسانتره	31.26	31.19	0.0001	0.07	3.33	
باطله	65.81	60.94	0.0001	87.04	96.67	

جدول ۱۴-۶ - بازداشت کالکوپیریت در پتانسیل -۳/۰ ولت در غیاب سولفید

موازنۀ متالوژیکی آزمایش ۶ T06 با استفاده از نرم افزار موازن						
جریان	اندازه گیری شده	محاسبه شده	درصد خطا	تصحیح پیشنهادی	بازیابی	(مس) Cu%

۱۰۰,۰۰	۰,۵۲	۰,۰۰۰۱	۲۶,۷۷	۲۷,۲۹	خوراک
۲۰,۰۱	-۰,۱۰	۰,۰۰۰۱	۲۸,۱۳	۲۸,۰۳	کنسانتره
۷۹,۹۹	-۰,۳۸	۰,۰۰۰۱	۲۶,۴۵	۲۶,۷	باطله
(مولیبدن) Mo%					
۱۰۰,۰۰	-۰,۰۱	۰,۰۰۰۱	۰,۵۹	۰,۵۸۴	خوراک
۶۱,۰۵	۰,۰۰	۰,۰۰۰۱	۱,۸۸	۱,۸۸۱	کنسانتره
۳۸,۹۵	۰,۰۰	۰,۰۰۰۱	۰,۲۸	۰,۲۸۲	باطله
(کالکوپیریت) CP%					
۱۰۰,۰۰	-۲,۱۹	۰,۰۰۰۱	۵۲,۷۶	۵۰,۵۷	خوراک
۱۶,۹۰	۰,۳۸	۰,۰۰۰۱	۴۶,۹۶	۴۷,۲۱	کنسانتره
۸۳,۱۰	۲,۲۱	۰,۰۰۰۱	۵۴,۱۵	۵۶,۳۶	باطله

جدول ۱۵- بازداشت کالکوپیریت در پتانسیل ۳/۰- ولت در حضور سولفید

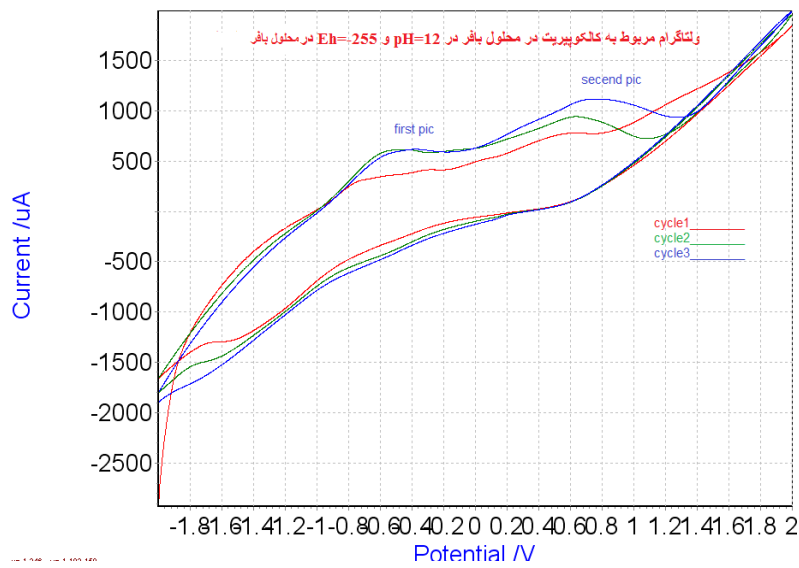
موازنۀ متالوژیکی آزمایش T06 با استفاده از نرم افزار موازن					
جریان	اندازه گیری شده	محاسبه شده	در صد خطأ	تصییح پیشنهادی	بازیابی
(مس) Cu%					
خوراک	۲۷,۰۹	۲۶,۹۳	۰,۰۰۰۱	۰,۱۶	۱۰۰,۰۰
کنسانتره	۲۱,۹۸	۲۱,۹۹	۰,۰۰۰۱	-۰,۰۱	۵,۴۰
باطله	۲۷,۱۳	۲۷,۲۶	۰,۰۰۰۱	-۰,۱۵	۹۴,۶۰
(مولیبدن) Mo%					
خوراک	۰,۵۹۵	۰,۵۹	۰,۰۰۰۱	-۰,۰۱	۱۰۰,۰۰
کنسانتره	۶,۵۰	۶,۴۹	۰,۰۰۰۱	۰,۰۱	۷۳,۳۸
باطله	۰,۱۶۷	۰,۱۷	۰,۰۰۰۱	۰,۰۰	۲۶,۶۲
(کالکوپیریت) CP%					
خوراک	۴۹,۶۷	۵۱,۸۵	۰,۰۰۰۱	-۲,۱۸	۱۰۰,۰۰
کنسانتره	۳۸,۵۴	۳۸,۴۵	۰,۰۰۰۱	۰,۰۹	۴,۹۱
باطله	۵۵,۳۲	۵۲,۸۰	۰,۰۰۰۱	۲,۰۵۲	۹۵,۰۹

۶-۶- نتایج حاصل از ولتاومتری چرخه‌ای

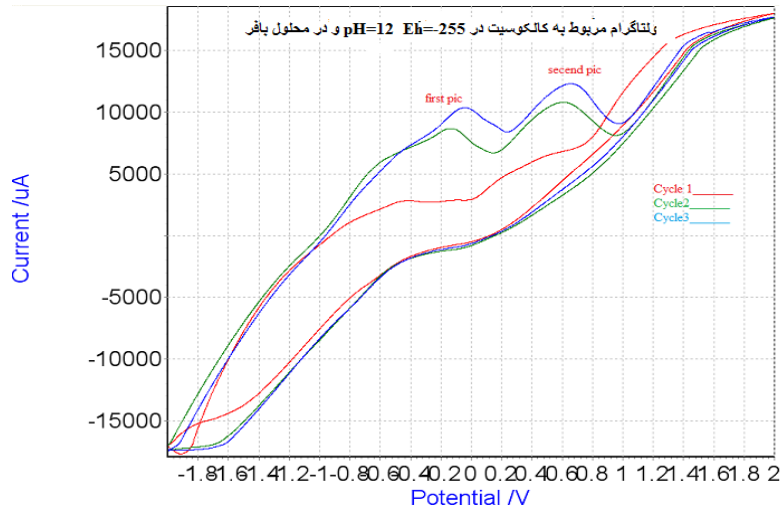
۶-۱- نتایج آزمایش‌های ولتاومتری چرخه‌ای بر روی تک‌کانی‌ها

قبل از انجام آزمایش‌های ولتاوری چرخه‌ای لازم بود که الکترودهایی از جنس کانی‌ها و نمونه‌های مورد نظر تهیه گردد. برای این منظور با استفاده از تک کانی‌های کالکوپیریت و کالکوسیت، همچنینی از محصولات فرایند فلوتاسیون الکتروشیمیایی با اعمال پتانسیل خارجی که نتایج بهتری داشته است، با استفاده پودر کربنی الکترود هایی تهیه شده است. آزمایش‌های ولتاوری چرخه‌ای در آزمایشگاه الکتروشیمی دانشکده شیمی دانشگاه یزد انجام شده است.

برای انجام آزمایش نخست شرایط آزمایش فلوتاسیون الکتروشیمیایی بازسازی شده است. سپس با سیستم سه الکترودی متشکل از یک الکترود مرجع (Ag/AgCl)، یک الکترود کمکی از جنس گرافیت و یک الکترود کار از جنس کانی، آزمایش‌ها انجام گردید. آزمایش‌ها دردو حالت یکی در محیط محلول بافر و یکی در محیط پالپ انجام شده، ولتاگرام‌های مربوطه با هم مقایسه شده است. آزمایش‌ها در دامنه پتانسیل اعمالی $-2 \text{--} +2 \text{~V}$ ولت و دامنه روبش 100~mV ولت برثانیه و تعداد ۳ سیکل در هر آزمایش انجام شده است. در هر حالت آزمایش‌ها در دو شرایط انجام شده است. در سری اول، محیطی با $\text{pH}=12$ و پتانسیل پالپ $\text{Eh}=-255 \text{~mV}$ ولت آماده گردید. سری دوم آزمایش‌ها در $\text{pH}=11$ و پتانسیل پالپ $\text{Eh}=-225 \text{~mV}$ ولت انجام شد. ولتاگرام‌های مربوطه در شکل‌های $12-6$ تا $18-6$ آورده شده است. ولتاگرام نشان داده شده در شکل $12-6$ مربوط به کالکوپیریت خالص می‌باشد. سیکل اول در این ولتاگرام مربوط به سطح کانی است و چون هنوز لایه انتشار به حدی نرسیده است که منجر به پیک شود، سطح آن نسبتاً صاف است. بخش بالایی یعنی منحنی رفت مربوط به شرایط اکسیدی و بخش پایینی یعنی منحنی برگشت مربوط به شرایط احیایی می‌باشد سیکل دوم اختلاف جریان قابل ملاحظه‌ای در مقایسه با سیکل اول نشان می‌دهد افزایش جریان در ولتاوری چرخه‌ای معمولاً نشان دهنده جذب سطحی است بنابراین این سیکل مربوط به زمانی است که مواد حاصل از اکسیداسیون بر روی سطح کانی رسوب کرده است. ولتاگرام‌ها همچنین نشان دهنده برگشت ناپذیر بودن واکنش‌های اکسیدی می‌باشند. این مواد اکسیدی هستند چون در بخش اکسیدی ولتاگرام واقع شده است. در بخش زیرین ولتاگرام که مربوط به شرایط احیایی است هیچ‌گونه پیکی دیده نمی‌شود. این به این معنی است که مواد نشسته بر سطح کانی همه اکسیدی هستند و در شرایط احیایی، احیاء نمی‌شوند یعنی واکنش‌ها برگشت ناپذیرند. با توجه به شرایط الکتروشیمیایی محیط آزمایش ($\text{pH}=12$) و پتانسیل پالپ $\text{Eh}=-255 \text{~mV}$ ولت) و اینکه براساس مطالعات محققین گذشته مواد حاصل از اکسیداسیون کانی‌های سولفیدی عمدتاً اکسیدهای گوگرد و هیدروکسیدهای آهن می‌باشند، مشخص می‌شود که مواد نشسته بر سطح کانی عمدتاً همین مواد می‌باشند همانگونه که مشاهده می‌شود سیکل سوم اختلاف چندانی با سیکل دوم نمی‌کند. این به این معنی است که بعد از تشکیل ذرات اکسیدی بر روی سطح کانی با گذشت زمان، تغییر چندانی در سطح آن به وجود نیامده است. بنابراین سیکل دوم و سوم تقریباً بر هم منطبق هستند.

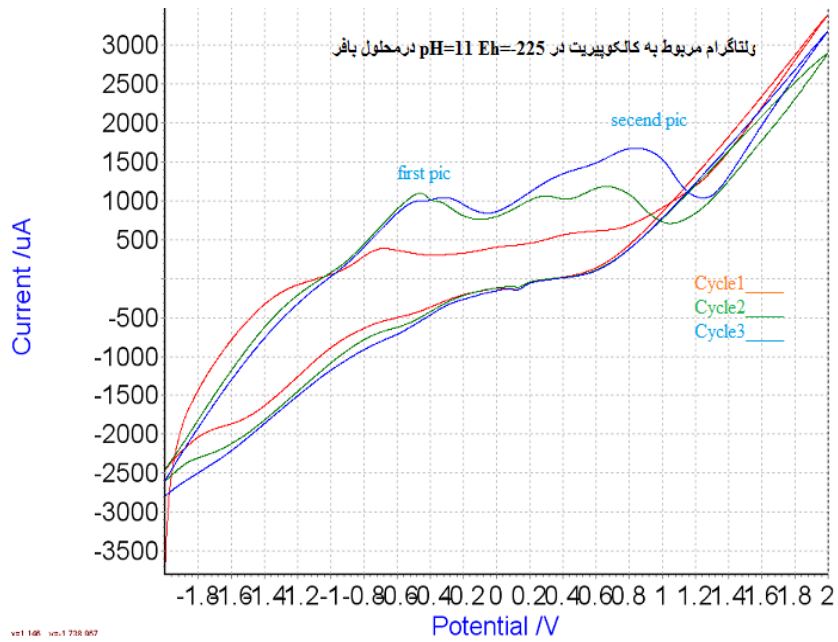


شکل ۱۲-۶- ولتاگرام مربوط به کالکوپیریت در $pH=12$ و پتانسیل پالپ $Eh=-255$ میلی ولت در محلول بافر

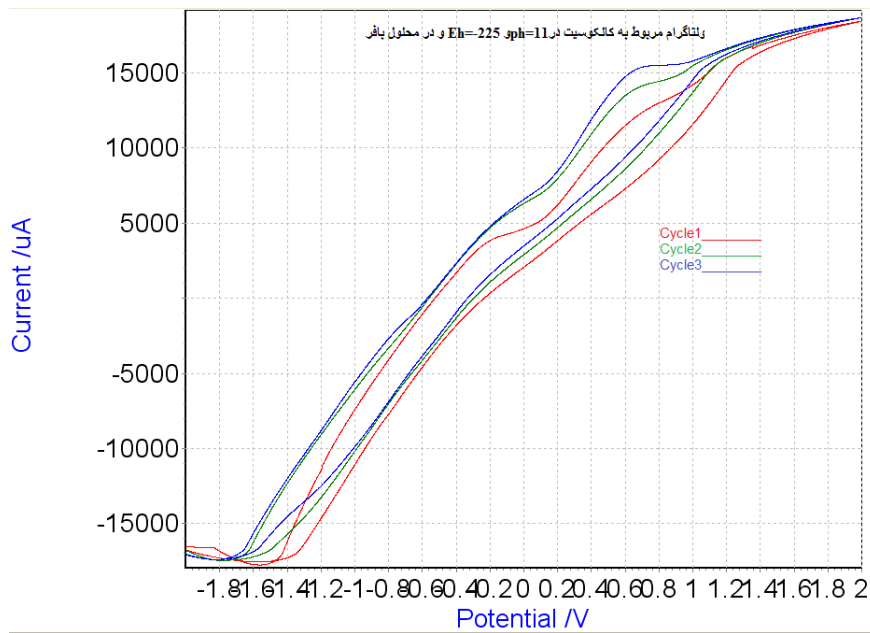


شکل ۱۳-۶- ولتاگرام مربوط به کالکوسیت در $pH=12$ و پتانسیل پالپ $Eh=-255$ میلی ولت در محلول بافر

چنانچه در ولتاگرام مربوط به کالکوسیت نشان داده شده در شکل ۱۳-۶ مشاهده می‌شود، در شرایط مشابه ($pH=12$ و پتانسیل پالپ $Eh=-255$ میلی ولت) این وضعیت برای کالکوسیت نیز برقرار است با این تفاوت که پتانسیل اکسایش برای کالکوسیت اندکی جایجا شده است. با تغییر وضعیت، در شرایطی که $pH=11$ و پتانسیل پالپ $Eh=-225$ میلی ولت می‌باشد، نتیجه ولتاگرامها برای کالکوسیت و کالکوپیریت متفاوت می‌باشد. چنانکه در شکل ۱۴-۶ و ۱۵-۶ ملاحظه می‌شود، با اینکه در این شرایط ولتاگرامها نشان دهنده جذب مواد اکسیدی بر روی سطح کالکوپیریت می‌باشد، ولی صاف بودن منحنی و عدم مشاهده یک پیک شاخص نشان دهنده این است که سطح کالکوسیت کمتر تغییر کرده است.



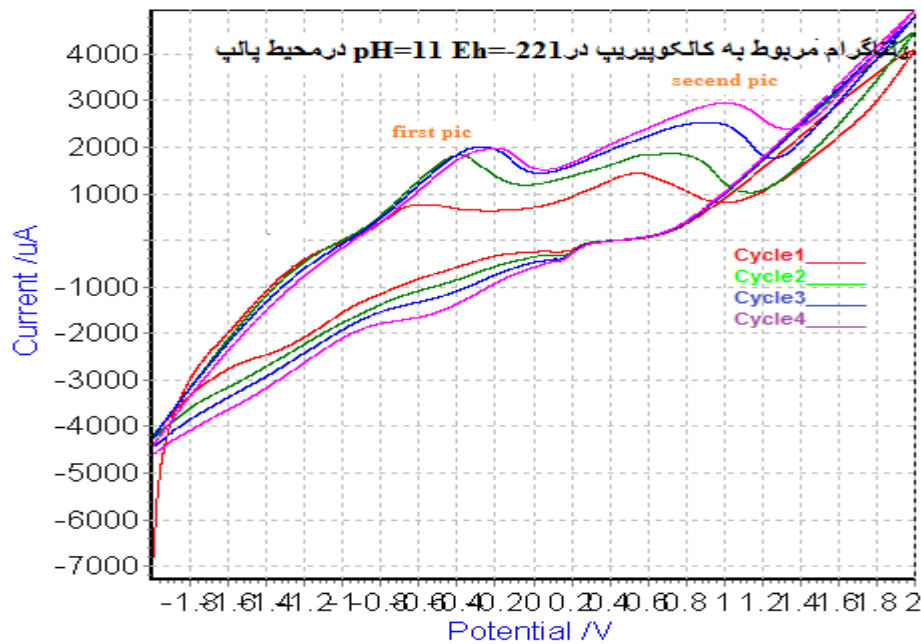
شکل ۱۴-۶- ولتاگرام مربوط به کالکوپیریت در $\text{pH}=11$ و پتانسیل پالپ -225 میلی ولت در محلول بافر



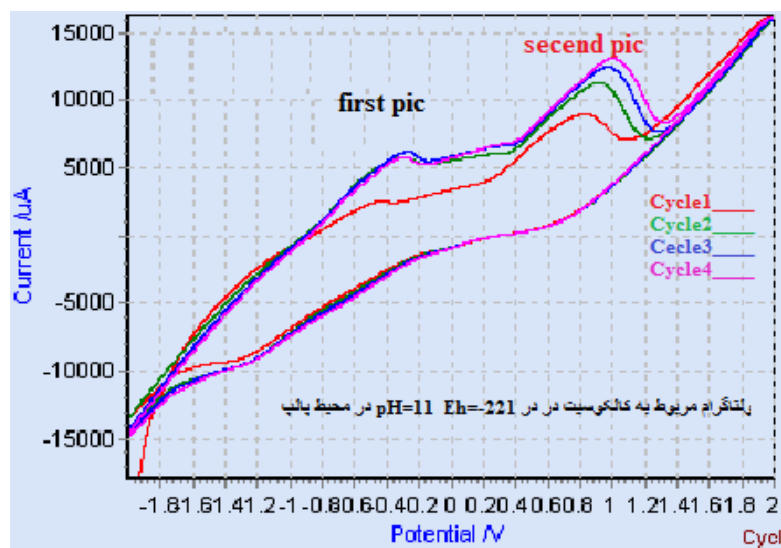
شکل ۱۵-۶- ولتاگرام مربوط به کالکوسیت در $\text{pH}=11$ و پتانسیل پالپ -225 میلی ولت در محلول بافر

این موضوع با نتایج مطالعات کانی‌شناسی نیز مطابقت می‌کند، چرا که مطالعات کانی‌شناسی حاکی از درصد کمتری از کالکوسیت در باطله حاصل از فرآیند فلووتاسیون‌الکتروشیمیایی می‌باشد.

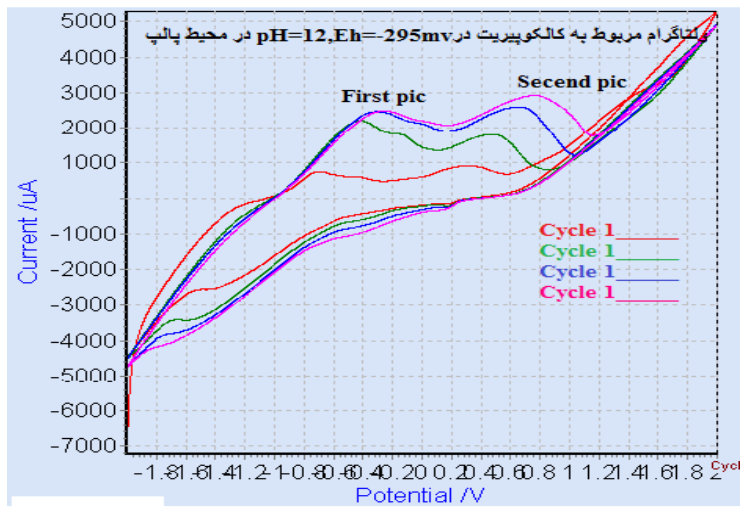
سری دوم آزمایش‌ها در شرایطی انجام شد که الکترود کانی در محیط پالپ قرار داده شد. در این حالت نیز ولتاگرام‌ها در دو وضعیت $\text{pH}=11$, $\text{Eh}=-221\text{mv}$ و $\text{pH}=12$, $\text{Eh}=-295\text{mv}$ رسم شده است. ولتاگرام‌های مربوط به این سری از آزمایش‌ها در شکل‌های ۱۶-۶ تا ۱۹-۶ نشان داده شده‌است.



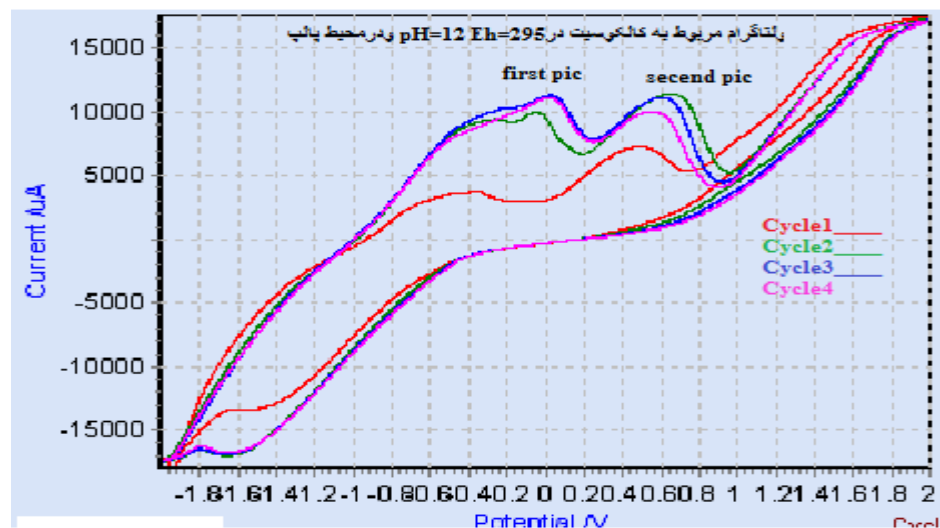
شکل ۶-۱۶- ولتاگرام مربوط به کالکوفیریت در $\text{pH}=11$ و $\text{Eh}=-221$ میلی ولت در محیط پالپ



شکل ۶-۱۷- ولتاگرام مربوط به کالکوسیت در $\text{pH}=11$ و $\text{Eh}=-221$ میلی ولت در محیط پالپ



شکل ۶-۱۸- ولتاگرام مربوط به کالکوپیریت در $\text{pH}=12$ و $\text{Eh}=-295$ میلی ولت در محیط پالپ



شکل ۶-۱۹- ولتاگرام مربوط به کالکوسیت در $\text{pH}=12$ و $\text{Eh}=-295$ میلی ولت در محیط پالپ
ولتاگرامهای مربوط به این سری از آزمایش‌ها بیانگر این است که واکنش‌های الکتروشیمیایی انجام شده در حضور سایر کانی‌ها تقریباً مشابه با حالتی است که این کانی‌ها وجود ندارند و در حقیقت حضور سایر کانی‌ها یا به گفته دیگر اندرکنش این کانی‌ها فقط باعث جابجایی پتانسیل اکسایش شده است و واکنش‌ها تقریباً همان است و گونه‌های اکسیدی تشکیل شده نیز همان‌ها هستند. به این ترتیب برخلاف نظر محققین پیشین از رفتار تک‌کانی‌ها می‌توان رفتار کانی‌ها در یک محیط چندفلزی پیش‌بینی نمود.

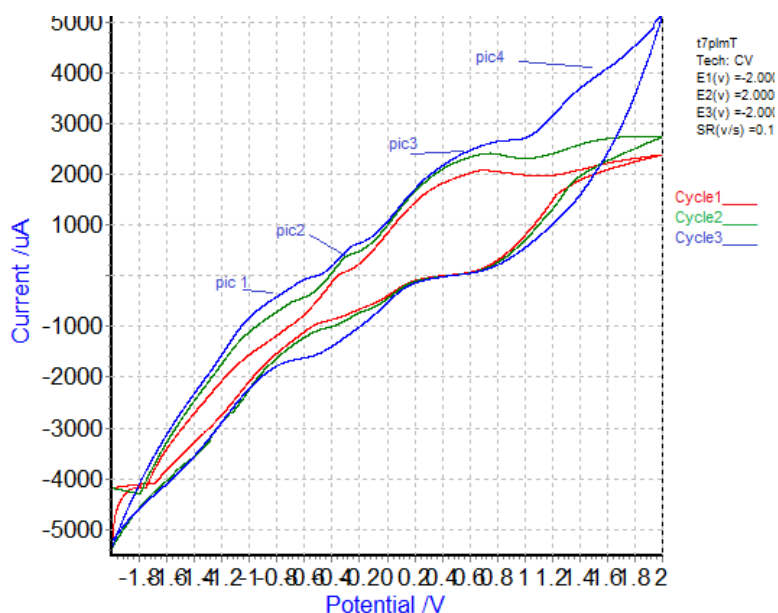
۶-۲- نتایج آزمایش ولتاومتری چرخه‌ای بر روی الکترودهای چندکانی
با بازسازی محیط فرآیند آزمایش‌های ولتاومتری چرخه‌ای بر روی الکترودهای چندکانی انجام شد. آزمایش‌ها با دو دستگاه پتانسیوواستات و ۵ الکترود انجام شد. آماده سازی محیط آزمایش (سلول الکتروشیمیایی) با افزودن

۱ گرم نمونه چندفلزی (نمونه خوراک ورودی به مدار مولیدن که قبل از آزمایش قرار گرفته است) به محلول بافر با $pH=12$ و پتانسیل پالپ $Eh=-275$ میلی ولت انجام شد.

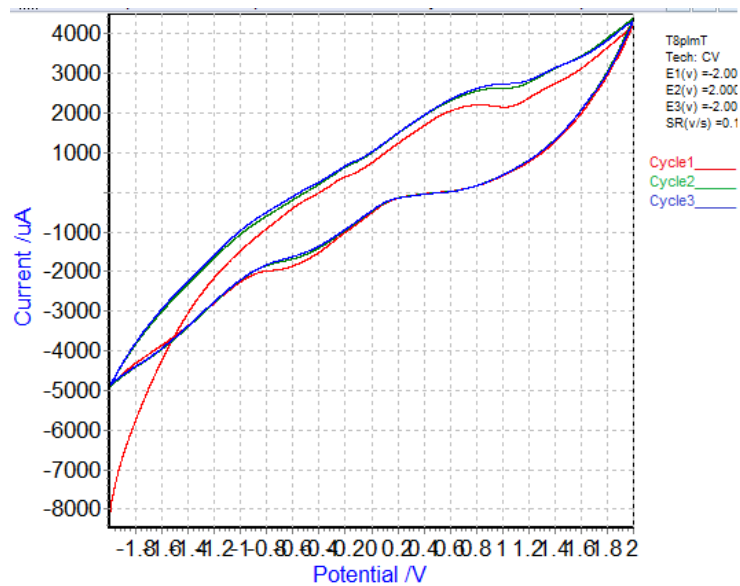
پس از آن با اعمال پتانسیل خارجی بر روی الکترود کاری که به پتانسیواستات اول متصل شده بود و با یک الکترود کمکی یک مدار بسته را ایجاد می کرد پتانسیل لازم به محیط اعمال گردید. در این مدت محیط سلول توسط یک مگنت پلیت هم زده می شد پس از زمان آماده سازی مگنت را قطع و ولتاوتمتری چرخه ای توسط یک دستگاه پتانسیواستات دیگر و یک سیستم سه الکترودی مشکل از یک الکترود کار (الکترود کانی از جنس نمونه مورد آزمایش) و یک الکترود کمکی از جنس گرافیت و یک الکترودمرجع کالومل انجام گردید. همین آزمایش بر روی یک نمونه بدون اعمال پتانسیل نیز انجام شد. نتایج را می توان بر روی ولتاگرام نشان داده شده در شکل-های ۲۰-۶ و ۲۴-۶ ملاحظه نمود.

چنانچه ملاحظه می شود در ولتاگرام نشان داده شده در شکل ۲۰-۶ در پتانسیل های -0.9 ، -0.6 ، $+0.6$ و $+1.4$ در سیکل چهارم پیک هایی دیده می شود که مربود به جذب مواد اکسیدی بر روی سطح الکترود می باشد. در حالیکه این پیک ها در ولتاگرام نشان داده شده در شکل ۲۱-۶ دیده نمی شود. در حقیقت در این شرایط ذرات اکسیدی تشکیل نشده است.

آزمایش های بعدی بر روی نمونه های از خوراک ورودی انجام شد. این آزمایش ها به ترتیب بر روی نمونه قبل از اعمال پتانسیل، بعد از اعمال پتانسیل و قبل از چرخش و بعد از اعمال پتانسیل و بعد از چرخش انجام شده است. ولتاگرام های مربوط به این آزمایش ها در شکل های $22-6$ ، $23-6$ ، $24-6$ دیده می شود.

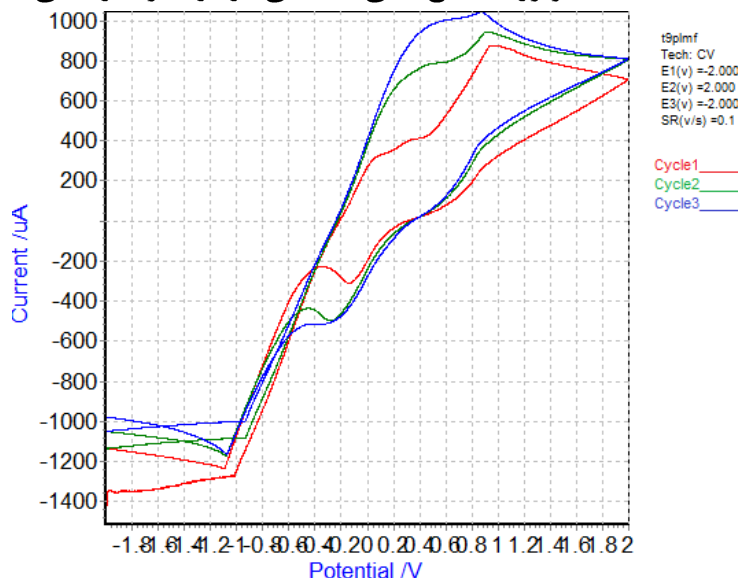


شکل ۲۰-۶- ولتاگرام مربوط به الکترود پلی متال باطله با اعمال پتانسیل در محیط پالپ ($pH=12$) و پتانسیل پالپ $Eh=-275$ میلی ولت)

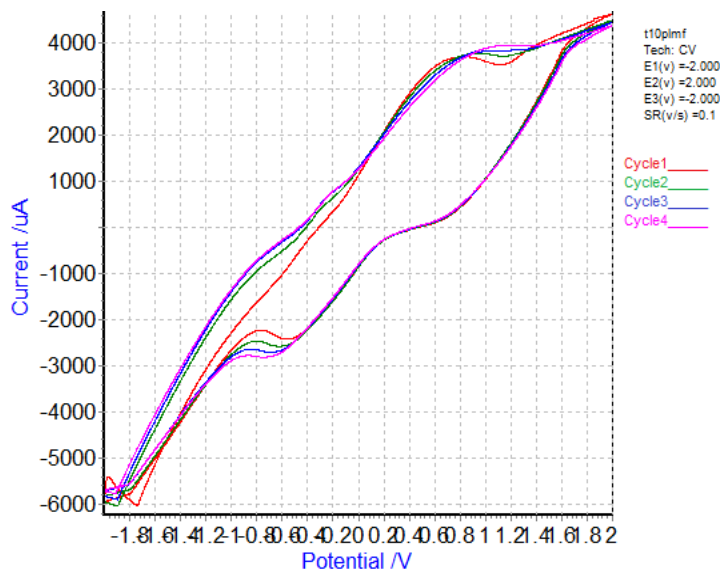


شکل ۲۱-۶- ولتاگرام مربوط به الکترود چندفلزی باطله بدون اعمال پتانسیل در محیط پالپ ($pH=12$ و پتانسیل پالپ $Eh=-275$ میلی ولت)

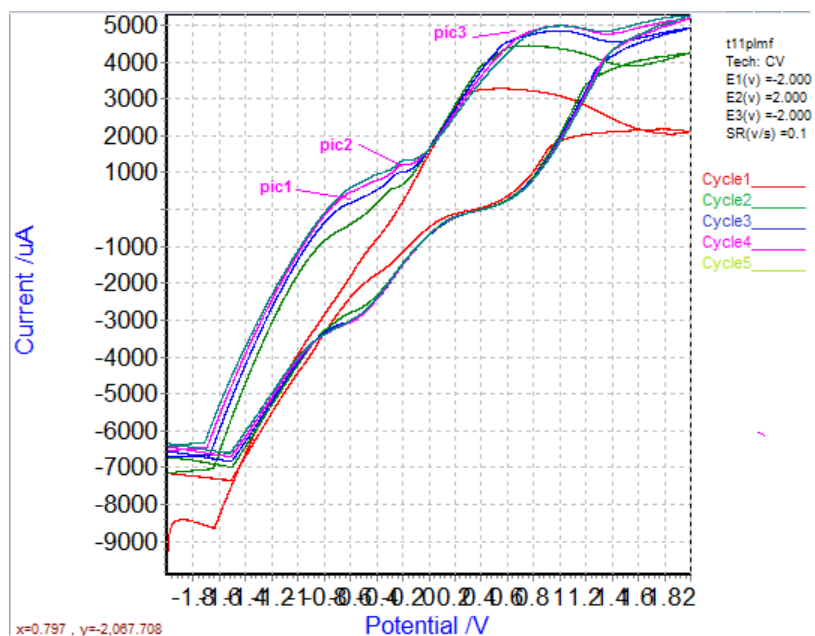
ولتاگرام دیده شده در شکل ۲۲-۶ مربوط به اعمال پتانسیل ۳- ولت روی الکترود کار است. در این پتانسیل پیک‌های شدیدی که دیده می‌شود مربوط به اکسایش آب می‌باشد. بنابراین به جزء این پیک که کاملاً شاخص است در تمام سیکل‌ها پیک شاخصی دیده نمی‌شود. در آزمایش‌های بعدی دامنه ولتاژ اعمالی به $1/5$ - ولت افزایش داده شد. در این شرایط چنانچه محیط پالپ در زمان اعمال پتانسیل بهم زده شود و پس از آن ولتاژتری انجام شود. نتایج کاملاً با شرایطی که در زمان اعمال پتانسیال محیط آرام باشد متفاوت می‌باشد این مطلب را در مقایسه ولتاگرام‌های نشان داده شده در شکل ۲۳-۶ و ۲۴-۶ می‌توان دید. چنانچه ملاحظه می‌شود در شکل ۲۳-۶ در تمام سیکل‌ها تقریباً پیک شاخصی دیده نمی‌شود ولی در شکل ۲۴-۶ حداقل ۲ پیک دیده می‌شود که مربوط به جذب گونه‌های اکسیدی بر روی سطح کانی‌ها اصلی موجود در نمونه می‌باشد.



شکل ۲۲-۶- ولتاگرام مربوط به الکترود چندفلزی خوراک با اعمال پتانسیل ۳- ولت در محیط پالپ ($pH=12$ و پتانسیل پالپ $Eh=-275$ میلی ولت)



شکل ۲۳-۶- ولتاگرام مربوط به الکترود چندفلزی خوراک با اعمال پتانسیل ۱/۵- ولت در محیط پالپ قبل از چرخش (pH=۱۲ و پتانسیل پالپ -۲۷۵ میلی ولت)



شکل ۲۴-۶- ولتاگرام مربوط به الکترود چندفلزی خوراک با اعمال پتانسیل ۱/۵- در محیط پالپ بعد از چرخش (pH=۱۲ و پتانسیل پالپ -۲۷۵ میلی ولت)

۶- محدودیت‌های انجام فلوتاسیون الکتروشیمیایی به روش کنترل پتانسیل پالپ با اعمال پتانسیل
با توجه به پیچیدگی فرآیند فلوتاسیون الکتروشیمیایی و دشواری‌هایی که در کنترل پارامترها و واکنش‌هایی که در آن فرایند اتفاق می‌افتد، این روش با محدودیت‌هایی همراه می‌باشد، که در اینجا به مهمترین آنها اشاره می‌گردد.

۱- مهمترین محدودیت این روش این است که فلوتاسیون الکتروشیمیایی برای کانی‌های سولفیدی قابل انجام است. در حقیقت این روش برای کانی‌هایی می‌تواند موثر باشد که دارای خاصیت هدایت الکتریکی باشند. (تمام کانی‌های سولفیدی تقریباً نیمه هادی هستند.)

۲- در روش کنترل پتانسیل پالپ با اعمال پتانسیل خارجی باید پدیده اثر قفس فارادی را در نظر گرفت. ممکن است این اثر باعث ناکارآمدی فلوتاسیون الکتروشیمیایی در روش اعمال پتانسیل خارجی گردد. (جیو وین ۲۰۰۳) ۳- چیدمان الکترودها در روش اعمال پتانسیل خارجی موثر است و باید بگونه‌ای باشد که برقراری جریان بین الکترودکار و الکترودکمکی از لایه ذرات کانی عبور نماید. در حقیقت قرار گرفتن الکترودها باید بگونه‌ای باشد که بین آنها اتصال کوتاه برقرار نگردد و محدوده نفوذ جریان تمام محیط پالپ را پوشش دهد. البته شکل الکترودها نیز در این امر دخیل است. (جیو وین ۲۰۰۴) بنابراین کم بودن ضریب نفوذ جریان با بالا رفتن درصد جامد یکی از محدودیت‌های فلوتاسیون الکتروشیمیایی می‌باشد.

۴- فلوتاسیون الکتروشیمیایی بدون مواد شیمیایی (خودالقایی) مربوط به کانی‌های سولفیدی است که به طور طبیعی خاصیت آبرانی ندارند ولی در شرایط الکتروشیمیایی خاصی که قرار می‌گیرند بدون کلکتور خاصیت شناور پذیری پیدا می‌کنند. در بحث فلوتاسیون خودالقایی دو مسئله اصلی وجود دارد که کاربرد صنعتی آنرا مشکل و محدود می‌نماید. اول اینکه فلوتاسیون خودالقایی کانی‌های مختلف یک فلز مثلاً کالکوسیت و کالکوپیریت اختلاف فاحشی با هم دارند. مثلاً کالکوپیریت به طور موثری در غیاب کلکتور شناور می‌شود، در حالیکه در همان شرایط کالکوسیت قابلیت شناور پذیری ناچیزی دارد و برای شناور شدن نیاز به کلکتور دارد. با توجه به اینکه در کانسنگ‌های معدنی اغلب این کانی‌ها با هم یافت می‌شوند، در عمل درمقیاس صنعتی کاربرد فلوتاسیون خودالقایی محدودیت پیدا می‌کند. مسئله دوم اینکه فلوتاسیون خودالقایی به اثر بازدارندگی ترکیبات هیدروکسیدی حساسیت دارد. گسترش هیدروکسیدهای فلزی که ناشی از فرسایش بار خردکننده در مرحله آسیاکنی و نوع کانسنگ‌ها همچنین آب مصرفی است. این هیدروکسیدهای فلزی خاصیت بازداشت‌کنندگی ایجاد می‌کنند. مقابله با این مشکل در مقیاس آزمایشگاهی امکان‌پذیر است ولی کنترل آن در مقیاس صنعتی بسیار سخت است. اثر هیدروکسید را ممکن است با کمپلکس کردن با یون‌های بازداشت‌کننده کاهش داد یا بر طرف نمود ولی این مطلوب نظر نیست. چون هم هزینه‌بر است و هم با اضافه کردن کلکتور همراه است که با اهداف فلوتاسیون خودالقایی سازگار نیست. (سنیور و تراهار، ۱۹۹۱، گرانو و همکاران ۱۹۹۷)

۵- با توجه به تعداد ذرات کانی‌های موجود در محیط پالپ و شناسن آنها برای در تماس قرار گرفتن با سطح الکترود به نظر می‌رسد که از نظر سینتیک الکتروشیمیایی انتقال بار الکتریکی به طور مستقیم بین ذرات کانی و الکترود کاری بسیار کند و حتی غیرممکن است. در حالیکه یون‌های موجود در فاز آبی می‌توانند عمل انتقال بار الکتریکی را بسیار بهتر انجام دهند. محاسبات نشان داده است که نسبت بین احتمال برخورد یون‌های Cl^- در محلولی با غلظت ${}^{60}\text{مول}$ و ذرات کالکوپیریت در سیستم میکروفلوتاسیون ۱ به ${}^{165}\text{بیلیون}$ است. این به این

معنی است یون Cl^- که یک بیلیون باربیشرت از ذرات کالکوپیریت شانس برخورد با الکتروود کار را دارد. (جیو و بن ۲۰۰۳) همین مسئله کاربرد صنعتی فلوتواسیون الکتروشیمیایی را با محدودیت همراه کرده است. البته ساخت سلولی با مشخصات الکتروشیمیایی سلول آزمایشگاهی می‌تواند این محدودیت را برطرف نماید.

۶-۸- نوآوری های تحقیق

لازم به ذکر است که نوآوری این تحقیق نسبت به تحقیقات قبلی در این زمینه، این است که پیش از این عمدۀ تحقیقات بر روی تک کانی‌ها، آنهم در مقیاس آزمایشگاهی بدون در نظر گرفتن اثر متقابل کانی‌ها بر هم انجام شده است. در حالیکه در این تحقیق امکان سنجی فلوتواسیون الکتروشیمیایی با اعمال پتانسیل خارجی برروی یک نمونه صنعتی حاوی چندین کانی‌فلزی و غیرفلزی سولفوره و اکسیده به منظور حذف مواد شیمیایی از مدار فلوتواسیون (حذف سولفیدسدیم به عنوان بازداشت‌کننده سولفورهای مس از کنسانتره تجمعی مس مولیبدن به منظور دستیابی به یک کنسانتره مولیبدنیتی با عیار مجاز مس) مورد بررسی قرار گرفته است. شاخصه اصلی و متمایز این تحقیق این بوده که نمونه‌های مورد مطالعه یک نمونه پلی متال سولفیدی متشکل از چندین کانی بوده در حالیکه در تحقیقات گذشته آزمایش‌ها بر روی تک کانی انجام شده است. همچنین در این تحقیق آزمایش‌ها در شرایط صنعتی و براساس پارامترهای صنعتی و در مقیاس آزمایشگاهی انجام شده است. در حالیکه در اغلب تحقیقات گذشته آزمایش‌ها با استفاده از میکروسول (برای مثال سلول هالیموند) انجام شده است. نکته دیگر این که در تحقیقات گذشته مطالعات فلوتواسیون با کنترل پتانسیل پالپ بر روی تک کانی‌ها به منظور شناخت رفتار آن کانی در فلوتواسیون الکتروشیمیایی انجام شده است در حالیکه در این تحقیق امکان سنجی فلوتواسیون الکتروشیمیایی با اعمال پتانسیل خارجی بر روی نمونه‌های چندکانی به منظور دستیابی به فلوتواسیون-الکتروشیمیایی بدون مواد شیمیایی مورد مطالعه قرار گرفته است.

۶-۹- جمعبندی و نتیجه گیری

نتایج حاصل از این تحقیق را بر اساس آنچه از آزمایش‌های انجام شده بر روی نمونه پلی متال سولفیدی متشکل از کانی‌های مس و مولیبدن اخذ شده از مدار فرآوری مولیبدن در مجتمع سرچشمۀ اخذ شده است را می‌توان به شرح زیر خلاصه و دسته بندی نمود.

الف- فلوتواسیون الکتروشیمیایی با کنترل پتانسیل پالپ با اعمال پتانسیل خارجی بر روی کانسنگ‌های پلی متال در شرایط خاصی امکان‌پذیر است. از جمله شرایط لازم برای اینکار ساخت راکتوری است که بتوان شرایط لازم برای اعمال پتانسیل خارجی و بستن مداری که جریان الکتریکی ناشی از این پتانسیل در آن به جریان افتاد را در آن فراهم نمود. این راکتور باید شامل دو بخش الکتروولیتی و فرآیند بوده و بتوان الکترودهای مورد نیاز را در آن جاگذاری نمود.

ب- با توجه به تعداد ذرات کانی‌های موجود در محیط پالپ و شانس آنها برای در تماس قرار گرفتن با سطح الکترود به نظر می‌رسد که از نظر سینتیک الکتروشیمیایی انتقال بار الکتریکی به طور مستقیم بین ذرات کانی و الکترود کاری بسیار کند و حتی غیرممکن است. در حالیکه یون‌های موجود در فاز آبی می‌توانند عمل انتقال بار الکتریکی را بسیار بهتر انجام دهند. به همین دلیل بخش الکتروولیتی به سلول اضافه شده است تا بتوان به این مهم دست یافت.

ج- چیدمان الکترودها در روش اعمال پتانسیل خارجی موثر است و باید بگونه‌ای باشد که برقراری جریان بین الکترود کار و الکترود کمکی از لایه ذرات کانی عبور نماید. در حقیقت قرارگرفتن الکترودها باید بگونه‌ای باشد که بین آنها اتصال کوتاه برقرار نگردد و محدوده نفوذ جریان تمام محیط پالپ را پوشش دهد. البته شکل الکترودها نیز در این امر دخیل است و الکترودهای صفحه‌ای با سطح مقطع بزرگ مناسب‌تر هستند.

د- سطح الکترودهای مورد استفاده در این راکتور باید تا حد ممکن بزرگ باشد تا احتمال برخورد ذرات کانی با آنها در مورد الکترود کار که در مجیط پالپ قرار دارد به حد اکثر مقدار ممکن برسد. همچنین دیواره جداکننده دو بخش الکتروولیت و فرآیند که همان غشای تراوای یونی را تشکیل می‌دهد باید به اندازه کافی بزرگ باشد تا ضریب نفوذ جریان ماکزیمم باشد.

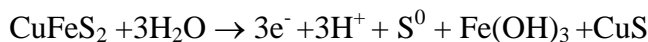
ه- هرچند با شناخت رفتار یک کانی و تعیین محدوده‌ای از پتانسیل که در آن خاصیت آبدوستی یا آبرانی دارد نمی‌توان در خصوص رفتار آن کانی در یک سیستم پیچیده پالپ اظهار نظر نمود، اما با در نظر گرفتن پدیده اثر گالوانیک می‌توان در فلواتسیون الکتروشیمیایی کانی‌های مخلوط، اطلاعات مربوط به آنها را در نظر گرفت،

و- مکانیزم آبران شدن در مورد کانی‌های شناورشونده و آبدوستی در مورد کانی‌های بازداشت شونده در غیاب کلکتور بسیار پیچیده و تابع واکنش‌های اکسیداسیون احیاء انجام شده در محیط پالپ است. علی‌الخصوص زمانی که یک نمونه پلی متال متشکل از چندین کانی سولفیدی و غیر سولفیدی در محیط وجود دارد. اکسید شدن یا احیاء شدن یک کانی تابع پتانسیل اکسیداسون و استراحت آن کانی است. پتانسیل اکسیداسیون پتانسیلی است که کانی شروع به اکسید شدن می‌کند. پتانسیل استراحت، پتانسیلی است که در آن کانی مورد نظر هیچگونه واکنشی با محیط اطراف ندارد و از نظر الکتروشیمیایی در حال تعادل می‌باشد. پتانسیل استراحت خود تابع محیط فرآیند و حضور کانی‌های مختلف است. برای مثال پتانسیل استراحت کالکوپیریت به تنهایی $0/156$ ولت است در حالیکه در حضور پیروتیت این مقدار به $0/146$ ولت کاهش می‌یابد. (شیرتس ۱۹۷۴) به طور کلی در تاثیر متقابل کانی-کانی آن کانی که پتانسیل بالاتری دارد به صورت کاتد و دیگری به صورت آند وارد واکنش الکتروشیمیایی می‌شوند

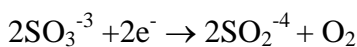
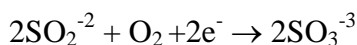
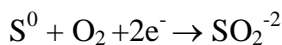
بر اساس کاهش احتمال اکسیداسیون مس، آهن و سایر کانی‌های سولفیدی می‌توان آنها را به صورت خطی مرتب نمود آهن، پیروتیت (پنتلاندیت، هیزلواریت)، میلریت، مارکازیت، پیریت، اسفالریت، گالن، کالکوپیریت، کولیت، برنیت، کالکوسیت و مس به ترتیب در این ردی جای می‌گیرند. این مرتب سازی که بر اساس نتایج

مطالعات بوچروف^{۱۳۶} و ریسکین^{۱۳۷} در ۱۹۹۳ می‌دانند که نرخ اکسیداسیون آهن سایش یافته در آسیا خیلی زیاد و بیشتر از پیریت و در نقطه مقابل کانی‌های ثانویه مس، کالکوسیت و برنتیت کمتر از پیریت می‌باشد. حال در محیطی که همه یا تعدادی از این کانی‌ها حضور داشته باشد برای اکسیداسیون یا احیاء یکی یا تعدادی از این کانی‌ها باید با اعمال پتانسیل خارجی پتانسیل محیط پالپ در محدوده مورد نظر تنظیم گردد.

اکسید شدن قدم اول در مکانیزم آبگریزی یا آبدوستی یک کانی است. برای مثال کالکوپیریت را به عنوان اصلی ترین کانی در نمونه مورد مطالعه در نظر می‌گیریم. اکسیداسیون سطح کالکوپیریت باعث آبدوست شدن آن می‌شود. کالکوپیریت بر اساس واکنش‌های زیر اکسید می‌شود:



گوگرد آزاد شده با توجه به پتانسیل و سایر شرایط شیمیایی و الکتروشیمیایی محیط ممکن است به صورت های زیر تبدیل گردد:

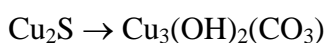


کالکوسیت از نظر فراوانی در مرتبه بعد از کالکوپیریت قرار می‌گردد. اکسیداسیون این کانی در شرایط مختلف

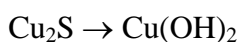
pH به شرح زیر است:



pH<5.5, Eh>0 در شرایطی که:



9.0>pH>5.5, -0.086< Eh=0 در شرایطی که:



pH>9.0, Eh<-0.25 در شرایطی که:

گوگرد عنصری یا اکسید شده و هیدروکسید آهن تولید شده در غیاب کلکتور می‌تواند به صورت یک لایه نازک بر روی سطح کانی‌های سولفیدی مس جذب شده و آنرا آبران یا آبدوست نماید.

نتایج به دست آمده از این تحقیق نشان می‌دهد که در پتانسیلهای آندی کمتر از ۰/۴-۰/۴ ولت (پتانسیل اعمالی ۴/۵-۳/۰ تا ۴/۵ ولت) بازیابی مولیبден و از آن کالکوپیریت در باطله حداکثر است. در پتانسیلهای مثبت روند تغییر می‌کند ولی به دلیل دنباله‌روی ذرات کانی‌های مس عیار مس در کنسانتره مولیبден افزایش یافته، از بازیابی کانی‌های مس در باطله همچنین بازیابی مولیبدنیت در کنسانتره کاسته می‌شود. (جدول ۳-۶ و شکل ۳-۶)

¹³⁶ Bocherov

¹³⁷ Riskin

ز- یکی از ابزارهایی که با استفاده از آن می‌توان در شرایط الکتروشیمیایی مختلف علی‌الخصوص با داشتن pH و Eh تشکیل و پایداری گونه‌های خاصی از یک ترکیب را پیش بینی نمود، دیاگرام های پوربه^{۱۳۸} است که به صورت نمودارهای pH/Eh می‌باشد. در سیستم مس-آهن-آب دامنه پایدار ترکیبات مختلف مس و آهن‌دار از نظر pH مشخص شده است.

ح- آنچه لازم است برآن تاکید شود مکانیزم‌های آبرانی و آبدوستی کانی‌ها در روش فلوتاسیون الکتروشیمیایی با اعمال پتانسیل خارجی می‌باشد. با توجه به اینکه استفاده بر جا از روش‌های اسپکتروسکوپی (مانند روش XPS, IC, Tof.SIM) برای شناسایی مواد جذب شده بر سطح کانی‌ها که باعث خواص آبرانی یا آبدوستی کانی‌های سولفیدی می‌شوند، امکان‌پذیر نبوده از روش غیرمستقیم مبتنی بر مستندات تحقیقات گذشته همراه با داده‌های اخذ شده از آزمایش‌های انجام شده، از جمله مطالعات ولتاومتری چرخه‌ای، برای شرح مکانیزم‌های آبرانی و آبدوستی کانی‌های سولفیدی مس استفاده شده است. به این‌ترتیب که محصولات آزمایش مورد مطالعه کانی-شناسی و آنالیز شیمیایی قرار گرفته است و براساس نتایج حاصل، عیار و بازیابی مس (کانی‌های مس) در محصولات آزمایش مشخص شده و در نهایت موفقیت‌آمیز بودن فرآیند فلوتاسیون الکتروشیمیایی با اعمال پتانسیل خارجی برروی چندفلزی‌های سولفیدی مس اثبات شده است. حال با تطبیق نتایج آزمایش‌ها با نتایج تحقیقات گذشته که در آنها مکانیزم آبرانی و آبپذیری سطح کانی‌ها مشخص شده است. همراه با تحقیقات انجام شده توسط آقای آبراموف که ترتیب اکسیداسیون و پتانسیل شروع اکسیدشدن کانی‌های سولفیدی را در یک محیط چندفلزی با در نظر گرفتن اندرکنش آنها برهم ، همچنین محصولات حاصل از اکسیداسیون آنها و محصولاتی که بالقوه می‌توانند باعث شناورپذیری خودالقایی کانی‌های سولفیدی شوند را مشخص کرده است، به عنوان مکانیزم تغییر سطح کانی‌های سولفیدی مس در فرآیند فلوتاسیون الکتروشیمیایی با اعمال پتانسیل-خارجی معرفی شده است.

۶- پیشنهادات

همانگونه که دربحث مربوط به محدودیتها عنوان گردید تا صنعتی شدن فلوتاسیون الکتروشیمیایی راه درازی در پیش است. بنابراین آنچه در ادامه این تحقیق قابل انجام است را می‌توان به عنوان پیشنهادات اصلی مطرح نمود. برای صنعتی شدن فلوتاسیون الکتروشیمیایی یعنی اهدافی که این تحقیق دنبال کرده و به نتایج قابل قبولی هم دست یافته است، موارد زیر باید به طور دقیقترا مورد مطالعه و بررسی قرار گیرد.

¹³⁸ Pourbaix

۱- پارامترهای دخیل در فرآیند مجدداً مورد بررسی و مطالعه قرار گرفته، تاثیر متقابل آنها برهم و بر فرآیند شناسایی گردد. هرچند به صورت تئوریک در این تحقیق اینکار انجام شده است ولی آنچه بیشتر مورد بررسی قرار گرفته است نتیجه این تاثیرات و چگونگی و مکانیزم‌های این تاثیرات بوده است بنابراین پیشنهاد می‌گردد با استفاده از روش‌های بنیادی مانند روش‌های پیشرفته اسپکتروسکوپی چرایی و مکانیزم‌ها همچنین تقدم و تاخر این پدیده‌ها که اساس روش فلوتواسیون الکتروشیمیایی می‌باشد مورد مطالعه و بررسی قرار گیرد.

۲- ایده‌هایی در ذهن نگارنده برای انجام آزمایش‌های نیمه صنعتی بوده است که به دلیل محدودیت زمانی و مالی انجام آنها امکان‌پذیر نگردیده است که درآدامه و در قالب یک برنامه زمانبندی جدید و تامین منابع جدید قابل انجام می‌باشد. از جمله می‌توان به ساخت سلولی دو جداره با مخزن محلول الکتروولیت جهت اعمال پتانسیل خارجی اشاره نمود.

۳- تمرکز مطالعه موردنی در این تحقیق بر روی بازداشت کانی‌های مس علی‌الخصوص کالکوپیریت با استفاده از اعمال پتانسیل خارجی و حذف مواد شیمیایی از فرآیند در حد امکان بوده است. این مطالعات می‌تواند در مسیر عکس یعنی شناورسازی کالکوپیریت دریک نمونه صنعتی با استفاده از اعمال پتانسیل خارجی برای حذف کلکتور از مسیر فرآیند انجام شود. یکی از مواردی که در مراحل انجام آزمایش برای بازداشت کالکوپیریت در مدار فرآوری مولیبدن در مجتمع مس سرچشمه وجود داشت این بود که نمونه مورد آزمایش از کنسانتره نهایی مس مولیبدن در مدار فرآوری مس گرفته می‌شد و این نمونه حاوی عیار بالایی از مس بود، که در مرحله مطالعاتی برای بازداشت کالکوپیریت به روش فلوتواسیون الکتروشیمیایی با اعمال پتانسیل خارجی ایجاد اشکال می‌نمود. بنابراین به نظر می‌رسد فلوتواسیون الکتروشیمیایی با اعمال پتانسیل خارجی برای شناورسازی کالکوپیریت دریک نمونه کم‌عیار راحت‌تر انجام خواهد شد.

۴- فرآیند بازداشت کالکوپیریت و کانی‌های مس در مدار فرآوری مولیبدن در مجتمع مس سرچشمه در محیط‌های قلیایی انجام می‌شود. مولیبدن در این شرایط به طور طبیعی آبران است و کانی‌های مس با استفاده از مقدار زیادی سولفیدسدیم بازداشت می‌شود. بخشی از این سولفیدسدیم برای پاکسازی سطح کانی‌های مس از کلکتور و مواد شیمیایی مورد مصرف در مرحله قبلی (فلوتواسیون تجمعی مس مولیبدن) مورد استفاده قرار می‌گیرد. لذا پیشنهاد می‌شود در چهارچوب یک پروژه تحقیقاتی اثر اعمال پتانسیل خارجی بر شناورسازی کانی‌های مس و علی‌الخصوص کالکوپیریت در محیطی عاری از مواد شیمیایی مورد مطالعه قرار گیرد

۵- در بحث مربوط به نوع الکترودها انجام آزمایش با الکترودهای صفحه‌ای پلاتین به دلیل محدودیت منابع مالی امکان پذیر نگردید. هرچند در مقیاس نیمه‌صنعتی و صنعتی استفاده از الکترودهای گرافیتی توجیه-

پذیرتر می‌باشد ولی به دلیل پایداری و مقاومت دربرابر مسمومیت انجام آزمایش درمقیاس آزمایشگاهی برای شناخت اثر نوع الکترودها بر فرآیند ضروری به نظرمی‌رسد.

۶- یکی از مشکلات اصلی در مطالعات آزمایشگاهی بروی نمونه‌های صنعتی (از جمله درآزمایشگاه واحد پایلوپ‌پلنت مجتمع سرچشمہ) آلودگی تجهیزات از جمله الکترودها، سلول، محلول‌ها و از تنظیم درآمدن دستگاه‌ها از جمله H_e متر و Eh متر بهدلیل استفاده مکرر و عمومی است. این مسئله باعث تکرار ناپذیری، نایکنواختی و عدم دقت نتایج آزمایش‌ها خواهد شد. پیشنهاد می‌شود پس از تجهیز و مرتب‌کردن یک مجموعه برای انجام یک تحقیق، تا پایان آزمایش‌های مربوط به این تحقیق تجهیزات فقط در اختیار آن تحقیق باشد تا از آلودگی و ایجاد خطای اضافی در نتایج آزمایش‌ها پیشگیری گردد

الف- منابع و مأخذ فارسی

اسلامی اندرالگلی محمد باقر، طراحی و ساخت سلول الکتروشیمیایی و کاربرد آن در فلوتاسیون، پایان‌نامه ارشد، دانشگاه تهران، ۱۳۷۸

بنیسی صمد، یاراحمدی محمدرضا، "راهنمای کاربران موازن"، ویرایش اول، زمستان ۱۳۸۸
پورکانی موسی، "استفاده از گاز نیتروژن در فلوتاسیون مولیبدنیت از کنسانتره مس سرچشمہ" پایان نامه ارشد،
دانشگاه صنعتی شریف، دانشکده مهندسی متالورژی و مواد، آذرماه ۱۳۷۷

حسن پور مسعود، ترجمه (جان اچ ناکس جان وایلی و پسران ۱۹۷۸)، ترمودینامیک ملکولی ۱۳۷۴
رضایی بهرام، فلوتاسیون، انتشارات دانشگاه هرمزگان، ۱۳۷۵

رضایی بهرام، پدیده‌های اندرکنش در فرآوری مواد معدنی، انتشارات جهاد دانشگاه صنعتی
امیرکبیر، ۱۳۹۱

زعفرانی محمدتقی وابطحی زاده میرهاشم، ترجمه، (د.آر.کراو) اصول و کاربردهای الکتروشیمی، انتشارات دانشگاه
تبریز، ۱۳۷۱

عبداللهی محمود، "مطالعه و بررسی جانشینی برای سولفید سدیم در مدار فرآوری مولیبدن"، گزارش
فنی، مجتمع مس سرچشم، ۱۳۸۷

کوشکریم، ترجمه، (ژان بسون)، الکتروشیمی، انتشارات تهران، ۱۳۶۹

مفیدی جمشید، الکتروشیمی تجزیه ای، (الکتروشیمی ۲)، انتشارات دانشگاه تهران، ۱۳۷۷

مفیدی جمشید، الکتروشیمی صنعتی، (الکتروشیمی ۳)، انتشارات دانشگاه تهران، ۱۳۷۷

مفیدی جمشید، اصول الکتروشیمی، (الکتروشیمی ۱)، انتشارات دانشگاه تهران، ۱۳۷۷

میرفخر الدینی، فهیمه السادات، بررسی پارامترهای تاثیرگذار بر فلوتاسیون الکتروشیمیابی، سمینار کارشناسی
ارشد، دانشگاه یزد، ۱۳۸۷

نعمت اللهی حسین، کانه آرایی (جلد ۲) انتشارات دانشگاه تهران، ۱۳۸۱

نوری حسن، اندازه گیری و تعیین مقدار بهینه پتانسیل اکسیداسیون واحیاء (ORP) در مدار فلوتاسیون
مولیبدنیت سرچشم، پایان نامه ارشد، دانشگاه یزد، ۱۳۸۳

نوری حسن، نقش الکتروشیمی در فلوتاسیون، سمینار کارشناسی ارشد، دانشگاه یزد، ۱۳۸۳

ب- منابع انگلیسی

Ackerman P.K., Harris G.H., Klimper R.R. and Aplan F.F., 'Evaluation of Flotation Collectors for Copper Sulphides and Pyrite, I. Common ulpHydyl Collectors", International Journal of Mineral Processing, 21, 105-127, 1987a.

Ackerman P.K., Harris G.H., Klimper R.R. and Aplan F.F., 'Evaluation of Flotation Collectors for Copper Sulphides and Pyrite, III. Effect of Xanthate Chain Length and Branching", International Journal of Mineral Processing, 21, 141-156, 1987b.

Adam, K., Natarajan, K.A., Iwasaki, I., 1984. Grinding media wear and its effect on the flotation of sulfide minerals. Int. J. Miner.Process. 12, 39– 54.

Ahmed S.M., 'Electrochemical Studies of Sulphides I. The Electrocatalytic Activity of Galena, Pyrite and Cobalt Sulphide for Oxygen Reduction in Relation to Xanthate Adsorption and Flotation", International Journal of Mineral Processing, 5, 163-174, 1978.

Allen J. Bard, Larry R. Faulkner, ELECTROCHEMICAL METHODS, Fundamentals and Application, John Wiley & Sons. Inc., 2001

Allen, P., Jackman, R., Peck, R., 1993. Lead-zinc concentrator practice by Pasminco Limited, Elura mine, Cobar, New South Wales, The Sir Maurice Mawby Memorial Volume, Second edition. Australasian Institute of Mining and Metallurgy, Parkville, pp. 516–518.

Allison, S.A., Harris, P.J., Marsicano, F., 1975. The depression and deactivation of Sphalerite. J. S. Afr. Inst. Min. Metall. 76, 123–124.

Aravena, J.J., 1987. Column flotation applications at Chuquicamata's molybdenite flotation plant. In: Mular, A., Gonzalez, G., and Metal Processing II. Electrochem. Soc., Pennington,NJ, pp. 131– 149. PV 88-21

Arbiter, N., Gebhardt, J.E., 1992. Requirements for industrial collectorless flotation of sulfide minerals. In:Barahona, C. (Eds.), Mineral Processing and Process Control.Copper 87, vol. 2. Universidad de Chile, Santiago, pp. 155–169.

A. R. Burkin ,2001, Chemical Hydrometallurgy, Theory and Principles, (Imperial College, UK)

Boulton, A., Fornasiero, D., Ralston, J., 2005. Effect of iron content in Sphalerite on flotation. Min. Eng. 18, 1120 – 1122.

Boulton, A.B., 2002. Improving sulphide mineral flotation selectivity against iron sulphide gangue, PHD thesis, University of South Australia.

Buckley, A.N., Hope, G.A., Woods, R., 2002. Metals from sulfide minerals: the role of adsorption of organic reagents in processing technologies. In:

Buckley, A.N., Walker, G.W., 1988. Sulfur enrichment at sulfide mineral surfaces. In: Forssberg, E. (Ed.), XVI Int. Min. Proc.Congress. Elsevier, Amsterdam, pp. 589– 599.

Buckley, A.N., Woods, R., 1984. An X-ray photoelectron spectroscopic study of the oxidation of chalcopyrite. Aust. J. Chem. 37,2403–2413.

Buckley, A.N., Woods, R., Wouterlood, H.J., 1989. An XPS Investigation of the surface of natural Sphalerites under flotation-related conditions. International Journal of Mineral Processing 26, 29– 49.

Buckley, A.N., Woods, R., Wouterlood, H.J., 1989. An XPS investigation of the surface of natural Sphalerites under flotation-related conditions. Int. J. Miner. Process. 26, 29– 49.

Chander, S., Fuerstenau, D.W., 1974. The effect of potassium iethylidithiopHospHate on the electrochemical properties of platinum,copper and copper sulfide in aqueous lutions. J. Electroanal.Chem. 56, 217– 247.

Chander, S., Fuerstenau, D.W., 1983. Electrochemical flotation separation of chalcocite from molybdenite. Int. J. Miner. Process.10, 89– 94.

ChristopHer M. A. Brett and Ana M. O. Brett , 1993,Electrochemistry Principal, Methods and Application, pp44-52,Oxford University press Inc,New York

Clarke, P., Fornasiero, D., Ralston, J., Smart, R.St.C., 1995. A study of the removal of oxidation products from sulphide mineral surfaces. Minerals Engineering 8 (11), 1347–1357.

Elsa M. Arce , ArceIgnacio González ,2002," A comparative study of electrochemical behavior of chalcopyrite, chalcocite and bornite in sulfuric acid solution",International Journal of Mineral Processing,volumn 67,pag. 17-28

Fairthorne, G., Fornasiero, D., Ralston, J., 1997. Effect of oxidation on the collectorless flotation of chalcopyrite. Int. J. Miner. Process. 49, 31–48.

Fairthorne, G.A., Fornasiero, D., Ralston, J., 1997. Effect of oxidation on the collectorless flotation of chalcopyrite. International Journal of Mineral Processing 49, 31–48.

Finch J.A. and Labonte G., \Veri_cation of Electrodes for Pulp Potential Measurements", Minerals Engineering, 2, 4, 557-564, 1989.

Fornasiero, D., Fullston, D., Li, C., Ralston, J., 2001. Separation of enargite and tennantite from non-arsenic copper sulfide minerals by selective oxidation or dissolution. International Journal of Mineral Processing 61, 109–119.

Fornasiero, D., Li, F., Ralston, J., Smart, R.St., 1994. Oxidation of galena surfaces: I. X-ray photoelectron spectroscopic and dissolution kinetics studies. J. Colloid Interface Sci. 164, 333–344.

Fuerstenau M.C., Cli_ord K.L. and Kuhn M.C.,\The Role of Zinc-anthate recipitation in Sphalerite Flotation", International Journal of Mineral Processing, 1, 307-318, 1974.

Fuerstenau M.C., Kuhn M.C. and Elgillani D.A.,\The Role of ixanthogen in Xanthate Flotation of Pyrite", AIME, Society of Mining Eng., Transactions,241, 148-156, 1968.

Fuerstenau, D.W., 1982. Activation in the flotation of sulfide minerals.In: King, R.P. (Ed.), The Principles of Flotation. IMM,Johannesburg, pp. 183– 199.

Fuerstenau, D.W., 1982. Activation in the flotation of sulphide minerals. In: King, R.P. (Ed.), Principles of Flotation. South African Institute of Mining and Metallurgy, Johannesburg,pp. 183–199.

Fullston, D., Fornasiero, D., Ralston, J., 1999. Oxidation of synthetic and natural samples of enargite and tennantite: II. X-ray photoelectron spectroscopic study. Langmuir 15, 4530–4536.

G"oktepe F. and Williams K., \Electrochemical Effects in Flotation of a Turkish Complex Ore", Minerals Engineering, 8, 9, 1035-1048, 1995.

Gardner, J.R.,Woods, R., 1979. An electrochemical investigation of the natural floatability of chalcopyrite. Int. J. Miner. Process. 6,1 – 16.

Gebhardt J.E. and Shedd K.B., \E_ect of Solution Composition on Redox Potentials of Pt and Sulphide Mineral Electrodes", Proceedings of the International Symposium on Electrochemistry in Mineral and Metal Processing II, (eds. Richardson P.E. and Woods R.), Electrochemical Society, 84-100, 1988.

Gebhardt, J.E., Richardson, P.E., 1987. Differential flotation of a chalcocite–pyrite particle bed by electrochemical control. Miner.Metall. Process. 4, 140– 145.

Grano, S.R., 1997. Mechanisms for the action of sulpHite and carbonate ions in the flotation of the Hilton ore of Mount Isa Mines limited, PHD thesis, University of South Australia.

Grano, S.R., Sollaart, M., Skinner, W., Prestidge, C.A., Ralston, J., 1997. Surface modifications in the chalcopyrite – sulfite ion system: 1. Collectorless flotation, XPS and dissolution study. *Int. J. Miner. Process.* 50, 1 – 26.

Guo, H., 2003, Electrochemistry and flotation of enargite and chalcopyrite. PH.D. Thesis, Queen's University at Kingston, Kingston, Ontario, Canada.

Guo, H., 2003. Electrochemical selective flotation of enargite and chalcopyrite. PHD thesis, in edition.

Guo, H., Yen, W.T., 2003. Effect of cell design and electrode configuration on the efficiency

Guo, H., Yen, W.T., 2003. Pulp potential and floatability of chalcopyrite., Minerals Engineering 16 (3), 247–256.

Guohua, G., Yuehua, H., Guanzhou, Q., Dianzuo, W., 2000. Potential control flotation of galena and its industrial application.In: Woods, R., Doyle, F.M. (Eds.), Proc. Int. Symp. Electrochemistry in Mineral and Metal Processing V. Electrochem.Soc., Pennington, NJ, pp. 131– 149. PV 2000-14.

Guy, P.J., Trahar, W.J., 1985. The effects of oxidation and mineral interaction on sulphide flotation. In: Forssberg, K.S.E.(Ed.), Flotation of Sulphide Minerals. Elsevier, The Netherlands,pp. 91– 110.

Hancock, B., Pon, M. (Eds.), Proc. Int. Conf.Copper 99-Cobre 99, vol. 2. TMS, Warrendale, PA, pp. 83– 94.

Healy, T.W., Moignard, M.S., 1976. A review of electrokinetic studies of metal sulphides. In: Fuerstenau, M.C.Flotation, vol. 1. A.M.

Healy, T.W., Trahar, W.J., 1989. In: Sastry, K.V.S., Fuerstenau,M.C. (Eds.), Challenges in Mineral Processing. SME/AIME,Littleton, CO, pp. 3 – 14.

Herbst, J.A., Lee, K.Y., Gebhardt, J.E., 1994. The importance of controlling the chemical environment in flotation circuits.In: Mulukutla, P. (Ed.), Reagents for Better Metallurgy.SME/AIME, Littleton, CO, pp. 3 – 12.

Heyes, G.W., Trahar, W.J., 1977. The natural floatability of chalcopyrite. *Int. J. Miner. Process.* 4, 317– 344.

Hu, W.B., 1982. Flotation. Metallurgical Industry Publishing House,Beijing China, pp. 249–259.

Hu, Y.H., Qiu, G.H., Sun, S.Y., Wang, D.Z., 2000. Recent development in researches of electrochemistry of sulfide flotation at Central South University of Technology. In: Qiu,

Jiang, Y.R., Zhou, L.H., Xue, Y.L., Zhang, Q.X., 1999, Electrochemical flotation separation of chalcopyrite from molybdenite by CM Eh control. In: Proceedings of an International Workshop on Electrochemistry of Flotation of Sulfide Minerals, Changsha,China, pp. 110–113.

Johnson N.W. and Munro P.D., 'Eh-pH Measurements for Problem Solving in a Zinc Reverse Flotation Process", The Aus IMM Bulletin and Proceedings,293, 3, 53-58, 1988.

Johnson, N.W., 1988. Application of electrochemical concepts to four sulfide flotation separations. In: The Aus IMM Bulletin and Proceedings, 293, 3, 53-58, 1988.

Jones, M.H., 1991. Some recent developments in the measurement and control of xanthate, perxanthate, sulphide, and redox potential in flotation. Int. J. Miner. Process. 33, 193– 205.

Jones, M.H., Woodcock, J.T., 1971. Some possible methods for control of chemical environment in flotation plants. Proc.Symp. Automatic Control Systems in Mineral Processing Plants, Brisbane, Australia. Aust. IMM, Parkville, Australia, pp. 253– 272.

Jones, M.H., Woodcock, J.T., 1978. Evaluation of ion-selective electrode for control of sodium sulfide additions during laboratory flotation of oxidized ores. Trans. Inst. Min. Metall., Sect. C87, 99– 105.

Jones, M.H., Woodcock, J.T. (Eds.), Principles of Mineral Flotation—The Wark Symposium. Aust. IMM, Parville, Australia, pp. 285– 300.

Kowal, A., Pomianowski, A., 1973. Cyclic voltammetry of ethyl xanthate on a natural copper sulphide electrode. J. Electroanal. Chem. 46, 411 – 420.

Luttrell, G.H., Yoon, R.-H., 1984. Surface studies of the collectorless flotation of chalcopyrite. Colloids Surf. 12, 239–254.

Luttrell, G.H., Yoon, R.-H., 1984. The Collectorless flotation of chalcopyrite ores using sodium sulfide. International Journal of Mineral Processing 13, 271–283.

Natarajan K.A. and Iwasaki I., 'Behaviour of Platinum Electrodes as Redox Potential Indicators in Some Systems of Metallurgical Interest", AIME, Transactions, 247, 317-324, 1970.

Natarajan K.A. and Iwasaki I., 'Eh/pH Response of Noble Metal and Sulphide Mineral Electrode", AIME, Transactions, 252, 437-439, 1972.

Panayatov, V., Kivacher, K., OOOnal, G., Dogan, Z., Dincer, H., Bulut,G., Panayotova,M., Ninova, V., 2000. Technology for copper–zinc flotation by electrochemical treatment. Proceedings of the XXI International Mineral Processing Congress, vol. B8b, pp. 103-108

Pang, J., Chander, S., 1990. Oxidation and wetting behavior of chalcopyrite in the absence and presence of xanthates. Minerals &Metallurgical Processing 7 (3), 149–155.

Pang, J., Chander, S., 1992. The effect of EDTA on collectorless flotation of pyrite. In: Richardson, P.E., Woods, R. (Eds.), Electrochemistry in Mineral and Metal Processing-III, The Electrochemistry Society, vol. 92–17. pp. 221– 231.

Pazhianur, R., Adel, G.T., Yoon, R.-H., Richardson, P.E., 1997. Cathodic protection to minimize corrosive wear in ball mills. Miner. Metall. Process. 14 (4), 1 – 7.

Pozzo, R.L., Iwasaki, I., 1989. Pyrite– pyrrhotite grinding media interactions and their effects on media wear and flotation. J.Electrochem. Soc. 136, 1734–1740.

Prestidge, C.A., Skinner,W.M., Ralston, J., Smart, R.St.C., 1997. Copper (II) activation and cyanide deactivation of zinc sulphide under mildly alkaline conditions. Applied Surface Science 27, 437–452.

Qin, W.Q., Qiu, G.Z., Xu, J., 2000. Electrodeposition of dixanthogen on surface of pyrrhotite electrode. In: Qiu, G.Z., Hu, Y.H., Qin, W.Q. (Eds.), Proceedings of an International Workshop on Electrochemistry of Flotation of Sulfide Minerals, Changsha,China. Transaction of Metal Society of China 10, 61–63 (Specialissue).

Ralston, J., 1991. Eh and its consequences in sulphide mineral flotation. Miner. Eng. 4, 859–878.

Ralston, J., Alabaster, P., Healy, T.W., 1981. Activation of zinc sulfide with Cu(II), Cd(II) and Pb(II): III. The mass spectrometric determination of elemental sulfur. Int. J. Miner. Process. 7, 279–310.

Ralston, J., Healy, T.W., 1980. Activation of zinc sulphide with Cu^{2+} , Cd^{2+} and Pb^{2+} : II. Activation in natural and weakly alkaline media. International Journal of Mineral Processing 7, 203–217.

Ralston, J., Healy, T.W., 1980a. Activation of zinc sulfide with Cu(II), Cd(II) and Pb(II): I. Activation in weakly acidic media. Int. J. Miner. Process. 7, 175–201.

Ralston, J., Healy, T.W., 1980b. Activation of zinc sulfide with Cu(II), Cd(II) and Pb(II): II. Activation in neutral and weakly alkaline media. Int. J. Miner. Process. 7, 203–217.

Rand D.A.J., and Woods R., \Eh Measurements in Sulphide Mineral Slurries", International Journal of Mineral Processing, 81, 29-42, 1983.

Rand, D.A.J., Woods, R., 1984. Eh measurements in sulphide mineral slurries. Int. J. Miner. Process. 13, 29–42.

Rao, S.R., Finch, J.A., 1988. Galvanic interactions studies on sulfide minerals. Canadian Metallurgy Quarterly 27 (4), 253–259.

Ross V.E. and Van Deventer J.S.J., \The Interactive Effects of the Sulphite Ion, pH and Dissolved Oxygen on the Flotation of Chalcopyrite and Galena from Black Mountain Ore", Journal of the South African Institute of Mining and Metallurgy, 85, 1,13-21, 1985.

Rounala, M., Heimala, S., Jounela, S., 1997. Different aspects of using electrochemical potential measurements in mineral processing. Int. J. Miner. Process. 51, 97–110.

Senior, G.D., Trahar, W.J., 1991. The influence of metal hydroxides and collector on the flotation of chalcopyrite. Int. J. Miner. Process. 33, 321–341.

Sepalveda-Suarez,C.,Castroo,S.H.,1996,The effect of redox potential on the selective flotation of molybdenite by using Anomal-D as copper depressant. In: Woods,R. , Doyel,F.M. ,Richaedson,P . (Eds.),Procceding International Symposium on electrochemistry in Mineral and Metal processing,vol. 96-6, The Electrochemical Society, Pennington, NJ, pp. 98-107

Sutill, K.R., 1990. Why are we content with ninety percent? Eng.Min. J., 26– 29 (November).Symmons,

T.N. Khmeleva et al. / Int. J. Miner. Process. 76 (2005) 43–53 Laskowski, J.S., Liu, Q., Zhan, Y., 1997. Sphalerite activation: flotation and electrokinetic studies. Minerals Engineering 10 (8),787–802.

Trahar, W.J., Senior, G.D., Shannon, L.K., 1994. Interactions between sulfide minerals—the collectorless flotation of pyrite. International Journal of Mineral Processing 40, 287–321.

Trahar, W.J., Senior, G.D., Shannon, L.K., 1994. Interactions between sulphide minerals—the collectorless flotation of pyrite. Int. J. Miner. Process. 40, 287– 321.

Uribe-Salas, A., Martínez-Cavazos, T.E., Nava-Alonso, F.C., Méndez-Nonell, J., Lara-Valenzuela, C., 2000a. Metallurgical improvement of a lead/copper flotation stage by pulp potential control. Int. J. Miner. Process. 59, 69–83.

Uribe-Salas, A., Nava-Alonso, F., Martínez-Cavazos, T.E., Pérez-Garibay, R., 2000b. The effect of pulp potential on the metallurgical performance of a lead/copper bulk flotation stage. In:

Wagner, C.D., 1994. Photoelectron and Auger energies and the Auger parameter: a data set. In: Briggs, D., Seah, M.P. (Eds.), Practical Surface Analysis, vol. 1. John Wiley, Chichester,England, pp. 595– 634.

Wang, X., Forssberg, E., 1989. A study of the natural and induced hydrophobicity of some sulphide minerals by collectorless flotation.In: Dobby, G.S., Rao, S.R. (Eds.), Processing of Complex Ores. Pergamon, Elmsford, NY, pp. 3– 19.

Woodcock, J.T., Hamilton, J.K. (Eds.), 1993. Australasian Mining and Metallurgy. The Sir Maurice Mawby Memorial Volume,vol. 1. AusIMM, Parkville, Victoria.

Woods R. "Electrochemistry of Sulphide Flotation"Flotation, (ed. Fuerstenau M.C.), AIME, New York,1, 1976.

Woods, R. / Int. J. Miner. Process. 72 (2003) 151–162 161flotation of cerussite and galena. Int. J. Miner. Process. 55,157– 170.

Woods, R., 1971. The oxidation of ethyl xanthate on platinum,gold, copper, and galena electrodes: relation to the mechanism of mineral flotation. J. Phys. Chem. 75, 354– 362.

Woods, R., 1991. Electrochemistry of sulfide minerals—Stokes medal address. Chem. Aust. 58, 392– 395.

Woods, R., 1996. Chemisorption of thiols on metal and metal sulfides.In: Bockris, 51-J.O.'M., Conway, B.E., White, R.E. (Eds.),Modern Aspects of Electrochemistry, vol. 29. Plenum, New York, pp. 401– 453.

Woods, R., 2000. Recent advances in electrochemistry of sulfide mineral flotation. In: Qiu, G.Z., Hu, Y.H., Qin, W.Q. (Eds.), Proceedings of an International Workshop on Electrochemistry of Flotation of Sulfide Minerals, Changsha, China. Transaction of Metal Society of China 10, 26–29 (Special issue).

Woods, R., Richardson, P.E. (Eds.), Proc. Int. Symp. 5-5- Electrochemistry in Mineral and Metal Processing III. Electrochem. Soc., Pennington, NJ, pp. 1 – 13. PV 92-17.

Woods, R., Richardson, P.E. (Eds.), Proc. Int. Symp. Electrochemistry in Mineral

Woods, R., Doyle, F.M. (Eds.), Proc. Int. Symp. Electrochemistry in Mineral and Metal Processing V. Electrochem. Soc., Pennington, NJ, pp. 167–178. PV 2000-14

Yen, W.T., Tajadod, J., 2000. Selective flotation of enargite and chalcopyrite. Proceeding of the XX IMPC B 8A, 49–55

Yoon, R.-H., Tao, D.P., Lu, M.X., Richardson, P.E., Luttrell, G.H., 1996. Improving pyrite rejection by galvanic control. In:

Zhang, Q., Rao, S.R., Finch, J.A., 1992. Flotation of Sphalerite in the presence of iron ions. Colloids Surf. 66, 81– 89.

Abstract

Electrochemical flotation has emerged as a new method that employs electrochemistry in flotation technology to increase its efficiency. Electrochemical parameters are applied to control the oxidation and reduction reactions in flotation environment, in order to change the surface characteristics of the selected minerals. In this research, by applying the external potential in floatation and depression of sulfide minerals, the electrochemical flotation of chalcopyrite and molybdenite is investigated. The main objective of this research was to maximize the recovery of molybdenite in the concentrate while maximizing the recovery of copper in the tailings.

By employing this method, in the absence of reagents and by controlling oxidation conditions, 73% recovery of molybdenite to concentrate and 76% recovery of copper to tailings was observed. In the situation the external potential was -1.5 volts, pulp potential was -56 millivolts and the pulp pH was 11.41. In the presence of sodium sulfide, 65% recovery of molybdenite in the concentrate and 99% recovery of copper in the tailings was observed. In this case, the external potential was -3 volts, pulp potential was -57.2 millivolts and the pulp pH was 12.2. These results show that by using about 25% of the current plant consumption of sodium sulfide, the recovery could be dramatically improved.

In the situations where the pulp potential is positive (reduction conditions), the maximum depression of chalcopyrite occurs in the pulp potential of 256 to 286 millivolts. The best results were obtained in conditions where the applied potential was +0.5 volts, the pulp potential was +263 millivolts and pH was 7.45.

The effect of pulp density in the electrochemical flotation was experimentally examined. The results showed that, by decreasing pulp density, the effect of external potential on the depression of copper minerals was increased. The main reason is that by decreasing the pulp density, penetration of electrical current increases.

Among various types of electrodes (such as graphite, stainless steel and platinum electrodes) the graphitic electrode was shown better results. In the presence of sodium sulphide, the molybdenite recovery was 96% and copper depression was 93%, with graphitic electrode. Using of rotor and stator as the working and counter electrodes, the molybdenite recovery was 92.5% and copper depression was 87.3%. These results can be considered as a means to scale up the experimental results to industrial application.

Cyclic voltmetric potential methods were used in the electrochemical flotation process to identify the hydrophilic and hydrophobic mechanisms of minerals surfaces. Considering the voltograms, it was observed that the peaks occurred at -0.9, -0.6, +0.6 and +1.4 potentials, which are related to the oxides species absorbed on the electrode surface. The electrodes, in this case, were made of mineral samples such as chalcopyrite crystal, chalcocite crystal and bulk samples.

Keywords: Electrochemical flotation, Chalcopyrite, molybdenite, External potential, Pulp potential control, Depressing mineral



Shahrood University of Technology

Faculty of Mining, Petroleum and Geophysics

Exploitation department

PhD Thesis

Depressing Minerals in Electrochemical Flotation by Pulp Potential Control with Appling External Potential (Case study: Chalcopyrite Depressing in Molybdenite Concentration Circuit in Sarcheshmeh Processing Plant)

Khodakaram Gharibi

Supervisor:

Prof. Sayed Ziaedin Shafaie Tonkaboni

Advisor:

Prof. Hamid Reza Zare

June 2013